

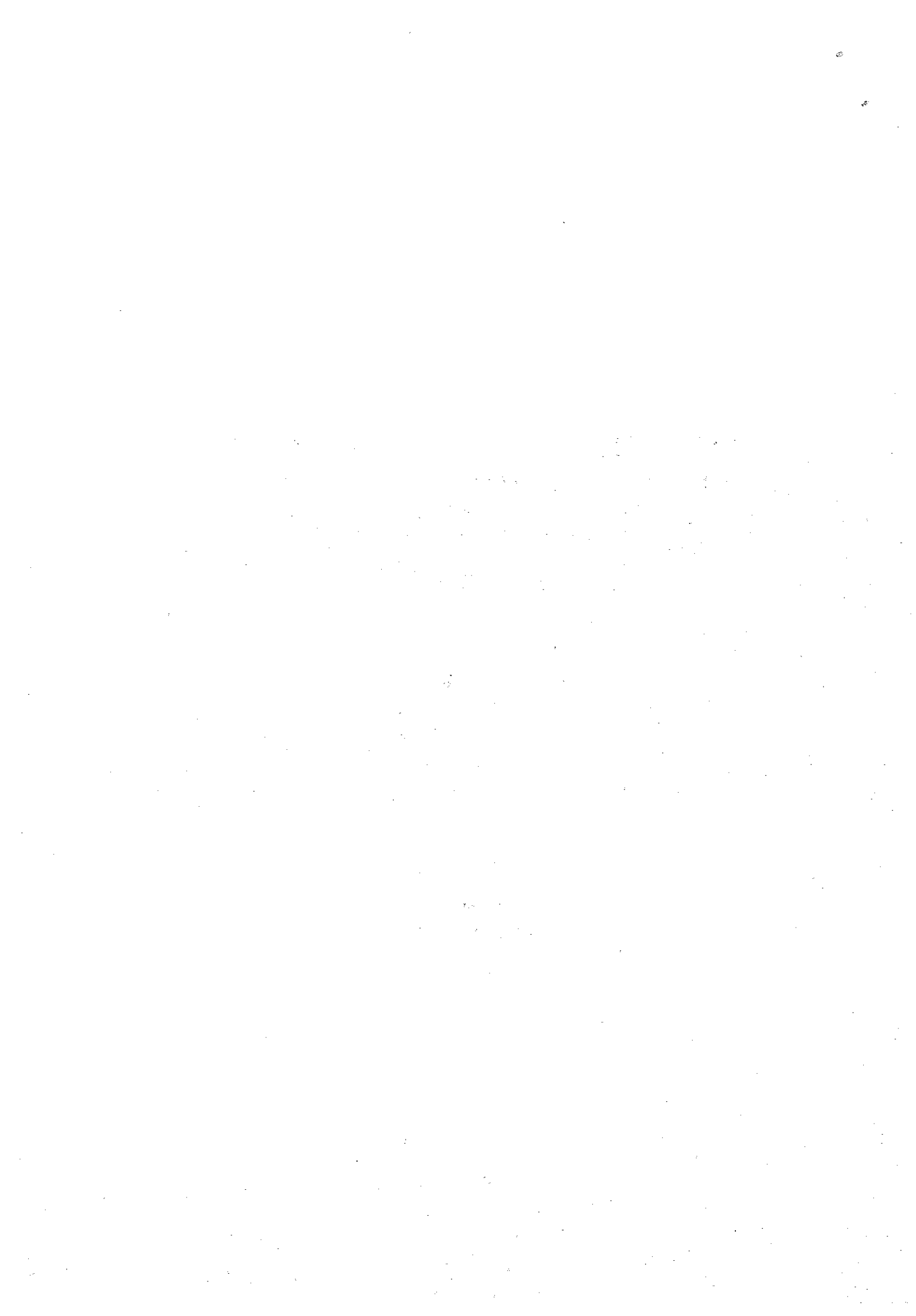
**ΔΗΜΟΚΡΙΤΕΙΟ ΠΑΝΕΠΙΣΤΗΜΙΟ ΘΡΑΚΗΣ
ΠΟΛΥΤΕΧΝΙΚΗ ΣΧΟΛΗ ΞΑΝΘΗΣ
ΤΜΗΜΑ ΜΗΧΑΝΙΚΩΝ ΠΑΡΑΓΩΓΗΣ ΚΑΙ ΔΙΟΙΚΗΣΗΣ**

**ΣΗΜΕΙΩΣΕΙΣ ΓΙΑ ΤΟ ΜΑΘΗΜΑ
ΒΙΟΜΗΧΑΝΙΚΕΣ ΗΛΕΚΤΡΙΚΕΣ
ΕΓΚΑΤΑΣΤΑΣΕΙΣ
8^ο ΕΞΑΜΗΝΟ**

**ΔΙΔΑΣΚΩΝ : ΚΑΡΑΚΑΤΣΑΝΗΣ Σ. ΘΕΟΚΛΗΤΟΣ
Επίκουρος Καθηγητής Δ.Π.Θ.**

**Π. Δ. Μπούρκας
Καθηγητής Ε.Μ.Π.**

ΞΑΝΘΗ 2012



1. Είδη πλεκτρολογικών σχεδίων εγκαταστάσεων

Η συνάγκη συνεννόησης των τεχνικών μέσω πλεκτρολογικών σχεδίων στις διάφορες φάσεις ενός πλεκτρολογικού έργου (μελέτη, κατασκευή, επίβλεψη, συντήρηση, επισκευή, κ.λ.π.), έχει οδηγήσει στα παρακάτω είδη σχεδίων :

1. Το πολυγραμμικό σχέδιο.
2. Το μονογραμμικό σχέδιο.
3. Το ανάπτυγμα σχεδίου (ή σχέδιο διευθύνσεων του ρεύματος).
4. Το σχέδιο της εγκατάστασης στην κάτοψη του χώρου.
5. Τα σχέδια καλωδιώσεων του πλεκτρολογικού εξοπλισμού και των εγκαταστάσεων.
6. Τα λειτουργικά διαγράμματα (ή μπλοκ διαγράμματα).
7. Το μηχανολογικό σχέδιο πλεκτροτεχνικών κατασκευών.

1.1. Το πολυγραμμικό και το μονογραμμικό σχέδιο

Το πολυγραμμικό σχέδιο δίνει αναλυτικά τη λειτουργία μίας πλεκτρικής εγκατάστασης, ή ενός κυκλώματος γενικά μίας πλεκτροτεχνικής κατασκευής (π.χ. το κύκλωμα ενός πίνακα χαμηλής ή μέσης τάσης κ.λ.π.).

Το μονογραμμικό σχέδιο είναι ένα απλοποιημένο είδος σχεδίου του κυκλώματος λειτουργίας μίας εγκατάστασης ή μίας πλεκτροτεχνικής κατασκευής γενικότερα . Διακρίνει κανείς δύο περίπτωσεις μονογραμμικού σχεδίου :

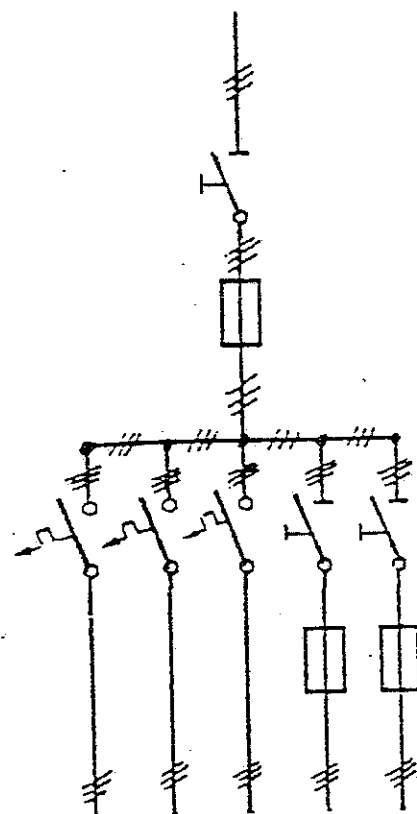
- Το μονογραμμικό σχέδιο με επισήμανση του πλήθους των αγωγών, των ασφαλειών , των πόλων των διακοπών & γενικά στοχείων του κυκλώματος, που σχετίζονται με τον αριθμό των φάσεων.
- Το μονογραμμικό σχέδιο χωρίς επισήμανση του πλήθους των στοιχείων, που προσαναφέρεται.

Η δεύτερη περίπτωση μονογραμμικού σχεδίου χρησιμεύει συνήθεως στην απλοποιημένη παράσταση του συνάλλοου ή μέρους μίας εγκατάστασης μαζί με τον πίνακά της.

Στο παρακάτω σχήμα δίνεται ένα παραδείγματα μονογραμμικού και πολυγραμμικού σχεδίου. Οπως φαίνεται σ' αυτό, στο μονογραμμικό σχέδιο επισημαίνονται με διαγραμμίσεις τα διάφορα στοιχεία της εγκατάστασης , που δίνονται αναλυτικά στο πολυγραμμικό σχέδιο (στο συγκεκριμένα παραδείγματα το πλήθος των αγωγών).

(α)

παροχή από Δ.Ε.Η.

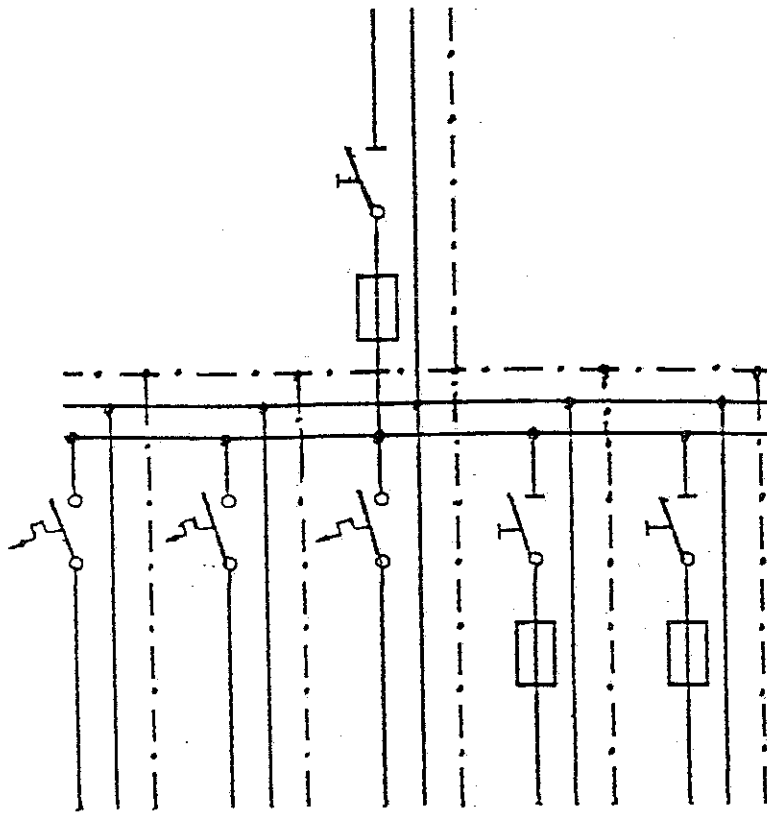


1 2 3 4 5

(β)

παροχή από Δ.Ε.Η

~ 0 MP



1 2 3 4 5

Σχήμα 1.1-1 : Παράδειγμα μονογραμμικού και πολυγραμμικού σχεδίου του πλεκτρικού πίνακα μίας κατοικίας με μονοφασική παροχή από το δίκτυο της Δ.Ε.Η.

α: μονογραμμικό σχέδιο.

β: πολυγραμμικό σχέδιο.

1.2 & 3: αναχωρήσεις γραμμών φωτισμού-ρευματοδοτών.

4: αναχωρηση πλεκτρικής κουζίνας.

5: αναχωρηση πλεκτρικού θερμοσίφωνα.

~: φάση.

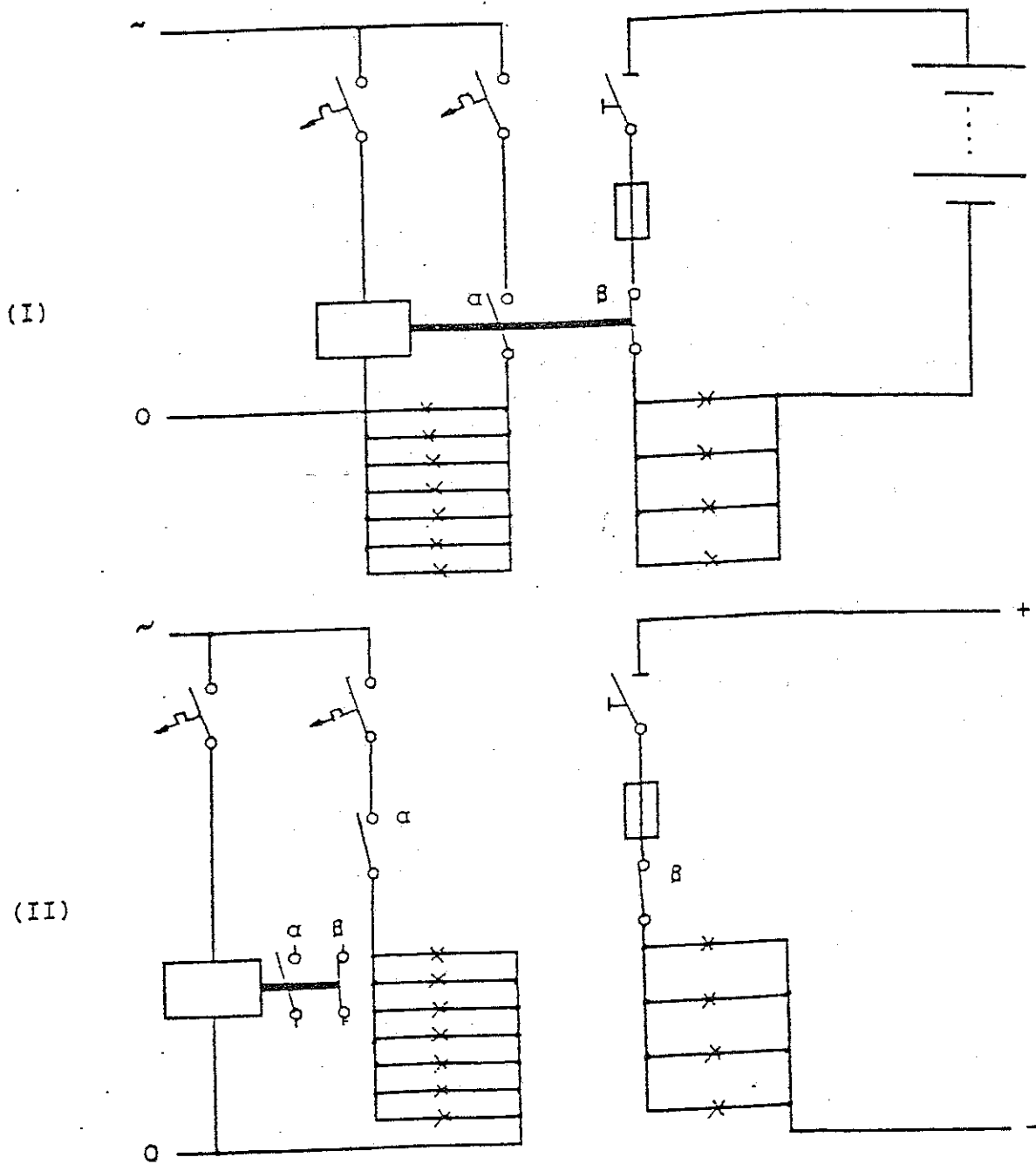
0: ουδέτερα.

MP: γείωση.

1.2. Το ανάπτυγμα σχεδίου (ή σχέδιο διευθύνσεων του ρεύματος)

Στο είδος αυτό του σχεδίου ενδιαφέρει η απόδοση των διαφόρων κυκλωμάτων μίας κατασκευής, όπως αυτά αναπτύσσονται ακολουθώντας τη ροή (διεύθυνση) του ρεύματος με κάθε λεπτομέρεια. Πρόκειται για μία πλήρη ανάλυση των κυκλωμάτων, η οποία διευκολύνει σημαντικά στην αναζήτηση βλαβών σε πολύπλοκες κατασκευές, όπου συνήθεως αλληλοεξισώνται διάφορες κυκλώματα.

Ενα απλό παράδειγμα αναπτύγματος σχεδίου δίνεται στο παρακάτω σχήμα.



Κύκλωμα φωτισμού ασφάλειας (ή εφεδρικού φωτισμού)
μέσω ενός πλεκτρονόμου (I) και ανάπτυγμα σχεδίου
του κυκλώματος αυτού (II)

Σχήμα 1.2-1 : Παραδείγμα αναπτύγματος σχεδίου

~ : φάση

0 : συδέτερος

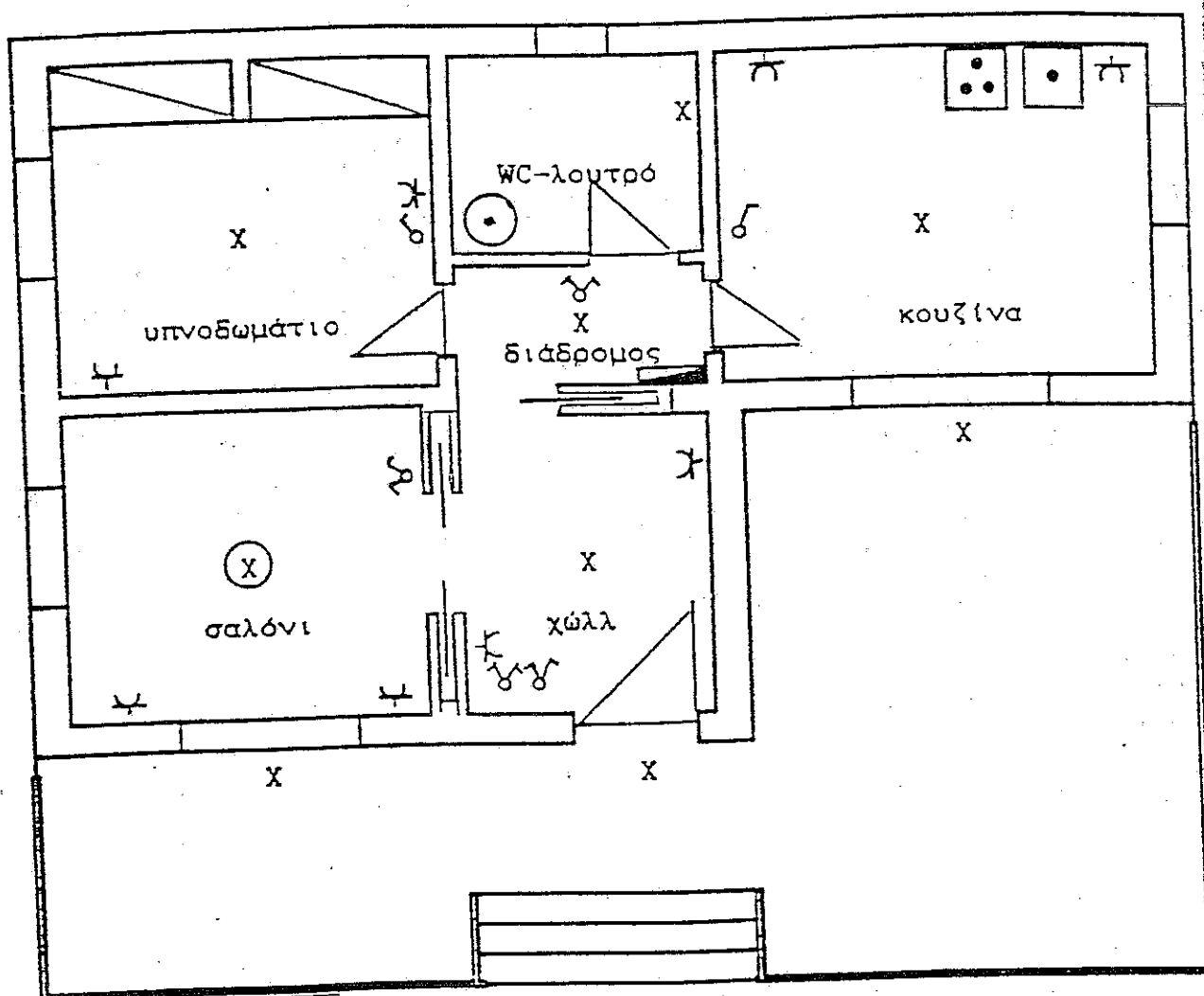
+ και - : πόλοι της μπαταρίας

1.3. Το σχέδιο της εγκατάστασης στην κάτοψη του χώρου

Το σχέδιο αυτό δίνει τα στοιχεία μίας εγκατάστασης στην κάτωψη των χώρων. Διακρίνεται κανείς δύο περιπτώσεις :

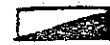
- Το σχέδιο στην κάτοψη των χώρων χωρίς τις γραμμές.
- Το σχέδιο στην κάτοψη των χώρων με τις γραμμές.

Το σχέδιο χωρίς γραμμές είναι μία απλοποιημένη παράσταση της εγκατάστασης, που πρέπει να βασίζεται στην κάτοψη των χώρων με



Σχήμα 1.3-1 : Παράδειγμα πλεκτρολογικού σχεδίου χωρίς γραμμές στη κάτοψη των χώρων μίας κατοικίας.

σύμβολο πλεκτρικού πίνακα :



σύμβολο πλεκτρικής κουζίνας :



σύμβολο πλεκτρικού ψυγείου :

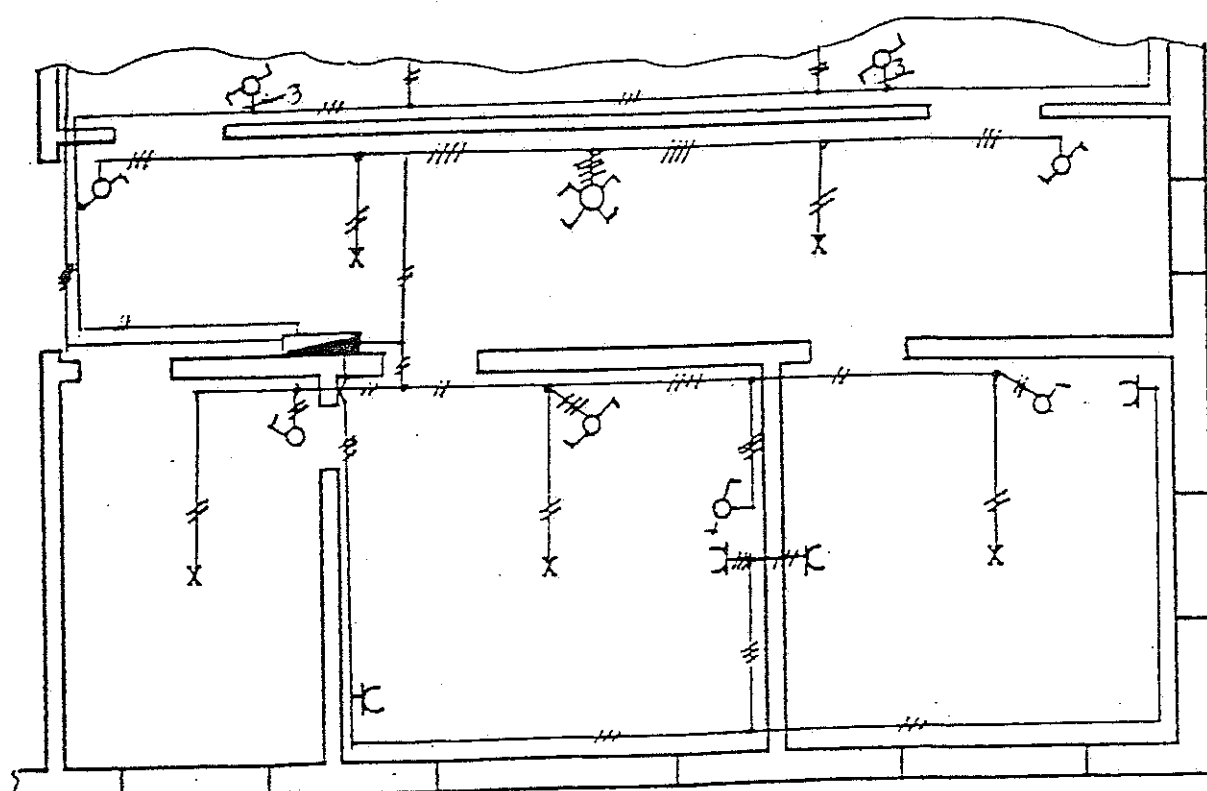


σύμβολο πλεκτρικού θερμοσίφωνα :



όλο τον σταθερό και κινητά εξοπλισμό στη θέση του, ανάλογα με τη λειτουργικότητα των χώρων. Σε μία ομάδα μηχανικών, που εκπονεί μία μελέτη, η λειτουργικότητα των χώρων καθορίζεται από τον αρχιτέκτονα μηχανικό. Η συμβολή των μηχανικών άλλων ειδικοτήτων στο θέμα αυτό συνίσταται στη σωστή πληροφόρηση του αρχιτέκτονα σε εξειδικευμένα θέματα, που δέν μπορεί για γνωρίζει (π.χ.: παραγγική διαδικασία σε ένα τμήμα εργοστασίου, χώρος υποσταθμού ενός ξενοδοχείου, μηχανοστάσιο ενός νοσοκομείου, κ.λ.π.). Από τα παραπάνω γίνεται σαφές, ότι ο πλεκτρολόγιος μηχανικός βασίζει τα σχέδια του στα πλήρη αρχιτεκτονικά σχέδια, που δίνουν όλα τα στοιχεία για τη θέση του σταθερού και του κινητού εξοπλισμού σε κάθε χώρο. Στο σχήμα 1.3-1 δίνεται ένα απλό παράδειγμα σχεδίου της εγκατάστασης χωρίς γραμμές για μία κατοικία, το οποίο έχει βασιστεί στην πλήρη αρχιτεκτονική κάτοψη. Οπως φαίνεται στο σχήμα αυτό, έχει σχεδιαστεί η πλεκτρική εγκατάσταση με τα διάφορα σύμβολα της (πίνακας, διακόπτες φωτιστικών, φωτιστικά, ρευματοδότες, και πλεκτρικές συσκευές). Δείχνεται επίσης η φορά περιστροφής των εσωτερικών κουφωμάτων, που ενδιαφέρει ιδιαίτερα για την επιλογή της θέσης των διακοπτών. Για λόγους συντόμευσης της εργασίας σχεδίαστης των πλεκτρολογικών σχεδίων εγκαταστάσεων, δεν περιλαμβάνεται συνήθως στα σχέδια αυτά ο μη πλεκτρολογικός εξοπλισμός.

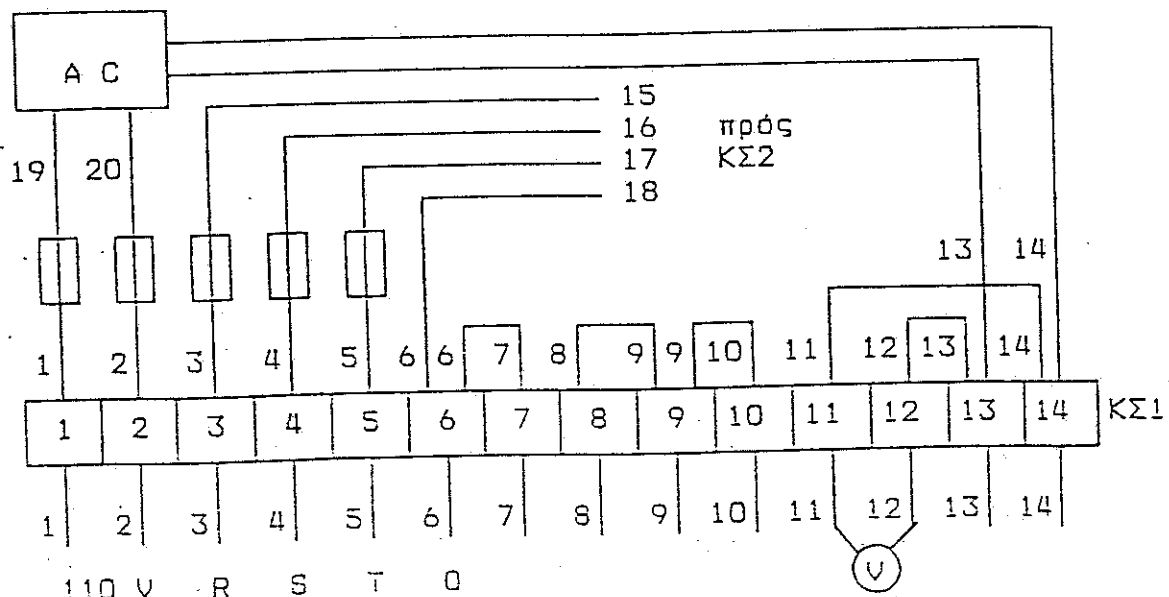
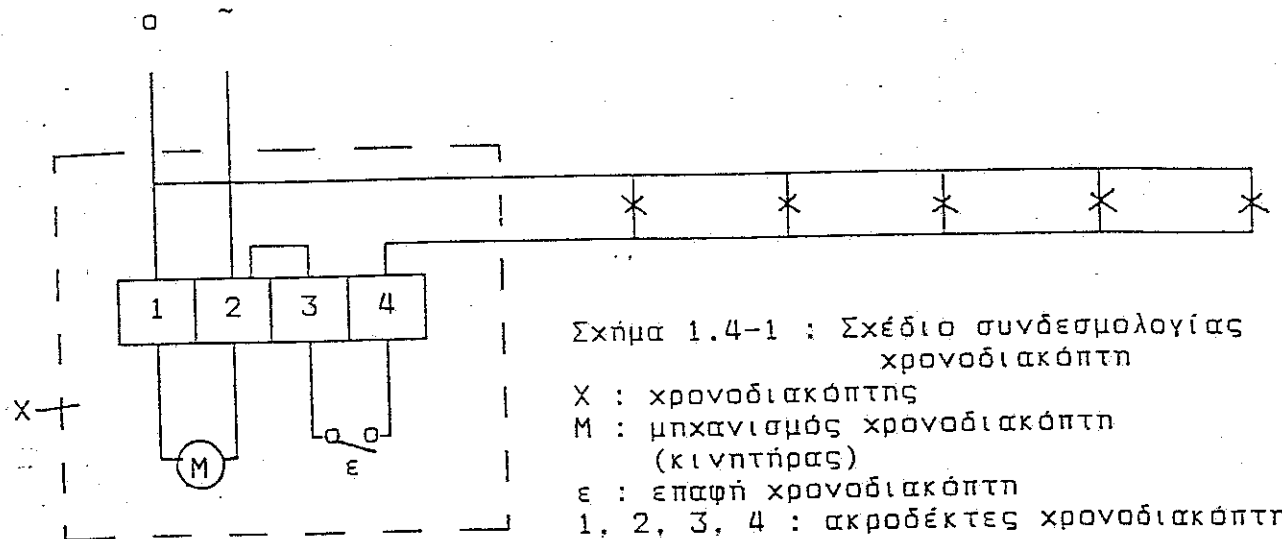
Το σχέδιο της εγκατάστασης στην κάτοψη των χώρων με τις γραμμές είναι πρακτικά ένα μονογραμμικό σχέδιο στην πραγματική θέση της εγκατάστασης (σχήμα 1.3-2). Στο σχέδιο αυτό και στο σχέδιο του πίνακα βασίζεται ουσιαστικά ο πλεκτροτεχνίτης για την πραγματοποίηση απλών οικιακών εγκαταστάσεων.



Σχήμα 1.3-2 : Παράδειγμα σχεδίου μίας εγκατάστασης στην κάτοψη των χώρων με τις γραμμές

1.4. Σχέδια καιλωδιώσεων του πλεκτρολογικού εξοπλισμού και των εγκαταστάσεων

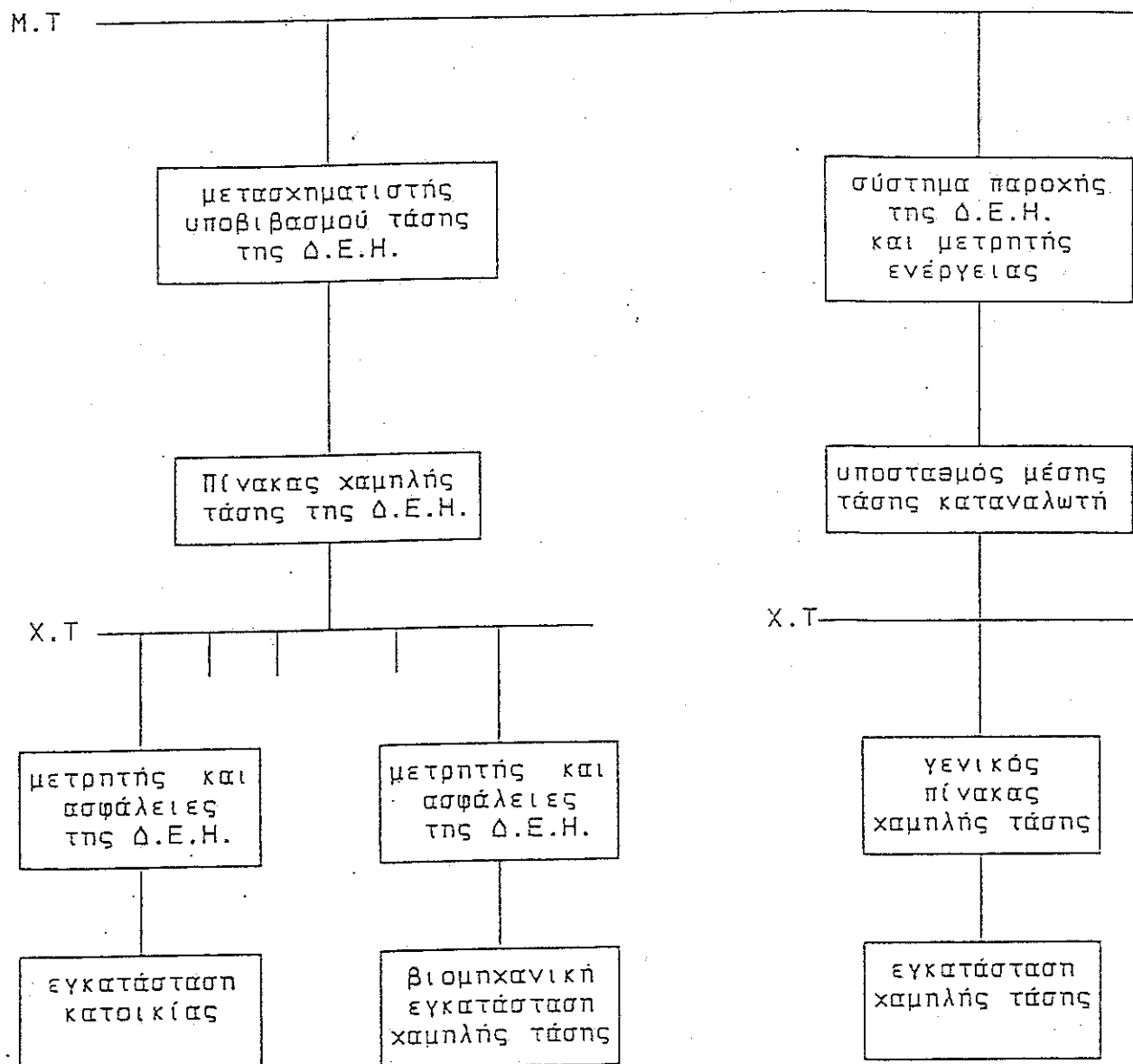
Τα σχέδια καλωδιώσεων εξυπηρετούν στην εγκατάσταση και στις συνδέσεις των καλωδίων προς τις διάφορες συσκευές ή κυκλώματα. Για το σκοπό αυτό γίνεται συνήθως μία αρίθμηση των ακροδεκτών ή των καλωδίων ή και των δύο, ώστε να διευκολύνεται ο τεχνίτης στην πραγματοποίηση της κατασκευής. Τα σχέδια αυτά δεν αποδίδουν συνήθως τη λειτουργία του κυκλώματος. Στο σχήμα 1.4-1 δίνεται ένα σχέδιο καλωδιώσεων, με αρίθμηση των ακροδεκτών ενός χρονοδιαγόραφης τηλεοπτικής φωτιστικής. Ενας άλλο παράδειγμα με αρίθμηση των ακροδεκτών και των καλωδίων φαίνεται στό σχήμα 1.4-2.



Σχήμα 1.4-2 : Παράδειγμα σκεδίου καλωδιώσεων με αρίθμηση ακερδεκτών κει λ καλωδίων

1.5. Τα λειτουργικά διαγράμματα (ή μπλόκ διαγράμματα)

Το είδος αυτό του σχεδίου, που εφαρμόζεται συχνά για την επεξήγηση της λειτουργίας πλεκτρονικών μηχανημάτων, διευκολύνει επίσης στην απλοποίηση παράσταση της λειτουργίας πολύπλοκων εγκαταστάσεων και παραγωγικών διαδικασιών, όπως π.χ. : η παράσταση των υποσταθμών του δικτύου μίας περιοχής, η παραγωγική διαδικασία σε ένα εργοστάσιο παραγωγής τσιμέντου, κ.λ.π. Στο παρακάτω σχήμα δινέται ένα μπλόκ διάγραμμα, το οποίο αποσκοπεί σε μία απλοποίηση ενηρωσης για τις παροχές χαμηλής και μέσης τάσης.



Σχήμα 1.5-1 : Ένα απλοποιημένο μπλόκ διάγραμμα για τις παροχές χαμηλής και μέσης τάσης.

X.T : χαμηλή τάση (τριφασικό δίκτυο 380 V , 50 Hz και 220 V , 50 Hz)

M.T : μέση τάση (20 kV , 15 kV και 6,6 kV)

1.6. Το μηχανολογικό σχέδιο πλεκτροτεχνικών κατασκευών

Γιά την πραγματοποίηση ενός σπουδαϊκού μέρους των περισσότερων ηλεκτροτεχνικών κατασκευών, χρειάζονται μηχανολογικά σχέδια, όπως π.χ. πίνακες χαμηλής και μέσης τάσης, ηλεκτρικές μηχανές, διπλόπτες, κ.λ.π.

Με σκοπό την ενημέρωση για τις παροχές χαμηλής τάσης της ΔΕΗ εξετάζονται παρακάτω ως παράδειγμα δύο γενικά μηχανολόγικά σχέδια ενός πίνακα χαμηλής τάσης του δικτύου της (σχήματα 1.6-1 & 1.6-2), που αφορούν ένα πίνακα 6 διευθύνσεων (ή 5 αναχωρήσεων), ο οποίος αποτελείται από μία τριφασική είσοδος μέσω μονοπολικών αποζευκτών πέντε τριφασικές αναχωρήσεις. Ο παραπάνω πίνακας είναι εξωτερικού χώρου. Από τις αναχωρήσεις του ξεκινούν οι γραμμές ρευματοδότησης πράσ τις κατοικίες και τις βιομηχανικές εγκαταστάσεις χαμηλής τάσης (τριφασικές παροχές 380 V/50 Hz και μονοφασικές παροχές 220 V/50 Hz, βλέπετε σχήμα 1.5-1).

Ενα απλοποιημένο πολυγραμμικό σχέδιο του πίνακα πέντε αναχω-
ρήσεων (ή 6 διευθύνσεων) , που διευκολύνει στη κατανόηση της λει-
τουργίας του, δίνεται στο σχήμα 1.6-3 . Οπως φαίνεται από το σχήμα
αυτό (αλλά και από το σχήμα 1.6-1) η τροφοδοσία του πίνακα από τον
μετασχηματιστή μέσης τάσης (σχήμα 1.5-1) γίνεται μέσω τεσσάρων μο-
νοπολικών αποζευκτών (ένας σε κάθε φάση και ένας στον ουδέτερο).
Οι τριφασικές αναχωρήσεις του πίνακα είναι κατακόρυφες διακλαδώ-
σεις πέντε οριζόντιων ζυγών (R, S T, Ο και MP). Παρατηρεί κανείς,
ότι σε κάθε αναχώρηση προβλέπονται τέσσερεις ασφάλειες (μία σε κά-
θε φάση και μία στον ουδέτερο). Οι συνδέσεις των καλωδίων προς τις
αναχωρήσεις του πίνακα γίνονται στα ακροκιβώτια , που βρίσκονται
ακριβώς κάτω από κάθε αναχώρηση . Η τροφοδοσία του πίνακα και μία
αναχώρηση φαίνονται αναλυτικά στις τομές A-A και B-B αντίστοιχα.
Στην τομή A-A παρατηρεί κανείς κυρίως : τον μονοπολικό αποζεύκτη
της φάσης R και τον ζυγό (μπάρα) εισόδου προς αυτόν , τους ζυγούς
(μπάρες) και το ακροκιβώτιο της πρώτης αναχώρησης , δύο μονωτικά
διαχωριστικά (1 και 2) και έναν πίνακα φωτισμού-μετρήσεων . Τα
ονομαστικά στοιχεία του αποζεύκτη είναι 800 A , 500 V . Στην τομή
B-B φαίνονται κυρίως τα στοιχεία της πρώτης αναχώρησης : οι
τέσσερεις ασφάλειοθήκες , οι ζυγοί των τριών φάσεων και του
ουδετέρου , το ακροκιβώτιο και το μονωτικό διαχωριστικό (2) . Οι
ασφάλειες που τοποθετούνται στους πίνακες αυτούς είναι μαχαιρωτού
τύπου με ονομαστικά στοιχεία 400 A/500 V (βλέπετε παράγραφο 8.1) .

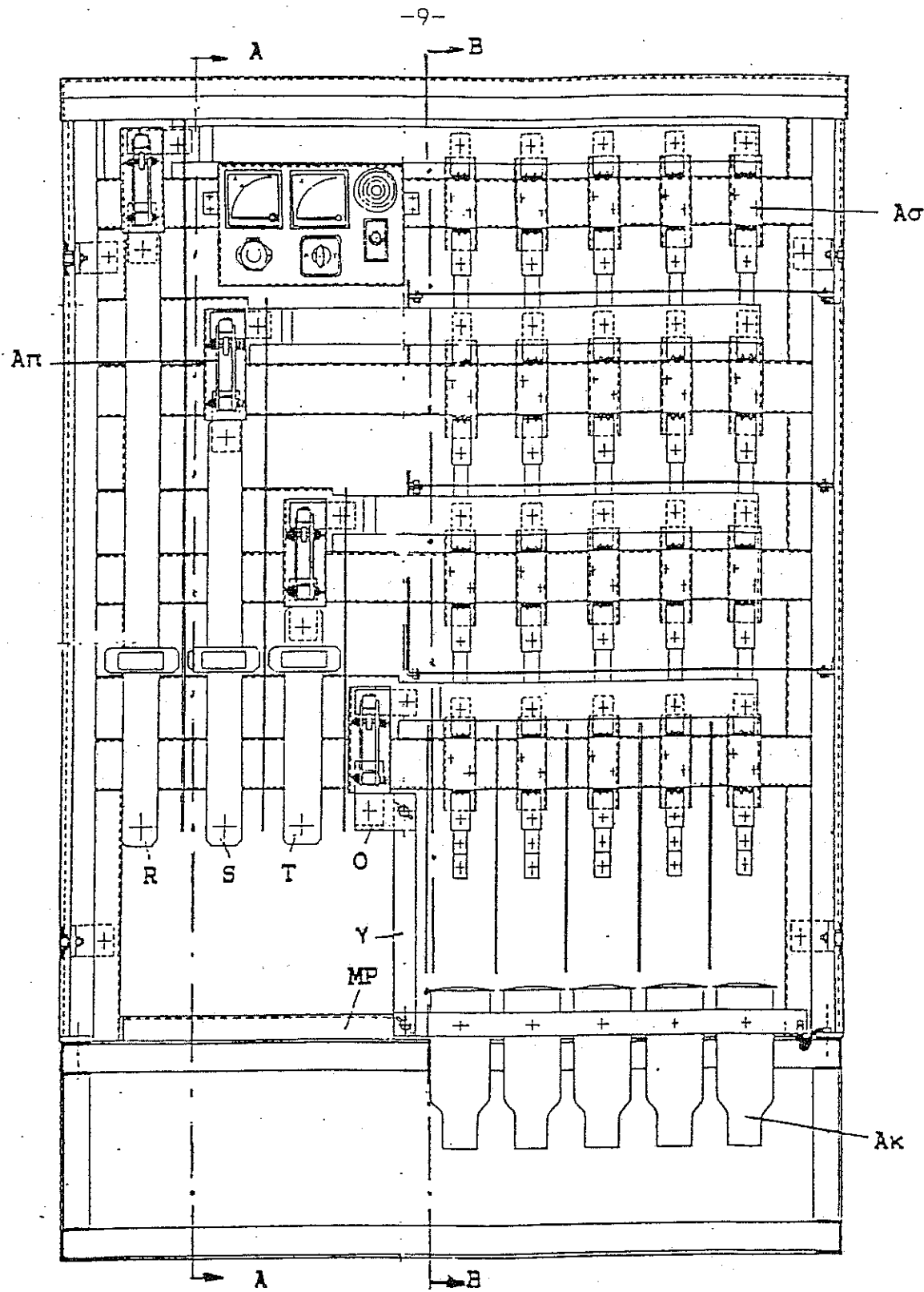
Οι πίνακες χαμηλής τάσης του δικτύου της Δ.Ε.Η διακρίνονται ως επικράτηση σε δύο κατηγορίες :

1) πάντας οι τοπικές είσοδοι μέσω μονοπολικών αποζευκτών :

- α) πίνακες 5 αναχωρήσεων (ή 6 διευθύνσεων) κατά τα σχήματα 1.6-1
 $\div 1.6-3$

β) πίνακες 8 αναχωρήσεων (ή 9 διευθήνεων), που είναι εσωτερικού
 χώρου

2) τα ασφαλειοκιβώτια (τεσσάρων ή δύο ή μέτεκανα), που
 είναι εσωτερικού χώρου και δεν έχουν σήνη είσοδο αποζεύκτες.



Σχήμα 1.6-1 : Πεντακας 6 διευθύνσεων του δικτύου χαμηλής τάσης της Δ.Ε.Η. (6 διευθύνσεις : μία είσοδος και πέντε αναχωρήσεις).

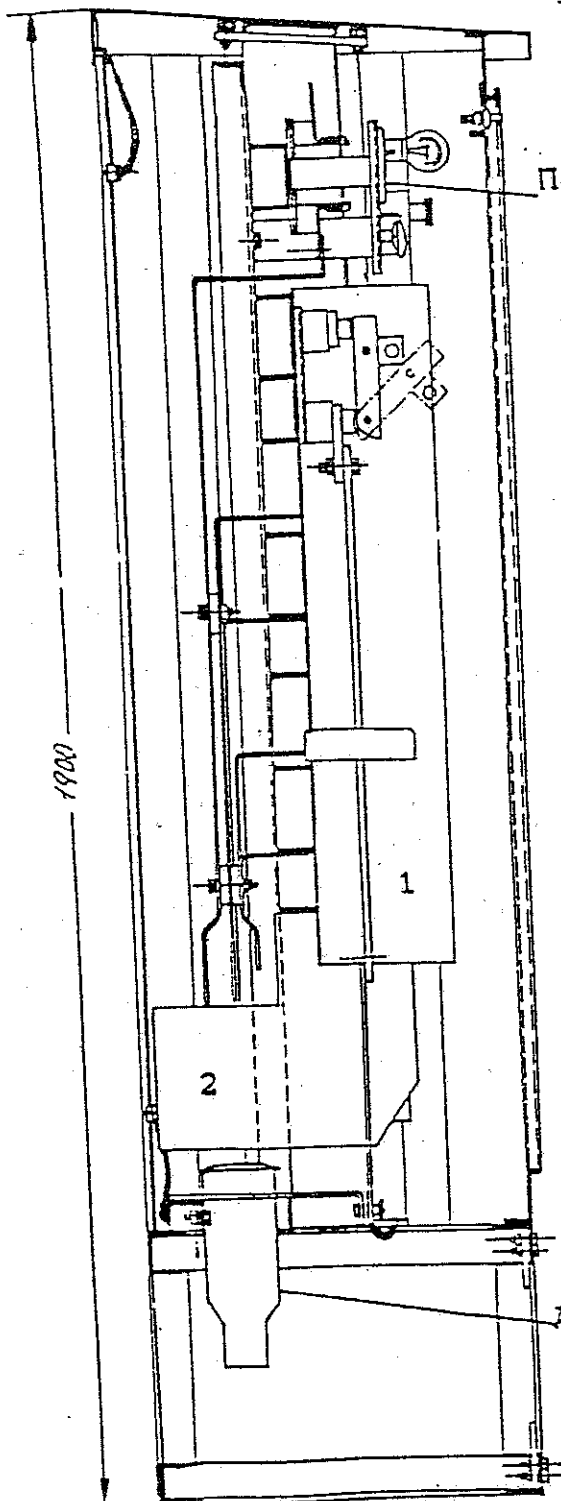
R, S, T, O, MP : συγκρότημα (R, S & T), ουδετέρου (O) και γείωσης (MP).

Aσ : ασφαλεισθήκη 400 A, 500 V

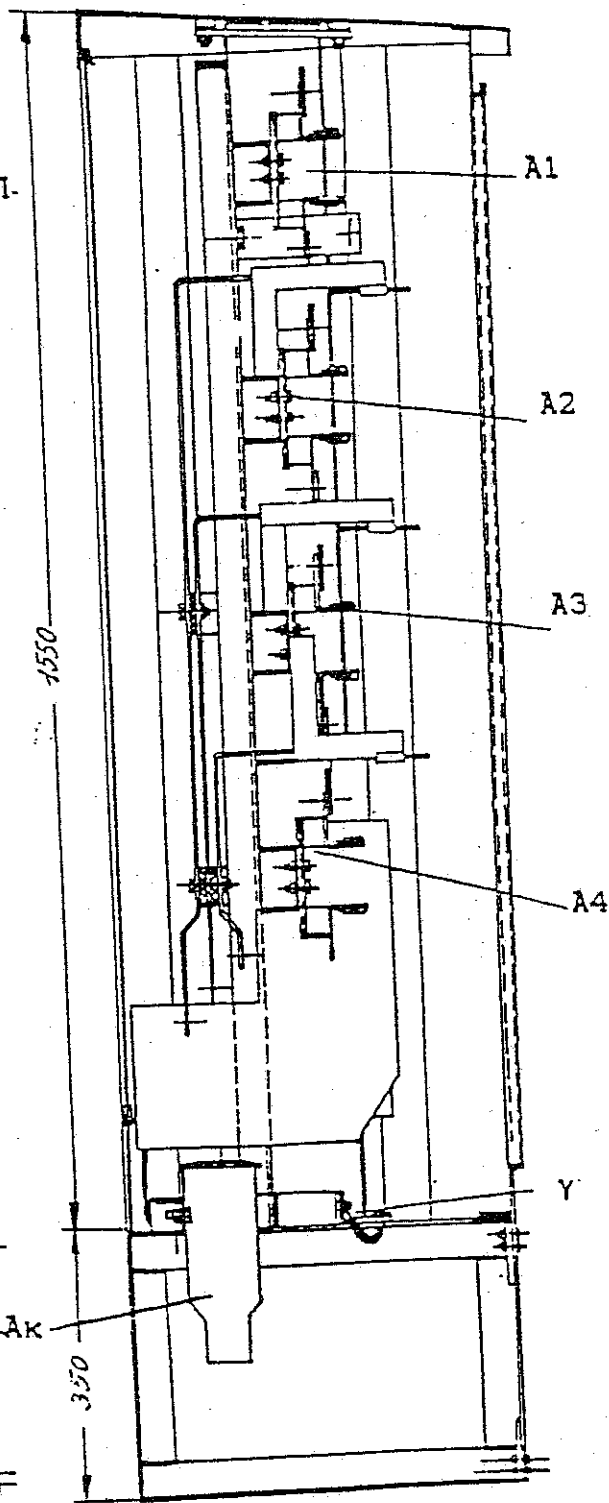
Aπ : μονοπολικός αποζεύκτης 800 A, 500 V

Ακ : ακροκιβώτιο, γέφυρα μεταξύ Ο και MP

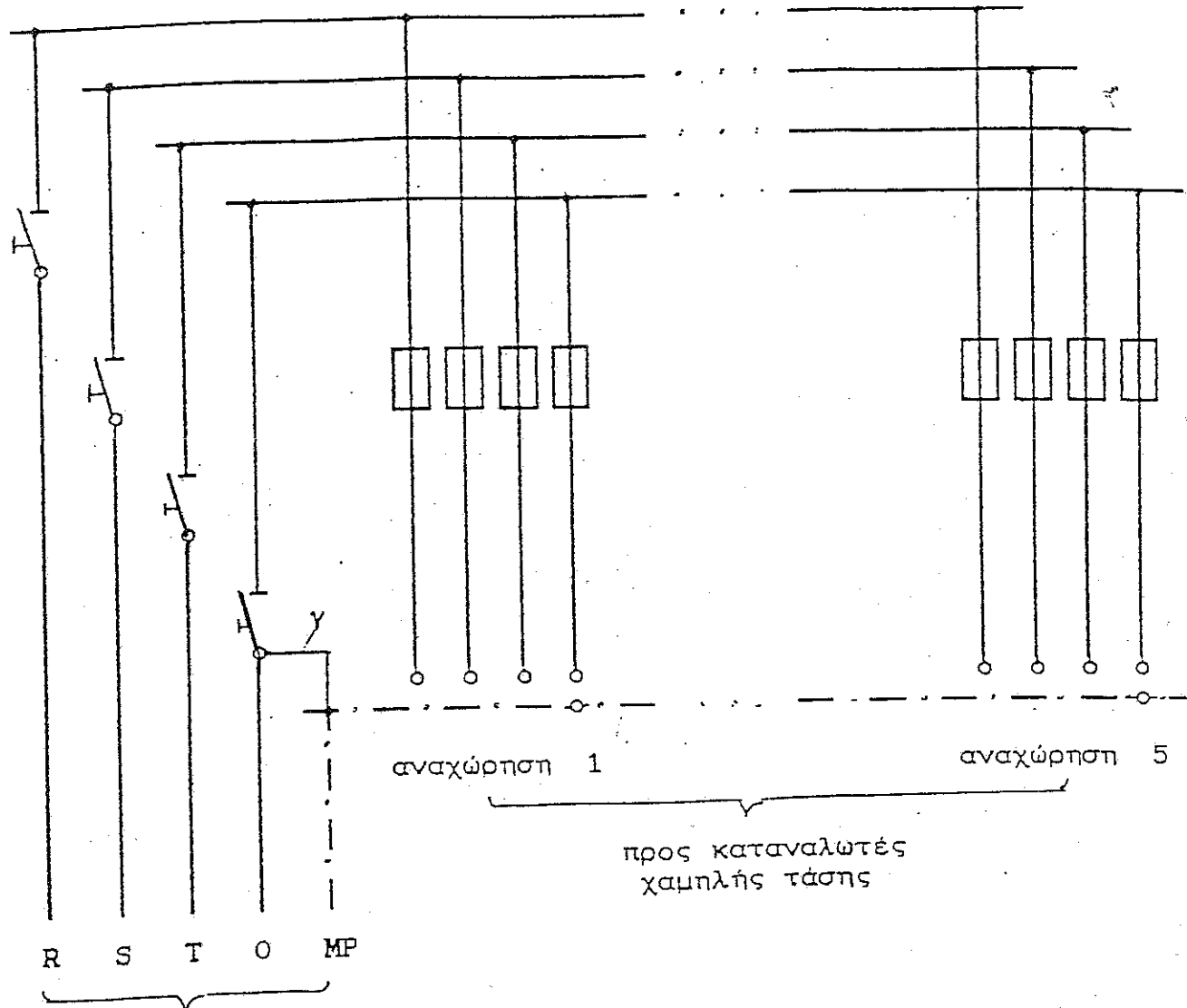
Τομή Α-Α



Τομή Β-Β



Σχήμα 1.6-2 : Τομή Α-Α και Τομή Β-Β του πίνακας 6 διευθύνσεων
κατά το προηγούμενο σχήμα.
A1, A2, A3 και A4 : ασφαλεισθήκες 400 Α, 500 V
1 και 2 : μονωτικά διαχωριστικά
Απ : μονοπολικός εποζεύκτης 800 Α, 500 V
Ακ : ακεροκιβώτιο . Υ : γέωμαρα γείωσης
Π : ηγιακας φωτισμού-μετρήσεων



από μετασχηματιστή
ψέσπις τάσης

Σχήμα 1.6-3 : Απλοποιημένα πολυγραμμικό σχέδια του πίνακα 6

Μεταλλικός αποζεύγμας : 800 A , 500 V

Μονοπολικός αποζευκτής :
Αρχέτυπο : 100 A 500 V

Ασφάλειες : 400 Α. 300 V
και χέρια στην πετρέλαιο και MP

γ : γεφυρα μεταξο ο και η

1.6.1. Συμβολαί Βαθμού προστασίας κατά DIN 40050 / IEC 144

Ο βαθμός προστασίας των διαφόρων πλεκτρικών συσκευών , αναφέρεται στην προστασία , που παρέχει η κατασκευή , έναντι : επαφής , ξένων σωματιδίων (κυρίως σκόνη) και νερού (κυρίως στεγμνότητα της κατασκευής κατά τη βροχή) . Στον παρακάτω πίνακα δίνεται ο βαθμός προστασίας κατά DIN 40050 / IEC 144 . Τα γράμματα IP ή P συνοδεύ- ονται από δύο αριθμούς . Ο πρώτος αριθμός αφορά την προστασία έναντι επαφής και ο δεύτερος εκείνη έναντι ξένων σωματιδίων και νερού.

Σύμφωνα με τα προηγούμενα, ο βασικός προστασίας του πληκτή

διευθύνεων, κατά τα σχήματα 1.6-1 και 1.6-2 είναι IP 44. Η επιλογή αυτή είναι σωστή, αφού ο πίνακας είναι εξωτερικού χώρου (εγκαθιστατικά συνήθως σε πεζοδρόμια και πλατείες κάτω από το μετασχηματιστή μέσπις τάσης). Ο βαθμός προστασίας του ιδίου πίνακα ή του πίνακα 9 διευθύνσεων (μία τριφασική είσοδος & οκτώ τριφασικές αντανακλήσεις) σε κλειστό χώρο (συνήθως σε υπόγειους χώρους πολυκατοικιών μαζί με τον μετασχηματιστή μέσπις τάσης), είναι IP 10.

| | | |
|-------|------|---|
| IP 00 | P 00 | Καμία προστασία από επαφή, σωματίδια και νερό |
| IP 10 | P 10 | Προστασία από επαφή με το χέρι και μεγάλου μεγέθους σωματίδια. Καμία προστασία από νερό |
| IP 11 | P 11 | Προστασία από επαφή με το χέρι (επί μεγάλης επιφάνειας), μεγάλου μεγέθους σωματίδια και σταγονίδια νερού |
| IP 20 | P 20 | Προστασία από επαφή με τα δάκτυλα και μεσαίου μεγέθους σωματίδια. Καμία προστασία από νερό |
| - | P 21 | Προστασία από επαφή με τα δάκτυλα, μεσαίου μεγέθους σωματίδια και σταγονίδια νερού |
| IP 23 | P 22 | Προστασία από επαφή με τα δάκτυλα & μεσαίου μεγέθους σωματίδια. Προστασία από εκσφενδονιζόμενο νερό. κάθετως ή υπό γωνία μέχρι 30° ως προς το οριζόντιο επίπεδο |
| IP 40 | P 30 | Προστασία από επαφή με εργαλεία και μικρού μεγέθους σωματίδια. Καμία προστασία από νερό |
| - | P 31 | Προστασία από επαφή με εργαλεία, μικρού μεγέθους σωματίδια και σταγονίδια νερού |
| IP 43 | P 32 | Προστασία από επαφή με εργαλεία & μικρού μεγέθους σωματίδια. Προστασία από εκσφενδονισμένο νερό, καθέτως ή υπό γωνία μέχρι 30° ως προς το οριζόντιο επίπεδο |
| IP 44 | P 33 | Προστασία από επαφή με εργαλεία & μικρού μεγέθους σωματίδια. Προστασία από εκσφενδονισμένο νερό προς όλες τις διευθύνσεις |
| IP 40 | P 40 | Προστασία από βοηθητικά μέσα κάθε είδους, σκόνη. Καμία προστασία από νερό |
| - | P 42 | Προστασία από βοηθητικά μέσα κάθε είδους και σκόνη. Προστασία από εκσφενδονισμένο νερό, καθέτως ή υπό γωνία μέχρι 30° ως προς το οριζόντιο επίπεδο |
| IP 54 | P 43 | Προστασία από βοηθητικά μέσα κάθε είδους, σκόνη και εκσφενδονισμένο νερό προς όλες τις διευθύνσεις |
| IP 55 | P 44 | Προστασία από βοηθητικά μέσα κάθε είδους, σκόνη και εκτοξευόμενο νερό |
| - | P 50 | Προστασία από βοηθητικά μέσα κάθε είδους, πλήρης προστασία από σκόνη και καμία προστασία από νερό |
| IP 65 | P 54 | Προστασία από βοηθητικά μέσα κάθε είδους, πλήρης προστασία από σκόνη και προστασία από νερό |
| IP 67 | P 55 | Προστασία από βοηθητικά μέσα κάθε είδους, πλήρης προστασία από σκόνη και προστασία από εκτοξευόμενο νερό υπό πίεση |

Πίνακας 1.6.1-1 : Σύμβολα βαθμού προστασίας κατά DIN 40050/IEC 144

IP : νέος συμβολισμός

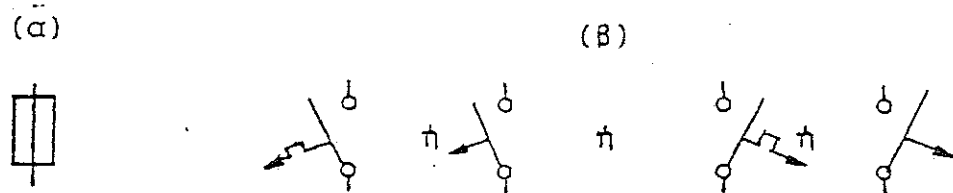
P : παλαιός συμβολισμός

2. Μελέτες φωτισμού

2.1 Ασφάλειες και διακόπτες σε κυκλώματα φωτισμού

Ως πλεκτρική γραμμή θεωρούμε το σύνολο των αγωγών παροχής τάσης σε ένα φορτίο. Η γραμμή π.χ. ενός θερμοσίφωνα είναι οι αγωγοί από τον πίνακα μέχρι τον θερμοσίφωνα. Μία γραμμή είναι επίσης οι αγωγοί των φωτιστικών και των ρευματοδοτών δύο δωματίων, κ.λ.π.

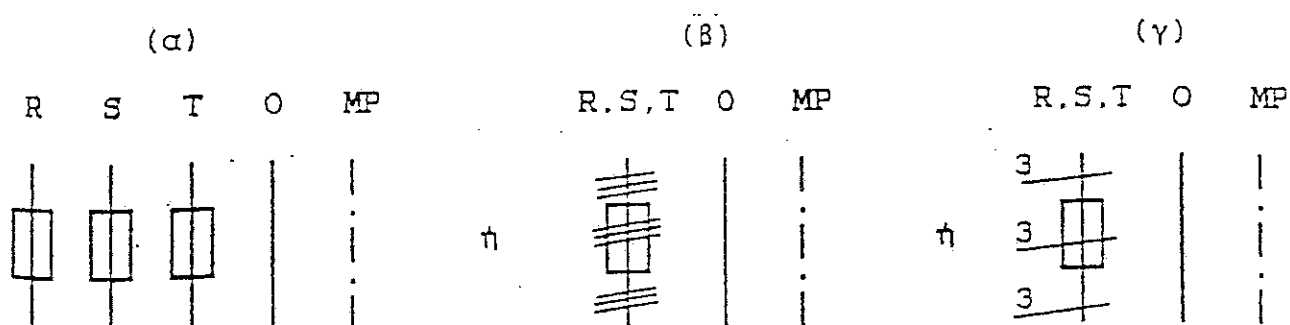
Η ασφάλεια προστατεύει τους αγωγούς μίας γραμμής από υπερεντάσεις. Οι ασφάλειες διακρίνονται σε δύο τύπους (σχήμα 2.1-1). Οι ασφάλειες τήξης έχουν, συγκριτικά προς τις ασφάλειες τύπου μι-



Σχήμα 2.1-1 : Τύποι ασφαλειών σε εγκαταστάσεις φωτισμού
 α : ασφάλειες τήξης (τήξη του συρματιδίου κατά την υπερένταση)
 β : ασφάλειες τύπου μικροσυτόματου

κροσυτόματου ένα χρονικό όριο ανοχής σε απότομες μεταβολές του φορτίου. Γιά το λόγο αυτό οι ασφάλειες τήξης χρησιμοποιούνται στις εγκαταστάσεις φωτισμού ως γενικές ασφάλειες πινάκων. Τοποθετούνται επίσης ως προστασία για τη γραμμή της πλεκτρικής κουζίνας και τη γραμμή του θερμοσίφωνα.

Οι ασφάλειες τήξης διακρίνονται σε ταχείας και βραδείας τήξης (βλέπετε παράγραφο 8.1).



Σχήμα 2.1-2 : ασφάλειες σε μία τριφασική παροχή.
 α : πολυγραμμικό σχέδιο,
 β (γ) : μονογραμμικό σχέδιο
 R, S, T: οι τρείς φάσεις,
 O: ουδέτερος,
 Mp : γείωση

Οι ασφάλειες τοποθετούνται στις φάσεις (σχ. 2.1-2) . Σε περίπτωση μονογραμμικών γραμμών τοποθετείται μία μόνο ασφάλεια στην φάση . Οι ασφάλειες στον γενικό πίνακα του καταναλωτή έχουν γενικά μικρότερη τιμή από εκείνες της Δ.Ε.Η.

Στο παρακάτω σχήμα δίνονται σύμβολα διακοπών κατά DIN 40713, καθώς και παραλλαγές τους, που συνηθίζονται σήμερα.

| Είδος διακόπτη | Πολυγραμμικό σχέδιο * κατά DIN | Μονογραμμικό σχέδιο * κατά DIN |
|------------------------|--------------------------------|--------------------------------|
| μονοπολικός αποζεύκτης | | |
| διπολικός αποζεύκτης | | |
| τριπολικός αποζεύκτης | | |
| ασφαλει- αποζεύκτης | | |
| αυτόματος διακόπτης | | |

Σχήμα 2.1-3 : Σύμβολα διακοπών σε πίνακες χαμηλής τάσης
* : χρησιμοποιείται συχνά

Οι διακόπτες αποτελούνται από κινητά και σταθερά μέρη. Τα μεταλλικά τμήματα των μεσών αυτών, μέ τα οποία επιτυχάνεται η διέλευση του ηλεκτρικού ρεύματος, ονομάζονται επαφές . Οι βέσεις σύνδεσης των αγωγών στους διακόπτες ονομάζονται ακροδέκτες . Όλες οι επαφές ενός διακόπτη κλείνουν ή ανοίγουν ταυτόχρονα κατά τον αντίστοιχο χειρισμό του.

Οι διακόπτες του περισπάνω σχημάτος έχουν δύο λειτουργι-

Κές Βέσεις :

- διακόπτης στη θέση εντός (ON) : κατάσταση λειτουργίας (διακόπτης κλειστός)
 - διακόπτης στη θέση εκτός (OFF) : κατάσταση μη λειτουργίας (διακόπτης ανοικτός)

Από το παραπάνω σχήμα φαίνεται ότι ολοι οι διακόπτες έχουν σχεδιαστεί στην θέση εκτός. Ο τρόπος αυτός σχεδίασης είναι ένας γενικός κριτής του ηλεκτρολογικού σχεδίου σύμφωνα με τον οποίο :

ΠΩΣ ΤΑ ΚΥΚΛΩΜΑΤΑ ΣΧΕΔΙΑΖΟΝΤΑΙ ΣΕ ΚΑΤΑΣΤΑΣΗ ΜΗ ΛΕΙΤΟΥΡΓΙΑΣ

Στο σχήμα 2.1-4 δίνεται ένα παράδειγμα σωστής και λανθασμένης πρεδίσπης ενός μονοπολικού αποζεύκτη.

三

λέος



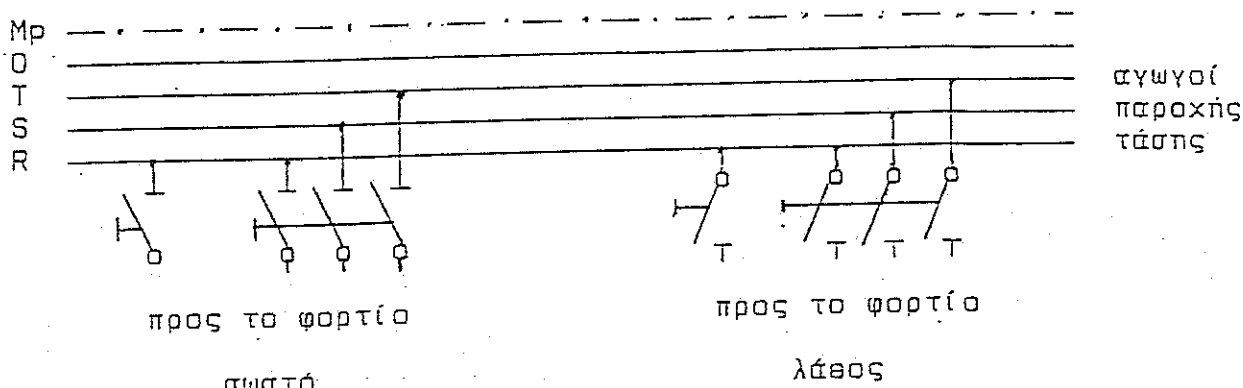
Σχήμα 2.1-4 : Παράδει γμα σωστής και λανθασμένης σχεδίασης ενός μονοπολικού αποζεύκτη

Στις οικιακές πλεκτρικές εγκαταστάσεις έχουν εφαρμογή μονοπολικοί διπολικοί και τριπολικοί αποζεύκτες.

Οι μονοπόλικοί αποζεύκτες χρησιμοποιούνται ως γενικοί διακόπτες στους μονοφασικούς πίνακες και ως διακόπτες στις αναχωρήσεις των πλυντηρίων πουστών πλεκτρικής κουζίνας και των θερμοσίφωνα.

Οι τριπολικοί αποζεύκτες έχουν αντίστοιχη εφαρμογή προς εκείνη των μονοπολικών αποζευκτών, αλλά σε τριψασικούς πίνακες και τριψασικές αγαχωρήσεις τους.

Οι παραπάνω αποζεύκτες χρησιμεύουν γενικά για την απομόνωση της εγκατάστασης από το δίκτυο (διακοπή της τάσης). Έτσι, ώστε οι διάφορες εργασίες συντήρησης να είναι ακίνδυνες. Η σωστή σχεδίαση των διακοπών γενικά (και επομένως η σωστή εγκατάσταση τους) σε σχέση με τους αγωγούς παροχής της τάσης φαίνεται στο παρακάτω σχήμα. Σύμφωνα με αυτό οι μονοπολικοί και οι τριπολικοί αποζεύκτες (και



Σχήμα 2.1-5 : Σωστή και λανθασμένη σχεδίαση μονοπολικών και τριπολικών αποζευκτών (και γενικότερα μονοπολικών και τριπολικών διακοπτών κάθε είδους).

γενικότερα οι μονοπολικοί και οι τριπολικοί διακόπτες του σχηματος 2.1-3) πρέπει να συνδέονται μόνο στους αγωγούς φάσης. Οι δύο διπλασδή λειτουργικές καταστάσεις του κυκλώματος του φορτίου (κύκλωμα υπό τάση - κύκλωμα χωρίς τάση) επιτυχάνονται αντίστοιχα με ζεύξης και απόζευξης προς τους αγωγούς φάσης και όχι προς τον αγωγό ουδετέρου. Σημειώνεται ότι οι ακροδέκτες σύνδεσης του διακόπτη με τους αγωγούς φάσης είναι εκείνοι των επαφών, μέσω των οποίων γίνεται η ζεύξη-απόζευξη και όχι των επαφών, που χρησιμεύουν ως βέση περιστροφής του κινητού μέρους.

Σε μονοφασικούς πίνακες οικιακών πλεκτρικών εγκαταστάσεων σύγχρονης τεχνολογίας χρησιμοποιούνται ως γενικοί διακόπτες, αλλά και ως διακόπτες γιά τις αναχωρήσεις προς την κουζίνα και τον πλεκτρικό θερμοσίφωνα, διπολικοί διακόπτες, που φαίνονται εξωτερικά όπως οι ασφάλειες τύπου μικροσυστόματου. Οι διακόπτες αυτοί συνδέονται στην φάση και στον ουδετέρο. Υπάρχουν επίσης τριπολικοί διακόπτες του είδους αυτού, που έχουν εφαρμογή ως γενικοί διακόπτες σε πίνακες οικιακών εγκαταστάσεων και ως διακόπτες τριφασικών αναχωρήσεων.

Σε γενικούς πίνακες φωτισμού μεγάλων κτιρίων (βιομηχανίες, νοσοκομεία, ξενοδοχεία κ.λ.π.), καθώς και σε υποπίνακες μεγάλων φορτίων φωτισμού των παραπάνω εγκαταστάσεων, χρησιμοποιούνται διπολικοί αποζεύκτες, ασφαλειαποζεύκτες και αυτόματοι διακόπτες. Σε περιπτώσεις μονοφασικών φορτίων χρησιμόποιούνται μονοπολικοί αποζεύκτες. Σε υποπίνακες εγκαταστάσεων φωτισμού μικρής ισχύος εφαρμόζονται τα προαναφερόμενα γιά τις οικιακές εγκαταστάσεις (π.χ.: πίνακες φωτισμού ενός ορόφου ξενοδοχείου, πίνακες φωτισμού ορισμένων γραφείων ενός εργοστασίου, πίνακες μίας κλινικής νοσοκομείου, κ.λ.π.).

Οσο μεγαλύτερη είναι η τιμή της απορροφημένης έντασης του πλεκτρικού ρεύματος σε μία εγκατάσταση, τόσο περισσότερο μειώνεται η δυνατότητα χειρισμού της μέσω ενός αποζεύκτη. Αυτό οφείλεται στο πλεκτρικό τόξο, που εκδηλώνεται στις επιφένεις του αποζεύκτη κατά τους χειρισμούς, το οποίο μετά από μία τιμή της απορροφημένης έντασης (~ 80 A) είναι επικίνδυνο γιά τον χειριστή και την εγκατάσταση. Στις περιπτώσεις αυτές χρησιμοποιείται ως μέσο χειρισμού της εγκατάστασης ο αυτόματος διακόπτης, ενώ ο αποζεύκτης χρησιμεύει μόνο ως μέσο απομόνωσής της από την τάση, μετά όμως από τη διακοπή της τάσης προς το φορτίο μέσω του αυτόματου διακόπτη. Ο αυτόματος διακόπτης περιορίζει δηλαδή την εκδήλωση του πλεκτρικού τόξου, χωρίς κίνδυνο γιά τον χειριστή & την εγκατάσταση. Αυτό επιτυχάνεται στους αυτόματους διακόπτες μέσω ειδικών μηχανισμών ελαττορίων και επαφών, γιά την ταχύτατη κίνηση των επαφών (συγκριτικά προς εκείνη στους αποζεύκτες), καθώς και μεσαί σβέψεων του πλεκτρικού τόξου και απαγωγής της θερμότητάς του (θάλαμοι σβέσης του τόξου στον αέρα ή το μονωτικό λάδι). Ανάλογα με το μονωτικό, που χρησιμεύει γιά την σβέση του τόξου και την απαγωγή της θερμότητάς του, οι αυτόματοι διακόπτες διακρίνονται σε αυτόματους διακόπτες αέρος και αυτόματους διακόπτες ελαίου.

Εκτός από τις παραπάνω οι αυτόματοι διακόπτες (ή διακόπτες ισχύος) διαθέτουν βοηθητικά κυκλώματα και μηχανισμούς, που σε περιπτώσεις σπάτωμαν μεταβολών της τάσης ή του ρεύματος (π.χ.: απότομη αύξηση ή μείωση της τάσης του δικτύου, υπερένταση λόγω υπέρμετρης αύξησης του φορτίου, κ.λ.π.), τους θέτουν αυτόματα εκτός λειτουργίας, προστατεύοντας έτσι την εγκατάσταση.

Επομένως οι αυτόματοι διακόπτες είναι γενικά μέσα χειρισμού και

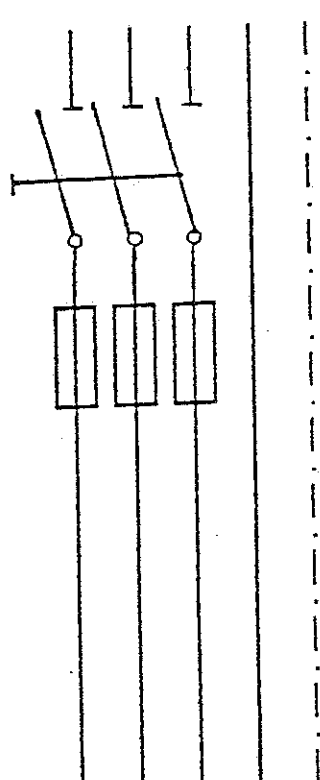
προστασίας των εγκατάστασεων.

Η θέση των ασφαλειών και των διακοπών σε έναν πίνακα, σε σχέση με την παροχή της τάσης (ή το φορτίο) υπαγορεύεται από τον σκοπό, που εξυπηρετεί κάθε ένα από τα παραπάνω εξαρτήματα. Οπως φαίνεται στο σχήμα 2.1-6, ο αποζεύκτης προηγείται των ασφαλειών, ως προς την παροχή της τάσης, γιατί διευκολύνει την περισσότερο από αυτές στην απομόνωση του κυκλώματος του φορτίου από το δίκτυο, ώστε να γίνονται ακίνδυνα οι διάφορές εργασίες συντήρησης και επισκευών, μεταξύ των οποίων περιλαμβάνεται η αλλαγή ασφαλειών. Ο αυτόματος διακόπτης τοποθετείται, ως μέσο χειρισμού & προστασίας του φορτίου, προς την μεριά του φορτίου (δηλαδή μετά τις ασφάλειες).

(α)

Είσοδος
(παροχή τάσης)

R S T O MP

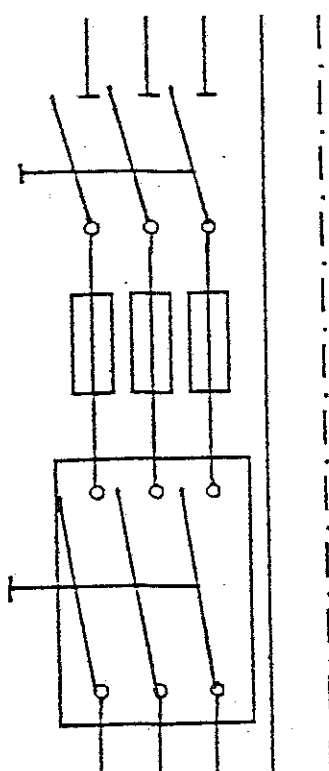


Εξόδος
(προς το φορτίο)

(β)

Είσοδος
(παροχή τάσης)

R S T O MP



Εξόδος
(προς το φορτίο)

Σχήμα 2.1-6 : Θέση των διακοπών και των ασφαλειών στους πίνακες α. παροχή τάσης προς ένα φορτίο μέσω αποζεύκτη και ασφαλειών

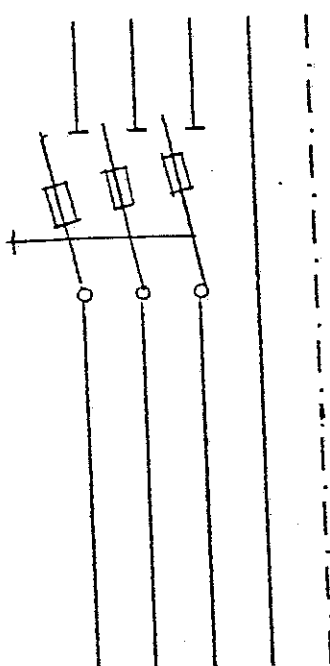
β. παροχή τάσης προς ένα φορτίο μέσω αποζεύκτη, ασφαλειών και αυτόματου διακόπτη

Από τα παραπάνω φαίνεται ότι ο τριπολικός ασφαλειαποζεύκτης είναι ο συνδυασμός του τριπολικού αποζεύκτη και των ασφαλειών σε ένα ενιαίο είδος. Στο σχήμα 2.1-7 δίνεται ένα παράδειγμα, που αντιστοιχεί στις παροχές κατά το σχήμα 2.1-6.

(α)

Είσοδος
(παροχή τάσης)

R S T O MP

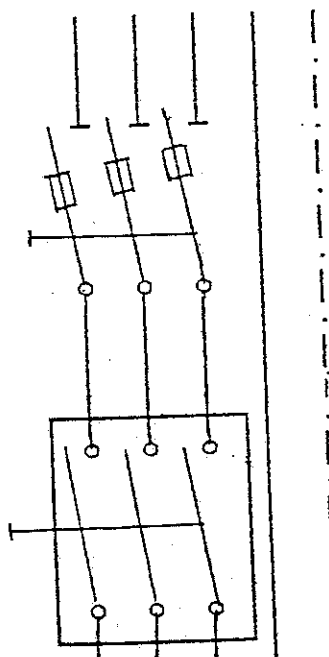


Εξόδος
(προς το φορτίο)

(β)

Είσοδος
(παροχή τάσης)

R S T O MP



Εξόδος
(προς το φορτίο)

Σχήμα 2.1-7 : Θέση του τριπολικού ασφαλειαποζεύκτη στους πίνακες
α. τριπολικός ασφαλειαποζεύκτης (αντί τριπολικού
αποζεύκτη και ασφαλειών)
β. τριπολικός ασφαλειαποζεύκτης σε συνδυασμό με
αυτόματο διακόπτη

Τα είδη των διακοπών, που προαναφέρθηκαν, χρησιμοποιούνται στους πίνακες. Οι διακόπτες των φωτιστικών έχουν ίδιαίτερο συμβολισμό (πίνακας 2.1-4).
Ο απλός διακόπτης χειρισμού φωτιστικών είναι ένα είδος μονοπολικού αποζεύκτη μικρών διαστάσεων.
Οι υπόλοιποι διακόπτες φωτιστικών είναι παραλλαγές του αποζεύκτη, οι οποίων επιτυχάνονται ορισμένες διευκολύνσεις στον χειρισμό των φωτιστικών, ανάλογα με τον χώρο. Εποι., με τον κομμιτετέρη σύμβολο των φωτιστικών, μπορεί κανείς να χειρίζεται μέρος των λαμπτήρων, ή όλους διακοπή μπορεί κανείς να χειρίζεται μέρος των λαμπτήρων, ή όλους λαμπτήρες ενός πολύσωμου, οι διακόπτες αλλέ-ρετούρ διευκολύνουν στο χειρισμό φωτιστικών από διάφορες θέσεις (π.χ. φωτιστικά ενός μεγάλου διαδρόμου) .
κ.λ.π.

| Είδος διακόπτη χειρισμού φωτιστικών | Σύμβολο στά σχέδια των εγκαταστάσεων | Σχέδιο λειτουργίας του διακόπτη |
|-------------------------------------|--------------------------------------|---------------------------------|
| απλός διακόπτης | | |
| διπολικός διακόπτης | | |
| διακόπτης κομμιτατέρ | | |
| διακόπτης επιλογής ομάδων | | |
| διακόπτης αλλέ-ρετούρ ακραίος | | |
| διακόπτης αλλέ-ρετούρ μεσαίος | | |

Πίνακας 2.1-4 : Σύμβολα και σχέδια λειτουργίας των διακοπών χειρισμού των φωτιστικών.

ΠΑΡΑΡΤΗΜΑΤΑ

1. Καλώδια

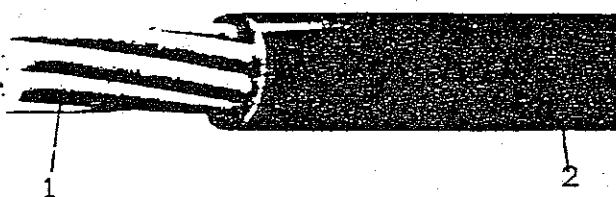
1.1. Σύμβολισμός των καλωδίων στα σχέδια

Ο συμβολισμός των καλωδίων στα σχέδια περιλαμβάνει στοιχεία για τη μόνωση και την διατομή τους (σχήμα 2.1.1-2).

- | | |
|--|---------------------------------|
| 1) Ενας αγωγός με θερμοπλαστική μόνωση (καλώδιο NYA), η διατομή του οποίου είναι $1,5 \text{ mm}^2$ | NYA $1,5 \text{ mm}^2$ |
| 2) Τρεις αγωγοί φάσης με θερμοπλαστική μόνωση (τρία καλώδια NYA) και με διατομή 16 mm^2 ο καθένας | NYA 16 mm^2 |
| 3) Καλώδιο NYY τριών αγωγών με διατομή $1,5 \text{ mm}^2$ ο καθένας | NYY $3 \times 1,5 \text{ mm}^2$ |
| 4) Καλώδιο NYM πέντε αγωγών με διατομή $2,5 \text{ mm}^2$ ο καθένας | NYM $5 \times 2,5 \text{ mm}^2$ |

Σχήμα 1.1-1 : Παραδείγματα σχεδίασης αγωγών, ανάλογα με το είδος της μόνωσης και τη διατομή τους.

Στό σχήμα 1.1-2, 1.1-3 και 1.1-4 φαίνονται αντίστοιχα οι μονώσεις των καλωδίων NYA, NYM και NYY. Τα καλώδια NYA και NYM ανήκουν στη κατηγορία των καλωδίων εσωτερικών εγκαταστάσεων για μόνιμη τοποθέτηση, ενώ τα NYY είναι καλώδια ενέργειας.

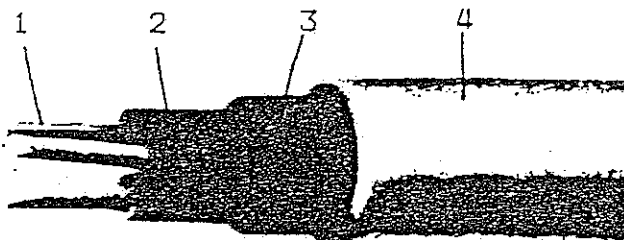


Σχήμα 1.1-2 : Καλώδιο NYA κατά VDE 0250. Ονομαστική τάση 1 kV

- 1 : Αγωγός (μονόκλωνος ή πολύκλωνος από συρματόδια ανωπτημένου χαλκού)
- 2 : Θερμοπλαστική ύλη PVC

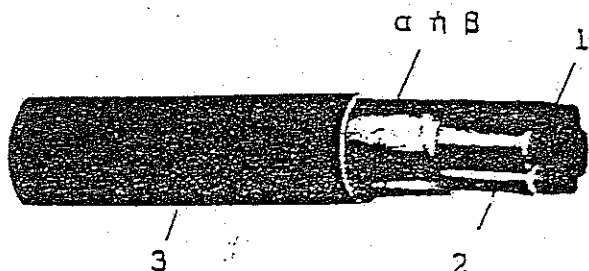
Τα καλώδια NYA και NYM έχουν πολύ μεγάλη εφαρμογή στις οικιακές εγκαταστάσεις. Χρησιμοποιούνται επίσης και στις βιομηχανικές εγκαταστάσεις. Τα καλώδια NYA τοποθετούνται εντός σωλήνων (εντοιχισμένων ή εξωτερικών). Τα καλώδια NYM χρησιμοποιούνται κυρίως εκτός σωλήνων. Έχουν επίσης εφαρμογή σε υπαεριες εγκαταστάσεις.

Εκτός από τα καλώδια NYA και NYM υπάρχουν και άλλα είδη καλωδίων μόνιμων εγκατεστάσεων, όπως π.χ.: NYAF (αντί του NYA), NYIFY (καλώδιο με πολλούς αγωγούς για τοποθέτηση σε ξηρούς χώρους, μέσσα ή κάτω από το επίχοισμα), NYFAZ (καλώδιο με παράλληλους αγωγούς για τροφοδοσία φωτιστικών). Υπάρχουν επίσης διάφοροι τύποι



Σχήμα 1.1-3 : Καλώδιο NYM κατά VDE 0250. Ονομαστική τάση 500 V

- 1 : Αγωγός (μονόκλωνος ή πολύκλωνος από συρματίδια ανωπτημένου χαλκού)
 2 : Θερμοπλαστική ύλη PVC
 3 : Λάστιχο
 4 : Θερμοπλαστική ύλη PVC



Σχήμα 1.1-4 : Καλώδιο NYY κατά VDE 0271 . Uo/U = 0,6/1 kV

- Αγωγός : Μονόκλωνος ή πολύκλωνος αγωγός από συρματίδια ανωπτημένου χαλκού (1)
 Μόνωση : Θερμοπλαστική ύλη PVC (2)
 Εσωτ. επένδυση : α) Γιά αγωγούς κυκλικής διατομής : λάστιχο
 β) Γιά αγωγούς διατομής κυκλικού τομέα : Μονωτική ταινία από θερμοπλαστική ύλη PVC (ελικοειδής περιέλιξη στο σύνολο των συνεστραφμένων αγωγών)
 Εξωτ. επένδυση : Θερμοπλαστική ύλη PVC (3)

εύκαμπτων καλωδίων, για την τροφοδοσία συσκευών από την εγκατάσταση, όπως π.χ : NYLHY (γιά μικρές φορητές συσκευές με ελαφρές μηχανικές καταπονήσεις : ραδιόφωνα, ξυριστικές μηχανές, κ.λ.π.) , NLH (γιά συσκευές σε ξηρούς χώρους με μεσαίες καταπονήσεις) και NMH (γιά ξηρούς ή υγρούς χώρους).

Τα καλώδια NYY χρησιμοποιούνται σε εσωτερικούς χώρους (ορατή εγκατάσταση ή εγκατάσταση σε σωλήνες), σε υπαίθριες εγκαταστάσεις (πολλές φορές εντός του εδάφους) και γενικά όπου είναι αναγκαία η αυξημένη προστασία από υγρασία . Οι εφαρμογές τους αφορούν κυρίως την περιοχή των βιομηχανικών εγκαταστάσεων.

Περισσότερες πληροφορίες για τα καλώδια , που προσαναφέρονται, καθώς και γιά άλλους τύπους καλωδίων , σανάλογα με την χρήση τους (ορυχεία, φωτεινή σήμανση αεροδρομίων, μεταφορά ενέργειας, κ.λ.π). Εάν πρέπει να αναζητηθούν σε τεχνικά εγχειρίδια κατασκευαστών.

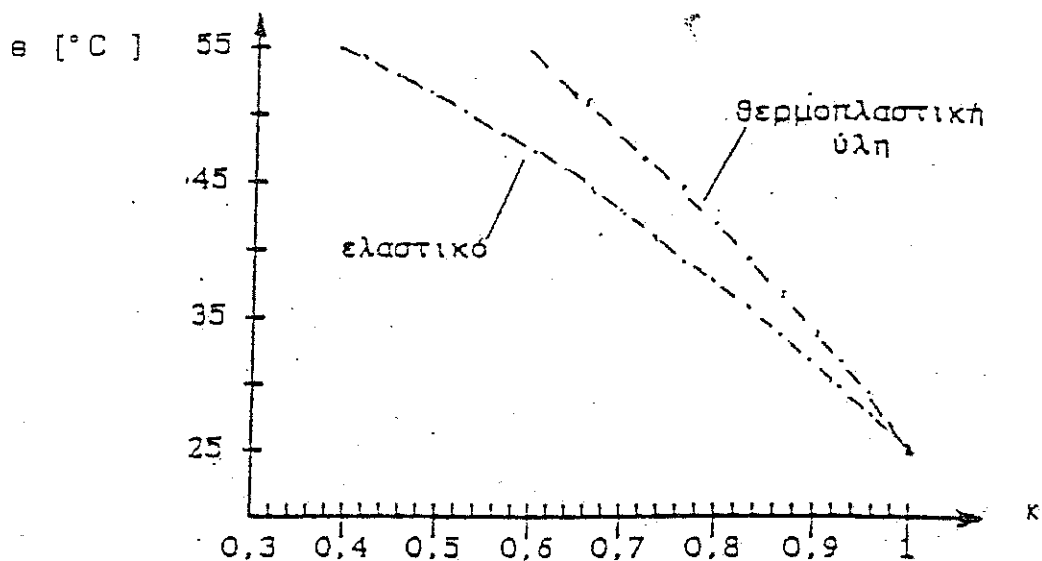
Ο συμβολισμός ενός καλωδίου σε μία παραγγελία με στοιχεία , που αφορούν μόνο τον τύπο του καλωδίου , το πλήθος των αγωγών και την διατομή των αγωγών του , δεν είναι πληρος , γιατί δεν δίνονται

από αυτόν πληροφορίες γιατί την μονωτική ικανότητα του καλώδιου.
 Η μονωτική ικανότητα ενός καλώδιου δίνεται κατά Γερμανικές προδιαγραφές (VDE 0271) με τις ονομαστικές τάσεις του U_0 και U_N
 (βλέπετε παράγραφο 11.4.1, σελ. 141-142).
Παράδειγμα : NYY 3x10 mm, 0,6/1 kV.
 Για το καλώδιο αυτό ισχύει δηλαδότι : $U_0=0,6$ kV και $U_N=1$ kV.

1.2. Πίνακες υπολογισμού καλώδιων εσωτερικών εγκαταστάσεων για μόνιμη τοποθέτηση

| ΔΙΑΤΟΜΗ ΑΓΩΓΟΥ | ΟΜΑΔΑ 1 | | ΟΜΑΔΑ 2 | | ΟΜΑΔΑ 3 | |
|-------------------|--------------------------|------------|------------|------------|------------|------------|
| | Cu σε mm ² | Al σε A | Cu σε A | Al σε A | Cu σε A | Al σε A |
| 0,75 | - | - | 13 | - | 16 | - |
| 1 | 12 | - | 16 | - | 20 | - |
| 1,5 | 16 | - | 20 | - | 25 | - |
| 2,5 | 21 | 16 | 27 | 21 | 34 | 27 |
| 4 | 27 | 21 | 36 | 29 | 45 | 35 |
| 6 | 35 | 27 | 47 | 37 | 57 | 45 |
| 10 | 48 | 38 | 65 | 51 | 78 | 61 |
| 16 | 65 | 51 | 87 | 68 | 104 | 82 |
| 25 | 88 | 69 | 115 | 90 | 137 | 107 |
| 35 | 110 | 86 | 143 | 112 | 168 | 132 |
| 50 | 140 | 110 | 178 | 140 | 210 | 165 |
| 70 | 175 | - | 220 | 173 | 260 | 205 |
| 95 | 210 | - | 265 | 210 | 310 | 245 |
| 120 | 250 | - | 310 | 245 | 365 | 285 |
| 150 | - | - | 365 | 280 | 415 | 330 |
| 185 | - | - | 405 | 320 | 475 | 375 |
| 240 | - | - | 480 | 380 | 560 | 440 |
| 300 | - | - | 555 | 435 | 645 | 510 |
| 400 | - | - | - | - | 770 | 605 |
| 500 | - | - | - | - | 880 | 690 |

Πίνακας 1.2-1 : Μέγιστο επιτρεπόμενο ρεύμα συνεχούς λειτουργίας για τα καλώδια εσωτερικών πλεκτρικών εγκαταστάσεων κατά VDE 0100. Θερμοκρασία περιβάλλοντος: 25 °C.
 (Για $\theta > 25$ °C διόσιση των τιμών: σχήμα 1.2-1.)



Σχήματος 1.2-1 : Συντελεστής διόρθωσης (κ) του φεύγματος συνεχούς λειτουργίας των καλωδίων εσωτερικών εγκαταστάσεων για διάφορα μεγαλύτερες από 25°C .

| Καλώδιο NYA (1kV) | | Πολυπολικά καλώδια NYM (500 V) | | | |
|-------------------------------|------------------------------------|--------------------------------|------------------------------------|-----------------------|---------------------------------|
| διατομή αγωγού σε mm² | εξωτερική διάμετρος καλωδίου σε mm | διατομή αγωγού σε mm² | εξωτερική διάμετρος καλωδίου σε mm | διατομή αγωγού σε mm² | εξωτερική διάμετρος καλωδίου mm |
| 1 x 1,5 | 2,9 | 2 x 1,5 | 9,8 | 2 x 10 | 17,0 |
| 1 x 2,5 | 3,5 | 3 x 1,5 | 10,5 | 3 x 10 | 18,0 |
| 1 x 4 | 4,2 | 4 x 1,5 | 11,0 | 4 x 10 | 19,5 |
| 1 x 6 | 4,7 | 5 x 1,5 | 12,0 | 5 x 10 | 21,5 |
| 1 x 10 | 6,0 | 2 x 2,5 | 11,0 | 2 x 16 | 20,0 |
| 1 x 16 | 7,5 | 3 x 2,5 | 11,5 | 3 x 16 | 22,0 |
| 1 x 25 | 9,3 | 4 x 2,5 | 12,5 | 4 x 16 | 23,5 |
| 1 x 35 | 10,5 | 5 x 2,5 | 13,5 | 5 x 16 | 26,0 |
| 1 x 50 | 12,5 | 2 x 4 | 12,5 | 2 x 25 | 24,0 |
| 1 x 70 | 14,5 | 3 x 4 | 13,0 | 3 x 25 | 26,0 |
| 1 x 95 | 17,0 | 4 x 4 | 14,5 | 4 x 25 | 28,5 |
| 1 x 120 | 18,5 | 5 x 4 | 16,5 | 5 x 25 | 31,5 |
| Μονοπόλκα καλώδια NYM (500 V) | | | | | |
| 1 x 1,5 | 6,2 | | | | |
| 1 x 2,5 | 6,8 | 2 x 6 | 13,5 | 2 x 35 | 27,5 |
| 1 x 4 | 7,6 | 3 x 6 | 15,0 | 3 x 35 | 29,5 |
| 1 x 6 | 8,2 | 4 x 6 | 16,5 | 4 x 35 | 32,0 |
| 1 x 10 | 9,4 | 5 x 6 | 18,0 | 5 x 35 | 35,5 |
| 1 x 16 | 11,0 | | | | |

Στον πίνακα 1.2-1 δίνεται το μέγιστο ρεύμα συνεχούς λειτουργίας για καλώδια NYA και NYM και γενικά καλώδια εσωτερικών εγκαταστάσεων για θερμοκρασία περιβάλλοντος 25°C . Για θερμοκρασίες μεγαλύτερες από 25°C , χρειάζεται διόρθωση της τιμής του ρεύματος με την βοήθεια του συντελεστή k (σχήμα 1.2-1).

Στον πίνακα 1.2-2 δίνονται τιμές των εξωτερικών διαμέτρων για καλώδια NYA και NYM του εμπορίου. Οι τιμές αυτές είναι χρήσιμες στους υπολογισμούς εγκατάστασης των καλωδίων αυτών σε σωλήνες, ή σε δέσμες πάνω σε σχάρες, κ.λ.π.

Εκτός από την παραπάνω μέθοδο υπολογισμού, για το μέγιστο ρεύμα συνεχούς λειτουργίας (ή ονομαστικό ρεύμα) κατά VDE 0100, υπάρχουν και άλλοι τρόποι υπολογισμού, όπως π.χ. κατά τον Βρετανικό κανονισμό BS 6004. Στούς πίνακες 1.2-3, 1.2-4 και 1.2-5 δίνονται οι μέγιστες τιμές του ρεύματος συνεχούς λειτουργίας κατά BS 6004 (στους 30°C), συγκριτικά προς εκείνες κατά VDE 0100 (στους 25°C). Η αναπροσαρμογή της τιμής του μέγιστου ρεύματος συνεχούς 25°C είναι αναπροσαρμογή της τιμής του μέγιστου ρεύματος συνεχούς 30°C , γίνεται με την συντελεστή διόρθωσης κατά τον πίνακα 1.2-6 πό 30°C , γίνεται με την πίεση πτώσης εγκατάστασης). (κ, ή α.κ., ανάλογα με την πέριπτωση εγκατάστασης).

Στον πίνακα 1.2-4 φαίνεται, ότι η τοποθέτηση των μονοπολικών καλωδίων ενός κυκλώματος στον αέρα (για διατομή $\leq 50 \text{ mm}^2$) γίνεται με ορισμένες ελάχιστες αποστάσεις, που διευκολύνουν την αερισμό τους. Η τοποθέτηση γενικά μονοπολικών και πολυπολικών καλωδίων στον αέρα, πάνω σε επιφάνειες ή σε δέσμες, πρέπει να γίνεται με διαφορετική περίπτωση διεύτυπων οι τιμές του μέγιστου ρεύματος συνεχούς λειτουργίας (ή ονομαστικό ρεύματος) κατά τις μεβόδους συπολογισμού, που προαναφέρθηκαν. Συμφωνα με τον Βρετανικό κανονισμό BS 6004, η τοποθέτηση των παραπάνω καλωδίων στον αέρα (πάνω σε επιφάνειες, ή σε δέσμες) γίνεται με βάση ορισμένες ελάχιστες αποστάσεις αερισμού, που δίνονται παρακάτω:

1) Απόσταση 1 μεταξύ κυκλωμάτων πλάτους D, σε οριζόντια διάταξη :

■ κύκλωμα από μονοπολικά καλώδια :

(1.2-1)

$$1 > D$$

■ κύκλωμα από πολυπολικά καλώδια :

(1.2-2)

$$1 > 6.D \text{ και } 1 < 150 \text{ mm}$$

■ Οταν ο αριθμός κυκλωμάτων των μονοπολικών, ή πολυπολικών, καλωδίων είναι μικρότερος από 4, τότε τοποθετούνται τα κυκλώματα αυτά στο διο οριζόντιο επίπεδο.

2) Η απόσταση 1 μεταξύ μονοπολικών ή πολυπολικών κυκλωμάτων, σε κατακόρυφη διάταξη :

(1.2-3)

$$1 > 150 \text{ mm}$$

| ΔΙΑΤΟΜΗ ΑΓΩΓΟΥ | | Ενα ή περισσότερα μονοπολικά καλώδια σε σωλήνες | | Διπολικά και πολυπολικά καλώδια με μόνωση PVC επί επιφάνειας ή σε δέσμη σε ανοικτή διαδρομή | | Διπολικά & τριπολικά πεπλατυσμένα καλώδια με μόνωση PVC σε σωλήνες | |
|--------------------|------------------|---|-----------|---|---------------|--|------------|
| σε mm ² | κατά VDE 0100 | κατά BS 6004 | | κατά BS 6004 | | κατά BS 6004 | |
| | | σε A | 2 καλώδια | σε A | 3 - 4 καλώδια | διπολικά | πολυπολικά |
| 1 | 12 | 14 | 12 | | | 14 | 12 |
| 1,5 | 16 | 17 | 14 | | | 17 | 16 |
| 2,5 | 21 | 24 | 21 | | | 24 | 21 |
| 4 | 27 | 32 | 29 | | | 32 | 29 |
| 6 | 35 | 41 | 37 | | | 40 | 36 |
| 10 | 48 | 56 | 52 | | | 53 | 49 |
| 16 | 65 | 74 | 66 | | | 70 | 62 |
| 25 | 88 | 97 | 88 | 94 | 82 | | |
| 35 | 110 | 110 | 106 | 116 | 96 | | |
| 50 | 140 | 145 | 125 | 140 | 125 | | |
| 70 | 175 | 185 | 160 | 175 | 155 | | |
| 95 | 210 | 230 | 195 | 215 | 190 | | |
| 120 | 250 | 260 | 220 | 250 | 215 | | |
| 150 | - | | | 285 | 250 | | |
| 185 | - | | | 325 | 280 | | |
| 240 | - | | | 385 | 335 | | |
| 300 | - | | | 445 | 390 | | |
| θ σε °C | 25 | | | 30 | | | |

Πίνακας 1.2-3 : Μέγιστο επιτρεπόμενο ρεύμα συνεχούς λειτουργίας γιά :

- 1) καλώδια εσωτερικών πλεκτρικών έγκαταστάσεων από χαλκό μέσα σε σωλήνες, κατά VDE 0100 και BS 6004.
- 2) Διπολικά και πολυπολικά καλώδια επί επιφάνειας ή σε δέσμη επί ανοικτής διαδρομής (BS6004)
θ : βερμοκρασία χώρου
Γιά διαφορετικές βερμοκρασίες από τις παραπάνω διόρθωση των τιμών (κατά VDE σχήμα 1.2-1 και πίνακας 1.2-6)

| | | Μονοπολικά καλώδια στον αέρα | | | | | | | | | |
|---------|-----|------------------------------|---|--------|---|------|----|------|---|------|---|
| | | Κατά BS 6004 | | | | | | | | | |
| | | VDE 0100 | | σε mm² | | σε A | | σε A | | σε A | |
| | | •• | * | ••• | * | ••• | L | ••• | L | ••• | L |
| 0,75 | 16 | | | 17 | | 16 | | | | | |
| 1 | 20 | | | 21 | | 20 | | | | | |
| 1,5 | 25 | | | 30 | | 26 | | | | | |
| 2,5 | 34 | | | 40 | | 36 | | | | | |
| 4 | 45 | | | 50 | | 45 | | | | | |
| 6 | 57 | | | 68 | | 61 | | | | | |
| 10 | 78 | | | 90 | | 81 | | | | | |
| 16 | 104 | | | 118 | | 106 | | | | | |
| 25 | 137 | | | 145 | | 130 | | | | | |
| 35 | 168 | | | 175 | | 160 | | 195 | | 195 | |
| 50 | 210 | | | 220 | | 200 | | 240 | | 240 | |
| 70 | 260 | | | 270 | | 280 | | 300 | | 300 | |
| 95 | 310 | | | 310 | | 320 | | 350 | | 350 | |
| 120 | 365 | | | 355 | | 365 | | 410 | | 410 | |
| 150 | 415 | | | 405 | | 430 | | 470 | | 470 | |
| 185 | 475 | | | 480 | | 500 | | 560 | | 560 | |
| 240 | 560 | | | 560 | | 610 | | 660 | | 660 | |
| 300 | 645 | | | 680 | | 710 | | 800 | | 800 | |
| 400 | 770 | | | 800 | | 820 | | 910 | | 910 | |
| 500 | 880 | | | 910 | | | | 1040 | | 1040 | |
| 630 | - | | | | | | | | | | |
| θ σε °C | 25 | | | | | | | | | | |
| | | | | | | | 30 | | | | |

Πίνακας 1.2-4 : Μέγιστο επιτρεπόμενο ρεύμα συνεχούς λειτουργίας για μονοπολικά καλώδια εσωτερικών πλεκτρικών εγκαταστάσεων από χαλκό στον αέρα κατά VDE & BS

ε : εερμοκρασία περιβάλλοντος . Γιά διαφορετικές τιμές εερμοκρασίας χρειάζεται αναπροσαρμογή τιμών, ανάλογα με την προδιαγραφή : κατά VDE 0100 : Σχήμα 1.2-1 κατά BS 6004 : Πίνακας 1.2-6.

* : εγκατάσταση πάνω σε επιφάνεια, ή σε δέσμη σε ανοικτή διεύρυνση.

** : Γιά διεύρυνση αγωγού $< 185 \text{ mm}^2$: $L = 2 d$ (d : εξωτερική διάμετρος του καλωδίου).
Γιά διεύρυνση αγωγού $> 240 \text{ mm}^2$: $L = 90 \text{ mm}$.

| ΔΙΑΤΟΜΗ ΑΓΩΓΟΥ | | Πολυπολικά καλώδια με μονώσεις PVC στον αέρα | | | Πολυπολικά πεπλατυσμένα καλώδια με μονώσεις PVC στον αέρα | | |
|--------------------|--------------------|--|-----------------|--------------------|---|----|--|
| σε mm ² | κατά VDE 0100 σε A | κατά BS 6004. | | κατά VDE 0100 σε A | κατά BS 6004 * τριπολικά και τετραπολικά σε A | | |
| | | διπολικά σε A | πολυπολικά σε A | | | | |
| 1 | 12 | | | 12 | 16 | 13 | |
| 1,5 | 16 | | | 16 | 20 | 17 | |
| 2,5 | 21 | | | 21 | 28 | 24 | |
| 4 | 27 | | | 27 | 36 | 32 | |
| 6 | 35 | | | 35 | 46 | 40 | |
| 10 | 48 | | | 48 | 64 | 54 | |
| 16 | 65 | | | 65 | 85 | 72 | |
| 25 | 88 | 114 | 96 | 88 | | | |
| 35 | 110 | 139 | 122 | 110 | | | |
| 50 | 140 | 170 | 154 | 140 | | | |
| 70 | 175 | 215 | 190 | 175 | | | |
| 95 | 210 | 260 | 230 | 210 | | | |
| 120 | 250 | 300 | 265 | 250 | | | |
| 150 | — | 340 | 300 | — | | | |
| 185 | — | 385 | 340 | — | | | |
| 240 | — | 450 | 400 | — | | | |
| θ σε °C | 25 | 30 | | 25 | 30 | | |

Πίνακας 1.2-5 : Μέγιστο επιτρεπόμενο ρεύμα συνεχούς λειτουργίας για πολυπολικά καλώδια εσωτερικών πλεκτρικών εγκαταστάσεων από χαλκό κατά VDE και BS.

θ : εερμοκρασία περιβάλλοντος (για διαφορετικες τιμές βλέπετε σχήμα 1.2-1 και πίνακα 1.2-6.

* : εγκατάσταση πάνω σε επιφάνεια, η δέσμη ανοικτής διαδρομής.

| Μη ομαδοποιημένα κυκλώματα | θ °C | 25 | 30 | 35 | 40 | 45 | 50 | 55 | 60 | 65 |
|----------------------------|------|------|----|------|------|------|------|------|-----|------|
| | κ | 1,06 | 1 | 0,94 | 0,87 | 0,79 | 0,71 | 0,61 | 0,5 | 0,35 |

Για ομαδοποιημένα κυκλώματα ο συντελεστής διόρθωσης είναι : α.κ., όπου α συντελεστής διόρθωσης του κ, ανάλογα με τον αριθμό ο των ομαδοποιημένων κυκλωμάτων, ως ακολούθως :

Ομαδοποίηση μονοπολικών καλωδίων

| | | | | | | | | | | | | |
|---|------|------|------|------|------|------|------|------|------|------|------|------|
| η | 2 | 3 | 4 | 5 | 6 | 8 | 10 | 12 | 14 | 16* | 18* | 20* |
| α | 0,80 | 0,69 | 0,62 | 0,59 | 0,55 | 0,51 | 0,48 | 0,43 | 0,41 | 0,39 | 0,38 | 0,36 |

Ομαδοποίηση πολυπολικών καλωδίων

| | | | | | | | | | | | | |
|---|------|------|------|------|------|------|------|------|------|------|------|------|
| η | 2 | 3 | 4 | 5 | 6 | 8 | 10 | 12 | 14 | 16 | 18 | 20 |
| α | 0,80 | 0,70 | 0,65 | 0,60 | 0,57 | 0,52 | 0,48 | 0,45 | 0,43 | 0,41 | 0,39 | 0,38 |

Πίνακας 1.2-6 : Συντελεστής διόρθωσης του μέγιστου ρεύματος συνεχούς λειτουργίας κατά BS 6004

* : δεν ταχύζουν για τριφασικά συστήματα

1.3. Πίνακες υπολογισμού των καλωδίων ενέργειας

Η κατηγορία των καλωδίων ενέργειας, στην οποία ανήκουν και τα καλώδια NYY, περιλαμβάνει γενικά καλώδια με μεγάλες θερμοκρασίες λειτουργίας (60 έως 85 °C). Γιά τον λόγο αυτό χρησιμεύουν τα καλώδια αυτά σε σταθμούς πάραγωγής και διανομής της πλεκτρικής ενέργειας καθώς και σε βιομηχανικές εγκαταστάσεις.

Ο υπολογισμός των καλωδίων ενέργειας, εξαρτάται κυρίως : από τον τύπο του καλωδίου (NYY, NYSFEY, κ.λ.π) και τη μέθοδο εγκατάστασής του (στον αέρα, σε σωλήνα, στο έδαφος, στο έδαφος με προστατευτικά καλύμματα, μαζί με καλώδια άλλων κυκλωμάτων). Γιά καλώδια, που είναι πλήρες φορτίο και π θερμοκρασία του εδάφους. Παρακάτω δίνονται υπό πλήρες φορτίο και π θερμοκρασία του εδάφους. Παρακάτω δίνονται υπό πλήρες φορτίο και π θερμοκρασία του εδάφους. Οι πίνακες, που ακολουθούν (1.3-1 έως 1.3-4), αφορούν τα καλώδια NYY. Περισσότερες πληροφορίες, καθώς και υπολογισμοί για άλλους τύπους καλωδίων, θα πρέπει να αναζητηθούν σε τεχνικά εγχειρίδια κατασκευαστών καλωδίων.

Στον πίνακα 1.3-1 δίνεται η εξωτερική διάμετρος και το ονομαστικό ρεύμα μονοπολικών καλωδίων NYY, ανάλογα με την εγκατάστασή στον αέρα

Καλώδια NYY ενός αγώνού (κατά VDE 0271)

| διατομή αγώνού | εξωτερική διάμετρος περίπου | μέγιστο ρεύμα συνεχούς λειτουργίας (ή ονομαστικό ρεύμα) σε Α | | | | | |
|--------------------|-----------------------------|--|-----|-----|-----------|-----|-----|
| | | στο έδαφος | | | στον αέρα | | |
| σε mm ² | σε mm | ◎ | ◎◎ | ◎◎◎ | ◎ | ◎◎ | ◎◎◎ |
| 1 x 1,5 | 6,6 | 36 | | | 25 | | |
| 1 x 2,5 | 7,2 | 50 | | | 35 | | |
| 1 x 4 | 7,9 | 65 | | | 45 | | |
| 1 x 6 | 8,8 | 85 | | | 56 | | |
| 1 x 10 | 10,0 | 105 | | | 77 | | |
| 1 x 16 | 10,8 | 140 | 108 | 120 | 100 | 85 | 98 |
| 1 x 25 | 12,4 | 185 | 135 | 150 | 135 | 118 | 130 |
| 1 x 35 | 13,6 | 235 | 165 | 180 | 170 | 140 | 165 |
| 1 x 50 | 15,4 | 275 | 195 | 215 | 210 | 157 | 200 |
| 1 x 70 | 17,2 | 340 | 240 | 265 | 265 | 220 | 255 |
| 1 x 95 | 19,4 | 410 | 290 | 320 | 330 | 275 | 315 |
| 1 x 120 | 21,0 | 470 | 330 | 360 | 380 | 325 | 365 |
| 1 x 150 | 23,0 | 530 | 370 | 415 | 435 | 370 | 420 |
| 1 x 185 | 25,6 | 610 | 420 | 460 | 500 | 430 | 480 |
| 1 x 240 | 28,6 | 705 | 480 | 530 | 610 | 520 | 580 |
| 1 x 300 | 31,5 | 805 | 540 | 610 | 695 | 600 | 665 |
| 1 x 400 | 35,3 | 945 | 635 | 695 | 835 | 725 | 805 |
| 1 x 500 | 39,3 | 1000 | 725 | 805 | 980 | 845 | 940 |

Πίνακας 1.3-1 : Εξωτερική διάμετρος και ονομαστικό ρεύμα μονοπολικών καλωδίων NYY. $U_0 = 0,6 \text{ kV}$ και $U_h = 1 \text{ kV}$.

Πολύκλωνα καλωδια ΝΥΥ (κατά VDE 0271) στο έδαφος

| διατομή αγωγού | D _a | I _{max} | διατομή αγωγού | D _a | I _{max} | διατομή αγωγού | D _a | I _{max} |
|--------------------|----------------|------------------|--------------------|----------------|------------------|--------------------|----------------|------------------|
| [mm ²] | [mm] | [A] | [mm ²] | [mm] | [A] | [mm ²] | [mm] | [A] |
| 2x1,5 | 11,2 | 30 | 3x1,5 | 11,6 | 27 | 4x1,5 | 12,4 | 27 |
| 2x2,5 | 12,3 | 40 | 3x2,5 | 12,9 | 35 | 4x2,5 | 13,8 | 35 |
| 2x4 | 13,7 | 50 | 3x4 | 14,4 | 45 | 4x4 | 15,4 | 45 |
| 2x6 | 15,4 | 65 | 3x6 | 16,2 | 56 | 4x6 | 17,5 | 56 |
| 2x10 | 17,2 | 85 | 3x10 | 18,1 | 75 | 4x10 | 19,7 | 75 |
| 2x16 | 19,4 | 116 | 3x16 | 21,3 | 98 | 4x16 | 23,2 | 98 |
| 2x25 | 19,3 | 145 | 3x25 | 22,0 | 130 | 4x25 | 25,5 | 130 |
| 2x35 | 22,1 | 175 | 3x35 | 24,4 | 150 | 4x35 | 27,7 | 150 |
| 2x50 | 23,6 | 205 | 3x50 | 25,7 | 180 | 4x50 | 29,4 | 180 |
| 2x70 | 24,8 | 255 | 3x70 | 28,6 | 225 | 4x70 | 32,9 | 225 |
| 2x95 | 28,1 | 310 | 3x95 | 32,6 | 270 | 4x95 | 37,7 | 270 |
| 2x120 | 30,4 | 355 | 3x120 | 35,6 | 310 | 4x120 | 41,0 | 310 |
| 2x150 | 35,5 | 390 | 3x150 | 39,3 | 345 | 4x150 | 46,0 | 345 |
| 2x185 | 37,1 | 450 | 3x185 | 43,3 | 390 | 4x185 | 50,5 | 390 |
| 2x240 | 41,4 | 520 | 3x240 | 49,0 | 455 | 4x240 | 57,2 | 455 |
| 2x300 | 46,2 | 580 | 3x300 | 54,0 | 510 | 4x300 | 63,0 | 510 |
| 2x400 | 52,0 | 665 | 3x400 | 61,5 | 590 | | | |
| 3x25+16 | 26,7 | 130 | 5x1,5 | 13,3 | 27 | 7x1,5 | 14,1 | Y |
| 3x35+16 | 27,9 | 150 | 5x2,5 | 14,8 | 35 | 10x1,5 | 16,1 | Ι |
| 3x50+25 | 28,7 | 180 | 5x4 | 16,6 | 45 | 12x1,5 | 16,6 | Σ |
| 3x70+35 | 31,2 | 225 | 5x6 | 19,0 | 56 | 19x1,5 | 19,1 | Τ |
| 3x95+50 | 35,9 | 270 | 5x10 | 22,2 | 75 | 27x1,5 | 22,5 | Π |
| 3x120+70 | 39,0 | 310 | 5x16 | 25,6 | 98 | 37x1,5 | 25,5 | Λ |
| 3x150+70 | 42,6 | 345 | 5x25 | 30,2 | 130 | 7x2,5 | 15,9 | Χ |
| 3x185+95 | 47,8 | 390 | 5x35 | 33,7 | 150 | 10x2,5 | 18,5 | Ω |
| 3x240+120 | 53,3 | 455 | | | | 12x2,5 | 19,0 | Ι |
| 3x300+150 | 59,4 | 510 | | | | 19x2,5 | 22,1 | Ω |
| 3x400+185 | 67,32 | 590 | | | | 27x2,5 | 26,6 | Ο |
| | | | | | | 37x2,5 | 29,6 | Σ |

Πανάκης 1.3-2 : Εξωτερική διάμετρος καλωδίου (D_a) και μέγιστο ρεύμα συνεχούς λειτουργίας (I_{max}) για εγκατάσταση στο έδαφος πολυπολικών καλωδίων ΝΥΥ.
U_o = 0,6 kV και U_n = 1 kV.

τους (1 έως 4 μονοπολικά καλώδια στο έδαφος , ή τον αέρα) . Στον πίνακα 1.3-2 δίνονται οι παραπάνω τιμές για πολυπολικά καλώδια NYY στο έδαφος . Η τιμή του μέγιστου ρεύματος συνεχούς λειτουργίας ενός καλωδίου NYY εγκατεστημένου στον αέρα είναι μικρότερη από εκείνη κατά την εγκατάστασή του στο έδαφος (βλέπετε πίνακες 1.3-1 και 1.3-2) .

Οπως φαίνεται στους παρακάτω πίνακες οι τιμές του ονομαστικού ρεύματος είναι μικρότερες , όταν ένα καλώδιο εγκαθίσταται μαζί με άλλα . Αυτό οφείλεται στην μείωση των δυνατοτήτων αερισμού των καλωδίων , η οποία προκαλείται γενικά κατά στην ομαδοποίησή τους . Για διάτονον συντελεστή διόρθωσης (κ) των τιμών του ρεύματος , κατά τους παραπάνω πίνακες , διακρίνεται κανείς δύο βασικές περιπτώσεις :

- εγκατάσταση των ομαδοποιημένων καλωδίων στο έδαφος , και
- εγκατάσταση των ομαδοποιημένων καλωδίων στον αέρα

Γιά κάθε μία από τις παραπάνω περιπτώσεις υπάρχουν αρκετές υποπεριπτώσεις εγκατάστασης καλωδίων , ανάλογα προς τις οποίες υπολογίζεται ο συντελεστής διόρθωσης .

| Ομάδες (n) των τριών μονοπολικών καλωδίων μέσα στο έδαφος σε βάθος h = 700 mm | | | | | | | | | | | | | | | | | | | |
|---|--|------|------|------|--------------------|------|------|---|---|-----------------|---|------|-----------------|------|------|------|------|------|------|
| | <table border="1" style="width: 100%; border-collapse: collapse;"> <thead> <tr> <th>αριθμός ομάδων (n)</th><th>1</th><th>2</th><th>3</th><th>4</th></tr> </thead> <tbody> <tr> <td>συντελεστής (K)</td><td>1</td><td>0,82</td><td>0,74</td><td>0,68</td></tr> </tbody> </table> | | | | αριθμός ομάδων (n) | 1 | 2 | 3 | 4 | συντελεστής (K) | 1 | 0,82 | 0,74 | 0,68 | | | | | |
| αριθμός ομάδων (n) | 1 | 2 | 3 | 4 | | | | | | | | | | | | | | | |
| συντελεστής (K) | 1 | 0,82 | 0,74 | 0,68 | | | | | | | | | | | | | | | |
| Ομάδες (n) πολυπολικών καλωδίων μέσα στο έδαφος σε βάθος h = 700 mm | | | | | | | | | | | | | | | | | | | |
| | <table border="1" style="width: 100%; border-collapse: collapse;"> <thead> <tr> <th>αριθμός ομάδων (n)</th><th>2</th><th>3</th><th>4</th><th>5</th><th>6</th><th>8</th><th>10</th></tr> </thead> <tbody> <tr> <td>συντελεστής (K)</td><td>0,85</td><td>0,75</td><td>0,68</td><td>0,64</td><td>0,60</td><td>0,56</td><td>0,53</td></tr> </tbody> </table> | | | | αριθμός ομάδων (n) | 2 | 3 | 4 | 5 | 6 | 8 | 10 | συντελεστής (K) | 0,85 | 0,75 | 0,68 | 0,64 | 0,60 | 0,56 |
| αριθμός ομάδων (n) | 2 | 3 | 4 | 5 | 6 | 8 | 10 | | | | | | | | | | | | |
| συντελεστής (K) | 0,85 | 0,75 | 0,68 | 0,64 | 0,60 | 0,56 | 0,53 | | | | | | | | | | | | |

Πίνακας 1.3-3 : Συντελεστής K για τη διόρθωση του ονομαστικού ρεύματος καλωδίων NYY (και γενικότερα καλωδίων ενέργειας κατά VDE) στο έδαφος .

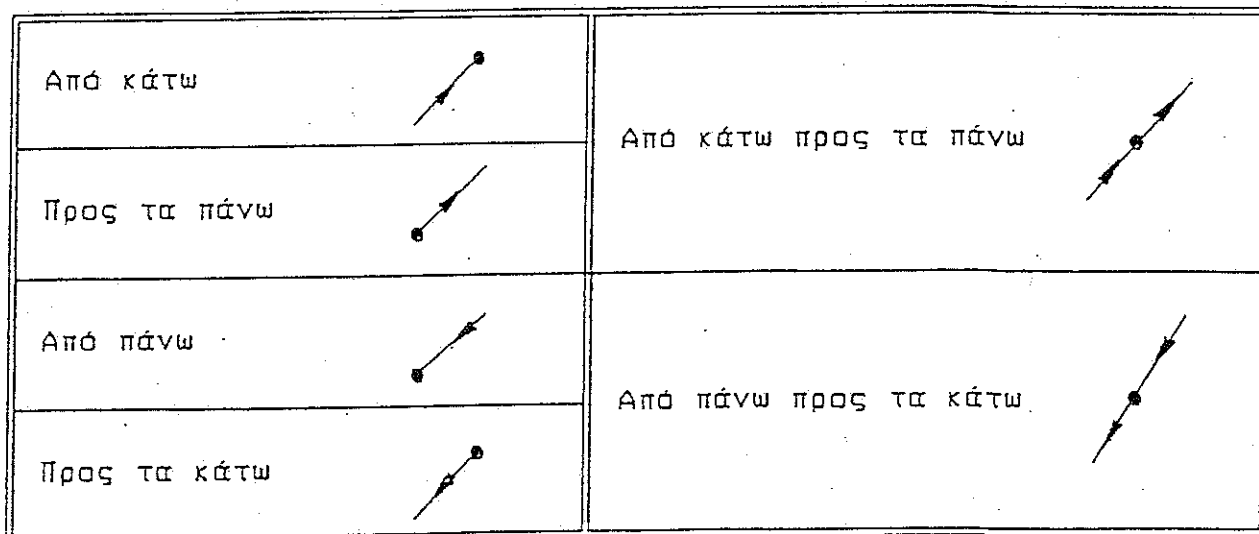
Ο συντελεστής διάρθρωσης του ονομαστικού ρεύματος (κ) ομαδοποιημένων καλωδίων στο έδαφος, υπολογίζεται από το γιγάντειο των παρακάτω συντελεστών :

- Τον συντελεστή Κ_κ κατά τον πίνακα 1.3-3,
- Τον συντελεστή Κ_ε, γιά θερμοκρασία εδάφους (θε) διαφορετική από 20 °C. Γιά θε>20 °C η τιμή Κ_ε είναι 0,93 έως 0,83, ανάλογα με την μέγιστη θερμοκρασία λειτουργίας του καλωδίου (60 έως 85 °C).
- Τον συντελεστή θερμικής αντίστασης του εδάφους Κ_τ. Γιά θερμική αντίσταση εδάφους μεγαλύτερη από 100 [°C cm/W] : Κ_τ = 0,94 έως 0,63, ανάλογα με την διατομή του αγωγού.
- Τον συντελεστή συνεχούς λειτοργίας υπό ονομαστικό ρεύμα: (Κ_σ = 0,75).
- Τον συντελεστή ονομαστικής τάσης Κ_τ, ανάλογα με τον τύπο και την ικανότητα μόνωσης του καλωδίου. Γιά καλώδια μόνωσης PVC, με ονομαστικές τάσεις : Η_θ = 0,6 kV και Η_η = 1 kV, ο συντελεστής Κ_τ είναι περίπου 1.

Στη βιβλιογραφία δίνονται αναλυτικοί πίνακες τιμών γιά τους συντελεστές Κ_ε, Κ_τ και Κ_σ

1.4. Συμβολισμός της ανοδικής και της καθοδικής διέλευσης καλωδίων

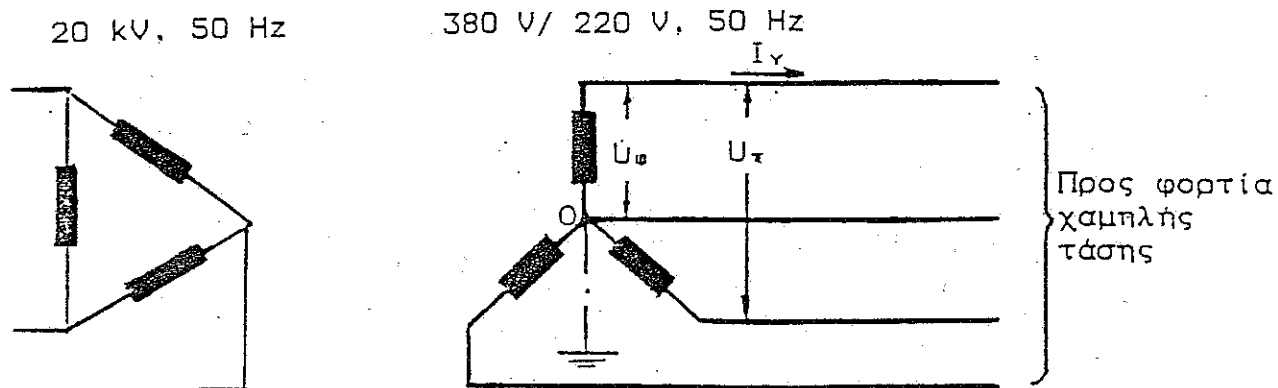
Η ανοδική διέλευση καλωδίων (όπως π.χ. η διέλευση των καλωδίων από τον πρώτο όροφο στο δεύτερο όροφο) και η καθοδική διέλευση καλωδίων (όπως π.χ. από το ισόγειο προς το υπόγειο) δείχνεται στα σχέδια των κατόψεων με τα ειδικά αύμβολα του σχήματος 1.4-1.



Σχήμα 1.4-1: Σύμβολα ανοδικής και καθοδικής διέλευσης καλωδίων

5. Βασικές σχέσεις υπολογισμού σε μονοφασικά και τριφασικά φορτία

Οπως αναφέρεται στις παραγράφους 1.5 και 12.4.1 ο μετασχηματιστής μέσης τάσης υποβιβάζει τη μέση τάση του δικτύου της πόλης (π.χ. τα 20 kV) σε χαμηλή τάση (380 V / 220 V, 50 Hz). Η συνδεσμολογία των πονίων του μετασχηματιστή αυτού είναι στη μέση τάση σε κύκλωμα τριγώνου και στη χαμηλή τάση σε κύκλωμα αστέρα (σχήμα 5-1). Ο συμβολισμός του μετασχηματιστή μέσης τάσης δίνεται στο σχήμα 5-2.



Σχήμα 5-1 : Συνδεσμολογία των πονίων του μετασχηματιστή μέσης τάσης.

I_Y : ρεύμα γραμμής.

U_ϕ : φασική τάση (220 V)

U_\star : πολική τάση (380 V)

O : ουδέτερος

Σχήμα 5-2 : Συμβολισμός του μετασχηματιστή μέσης τάσης.

Για τα μεγέθη, που αναφέρονται στο σχήμα 5-1 ισχύουν οι σχέσεις :

$$U_\star = \sqrt{3} U_\phi \quad (5-1)$$

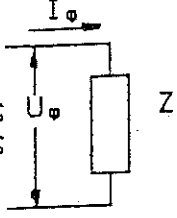
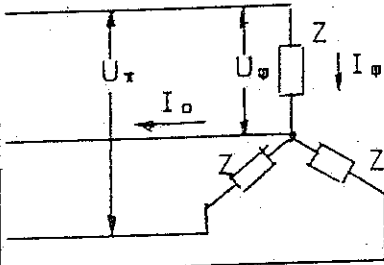
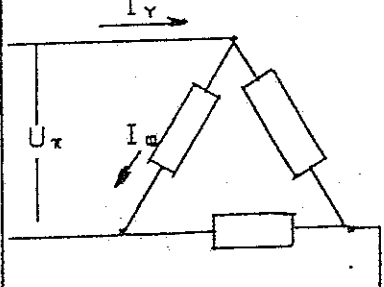
$$P = 3 U_\phi I_Y = \sqrt{3} U_\star I_Y \quad (5-2)$$

$$P_W = 3 U_\phi I_Y \text{ συνφ} = \sqrt{3} U_\star I_Y \text{ συνφ} \quad (5-3)$$

$$P_B = 3 U_\phi I_Y \text{ ημφ} = \sqrt{3} U_\star I_Y \text{ ημφ} \quad (5-4)$$

όπου P η ονομαστική ισχύς (ή φαινόμενη ισχύς) σε kVA, P_W η ενεργός ισχύς σε kW και P_B η άεργας ισχύς σε kVA.

Οι βασικές σχέσεις υπολογισμού του ρεύματος, της τάσης και της ισχύος στο φορτίο, ανάλογα με τη συνδεσμολογία του, δίνονται στον πίνακα 5-1.

| Συνδεσμολογία φορτίου | Σχέσεις υπολογισμού |
|--|---|
|  <p>μονοφασικός κατεναλωτής</p> | $I_\phi = I_Y$ $P = U_\phi I_\phi$ $P_W = U_\phi I_\phi \text{ συνφ}$ $P_B = U_\phi I_\phi \text{ ημφ}$ |
|  | συμμετρικό φορτίο : $I_\phi = 0$, $I_\phi = I_Y$ $U_\pi = \sqrt{3} U_\phi$ $P = 3 U_\phi I_\phi = \sqrt{3} U_\pi I_\phi$ $P_W = 3 U_\phi I_\phi \text{ συνφ} = \sqrt{3} U_\pi I_\phi \text{ συνφ}$ $P_B = 3 U_\phi I_\phi \text{ ημφ} = \sqrt{3} U_\pi I_\phi \text{ ημφ}$ |
|  | $I_\pi = \sqrt{3} I_\phi$ $P = 3 U_\pi I_\phi$ $P = \sqrt{3} U_\pi I_Y$ $P_W = \sqrt{3} U_\pi I_Y \text{ συνφ}$ $P_B = \sqrt{3} U_\pi I_Y \text{ ημφ}$ |

Πίνακας 5-1 : Βασικές σχέσεις υπολογισμού ανάλογα με την συνδεσμολογία του φορτίου στο δευτερεύον (χαμηλή τάση) του μετασχηματιστή μέσոς τάσης.

2.2. Υπολογισμός εγκαταστάσεων φωτισμού με λαμπτήρες πυράκτωσης

Ο φωτισμός ενός χώρου εξαρτάται από τη φωτεινή ροή (Φ) των λαμπτήρων, που διαβέτει. Όταν πρόκειται να τοποθετηθούν φωτιστικά με λαμπτήρες πυρακτωμένου νήματος, τότε δεν υπάρχει πρακτικά θέμα υπολογισμού της φωτεινής ροής, γιατί μπορούν να επιλεγούν, ανάλογα με την επιθυμητή στάθμη φωτισμού, λυχνίες μεγαλύτερης ή μικρότερης πλεκτρικής ισχύος. Στην περίπτωση όμως, που προβλέπεται να εγκατασταθούν φωτιστικά με λυχνίες φωτισμού, τότε απαιτείται υπολογισμός της τιμής Φ ανά χώρο.

Γιά την πραγματοποίηση γενικές μέας πλήρους μελέτης φωτισμού έχουν κυρίως σημασία : η χρήση των χώρων (γραφείο, υπνοδωμάτιο, ιατρείο, μηχανουργείο, κ.λ.π.) , οι χρηματισμοί των επιφανειών των χώρων και η διεύθυνση της φωτεινής δέσμης των φωτιστικών. Τα παραπάνω λαμβάνονται υπόψη στη φωτοτεχνική μελέτη με διάφορους συντελεστές, από τους οποίους τελικά υπολογίζεται η τιμή Φ ανά χώρο, ανάλογα με τη στάθμη φωτισμού (Ε), που καθορίζεται από το είδος του χώρου. Γιά την τιμή Φ ισχύει η σχέση :

$$\Phi = E \cdot A / V \cdot n , \quad (2.2-1)$$

όπου: Α η επιφάνεια του διαπέδου, ν ο συντελεστής ελάττωσης φωτισμού του χώρου και η ο συντελεστής απόδοσης του φωτισμού. Αν υποθέσουμε ότι γιά τον φωτισμό ενός χώρου έχει επιλεγεί ένα είδος λαμπτήρα (π.χ. λαμπτήρας φωτισμού 40 W & μήκους 1,2 m σε ένα αμφιθέατρο), τότε ο αριθμός των απαιτούμενων λαμπτήρων θα είναι :

$$n = \Phi / \Phi_{\lambda} , \quad (2.2-2)$$

όπου Φλ η φωτεινή ροή του λαμπτήρα.

Από την ισχύ των φωτιστικών που επιλέγονται ανά χώρο και τα διάφορα φορτία των πλεκτρικών συσκευών ανά χώρο, υπολογίζονται απόλοιπα στοιχεία της εγκατάστασης (διατομές καλωδίων, πνίγκας, κ.λ.π.).

Στις οικιακές εγκαταστάσεις φωτισμού και γενικότερα εγκαταστάσεις φωτισμού χώρων, όπου συνήθως χρησιμοποιούνται λυχνίες πυρακτωμένου νήματος, εφαρμόζεται συχνά μέα πρόσεγγιστική μέθοδος υπολογισμού, η οποία βασίζεται στην απορροφημένη ένταση ανά φορτίο περιτά τον πίνακα 2.2-1. Σύμφωνα με τον πίνακα αυτό δεν γίνεται φωτοτεχνική μελέτη και οι λυχνίες επιλέγονται με την ισχύ τους, ανάλογα με την επιθυμητή στάθμη φωτισμού, όπως συμβαίνει συνήθως στην πράξη. Με τις τιμές του πίνακα 2.3-1 γίνεται ομαδοποίηση των φωτιστικών, των ρευματοδοτών, ή και των δύο, σε γραμμές με ρεύμα ανά γραμμή συνήθως μέχρι 10 A.

Ο υπολογισμός της απορροφημένης έντασης (I) στις διάφορες συσκευές (κουζίνα, βερμοσίφωνας, πλυντήριο ρούχων, πλυντήριο πιάτων, θερμοσυσσωρευτές, κ.λ.π.) γίνεται βάσει της ισχύος τους (P) για $\text{συνφ} = 1$: Η απορροφημένη ένταση γίνεται μέα μόνοφασική συσκευή είναι :

$$I = P / (U_s \cdot \text{συνφ}) \quad (2.2-3)$$

όπου P η ισχύς της συσκευής, U_s η φασική τάση (220 V).

Η απορροφημένη ένταση για μία τριφασική συσκευή ισχύος P είναι :

$$I = P / (3 U_f \text{ άυγψ}) = P / (\sqrt{3} U_f \text{ άυγψ}) \quad (2.2-4)$$

όπου U_f η πολική τάση (380 V).

| Είδος φορτίου | απορροφημένη ένταση σε A |
|-------------------------------------|--------------------------|
| φωτιστικό σημείο μέχρι 100 W | 0,5 |
| φωτιστικό σημείο από 100 έως 200 W | 1 |
| πολύφωτο | 2 |
| ένας ρευματοδότης σε μία γραμμή | 2 |
| πολλοί ρευματοδότες σε μία γραμμή | |
| α) κάθε ένας από τους τρεις πρώτους | 2 |
| β) κάθε ένας από τους υπόλοιπους | 0,5 |
| πλεκτρική κουζίνα | 25 |
| θερμοσίφωνας | 20 |

Πίνακας 2.2-1 : Προσεγγιστικές τιμές της απορροφημένης έντασης σε φορτία οικιακών πλεκτρικών εγκαταστάσεων.

Η διατομή των χάλκινων αγωγών, που χρησιμοποιούνται στις γραμμές φωτιστικών, ή τις γραμμές, που περιλαμβάνουν φωτιστικά και ρευματοδότες, είναι $1,5 \text{ mm}^2$. Όταν οι ρευματοδότες αποτελούν ξεχωριστή γραμμή η διατομή των αγωγών είναι $2,5 \text{ mm}^2$. Οι αγωγοί της γραμμής της πλεκτρικής κουζίνας έχουν διατομή 6 mm^2 και του θερμοσίφωνα 4 mm^2 .

Σύμφωνα με τους κανονισμούς η πτώση τάσης (ΔU) σε κάθε γραμμή (από τον μετρητή της Δ.Ε.Η. μέχρι τα σημεία σύνδεσης προς τα φορτία) πρέπει να είναι μικρότερη από 1% της τάσης λειτουργίας. Γιά τάση λειτουργίας 220 V είναι δηλαδή :

$$\Delta U < 2,2 \text{ V} \quad (2.2-5)$$

Η διατομή επομένως των αγωγών των διαφόρων γραμμών πρέπει να υπολογίζεται με βάση το επιτρεπόμενό όριο της τιμής ΔU . Η διατομή των αγωγών μίας μονοφασικής γραμμής (ή μίας γραμμής συνεχούς ρεύματος) υπολογίζεται, λόγω των δύο αγωγών, από την σχέση :

$$\Delta U = \rho (2L/A) I \quad (2.2-6)$$

όπου : r : η ειδική αντ(σταση του αγωγού ($0,0175 \Omega \text{ mm}^2 \text{ m}^{-1}$ γιά αγωγούς χαλκού)

L : το μήκος της γραμμής

A : διατομή των αγωγών της γραμμής

I : η απορροφημένη ένταση

Για τον υπολογισμό της διατομής των αγωγών μίας τριφασικής γραμμής ισχύει, λόγω της μηδενικής τιμής του ρεύματος του ουδετέρου γιά συμμετρικά φορτία, ότι :

(2.2-7)

$$\Delta U = r (L/A) I$$

Για την ολοκλήρωση της μελέτης χρειάζεται να υπολογιστούν οι ασφάλειες των γραμμών προστασίας των καλωδίων, τα υπόλοιπα στοιχεία του πίνακα και οι σωλήνες προστασίας των καλωδίων.

Η ονομαστική ένταση των ασφαλειών δίνεται στον πίνακα 2.2-2, ανάλογα με το μέγιστο ρεύμα συνεχούς λειτουργίας των καλωδίων (βλέπετε παραπτήματα : πίνακας 1.2-1, Ομάδα I). Από τον πίνακα

| Διαστροφή ημίθι | Μέγιστη ένταση | Ονομαστική ένταση της ασφάλειας |
|--------------------|----------------|---------------------------------|
| [mm ²] | [A] | [A] |
| 1,5 | 16 | 10 |
| 2,5 | 21 | 16 |
| 4 | 27 | 20 |
| 6 | 35 | 25 |
| 10 | 48 | 35 |
| 16 | 65 | 63 |
| 25 | 88 | 80 |
| 50 | 140 | 125 |
| 95 | 210 | 200 |
| 120 | 250 | 300 |

Πίνακας 2.2-2 : Ονομαστική ένταση ασφαλειών, ανάλογα με τη διατομή των αγωγών

αυτό φαίνεται ότι η ασφάλεια της πλεκτρικής κουζίνας είναι 25 A αντόφθαλμος διατομής καλωδίου 6 mm²) και του βερμοσίφωνα 20 A (διατομή καλωδίου 4 mm²). Οι ασφάλειες των γραμμών των τοπικών κλιματιστικών είναι συνήθως, λόγω του ρεύματος έκκινησης, για κλιματιστικά μέχρι 15000 BTU/h 16 A και γιά κλιματιστικά 15000 έως 22000 BTU/h 20 A.

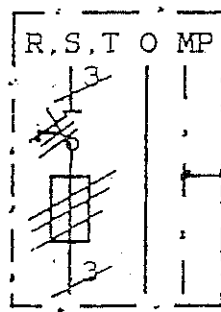
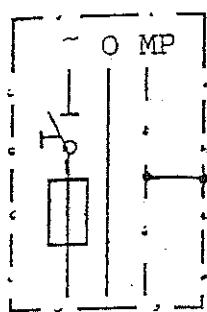
Γιά τις αναχωρήσεις του πίνακα προς τις διάφορες γραμμές θα πρέπει να εφαρμόζωνται τα αναφερόμενα στην παραγράφο 2.1..

Ενα τυπικό παράδειγμα πίνακα έχει ήδη δοθεί στο σχήμα 1.1-1.

Μερικά τυποποιημένα μεγέθη αποζευκτών είναι : 25, 35, 63, 80 και 100 Α. Η από κοινού εγκατάσταση ενός αποζευκτού με τις ασφάλειες σε ένα στεγανό μεταλλικό κιβώτιο ονομάζεται στην πράξη ασφαλειοδιακόπτης (σχήμα 2.2-1) . Πρόκειται για ένα είδος πίνακα , που στις

(α)

(β)



Σχήμα 2.2-1 : μονοπολικός (α)
& τριπολικός (β)
ασφαλειοδιακόπτης

— — : μεταλλικό περίβλημα

Τυποποιημένα μεγέθη π.χ : 25 Α,
35 Α, 63 Α, κ.λ.π.

Στον πίνακα 2.2-3 δίνεται η εσωτερική διάμετρος του σωλήνα προστασίας για καλώδια NYA . Οι τιμές αυτές προέρχονται από την πράξη. Τον πίνακα 2.2-3 δίνεται η εσωτερική διάμετρος του σωλήνα προστασίας για καλώδια NYA . Οι τιμές αυτές προέρχονται από την πράξη. Τον πίνακα 2.2-3 δίνεται η εσωτερική διάμετρος του σωλήνα προστασίας για καλώδια NYA . Οι τιμές αυτές προέρχονται από την πράξη.

Στον πίνακα 2.2-3 δίνεται η εσωτερική διάμετρος του σωλήνα προστασίας για καλώδια NYA . Οι τιμές αυτές προέρχονται από την πράξη.

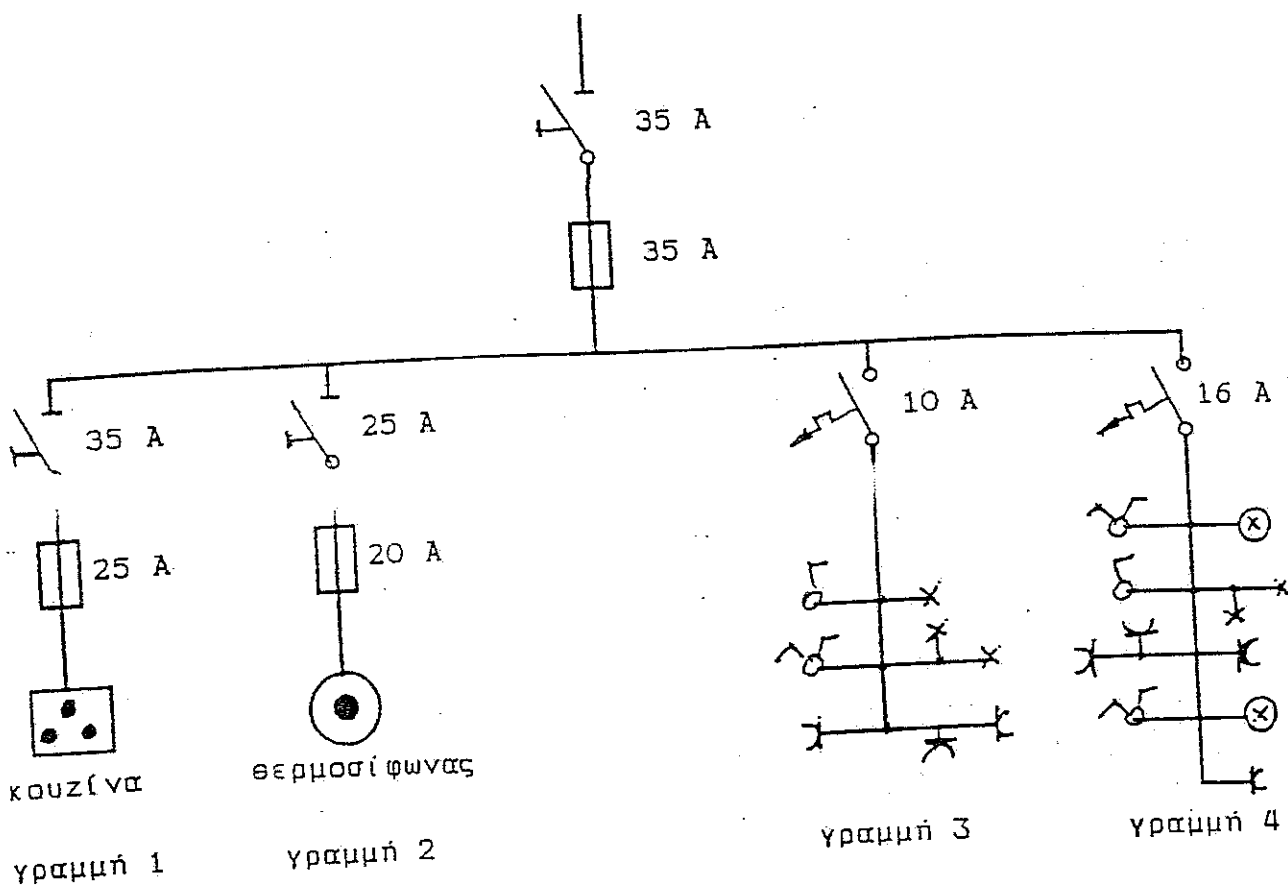
| Αγωγοί | Διάμετρος σωλήνα | Αγωγοί | Διάμετρος σωλήνα | Αγωγοί | Διάμετρος σωλήνα |
|--------|------------------|--------|------------------|--------|------------------|
| σε mm² | σε mm | σε mm² | σε mm | σε mm² | σε mm |
| 1x1,5 | 11 | 3x1,5 | 13,5 | 5x1,5 | 13,5 |
| 1x2,5 | 11 | 3x2,5 | 13,5 | 6x1,5 | 16 |
| 1x4 | 11 | 3x4 | 16 | 7x1,5 | 16 |
| 1x6 | 11 | 3x6 | 16 | 8x1,5 | 16 |
| 1x10 | 11 | 3x10 | 23 | | |
| 1x16 | 13,5 | 3x16 | 29 | | |
| 2x1,5 | 11 | 4x1,5 | 13,5 | | |
| 2x2,5 | 13,5 | 4x2,5 | 16 | 9x1,5 | |
| 2x4 | 16 | 4x4 | 16 | έως | |
| 2x6 | 16 | 4x6 | 23 | 12x1,5 | 23 |
| 2x10 | 16 | 4x10 | 23 | | |
| 2x16 | 23 | 4x16 | 29 | | |

Πίνακας 2.2-3 : Εσωτερική διάμετρος σωλήνα προστασίας καλώδιων NYA

-38-

2.2.1. Παράδειγμα υπολογισμού του πίνακα μίας κατοικίας από το
μονογραμμικό σχέδιο της εγκατάστασης

Δ.Ε.Η.



Γραμμή 1

κουζίνα : ασφάλεια 25 A , αποζεύκτης 35 A (ή 25 A)

Γραμμή 2

θερμοσίφωνας : ασφάλεια 20 A, αποζεύκτης 25 A

Γραμμή 3

τρία φωτιστικά σπινέλα : $3 \times 0,5 \text{ A} = 1,5 \text{ A}$
τρεις ρευματοδότες : $3 \times 2 \text{ A} = 6 \text{ A}$

σύνολο $7,5 \text{ A} \longrightarrow$ ασφάλεια 10 A

Γραμμή 4

δύο φωτιστικά σπινέλα : $2 \times 0,5 \text{ A} = 1 \text{ A}$
δύο πολύφωτα : $2 \times 2 \text{ A} = 4 \text{ A}$

4 ρευματοδότες : $(3 \times 2 \text{ A}) + 1 \times 0,5 \text{ A} = 6,5 \text{ A}$

σύνολο $11,5 \text{ A} \longrightarrow$ ασφάλεια 16 A

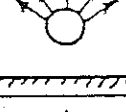
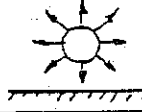
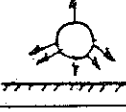
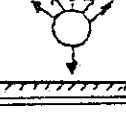
Γενική ασφάλεια και γενικός διεκόπτης : 35 A

2.3. Μελέτη φωτισμού εσωτερικών χώρων με λυχνίες φθορισμού

Γιά την πραγματοποίηση γενικά της μελέτης φωτισμού έχουν καθοριστεί ορισμένοι συντελεστές, οι οποίοι εξαρτώνται κυρίως από :

- την χρήση του χώρου (μηχανουργείο, τραπεζαρία, γραφείο, κ.λ.π.)
- τον χρωματισμό των επιφανειών του χώρου
- το είδος των φωτιστικών σωμάτων και
- τη θέση των φωτιστικών σωμάτων στον χώρο

Ανάλογα με τη διεύθυνση της φωτεινής δέσμης του φωτιστικού, σε σχέση με το δάπεδο και την οροφή, διακρίνεται κανείς πέντε βασικά είδη (κατηγορίες) φωτισμού (πίνακα 2.3.-1).

| α/α | Είδος (κατηγορίες) φωτισμού | Σχηματική παράσταση | Ποσοστό φωτεινής δέσμης | |
|-----|-----------------------------|---|-------------------------|------------|
| | | | πρός δάπεδο | πρός οροφή |
| 1 | άμεσος |  | 80 % | 0 % |
| 2 | έμμεσος |  | 0 % | 80 % |
| 3 | ομοιόμορφος |  | 45 % | 35 % |
| 4 | υπερισχύων άμεσος |  | 75 % | 10 % |
| 5 | υπερισχύων έμμεσος |  | 20 % | 70 % |

Πίνακας 2.3-1 : Είδος φωτισμού, ανάλογα με τη διεύθυνση της φωτεινής δέσμης.

Το είδος του φωτισμού και η θέση των φωτιστικών στον χώρο λαμβάνονται υπό όψη στη μελέτη με τον συντελεστή χώρου (κ). Στην βιβλιογραφία δίνονται διάφορες σχέσεις για τον υπόλογισμό του συντελεστή κ, όπως π.χ. η σχέση 2.3-1 (ή 2.3-2) για χώρους στους οποίους διάφοροι ρύποι στον αέρα (κυρίως σκόνη) μειώνουν την απόδοση των φωτιστικών και η σχέση 2.3-3 (ή 2.3-4) για μελέτες σε συνήθεις χώρους (γραφεία, νοσοκομεία κ.λ.π.).

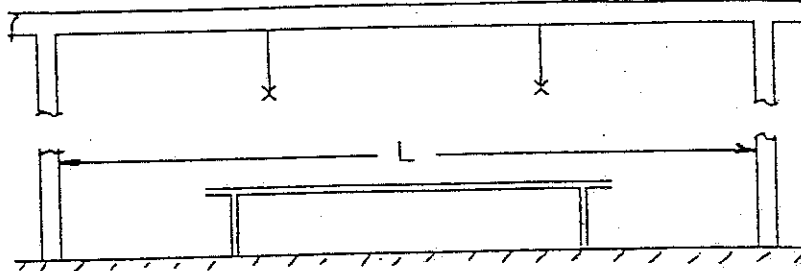
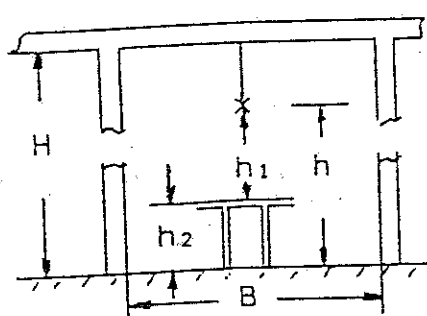
$$\text{• σε ύψος } h \text{ από το δάπεδο : } k = (2B+L) / 6 (h-h_2) \quad (2.3-1)$$

$$\text{• στο ύψος } t \text{ της οροφής : } k = (2B+L) / 6 (H-h_2) \quad (2.3-2)$$

• στο ύψος h από το δάπεδο : $\kappa = (L+4B) / 5 (h-h_2)$ (2.3-3)

• στο ύψος της οροφής : $\kappa = (L+4B) / 5 (H-h_2)$ (2.3-4)

όπου (σχήμα 2.3-1): B , H & L οι διαστάσεις του χώρου και h_1 η κατακόρυφη απόσταση από το επίπεδο εργασίας. Συνήθως είναι $h_2=0,8$ m και επομένως $h_1=h-0,8$ m.



Σχήμα 2.3-1 : Διαστάσεις γιά τον υπολογισμό του συντελεστή κ

Η χρήση του χώρου (γραφείο, μηχανουργείο, τραπεζαρία κ.λ.π.) έχει σημασία γιά την καθαρότητά του, η οποία επιδρά άμεσα στην φωτιστική τεχνολογία, ενώ το λευκό χρώμα οχι, κ.λ.π.). Η καθαρότητα του χώρου λόγω της χρήσης του λαμβάνεται υπόψη στη μελέτη με τον συντελεστή ελάττωσης (v), ανάλογα με το είδος φωτισμού (πίνακας 2.3-2).

| Είδος φωτισμού | Συντελεστής ελάττωσης (v) | |
|--------------------|-------------------------------|---------------|
| | ακάθαρτος χώρος | καθαρός χώρος |
| άμεσος | 0,50 ... 0,65 | 0,65 ... 0,80 |
| ομοιόμορφος | 0,40 ... 0,60 | 0,60 ... 0,75 |
| έμμεσος | 0,40 ... 0,50 | 0,50 ... 0,65 |
| υπερισχύων άμεσος | 0,50 ... 0,60 | 0,60 ... 0,85 |
| υπερισχύων έμμεσος | 0,40 ... 0,50 | 0,50 ... 0,65 |

Πίνακας 2.3-2 : Συντελεστής ελάττωσης του φωτισμού (v) ανάλογα με την καθαρότητα του χώρου.

Η επίδραση του χρώματος των επιφανειών του χώρου στη φωτεινότητά του καθορίζεται στη μελέτη με ένα ποσοστό ανάκλασης (πίνακας 2.3-3)

| Χρώμα επιφάνειας | Ποσοστό ανάκλασης | |
|------------------|-------------------|--------|
| | οροφή | τοίχος |
| ενοικτό | 75 % | 50 % |
| πυλαινοικτό | 50 % | 30 % |
| εκότεινο | 30 % | 10 % |

Πίνακας 2.3-3 : Ποσοστό ανάκλασης του φωτισμού

κας 2.3-3).

Από το είδος του φωτισμού (πίνακας 2.3-1), τον συντελεστή χώρου (σχέση 2.3-1 ÷ 2.3-4) και το ποσοστό ανάκλασης του φωτισμού βρίσκεται από τον πίνακα 2.3-4 ο συντελεστής απόδοσης του φωτισμού (η).

| ανάκλαση οροφής % | | 75 | 75 | 75 | 50 | 50 | 50 | 30 | 30 |
|--------------------|-----|-----|----|----|----|----|----|----|----|
| ανάκλαση τοίχων % | | 50 | 30 | 10 | 50 | 30 | 10 | 30 | 10 |
| Είδος φωτισμού | κ | η % | | | | | | | |
| άμεσος | 0,6 | 39 | 34 | 31 | 38 | 34 | 31 | 34 | 31 |
| | 0,8 | 47 | 44 | 42 | 46 | 43 | 41 | 42 | 40 |
| | 1,0 | 51 | 48 | 47 | 50 | 47 | 46 | 47 | 45 |
| | 1,5 | 58 | 55 | 52 | 56 | 53 | 52 | 52 | 51 |
| | 2,0 | 61 | 59 | 57 | 60 | 58 | 58 | 57 | 51 |
| | 3,0 | 68 | 65 | 62 | 66 | 63 | 62 | 62 | 61 |
| | 5,0 | 71 | 69 | 67 | 69 | 67 | 65 | 66 | 64 |
| υπερισχύων άμεσος | 0,6 | -- | -- | -- | -- | -- | -- | -- | -- |
| | 1,0 | 44 | 39 | 36 | 43 | 39 | 35 | 36 | 35 |
| | 1,5 | 52 | 47 | 43 | 50 | 46 | 42 | 45 | 42 |
| | 2,0 | 57 | 52 | 48 | 55 | 51 | 47 | 50 | 46 |
| | 3,0 | 65 | 59 | 54 | 62 | 57 | 54 | 56 | 53 |
| | 5,0 | 71 | 66 | 62 | 67 | 63 | 60 | 61 | 60 |
| | 7,0 | -- | -- | -- | -- | -- | -- | -- | -- |
| ομοιόμορφος | 0,6 | 24 | 21 | 19 | 21 | 19 | 18 | 18 | 17 |
| | 0,8 | 30 | 27 | 26 | 26 | 24 | 23 | 22 | 21 |
| | 1,0 | 32 | 30 | 29 | 29 | 27 | 25 | 25 | 24 |
| | 1,5 | 38 | 35 | 33 | 32 | 31 | 29 | 28 | 27 |
| | 2,0 | 40 | 38 | 36 | 35 | 34 | 32 | 31 | 29 |
| | 3,0 | 45 | 42 | 40 | 39 | 37 | 35 | 33 | 32 |
| | 5,0 | 48 | 46 | 44 | 41 | 39 | 38 | 35 | 34 |
| υπερισχύων έμμεσος | 0,6 | 18 | 14 | 12 | 14 | 11 | 9 | 8 | 7 |
| | 0,8 | 22 | 19 | 17 | 17 | 15 | 13 | 10 | 9 |
| | 1,0 | 26 | 22 | 19 | 20 | 17 | 15 | 12 | 10 |
| | 1,5 | 32 | 28 | 25 | 24 | 21 | 19 | 15 | 14 |
| | 2,0 | 35 | 32 | 29 | 27 | 24 | 21 | 17 | 15 |
| | 3,0 | 42 | 38 | 35 | 31 | 28 | 27 | 20 | 19 |
| | 5,0 | 48 | 44 | 42 | 36 | 33 | 31 | 23 | 22 |
| έμμεσος | 0,6 | 15 | 11 | 10 | 9 | 8 | 6 | 4 | 3 |
| | 0,8 | 19 | 15 | 13 | 12 | 10 | 9 | 6 | 4 |
| | 1,0 | 22 | 19 | 16 | 14 | 12 | 10 | 7 | 5 |
| | 1,5 | 28 | 24 | 21 | 19 | 16 | 14 | 9 | 8 |
| | 2,0 | 32 | 28 | 25 | 21 | 18 | 17 | 11 | 10 |
| | 3,0 | 38 | 34 | 31 | 25 | 22 | 21 | 13 | 12 |
| | 5,0 | 43 | 41 | 38 | 29 | 27 | 25 | 16 | 15 |

Πίνακας 2.3-4 : συντελεστής απόδοσης του φωτισμού (η)

-42-

Σύμφωνα με τη σχέση 2.2-1 και τους συντελεστές ν και η , κατά τους προπογούμενους πίνακες , η απαιτούμενη φωτεινότητα (Φ) του συνόλου των φωτιστικών , που χρειάζονται σε έναν χώρο , υπολογίζεται από τη σχέση :

$$\Phi = \frac{E \cdot A.100}{v.p} \quad \text{σε Lum} \quad (2.3-5)$$

όπου Ε η στάθμη φωτισμού σε Lux και Α η επιφάνεια σε m^2 . Στον πίνακα 2.3-5 δίνονται ορισμένες τιμές Lux , ανάλογα με το είδος του χώρου και τη εργασία , που γίνεται σε αυτόν .

| Εγκατάσταση | Είδος χώρου και εργασία | Ε σε Lux |
|---------------------------------|---|--|
| Κατοικίες και ξενοδοχεία | 1. υπνοδωμάτιο : γενικός φωτισμός >> : τοπικός >> 2. λουτρό : γενικός φωτισμός >> : ξύρισμα & καλλωπισμός 3. καθιστικό : γενικός φωτισμός >> : τοπικός >> " : βέσεις εργασίας 4. Κλιμακοστάσιο 5. μπανιοστάσιο 6. Μπάρ-αναψυκτήριο ξενοδοχείου | 150 250÷500 150 250 150 500÷1000 250 250÷500 150 150 150 |
| Γραφεία και σχολεία | 1. νηπιαγωγεία 2. γραφεία γενικά 3. σχεδιαστήρια 4. αίθουσες διδασκαλίας, αμφιθέατρα 5. γυμναστήριο | 150 250÷500 500÷1000 250÷500 150 |
| Μεγάλα εμπορικά και καταστήματα | 1. γενικός φωτισμός 2. δευτερεύοντες χώροι 3. γενικός φωτισμός βιτρινών 4. τοπικός φωτισμός >> | 500 250 1000÷2000 5000÷10000 |
| Εργοστασιακοί χώροι | 1. μπανιουργείο : γενικές εργασίες >> : εργασίες ακριβείας 2. σταθμός παραγωγής πλ/κής ενέργειας α) αίθουσα πινάκων ελέγχου β) λοιποί χώροι 3. συναρμολόγηση μπανών 4. μεταλλουργικές εργασίες 5. θαφείο 6. συνεργείο : γενικός φωτισμός >> : πάγκος εργασίας 7. πλυντήρια 8. λιπαντήρια αυτοκινήτων | 250÷500 500÷1000 500÷1000 150 500÷1000 250÷500 500÷1000 250÷500 500÷1000 250÷500 150 |

Πίνακας 2.3-5 : Στάθμη φωτισμού εσωτερικών χώρων

Ο στάθμος των απαιτούμενων λαμπτήρων σε έναν χώρο υπολογίζεται από

τη σχέση 2.2-2.

Γιά την επιλογή των λαμπτήρων θα ψεύπει να αναζητηθούν πληροφορίες από τεχνικά εγχειρίδια κατασκευαστών.

2.3.1 Παράδειγμα μελέτης φωτισμού εσωτερικού χώρου με λυχνίες φθορισμού

Συνεργείο σε τσιμεντοβιομηχανία : $L=10$ m, $B=6$ m και $H = 5$ m.
Άμεσος φωτισμός με λυχνίες φθορισμού επί της οροφής ($h \approx H$).
Οροφή : λευκό χρώμα.
Τοίχοι : ημιανοικτός χρωματισμός.

Λύση

- 1) $A = L \cdot B = 60 \text{ m}^2$
- 2) $\kappa = (2B + L) / 6(h - h_2) = (2 \cdot 6 + 10) / 6(3,5 - 0,8) = 1,36$
- 3) Ποσοστό ανέκαθεν
- 4) συντελεστής απόδοσης (από πίνακα 2.3-4) : $\eta = 53\%$
- 5) συντελεστής ελάττωσης (από πίνακα 2.3-2) : εκλέγεται $v = 0,6$
- 6) Εκλέγεται (από πίνακα 2.3-5) $E = 250 \text{ Lux}$
- 7) $\Phi = E \cdot A \cdot 100/v \cdot \eta = 250 \cdot 60 \cdot 100/0,6 \cdot 53 = 47200 \text{ Lum}$
- 8) Εκλέγονται λαμπτήρες φθορισμού με τα στοιχεία : μήκος 120 cm, $\Phi_\lambda = 2300 \text{ Lum}$ και ισχύς 40 W.
- 9) αριθμός λαμπτήρων : $m = \Phi/\Phi_\lambda = 47200/2300 = 20$

3. Η γείωση σε εγκαταστάσεις με ονομαστική τάση μέχρι 1000 V

3.1. Γενικά περὶ γείωσεων

Στις συνήθεις κτιριακές και βιομηχανικές εγκαταστάσεις διακρίνεται κανείς δύο ξεχωριστές γείωσεις: τη γείωση λειτουργίας και τη γείωση προστασίας (ή γείωση μεταλλικών). Όταν προβλέπεται προστασία από τους κεραυνούς, τότε υπάρχει (διαίτερη) γείωση για το αλεξικέραυνο. Το (δια) ισχύει και στην περί πτωσης εφεδρικής ρευματοδότησης μέσω πλεκτροπαραγωγού ζεύγους, καθώς και όταν γενικά απαιτείται γείωση, που δεν σχετίζεται με τη γείωση μεταλλικών της πλεκτρικής εγκαταστάσης (π.χ. γείωση αντιστατικού δαπέδου χειρουργείων, γείωση πλεκτρονόμου θιαφυγής έντασης, κ.λ.π.).

Η διαφορά μεταξύ γείωσης λειτουργίας και γείωσης προστασίας φαίνεται στα παραδείγματα του σχήματος 3.1-1. Η γείωση λειτουργίας είναι απαραίτητη για τη λειτουργία του κυκλώματος, π.χ. παράδειγμα α και παράδειγμα γ (γείωση του κόμβου του μετασχηματιστή), ενώ

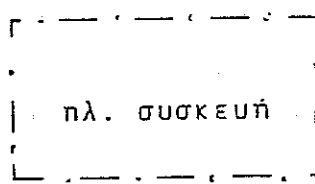
(α)

Γείωση λειτουργίας
(εφαρμογή τασης προς γρ.)



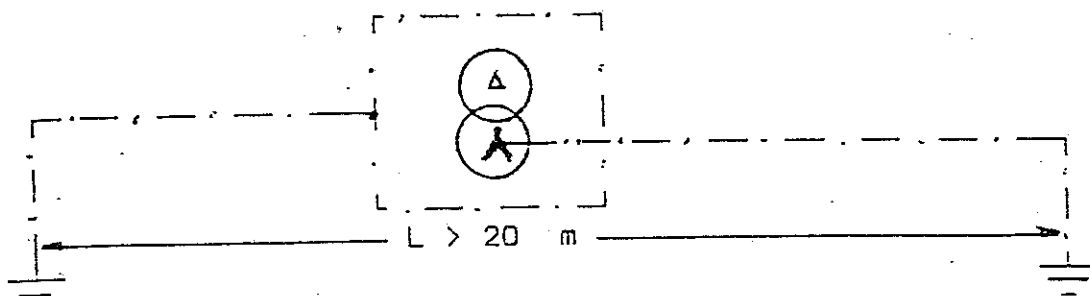
(β)

Γείωση προστασίας
(εφαρμογή τασης προς γρ.)



(γ)

Γείωση σε μετασχηματιστή μέσης τάσης
(γείωση λειτουργίας & γείωση μεταλλικών).



γείωση μεταλλικών
(γείωση προστασίας)

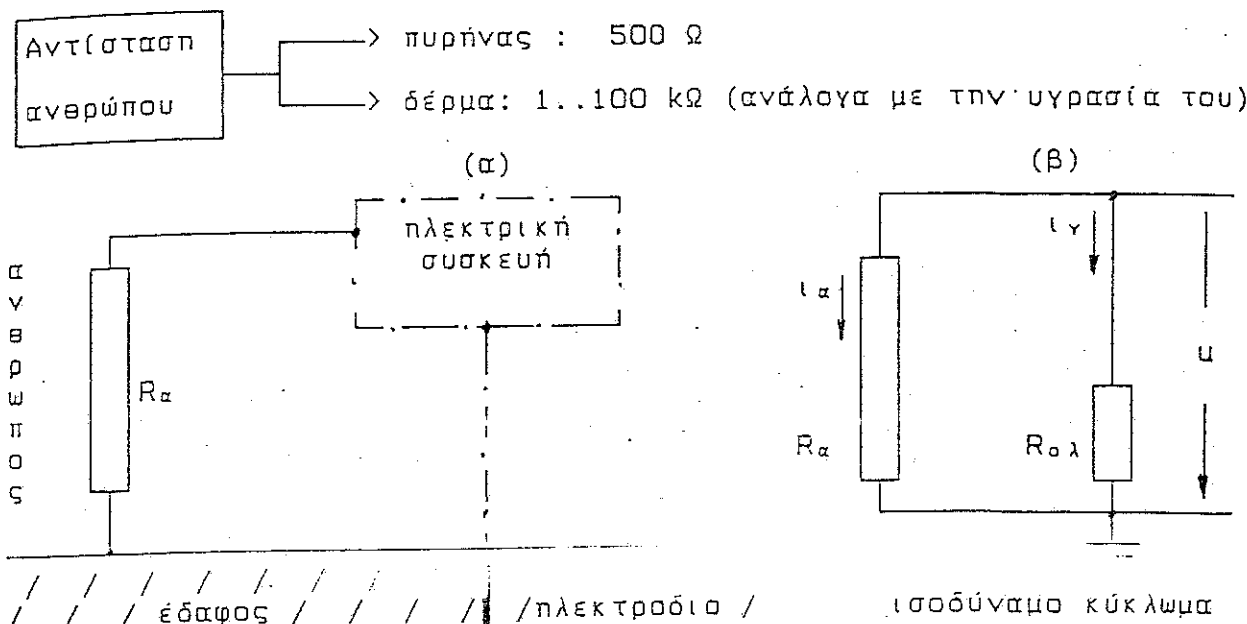
γείωση κόμβου
(γείωση λειτουργίας)

Σχήμα 3.1-1 : Παραδείγμα γείωσης λειτουργίας και γείωσης προστασίας (ή γείωση μεταλλικών).

Η γείωση προστασίας (ή γείωση μεταλλικών) αποσκοπεί στην ποστασία του ανθρώπου από διεσροπή ρεύματος προς το μεταλλικό περίβλημα μέσ

πλεκτρικής συσκευής, με το οποίο έρχεται αυτός σε επαφή, π.χ. παράδειγμα β & παράδειγμα γ (γείωση μεταλλικών του μετασχηματιστή).

Ο τρόπος με τον οποίο επενεργεί η γείωση προστασίας (ή γείωση μεταλλικών) φαίνεται στο σχήμα 3.1-2. Σύμφωνα με το σχήμα αυτό,



Σχήμα 3.1-2 : Επεξήγηση του κυκλώματος της γείωσης προστασίας (ή γείωσης μεταλλικών)

η αντίσταση του ανθρώπου αποτελείται από δύο μέρη: τον πυρήνα (περίπου 500 Ω) και το δέρμα (1..100 kΩ). Οσο περισσότερο υγρό είναι το δέρμα τόσο μικρότερη γίνεται η αντίστασή του. Όταν ο ανθρώπος έρχεται σε επαφή με τό μεταλλικό περίβλημα μίας γείωμένης πλεκτρικής συσκευής, στο οποίο εκδηλώνεται ένα ρεύμα διαρροής (περίπτωση "α" του σχήματος 3.1-2), τότε περιορίζεται η τιμή του ρεύματος διαφοροής προς τον ανθρώπο (αντίσταση R_a), ανάλογα με την τιμή της συνολικής αντίστασης του κυκλώματος γείωσης $R_{αβ}$. Το ισοδύναμο κύκλωμα της παραπάνω διάταξης διαρροής του ρεύματος αποδίδεται από την περίπτωση "β" του σχήματος 3.1-2. Από το παραπάνω ισοδύναμο κύκλωμα φαίνεται ότι για :

$$R_{αβ} \ll R_a \quad (3.1-1)$$

είναι :

$$I_y \gg I_\alpha \quad (3.1-2)$$

Επομένως, για τη καλύτερη δυνατή προστασία του ανθρώπου θα πρέπει να επιδιώκεται τιμή της αντίστασης γείωσης, που να προσεγγίζει την σεωροτεκνή τιμή $R = 0$. Η συνολική τιμή της αντίστασης γείωσης για τις συνήθεις κτιριακές και βιομηχανικές εγκαταστάσεις είναι στην πράξη μερικά Ω .

Σύμφωνα με τα παραπάνω: άταν δεν υπάρχει γείωση προστασίας σε μία εγκατάσταση, ή η τιμή της αντίστασης γείωσης είναι μεγάλη;

η π αντίσταση του ανθρώπου είναι μικρή, τότε υπάρχουν κίνδυνοι γιά τον άνθρωπο, που έρχεται σε επαφή με τα μεταλλικά περιβλήματα των διαφόρων πλεκτρικών συσκευών. Στην περίπτωση αυτή το αποτέλεσμα της πλεκτροπληξίας εξαρτάται κυρίως από την τιμή του ρεύματος. Σημασία έχουν επίσης και άλλοι παράγοντες, όπως: η τιμή της τάσης, η συχνότητα, η χρονική διάρκεια του πλεκτροφυσικού φαινομένου, η κατάσταση του εδάφους (υγρό, στεγνό) κ.λ.π. Στη βιβλιογραφία δίνονται διάφοροι πίνακες τιμών, ανάλογα με την περίπτωση πλεκτροπληξίας. Οι πίνακες αυτοί έχουν καταρτιστεί από πειράματα, που έχουν γίνει σε zώα. Ενας πίνακας, γιά το αποτέλεσμα της πλεκτροπληξίας στον άνθρωπο από το εναλλασσόμενο ρεύμα 50 Hz είναι ο παρακάτω. Παρατηρεί κανείς, ότι η επικίνδυνη τιμή του ρεύματος

| | |
|---|---|
| 1 mA | όριο που γίνεται αντιληπτό |
| 16 mA | σύσπαση μυών |
| 50 mA | σε αριστερές περιπτώσεις σπάλεια των αισθήσεων-τραυματισμός |
| 100...300 mA | κοιλιακός ινιδίσμος (ταχύτατες συσπάσεις του μυοκαρδίου, επιστροφή της ανατοκείσιας γιά την άντληση του οξυγόνου) |
| 5 A | κοιλιακός ινιδίσμος, διακοπή της αναπνοής κατά διεστήματα, εγκαύματα |
| Επικίνδυνη τιμή ρεύματος γιά ασθενείς σε μονάδες πάνω από 100 μΑ επειγουσας ιατρικής (π.χ.: μονάδα εντατικής θεραπείας, μονάδα αναπνευστικής ανεπάρκειας, κ.λ.π.) | |

Πίνακας 3.1-1 : Αποτέλεσμα του εναλλασσόμενου ρεύματος 50 Hz στον ανθρώπινο οργανισμό

ματος διαρροής σε ασθενείς είναι αρκετά μικρότερη από εκείνη στον υγιή άνθρωπο.

3.2. Μέθοδοι προστασίας στις συνήθεις κτιριακές και βιομηχανικές εγκαταστάσεις

Η γείωση προστασίας σε κτιριακές εγκαταστάσεις γίνεται με τις παρακάτω μεθόδους :

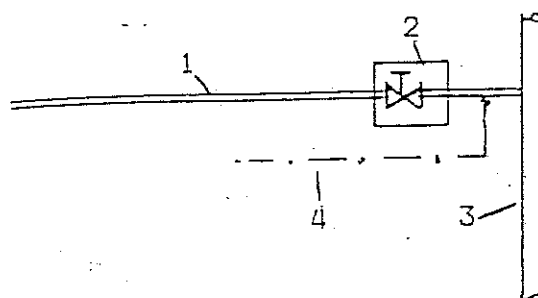
α) Με πλεκτρόδιο γείωσης (ή άμεση γείωση).

β) Με ουδετέρωση (γείωση στον ουδέτερο του δικτύου όταν ο ουδέτερος του δικτύου είναι γειωμένος).

γ) Με πλεκτρονάμους διαφυγής.

Η γείωση στους σωλήνες νερού είναι επίσης ένα είδος γείωσης με πλεκτρόδιο. Ως πρέπει πάντως για αποφεύγεται, τόσο γιά τα γαλβανικά

φαινόμενα, που προκαλεί στους σωλήνες ύδρευσης, όσο και γιά το λόγο χρησιμοποίησης πλαστικών σωλήνων στο δίκτυο ύδρευσης της πόλης. Σε περίπτωση πάντως που εφαρμόζεται η μέθοδος αυτή, θα πρέπει να γίνεται η σύνδεση μετά τον μετρητή νερού (σχήμα 3.2-1).

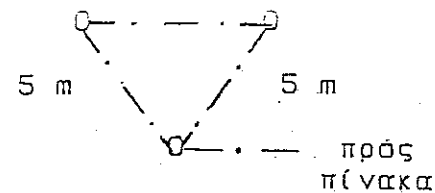


Σχήμα 3.2-1 : γείωση στο δίκτυο ύδρευσης.

- 1 : σωλήνας παροχής νερού της κατοικίας
- 2 : μετρητής νερού
- 3 : σωλήνας νερού του δικτύου της πόλης
- 4 : αγωγός γείωσης

Στις βιομηχανικές εγκαταστάσεις εφαρμόζεται συνήθως η άμεση γείωση. Ως πλεκρόδιο γείωσης χρησιμοποιείται συνήθως ένα ή περισσότερα τρίγωνα γείωσης (π.χ. τρεις σωλήνες γαλβανισμένοι εσωτερικής διατομής 1,1/4 " και μήκους 3 m, που συνδέονται μεταξύ τους με τον αγωγό γείωσης κατά το σχήμα 3.2-2). Οι συνδέσεις γίνονται σε φρεάτια γείωσης, για να ελέγχονται.

Σχήμα 3.2-2 : Τρίγωνο γείωσης



Ο υπολογισμός των πλεκτροδίων γείωσης κατά τους Γερμανικούς κανονισμούς γιά ονομαστικές τάσεις μέχρι 1000 V (VDE 0100), γίνεται από την τιμή r (πίνακας 3.2-1), το είδος του πλεκτροδίου (π.χ. πίνακας 3.2-2 γιά σωλήνα 1 " και πλάκα) και τις σχέσεις 3.2-1

| Είδος εδάφους | r σε Ω |
|------------------------------|-----------------|
| πετρώδες έδαφος | 3000 |
| στεγνή άμμος ή στεγνό χαλίκι | 1000 |
| υγρό χαλίκι | 500 |
| υγρή άμμος | 200 |
| χώμα αγρού (φυτική γή) | 100 |
| βαλτώδες έδαφος | 30 |

Πίνακας 3.2-1 : Αντίσταση ενός m^3 γης μεταξύ των δύο πλευρών του (κατά VDE 0100 γιά ονομαστικές τάσεις μέχρι 1000 V).

| γιά $r = 100 \Omega$ | | |
|--|------------------------|-------------------|
| είδος πλεκτροδίου | διαστάσεις πλεκτροδίου | R_o σε Ω |
| σωλήνας γαλβανισμένος 1" | 1 m μήκος | 70 |
| | 2 m μήκος | 40 |
| | 3 m μήκος | 30 |
| | 5 m μήκος | 20 |
| κατακόρυφη πλάκα από St ή Cu πάχους 3 mm | επιφάνεια σε m^2 | |
| | 0,5 x 1 | 35 |
| | 1 x 1 | 25 |

Πίνακας 3.2-2 : Αντίσταση πλεκτροδίου (R_o), γιά $r = 100 \Omega$

και 3.2-2 :

$$\frac{r}{100} = \frac{R}{R_o} \quad (3.2-1)$$

$$R_o = R + R_{cu} \quad (3.2-2)$$

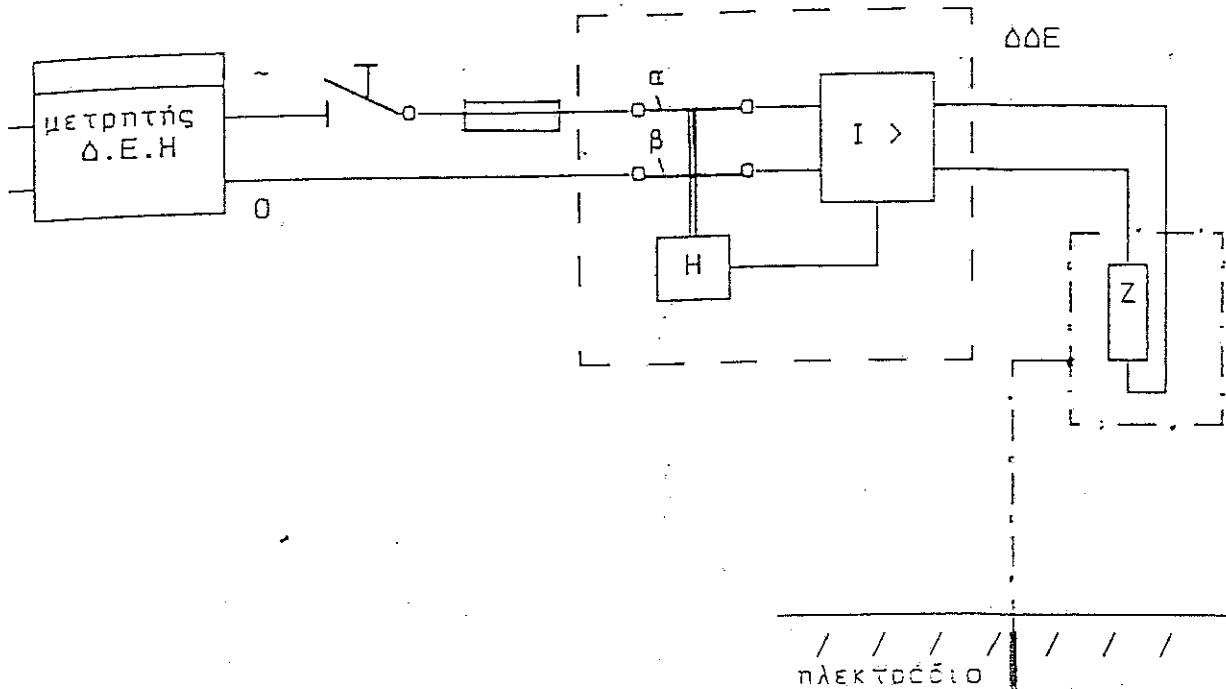
όπου : R η αντίσταση του πλεκτροδίου γιά τιμή r διαφορετική από 100Ω , R_{cu} η αντίσταση του αγωγού γείωσης και R_o η ολική αντίσταση.

Η προστασία με διακόπτες διαφυγής (τάσης ή έντασης) επιτυχά- νεται γενικά με άμεση απόζευξη της εγκατάστασης (ή μέρους της, που προστατεύεται από τον διακόπτη διαφυγής), σε τιμή της τάσης επαφής μικρότερη από 50 V. Στις οικιακές εγκαταστάσεις ο διακόπτης διαφυγής προκαλεί απόζευξη όλης της εγκατάστασης προς τις διάφορες αναχωρήσεις του πίνακα.

Ο διακόπτης διαφυγής έντασης διακόπτει την παροχή της τάσης προς την εγκατάσταση, που επιτηρεί, σε χρόνο περίπου 30 ms και γιά τιμή του ρεύματος διαρροής της τάξης των 30 mA σε οποιοδήποτε σημείο της εγκατάστασης. Οι διακόπτες αυτοί είναι διπολικοί ή τετραπολικοί.

Οι διπολικοί χρησιμοποιούνται σε μονοφασικές παροχές τάσης & προτιμών ζεύξη-απόζευξη τόσο στη φάση, όσο και στον ουδέτερο. Οι καλύτεροι τετραπολικοί έχουν εφαρμογή σε τριφασικές παροχές (ζεύξη-απόζευξη των τριών φάσεων και του ουδέτερου). Στο σχήμα 3.2-3 δίνεται η μέθοδος σύνδεσης του διπολικού διακόπτη διαφυγής απλοποιημένη που μετατρέπει την γείωση σε περίπτωση ουδετέρωσης, η οποία του έντασης. Σημειώνεται ότι σε περίπτωση ουδετέρωσης, η γείωση του

-49-



Σχήμα 3.2-3 : Σύνδεση του διακόπτη διαφυγής έντασης σε περιπτώσεις που η εγκατάσταση έχει πλεκτρόδιο γείωσης (ή όταν η γείωση έχει γίνει στο δίκτυο ύδρευσης).

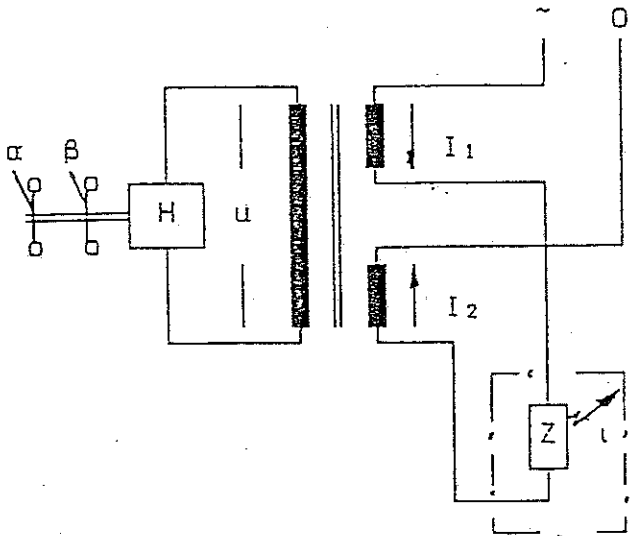
- ~ : φάση
- O : ουδέτερος
- ΔΔΕ : διακόπτης διαφυγής έντασης (I > : στοιχείο υπερέντασης, κατά την οποία ανοίγουν οι επαφές α και β μέσω του πλεκτρομαγνήτη H)
- Z : φορτίο, που παριστάνει όλη την εγκατάσταση μετά τον διακόπτη διαφυγής ρεύματος

Ουδετέρους γίνεται πρίν τον διακόπτη διαφυγής έντασης (π.χ. στο κιβώτιο παροχής τάσης που τοποθετείται ο Δ.Ε.Η. σε μία κατοικία). Σύμφωνα με το παραπάνω σχήμα ο διακόπτης διαφυγής ρεύματος έχει ένα στοιχείο υπερέντασης (I >). Το στοιχείο αυτό προκαλεί, σε περίπτωση διαρροής ρεύματος της τάξης των 30 mA, τη διέγερση ενός πλεκτρομαγνήτη (H), που ανοίγει κατά την έλξη του σιδηροπυρήνα του της επαφές α και β, με αποτέλεσμα τη διακοπή της τάσης προς την εγκατάσταση (φορτίο Z). Ο παραπάνω πλεκτρομαγνήτης είναι, όπως εξετάζεται αναλυτικά σε επόμενο κεφάλαιο, ένα είδος πλεκτρονόμου . Το στοιχείο υπερέντασης βασίζει τη λειτουργία του στη διαφορετική τιμή του ρεύματος στον αγωγό φάσης ως προς εκείνη στον αγωγό ουδετέρου κατά την εκδήλωση της διαρροής. Πρόκειται για ένα μετασχηματιστή (σχήμα 3.2-4), όπου η διαφορά :

$$\Delta I = I_1 - I_2 ,$$

(3.2-3)

από το ρεύμα διαρροής ι προς το μεταλλικό περίβλημα μίας συσκευής, παράγει μία τάση ή στο δευτερεύον του μετασχηματιστή, λόγω της αποίας τίθεται αυτομάτως σε λειτουργία ο πλεκτρονόμος H, με αποτέλεσμα να ανοίξουν οι επαφές α και β.



Σχήμα 3.2-4 : Επεξήγηση της λειτουργίας του στοιχείου υπερέντασης του διακόπτη διαφυγής έντασης

Ο διακόπτης διαφυγής τάσης παριστάθηκε ένας στοιχείο υπερέντασης (πηνίο) και έναν πλεκτρονόμο (πλεκτροδιαδικτύο) περίπτωση του διακόπτη διαφυγής έντασης, που διακοπτεί το κύκλωμα σε περίπτωση υπέρτασης (σχ. 3.2-5). Γιά τη λειτουργία του διακόπτη διαφυγής τάσης χρειάζεται, εκτός από τη γείωση μεταλλικών, ένα βοηθητικό πλεκτρόδιο. Ο αγωγός προς το βοηθητικό πλεκτρόδιο πρέπει να είναι μονωμένος μέχρι το πλεκτρόδιο αυτό, ώστε να μη βραχυκυκλώνεται το πηνίο υπέρτασης. Η διατομή του παραπάνω αγωγού είναι τουλάχιστον $2,5 \text{ mm}^2$. Γιά τους διέους λόγους είναι επίσης μονωμένος και ο αγωγός γείωσης του πλεκτρόδιου της γείωσης μεταλλικών. Ο διακόπτης διαφυγής τάσης πρέπει να λειτουργεί γιά τάση στο στοιχείο υπέρτασης (διαφορά δυναμικού μεταξύ των δύο γειώσεων) μικρότερη από 50 V. Ως βοηθητικό πλεκτρόδιο δεν πρέπει να χρησιμοποιείται το δίκτυο ύδρευσης, εκτός εάν είναι απολύτως βέβαιο ότι δεν βραχυκυκλώνεται το πηνίο υπέρτασης από γειώσεις μεταλλικών προς το δίκτυο ύδρευσης. Ως βοηθητικό πλεκτρόδιο μπορεί να χρησιμοποιείται μία μεταλλική ράβδος πλεκτροδίων γείωσης του εμπορίου (π.χ. $12,5 \text{ mm}^2$ και μήκους 1,5 m) ή ισοδύναμο πλεκτρόδιο από γαλβανισμένο σωλήνα. Οταν στον διακόπτη διαφυγής τάσης συνδέονται πολλές συσκευές, μία εκ των οποίων είναι σύνδεσμος με την γείωση προστασίας, τότε η διατομή κάθε αγωγού προστασίας πρέπει να είναι τουλάχιστον η μισή από τη διατομή του αγωγού φάσης της μεγαλύτερης σε ταχύ προστατευόμενης συσκευής.

Η συνύπαρξη της άμεσης γείωσης με την ουδετέρωση σε μία εγκατάσταση απαγορεύεται.

Η χρήση διακόπτη διαφυγής, όταν υπάρχει άμεση γείωση, είναι γενικά έπιτρεπτή.

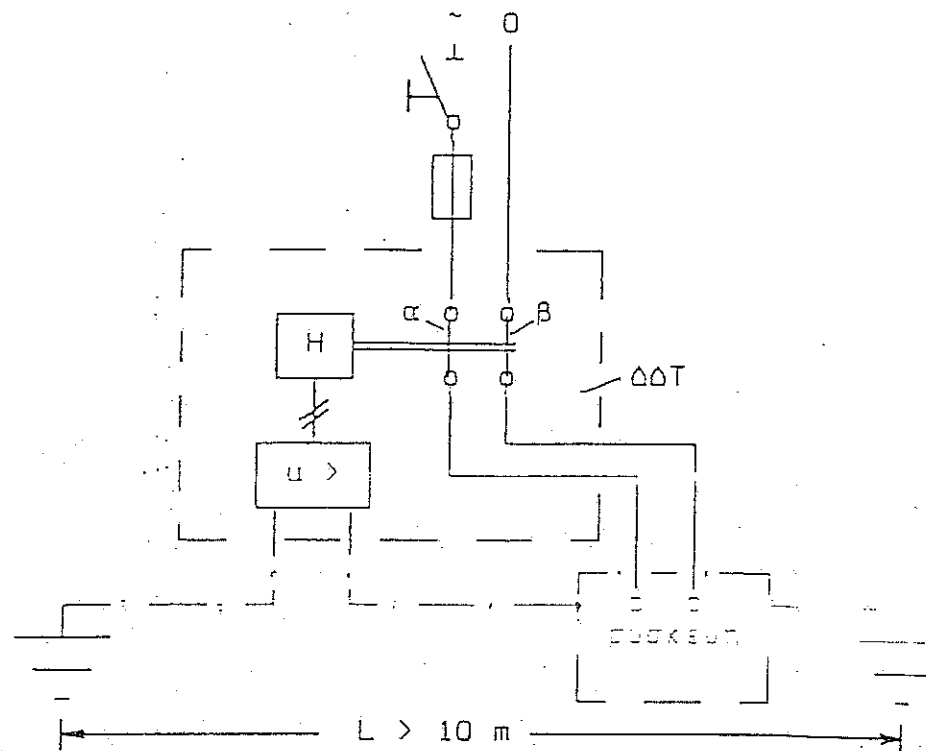
Στην περίπτωση της ουδετέρωσης, όπου ο αγωγός γείωσης της εγκατάστασης συνδέεται με τον ουδέτερο του δίκτυου, τοποθετείται διακόπτης διαφυγής έντασης. Η χρησιμοποίηση του διακόπτη διαφυγής τάσης προϋποθέτει πλεκτρόδιο γείωσης των μεταλλικών μερών.

Στο σχήμα 3.2-6 δίνονται σύμβολα των διακοπτών διαφυγής κατε-

-51-

DIN 40717, αλλά και όπως συνηθίζεται συχνά στη βιβλιογραφία.

Q.E.H.



βοηθητικό
πλεκτρόδιο

ήλεκτρόδιο
γείωσης της
συσκευής

Σχήμα 3.2-5 : Σύνδεση του διακόπτη διαφυγής τάσης (ΔΔΤ)

: φάση , ο : ουδέτερος

π > : στοιχείο υπέρτασης του ΔΔΤ

H : ηλεκτρομαγνήτης (ανοίγει τις επαφές ακαι β, κατα τη διέγερσή του από το στοιχείο υπέρτασης)

| Διακόπτης διαφυγής | Κατά DIN | Συνηθίζεται συχνά |
|--------------------|----------|-------------------|
| έντασης | | |
| τάσης | | |

Σχήμα 3.2-6 : Σύμβολα διακοπών διαφυγής

3.3. Σύμβολα γείωσεων

Στο σχήμα 3.3-1 δίνονται σύμβολα της γείωσης κατά DIN , καθώς και σύμβολα, που χρησιμοποιούνται συχνά στην πράξη.

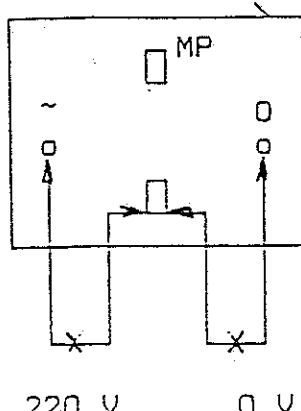
| κατά DIN 40717 | συνηθίζεται επίσης ως γενικό σύμβολο |
|--|--------------------------------------|
| γενικό σύμβολο | \equiv |
| ακροδέκτης γείωσης σε μία συσκευή | (\equiv) |
| σύνδεση προς το μεταλλικό περίβλημα μίας συσκευής | \parallel \equiv |

Σχήμα 3.3-1 : Σύμβολα γείωσην

3.4. Πρακτικές μέθοδοι ελέγχου της γείωσης

Η μέτρηση της αυτίστασης γείωσης γίνεται με μεθόδους, που θα πρέπει να αναζητηθούν στην βιβλιογραφία περί πλεκτρικών μετρητών. Στην πράξη εφαρμόζονται δύο πρακτικοί μέθοδοι : η μέθοδος του βολτομέτρου (ή του λαμπτήρα) κατά το σχήμα 3.4-1 και η μέθοδος του ουδετέρου (σχήμα 3.4-2). Οι πρακτικές αυτές μετρήσεις, που δεν μπορούν βέβαια να υποκαθιστήσουν τις μετρήσεις της αντίστασης γείωσης, είναι ένα κριτήριο ύπαρξης της γείωσης.

Η μέθοδος του βολτομέτρου (ή του λαμπτήρα) γίνεται σε ένα



Σχήμα 3.4-1 : Ελεγχος της γείωσης σε ένα ρευματοδότη, με σύγκριση της τάσης μεταξύ φάσης και ουδετέρου . ως προς εκείνη μεταξύ φάσης και γής.

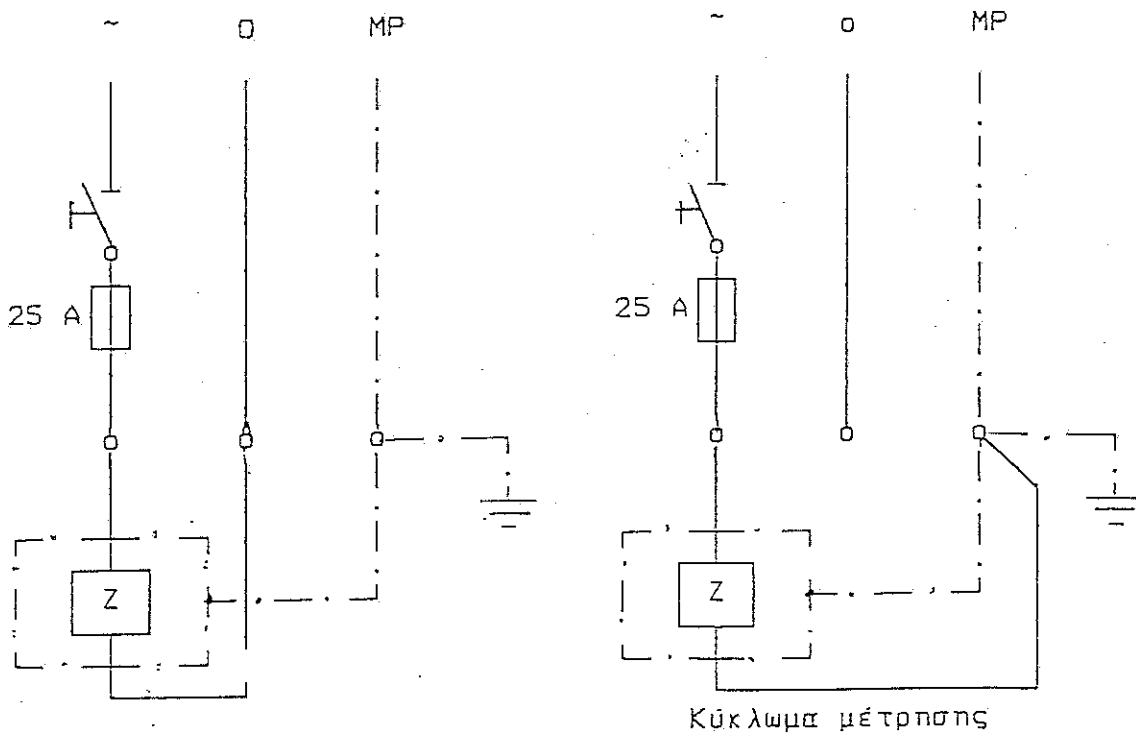
ρευματοδότη της εγκατάστασης. Η μέτρηση βασίζεται στην προϋπόθεση ότι ο ουδέτερος και η γείωση του δικτύου συνδέονται μεταξύ τους. Εποιητικά, η τάση μεταξύ των δύο συσκευών που συνδέονται σε ένα ρευματοδότη έχει την (όιστι τιμή με εκείνη μεταξύ φάσης και γείωσης, ενώ η τάση μεταξύ ουδετέρου και γής έχει μηδενική τιμή). Η μέτρηση γίνεται με ένα βολτόμετρο. Οταν αντί του βολτομέτρου χρησιμοποιείται ένεσ λαμπτήρα,

ρας των 220 V, η φωτεινότητα του λαμπτήρα πρέπει να είναι η ίδια κατά τη συνδεσή του μεταξύ φάσης και γής, ως προς εκείνη μεταξύ φάσης και ουδετέρου. Η μέθοδος αυτή μπορεί να εφαρμόζεται σε προγραμματισμένες εργασίες συντήρησης, όπως π.χ.: σε όλους τους ρευματοδότες των βαλάμων νοστλείας ενός νοσοκομείου, στα δωμάτια ενός ξενοδοχείου, κ.λ.π.

Η μέθοδος του ουδετέρου πραγματοποιείται στον πίνακα. Βασίζεται στον έλεγχο της εγκατάστασης, όταν αφαιρεθεί ο αγώνας ουδετέρου από τον ακροδέκτη του στον πίνακα και συνδεθεί στον ακροδέκτη του αγώνου γείωσης. Πρόκειται ουσιαστικά για μία ένδειξη ύπαρξης της γείωσης. Στο σχήμα 3.4-2 δίνεται απλοποιημένα η διαδικασία που ακολουθείται σε έναν πίνακα, του οποίου η γενική ασφάλεια είναι 25 A. Όπως φαίνεται στο σχήμα αυτό, αφαιρείται ο αγώνας ουδετέρου της όλης εγκατάστασης από το σημείο σύνδε-

Είσοδος
του πίνακα

Είσοδος
του πίνακα



Σχήμα 3.4-2 : Πρακτική μέθοδος ελέγχου της γείωσης
Ζ : φορτίο της αναχώρησης.

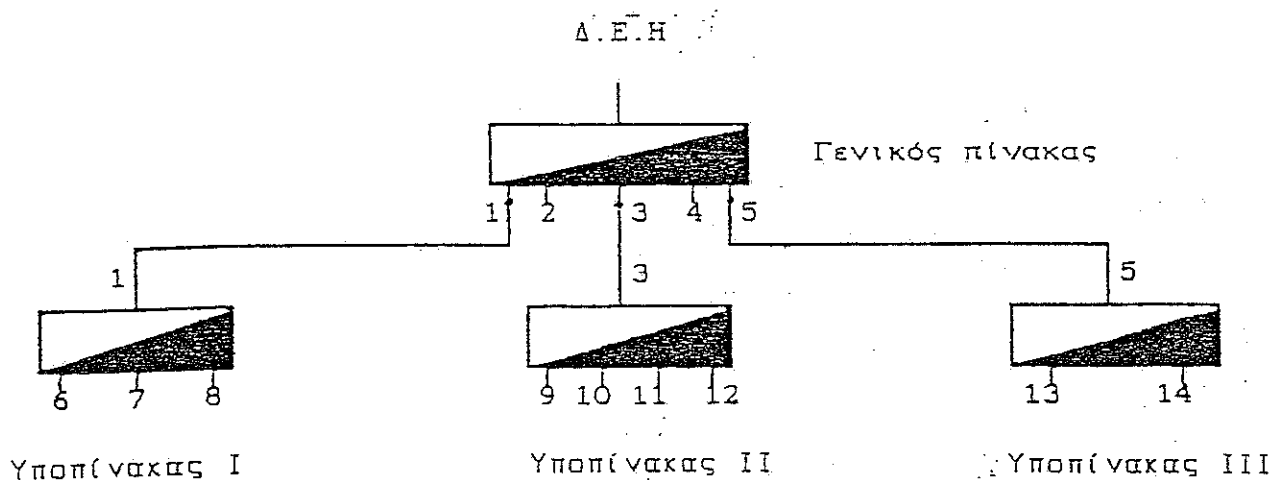
τέρους από το σημείο σύνδεσής του στον πίνακα και συνδέεται στον ακροδέκτη του αγώνου γείωσης του πίνακα. Στη συνέχεια κλείνει καινύσις τον διακόπτη. Η λειτουργία του κυκλώματος σημαίνει ότι υπάρχει γείωση.

4. Γενικοί πίνακες και υποπίνακες χαμηλής τάσης

4.1. Γενικός πίνακας και υποπίνακες σε εγκατάστασης φωτισμού

Στο παράδειγμα της παραγράφου 2.2.1 θεωρήθηκε ότι η κατοικία έχει έναν μόνο όροφο. Έτσι, σχεδιάστηκε ένας πίνακας για την κάλυψη των αναγκών της εγκατάστασης (είσοδος από το δίκτυο της πόλης και αναχωρήσεις προς τις διάφορες γραμμές της εγκατάστασης).

Σε περίπτωση, που μία κατοικία περιλαμβάνει χώρους με εγκατάστασεις κίνησης (π.χ. : λεβητοστάσιο, μπχανοστάσιο ανελκυστήρα, κ.λ.π.) , καθώς & όταν αυτή αποτελείται από περισσότερους ορόφους, τότε επιβάλλεται η εγκατάσταση ενας πίνακα ανά εγκατάσταση κίνησης (στον χώρο των μπχανημάτων) , καθώς και ανά όροφο . Από όλους τους πίνακες της κατοικίας ένας είναι ο γενικός πίνακας της εγκατάστασης , μέσω του οποίου γίνεται η σύνδεση προς το δίκτυο της πόλης. Οι υπόλοιποι πίνακες της εγκατάστασης ρευματοδοτούνται από τον γενικό πίνακα και ονομάζονται υποπίνακες . Κάθε υποπίνακας δηλαδή είναι μια αναχώρηση του γενικού πίνακα . Στο σχήμα 4.1-1 δίγενεται ένα παράδειγμα μονογραμμικού σχεδίου των πινάκων μίας εγκατάστασης φωτισμού . Η μέθοδος αυτή διαχωρίσμού της εγκατάστασης , μέσω του



Σχήμα 4.1-1 : Παράδειγμα μονογραμμικού σχεδίου των πινάκων μίας εγκατάστασης φωτισμού.

1 έως 14 : αναχωρήσεις των πινάκων

γενικού πίνακα και των υποπινάκων του, επιτρέπει την απομόνωση μέρους της εγκατάστασης από τον γενικό διακόπτη του αντίστοιχου υποπίνακα. με αποτέλεσμα να διευκολύνεται κανείς σε εργασίες συντήρησης και επισκευών, χωρίς να χρειάζεται γενική διακοπή της εγκατάστασης.

Ο διαχωρισμός εγκαταστάσεων φωτισμού μεγάλης έκτασης (π.χ. : φωτισμός ανά όροφο σε ενα νοσοκομείο. ή ένα ξενοδοχείο. κ.λ.π.) . μέσω υποπινάκων πρέπει να γίνεται με μεγάλη σχολαστικότητα.. ώστε να μη διαταράσσεται η λειτουργία μέρους της εγκατάστασης φωτισμού (π.χ. μίας κλινικής), αφο την συντήρηση ή την ανεξήτηση βλαβών σε

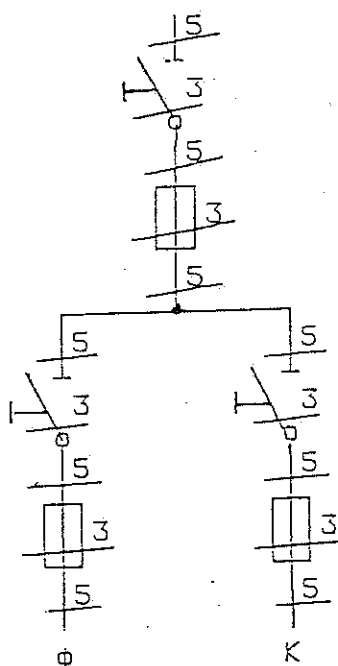
ένα άλλο τμήμα της (π.χ.: σε άλλη κλινική στον ίδιο όροφο). Στις περιπτώσεις αυτές χρησιμοποιούνται υποπίνακες ορόφων από όπου ρευματοδοτούνται αυτίστοιχα οι υπόλοιποι υποπίνακες αγάπ Όροφο.

Γιά τη χρησιμοποίηση των διαφόρων είδών διακοπών στους πίνακες, καθώς και τον συνδυασμό των διακοπών με τις ασφάλειες Ιαχύδων τα αναφερόμενα στην παράγραφο 2.1.

Σχετικά με την πραγμάτωποίση των διαφόρων γραμμών της εγκατάστασης επισημαίνεται ως γενικός κανόνας, ανεξαρτήτως του μεγέθους της εγκατάστασης, ότι σε έναν σωλήνα προστασίας τοποθετούνται μόνο καλώδια της διας γραμμής. Εποιηθείται τοποθέτηση τυχόν διαρροές ρεύματος από τη μία γραμμή στην άλλη, οι εργασίες συντήρησης και επισκευών σε μία γραμμή (π.χ. συνδέσεις σε ένα κουτί διακλάδωσης κ.λ.π.) γίγονται υπό συνθήκες ασφάλειας, όπου βέβαια έχει προηγηθεί απομόνωση της γραμμής από τον σχετικό πίνακα.

4.2 Γενικός πίγμας και υποπίγματος βιομηχανικών εγκαταστάσεων

Στις βιομηχανικές εγκαταστάσεις γίνεται διάκριση μεταξύ εγκαταστάσεων φωτισμού και εγκαταστάσεων κίνησης. Γι' αυτό προβλέπονται στο γενικό πίνακα δύο βασικές συναρμοδόσεις, η μία για την φωτισμό και η άλλη για την κίνηση (Σχήμα 4.2-1). Οταν η εγκατάσταση πε-



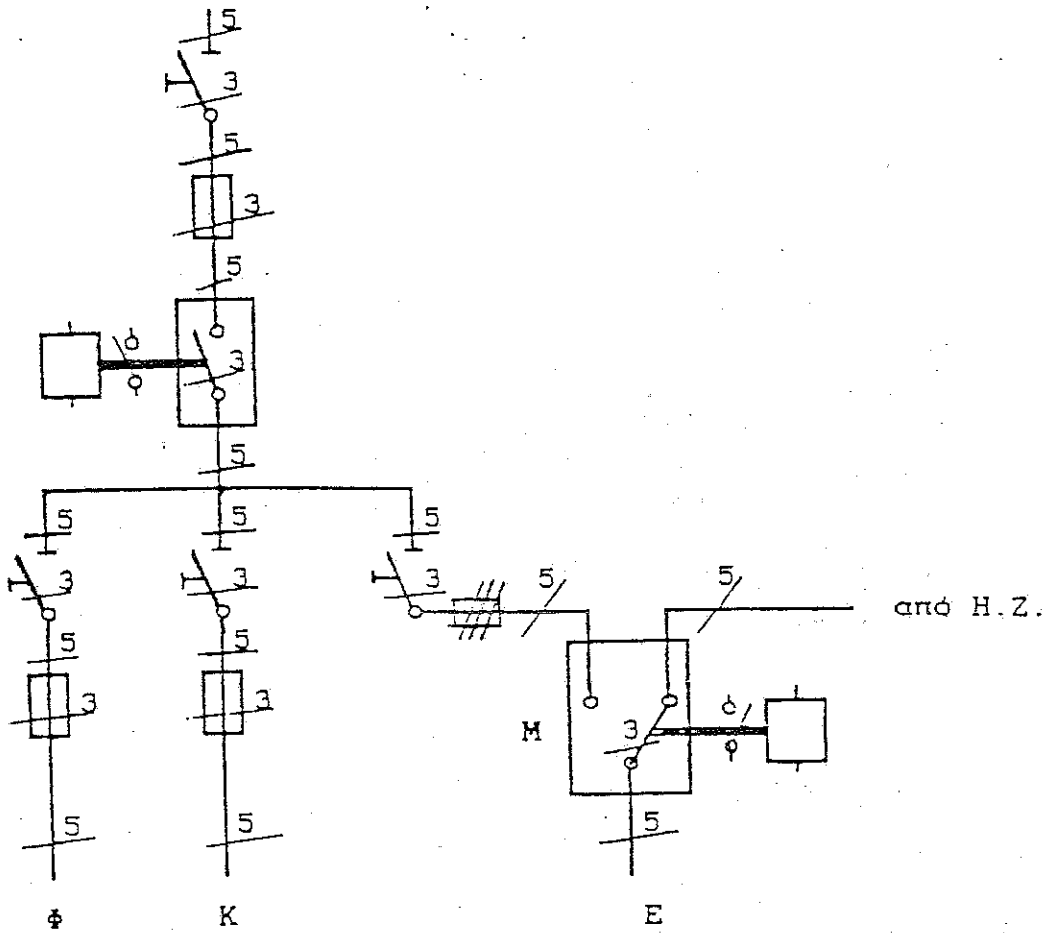
Σχήμα 4.2-1 : Περάσει γηπέτη γενικού πίνακα χαμηλής τάσης βιομηχανικής εγκατάστασης.

Φ : γενική αναχώρηση φωτισμού
 Κ : γενική αναχώρηση κίνησης

ρι λαμβάνει φορτία , που δεν πρέπει να μένουν χωρίς παροχή τάσης (φορτία έκτακτης ανάγκης ή επεί γοντα φορτία , π.χ. : χειρουργεία . άλλες ειδοικές νοσοκομειακές μονάδες , κ.λ.π.). Τότε προβλέπεται με ακόμα αναχώρηση στον γενικό πίνακα . Στο σχήμα 4.2-2 δίνεται ένα παραδότειγμα γενικού πίνακα με τις τρεις βασικές αναχωρήσεις (Φ . Κ και Ε) . Σύμφωνα με αυτό , σε περίπτωση διακοπής της τάσης από το δίκτυο της πόλης τρευθείτε στη φορτία έκτακτης ανάγκης από ένα πλεκτροπαραγγό ζεύγος (Η.Ζ.: γεννήτρια που εργάζεται με πετρέλαιο και η οποία τίθεται αυτόματα σε λειτουργία όταν διακοπεί η τάση

του δικτύου). Η αυτόματη-τροφοδόσις (σ των φωρτίων έκτακτης αγάγκης επιτυχάνεται με τον αυτόματο διακόπτη μεταγωγής της τάσης (M).

από Δ.Ε.Η.



Σχήμα 4.2-2 : Παράδειγμα ενός γενικού πίνακα χαμηλής τάσης μίας βιομηχανικής εγκατάστασης .

Φ : γενική αναχώρηση φωτισμού

Κ : γενική αναχώρηση κίνησης

Ε : γενική αναχώρηση φωρτίων έκτακτης αγάγκης

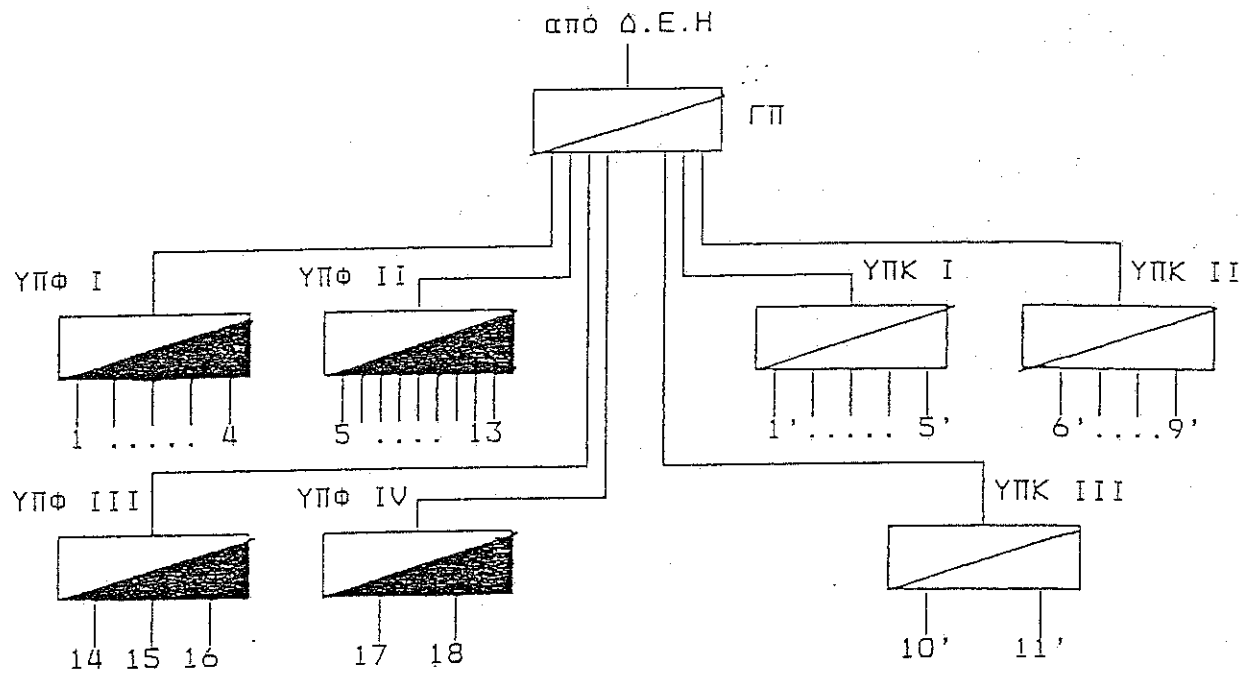
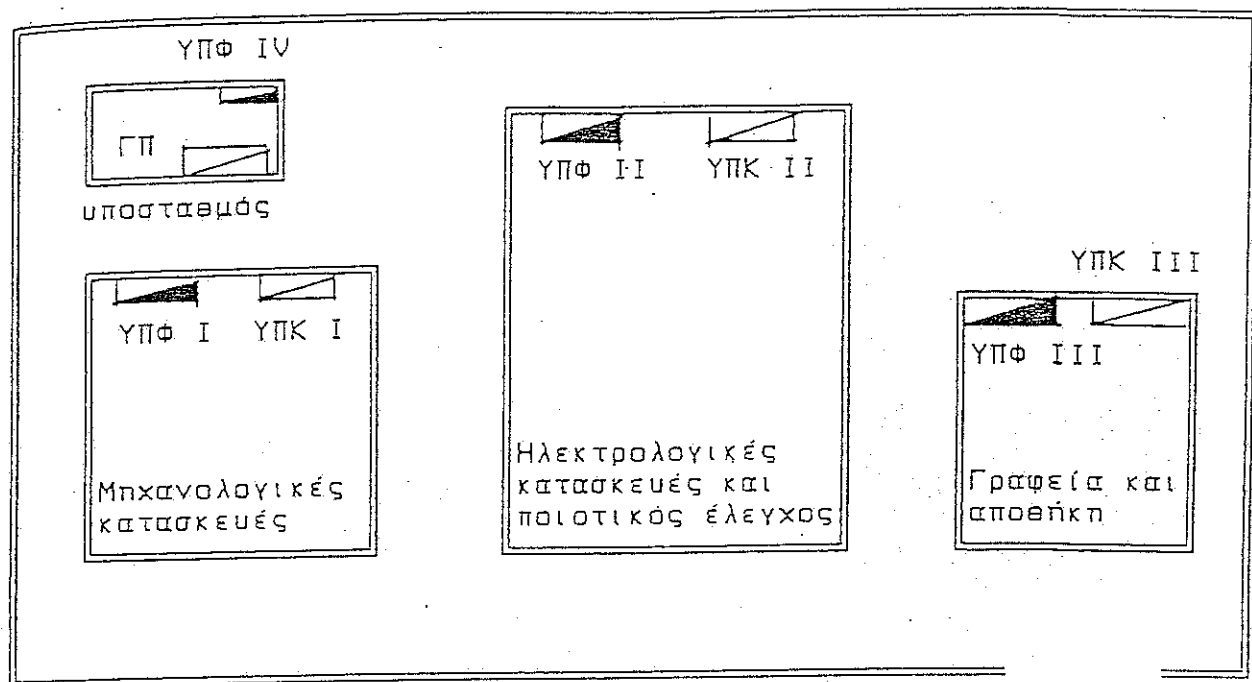
Μ : αυτόματος διακόπτης μεταγωγής της τάσης

ΗΖ: πλεκτροπαραγγό ζεύγος

Από τις αναχωρήσεις του γενικού πίνακα , τροφοδοτούνται στη συνέχεια οι διάφοροι υποπίνακες φωτισμού και υποπίνακες κίνησης εγκατάστασης .

Στο σχήμα 4.2-3 δίνεται ένα παράδειγμα μονογραμμικού σχεδίου των πινάκων χαμηλής τάσης μίας βιομηχανικής εγκατάστασης , από το οποίο φαίνεται ο διαχωρισμός της σε εγκατάσταση φωτισμού και εγκατάσταση κίνησης .

Για τη χρησιμοποίηση των διαφόρων ειδών διακόπτών στο γενικό πίνακα και στους υποπίνακες ισχύουν τις αναφερόμενες στην παραγραφή 2.1.



Σχήμα 4.2-3 : Παράδειγμα γενικού πίνακα και υποπινάκων μίας βιομηχανικής εγκατάστασης.

ΓΠ : γενικός πίνακας

YΠΦ I έως YΠΦ IV : υποπίνακες φωτισμού

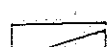
YΠΚ I έως YΠΚ III : υποπίνακες κίνησης

1,...,18 : αναχωρήσεις φωτισμού

1',...,11' : αναχωρήσεις κίνησης



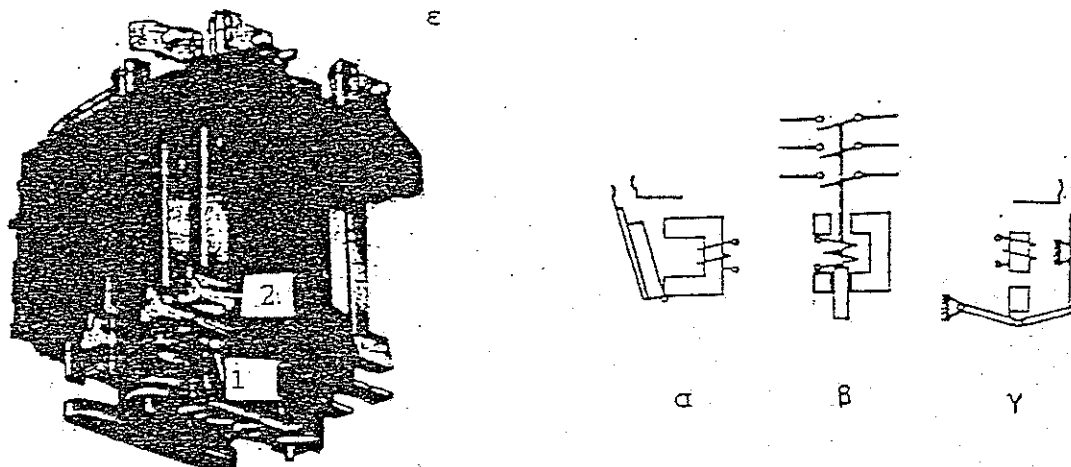
: σύμβολο πίνακα φωτισμού



: σύμβολο πίνακα κίνησης

5. Κυκλώματα με πλεκτρονόμους

Ο πλεκτρονόμος είναι μία πρακτική εφαρμογή του πλεκτρομαγνήτη στην περιοχή των διακοπών. Στο σχήμα 5-1 δενούνται τρείς περιπτώσεις πλεκτρομαγνήτη, όπου κατά την έλξη ενός κατάλληλα κατα-



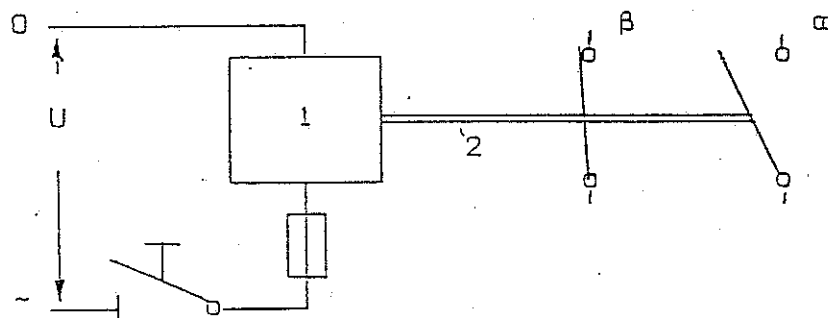
Σχήμα 5-1 : Ηλεκτρονόμος (ρελαΐ)

α, β, γ : παραδείγματα πρακτικής εφαρμογής του πλεκτρομαγνήτη στην κατασκευής μίας επαφής

ε : πλεκτρονόμος (1 : κινητό μέρος της επαφής, 2 : σταθερό μέρος της επαφής)

σκέυασμένου σιδηροπυρήνα μπορεί να κλείσει μία επαφή. Οταν η επαφή αυτή είναι μονωμένη ως προς πλεκτρομαγνήτη & τον σιδηροπυρήνα, τότε η κατασκευή είναι ένα είδος διακόπτη.

Η λειτουργία του πλεκτρονόμου γίνεται αυτόματα κατά την παροχή ή τη διακοπή της τάσης στο πνύο του πλεκτρομαγνήτη. Το θέμα



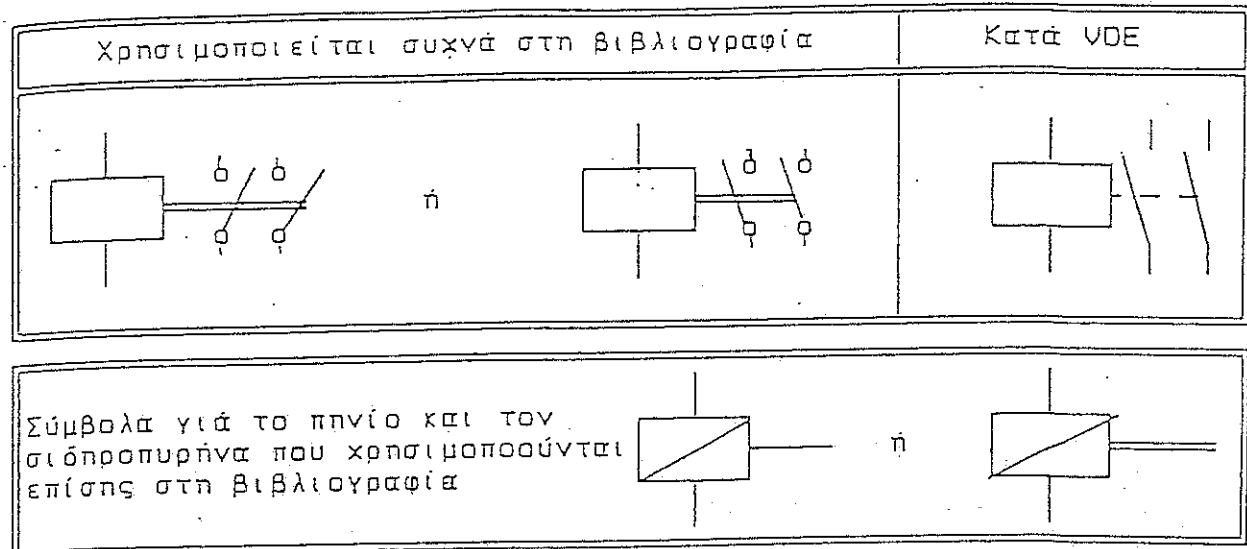
Σχήμα 5-2 : Επεξήγηση της λειτουργίας ενός πλεκτρονόμου μέσω ενός συμβόλου του

1 : πνύο με σιδηροπυρήνα

2 : σιδηροπυρήνας που έλκεται όταν το πνύο τεθεί υπό τάση

α : ανοικτή επαφή (χλείνει όταν το πνύο τεθεί υπό τάση)

β : κλειστή επαφή (ανοίγει όταν το πνύο τεθεί υπό τάση)



Σχήμα 5-3 : Σύμβολο πλεκτρονόμων

αυτό εξετάζεται στο σχήμα 5-2 , με ένα σύμβολο του πλεκτρονόμου επό τα διάφορα , που χρησιμοποιούνται (σχήμα 5-3) . Οταν κλείσει ο διακόπτης του κυκλώματος του σχήματος 5-2 , τότε φεύγεται ο πλεκτρομαγνήτης (οπλίζει ο πλεκτρονόμος *), με αποτέλεσμα να κλείσει η επαφή α και να αγορίση η επαφή β.

S.1. Λειτουργία του πλεκτρονόμου μέσω πλήκτρων ON-OFF

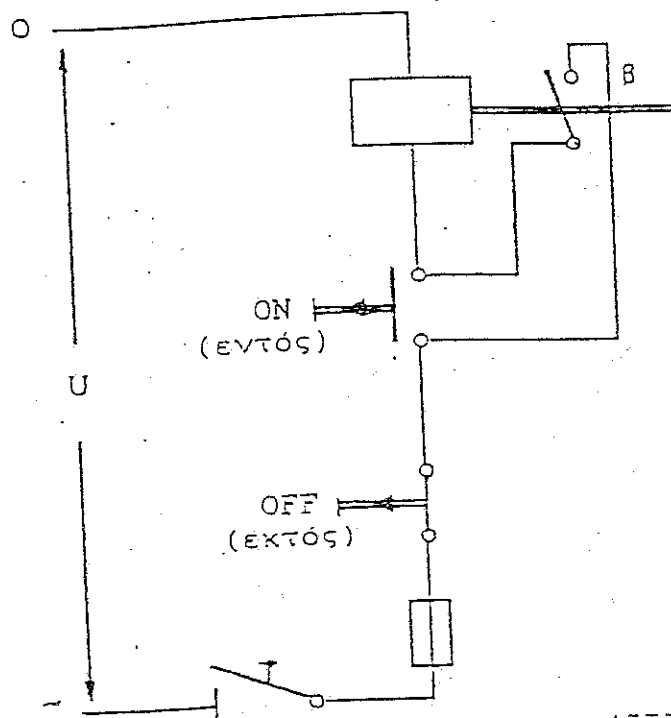
Η χρησιμοποίηση των πλεκτρονόμων είναι πολύ μεγάλη στην πράξη , τόσο λόγω του πλήθους των κλειστών & ανοικτών επαφών , που διαθέτουν γενικά , όσο και για τη δυνατότητα να χειρίζονται από σταση μέσω ειδικών πλήκτρων ON-OFF (πλήκτρο εντός & πλήκτρο εκτός ή μπουτόν εντός και μπουτόν εκτός) . Στο σχήμα 5.1-1 εξετάζεται η λειτουργία ενός πλεκτρονόμου μέσω των πλήκτρων ON και OFF . Παραδείγματα εφαρμογών των πλεκτρονόμων , ανάλογα με το πλήθος των κλειστών & ανοικτών επαφών τους , εξετάζονται σε επόμενα κεφάλαια .

Γιά την κατανόηση της λειτουργίας του κυκλώματος του πλεκτρονόμου κατά το σχήμα 5.1-1 (I) , ασ εξετάσουμε αρχικά τον τρόπο με τον οποίο επενεργούν το πλήκτρο ON και το πλήκτρο OFF στο κύκλωμα . Μία απλοποιημένη παράσταση της λειτουργίας των δύο αυτών πλήκτρων δίνεται στο σχήμα που προσαναφέρεται (II) , γιατί ένα χειριστήριο ON-OFF (μπούτονίερα ON-OFF) με μονωτικό (πλαστικό) κάλυμμα . Πιέζοντας το πλήκτρο ON κλείνει μία επαφή . Η επαφή αυτή διατηρείται κλειστή όσο χρόνο πιέζεται καινείς το πλήκτρο ON . Σε διαφορετική περίπτωση η δύναμη του ελαστηρίου διατηρεί την επαφή ανοικτή . Η διεπ αρχή λειτουργίας διέπει και το πλήκτρο OFF . με τη διαφορά ότι η επαφή στην οποία επενεργεί αγορίζει κατά την πίεση του πλήκτρου αυτού , ενώ παραμένει κλειστή . λόγω του ελαστηρίου , ότεν δεν πιέζεται κανείς το πλήκτρο .

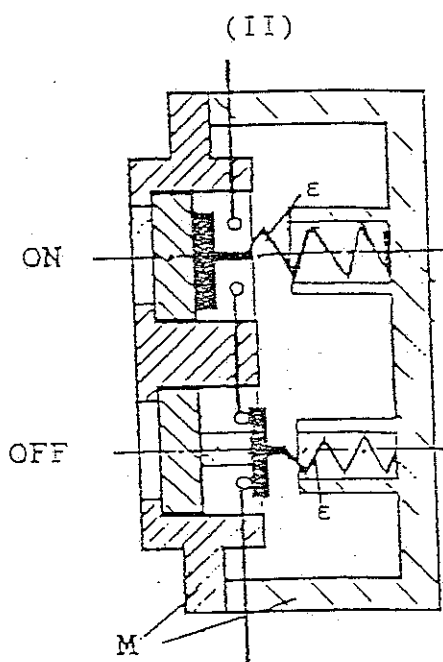
* χρησιμοιείται συχνά στην πράξη , λόγω του χαρακτηριστικού εορύθου που ακούγεται .

Για την λειτουργία του πλεκτρονόμου μέσω των πλήκτρων ON-OFF, χρειάζεται να χρησιμοποιήσει κανείς μία αγοικτή επαφή του πλεκτρονόμου. Η οποία ονομάζεται επαφή αυτοσυγκράτησης ή βοηθητική επαφή νόμου. Η οποία σχήμα 5.1-1, ΙΙ : επαφή Β). Πράγματι, πιέζοντας το πλήκτρο ON (σχήμα 5.1-1, ΙΙ : επαφή Β). Πράγματι, πιέζοντας το πλήκτρο ON (σχήμα 5.1-1, ΙΙ : επαφή Β). Οπότε η επαφή Β και οπλίζει ο πλεκτρονόμος και κλείνουν επομένως οι επαφές Β και Α, ενώ αγοιγει η επαφή Κ. Ωταν σταματήσει να πιέζει κανείς το πλήκτρο, η επαφή Β απομακρύνεται.

(I)



(二 二 二)



Σχήμα 5.1-1 : Λειτουργία ενός πλεκτρονόμου μέσω πλήκτρου ON-OFF

(I) : κύκλωμα

: εγκαλλασσόμενη τάση (220 V, 110 V, κ.λ.π. εγκαλλογια με την χρήση του πλεκτρονόμου)

B : ଏହାକୁ ଆପଣଙ୍କ

π : αγοικτή επαργή

ε : ελείσταρ १०८५

(II) : απλοποιημένη τομή για την επεξηγήση της λειτουργίας του πλήκτρου ON-OFF

M : μονωτικό ολικό

CN : πλήκτρο (μπουστόν) από μονωτικό. Ολικό κόκκινου χρώματος

OFF : πλήκτρο (μπουστόν) επό μονωτικό υλικό
πρόστιγμα χρύσετος

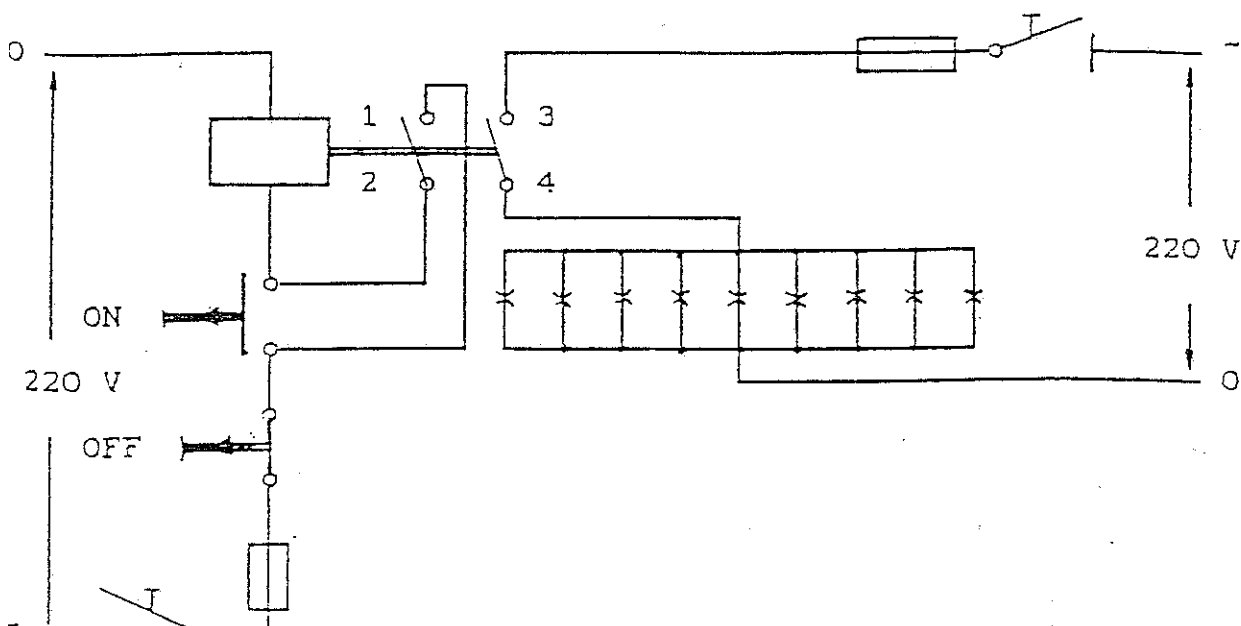
(III) : ΕΛΛΗΝΙΚΟΣ ΣΥΜΒΟΛΑΣ ΥΙΩ ΤΟ ΠΛΟΚΤΡΑ ΟΝ και OFF

κτρο ON ο πλεκτρονόμος παραμένει οπλισμένος, γιατί το κύκλωμα του πηγών του πλεκτρονόμου είναι κλειστό μέσω της επαφής αυτοσυγκράτησης β. Το κύκλωμα τίθεται πλέον εκτός λειτουργίας μόνο μέσω του πλήκτρου OFF. Πράγματι, πιέζοντας το πλήκτρο αυτό διακόπτεται η στάση στο πηγό του πλεκτρονόμου και επομένως ανοίγουν οι επαφές β και α, ενώ η επαφή κ κλείνει. Όταν σταματήσει να πιέζει κανείς το πλήκτρο OFF το κύκλωμα του πηγών δεν ρευματοδοτείται γιατί η επαφή αυτοσυγκράτησης είναι αγοικτή. Γιά να λειτουργήσει δηλαδή ξανά το κύκλωμα πρέπει να πιέσει κανείς πάλι το πλήκτρο ON.

5.2. Παραρεί γματά εφαρμογών πλεκτρονόμων σε κυκλώματα φωτισμού

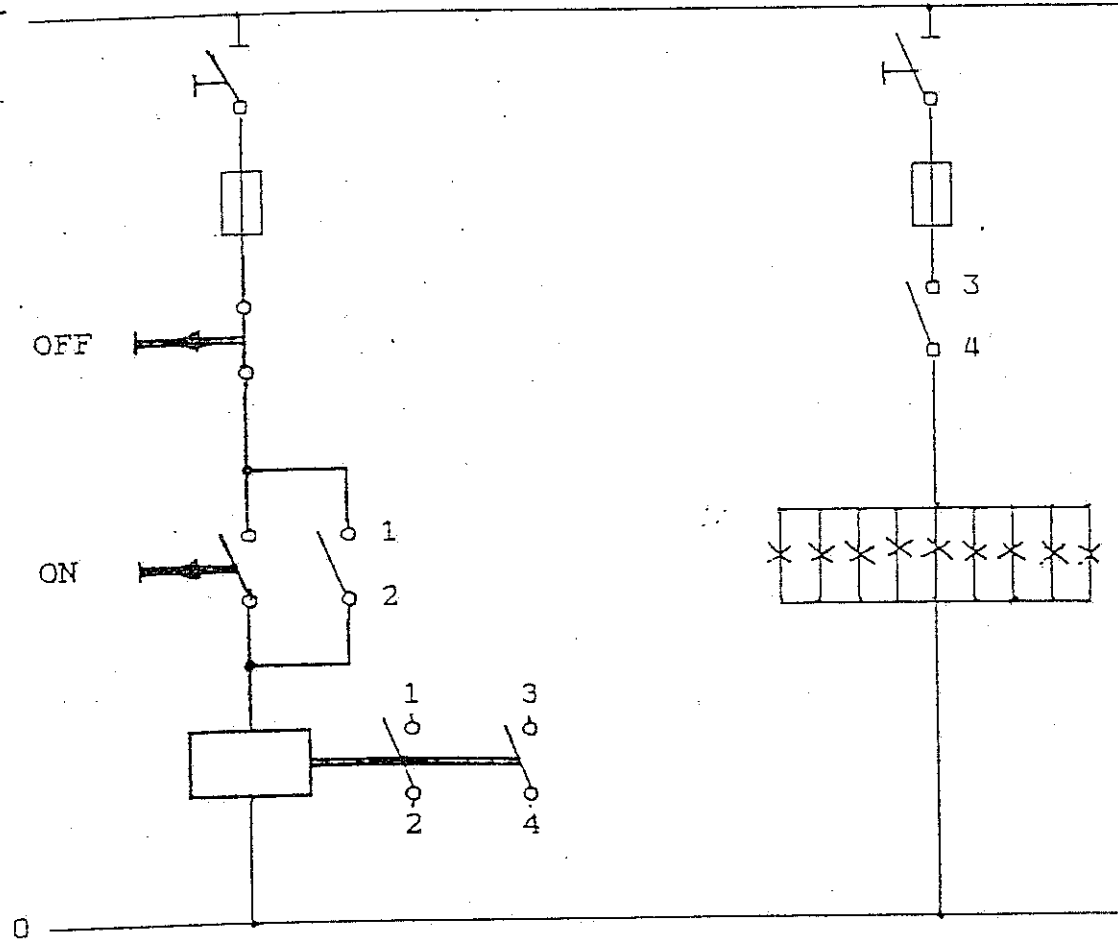
Οι κλειστές και ανοικτές επαφές που διαθέτουν γενικά οι πλεκτρονόμοι, η ποικιλία ως προς την τάση λειτουργίας του πηγών (220 V, 110 V, 42 V, 12 V, κ.λ.π.) και ο συνδυασμός τους με άλλα πλεκτρολογικά εξαρτήματα, έχουν οδηγήσει σε ένα σημαντικό αριθμό εξαρτημάτων και κυκλωμάτων, που χρησιμοποιούνται ευρύτατα στην πράξη. Δύο εφαρμογές των πλεκτρονόμων έχουν ήδη εξεταστεί. Πρόκειται για τον εφεδρικό φωτισμό κατά το σχήμα 1.2-1 και τους πλεκτρονόμους προστασίας (διακόπτης διαφυγής έντασης και διακόπτης διαφυγής τάσης: σχήματα 3.2-3 έως 3.2-5). Παρακάτω δίνονται δύο ακόμα παραδείγματα από τα οποία οποία φαίνεται η χρησιμότητα του πλεκτρονόμου, ως ένα είδος διακόπτη, που μπορεί να χειρίζεται από μία, ή περισσότερες θέσεις.

Στο σχήμα 5.2-1 δίνεται ένα κύκλωμα εννέα φωτιστικών σημείων, τα οποία χειρίζονται μέσω ενός πλεκτρονόμου, που συνδιάζεται με ένα πλήκτρο ON και ένα πλήκτρο OFF. Στο κύκλωμα αυτό το πηγό του πλεκτρονόμου έχει τάση λειτουργίας 220 V, όπως και τα φωτιστικά. Η φάση (~) και ο ουδέτερος (0) του κυκλώματος του πλεκτρονόμου εγγνωσίται ότι αντιστοιχούν με δια σημεία του κυκλώματος των φωτιστικών σημείων. Η επαφή 1.2 χρησιμεύει για την αυτοσυγκράτηση του



Σχήμα 5.2-1 : Κύκλωμα εννέα φωτιστικών σημείων, με πλεκτρονόμου και πλήκτρα ON-OFF

πλεκτρονόμου και η επαφή 3,4 αφορά το κύκλωμα των φωτιστικών.
 Η αδιαφορετική σχεδίαση του προπγούμενου κυκλώματος δίνεται στο
 σχήμα 5.2-2. Πρόκειται για το ανάπτυγμα σχέδιου (η σχέδιο διευ-
 θύνσεων του ρεύματος: παράγραφος 1.2), όπου οι επαφές του πλεκτρο-
 νόμου, ενώ δείχνονται με μία αρίθμηση στην φυσική τους θέση (δηλα-
 δή στον πλεκτρονόμο), τοποθετούνται επίσης στο σχέδιο σύμφωνα με
 την προτεραιότητά τους κατά τη διέλευση (διεύθυνση) του πλεκτρικού
 ρεύματος.



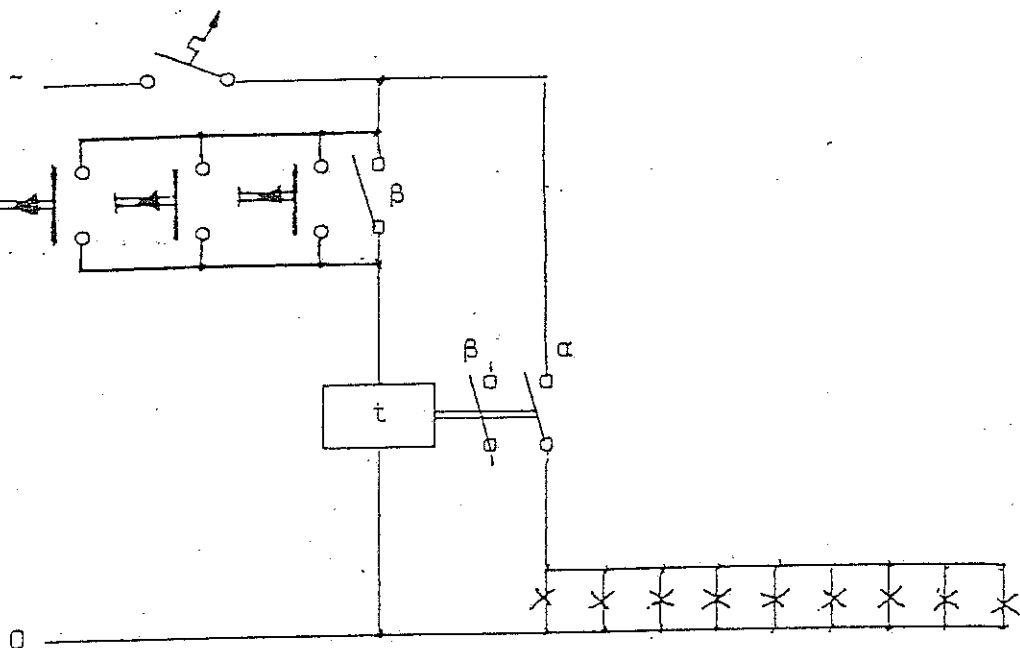
Σχήμα 5.2-2 : Ανάπτυγμα σχεδίου (η σχέδιο διευθύνσεων του ρεύμα-
 τος) του κυκλώματος φωτισμού κατά το σχήμα 5.2-1

1. 2 : επαφή αυτοσυγκράτησης του πλεκτρονόμου
 (παράλληλα συνδεδεμένη προς την επαφή του
 πλήκτρου ON)

3. 4 : επαφή του πλεκτρονόμου για το κύκλωμα
 φωτισμού

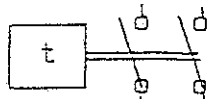
Μία ευρύτατη εφαρμογή των πλεκτρονόμων είναι ο συνδυασμός
 τους με μηχανισμό, ο οποίος βέτει υπό τάση το πονίο του πλεκτρονό-
 μου για κάποιο χρονικό διάστημα, που μπορεί να ρυθμιστεί από τον
 παραπάνω μηχανισμό. Τυπικό παράδειγμα είναι ο αυτόματος κλιμακο-
 στασας (ου). όπου το πονίο ενός πλεκτρονόμου ρευματοδοτεί την για ορι-
 σμένο χρόνο (μέσω κατάλληλου μηχανισμού), κατά τον οποίο είναι
 κλειστή η επαφή του πλεκτρονόμου και ανέβουν τα φωτιστικά του κλι-
 μακοστάσιου (σχήμα 5.2-3).

-63-



Σχήμα 5.2-3 : Αρχή λειτουργίας του κυκλώματος φωτισμού κλιμακοστασίου.

πλεκτρονόμος με καθυστέρηση χρόνου :



5.3. Κυκλώματα κλήσης και κυκλώματα προστασίας με πλεκτρονόμους

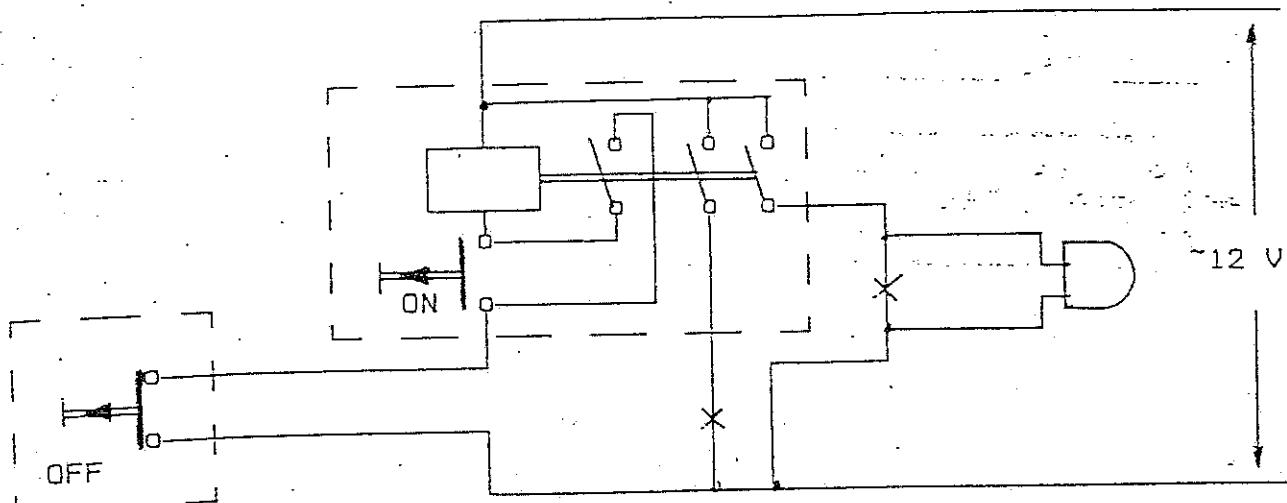
Εκτός από τα κυκλώματα φωτισμού οι πλεκτρονόμοι έχουν πολλές άλλες εφαρμογές (συνελκυστήρας, πίνακες εκκίνησης μηχανημάτων, κυκλώματα προστασίας, κυκλώματα κλήσης, κυκλώματα φωτεινών ενδείξεων για τη λειτουργία μηχανημάτων, κ.λ.π.). Παρακάτω εξετάζονται ορισμένα παραδείγματα, που δεν αφορούν κυκλώματα με κινητήρες (για τα κυκλώματα αυτά γίνεται αναφορά στο κεφάλαιο 6).

Στο σχήμα 5.3-1 δίνεται η αρχή λειτουργίας του κυκλώματος κλήσης της νοσοκόμας από έναν θάλαμο ασθενούς. Σύμφωνα με αυτό, στον χώρο του ασθενούς υπάρχουν δύο πλήκτρα: ένα πλήκτρο ON και ένα πλήκτρο OFF. Το πλήκτρο ON χειρίζεται από τον ασθενή και το πλήκτρο OFF από τη νοσοκόμα. Όταν πιέσει ο ασθενής το πλήκτρο ON, τότε τίθεται σε λειτουργία το κύκλωμα κλήσης (-ποχτικό και φωτεινό σήμα στο χώρο της νοσοκόμας, καθώς και φωτεινή ένδειξη στο διάδρομο, πάγω από την πόρτα εισόδου του θαλάμου). Η νοσοκόμα μπορεί να θέσει το κύκλωμα εκτός λειτουργίας μόνο από το πλήκτρο OFF, κατά την είσοδό της στον θάλαμο του ασθενούς. Στην πράξη, ο πλεκτρονόμος και το πλήκτρο ON είναι ένα ενιαίο εξάρτημα, που τοποθετείται σε χωνευτές εγκαταστάσεις όπως οι διεκόπτες φωτιστικών και οι ρευματοδότες.

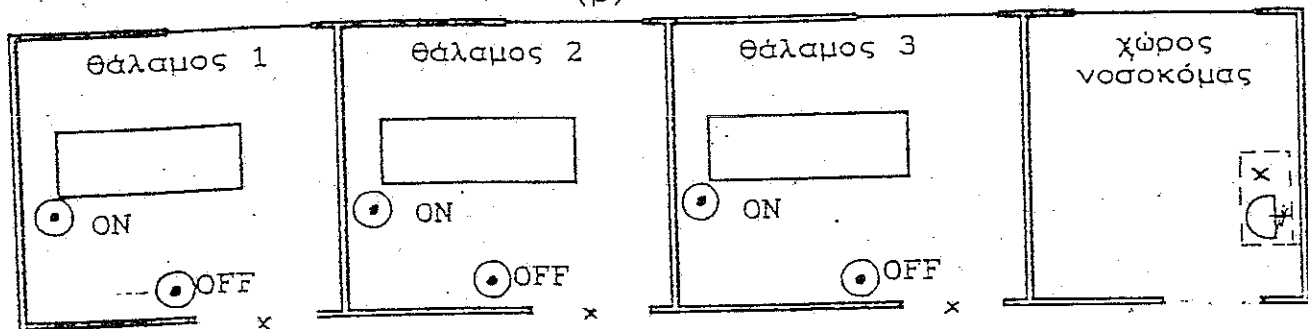
Εγια σχεδόν οι ευθύγενες του ρεύματος για τους έξι θαλάμους κατά το σχήμα 5.3-1 δίνεται στο σχήμα 5.3-2.

-64

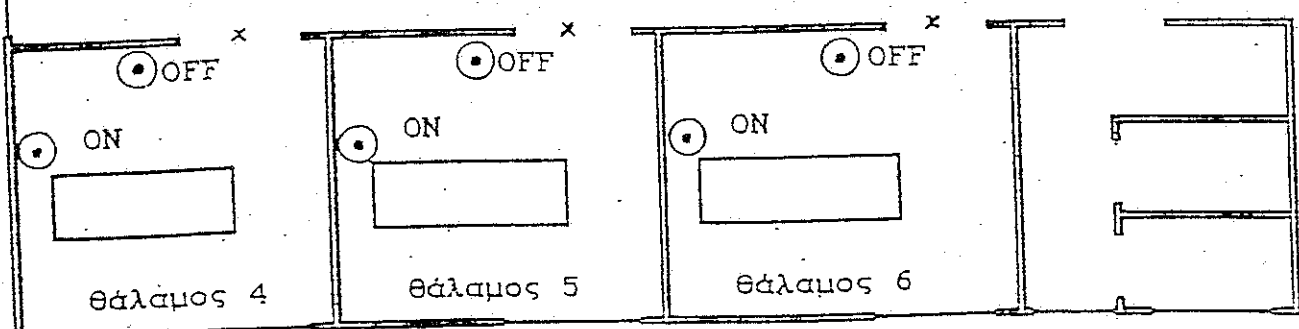
(α)



(β)

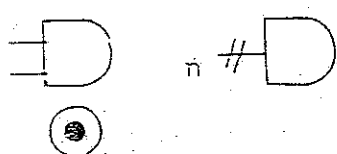


ΔΙΑΔΡΟΜΟΣ

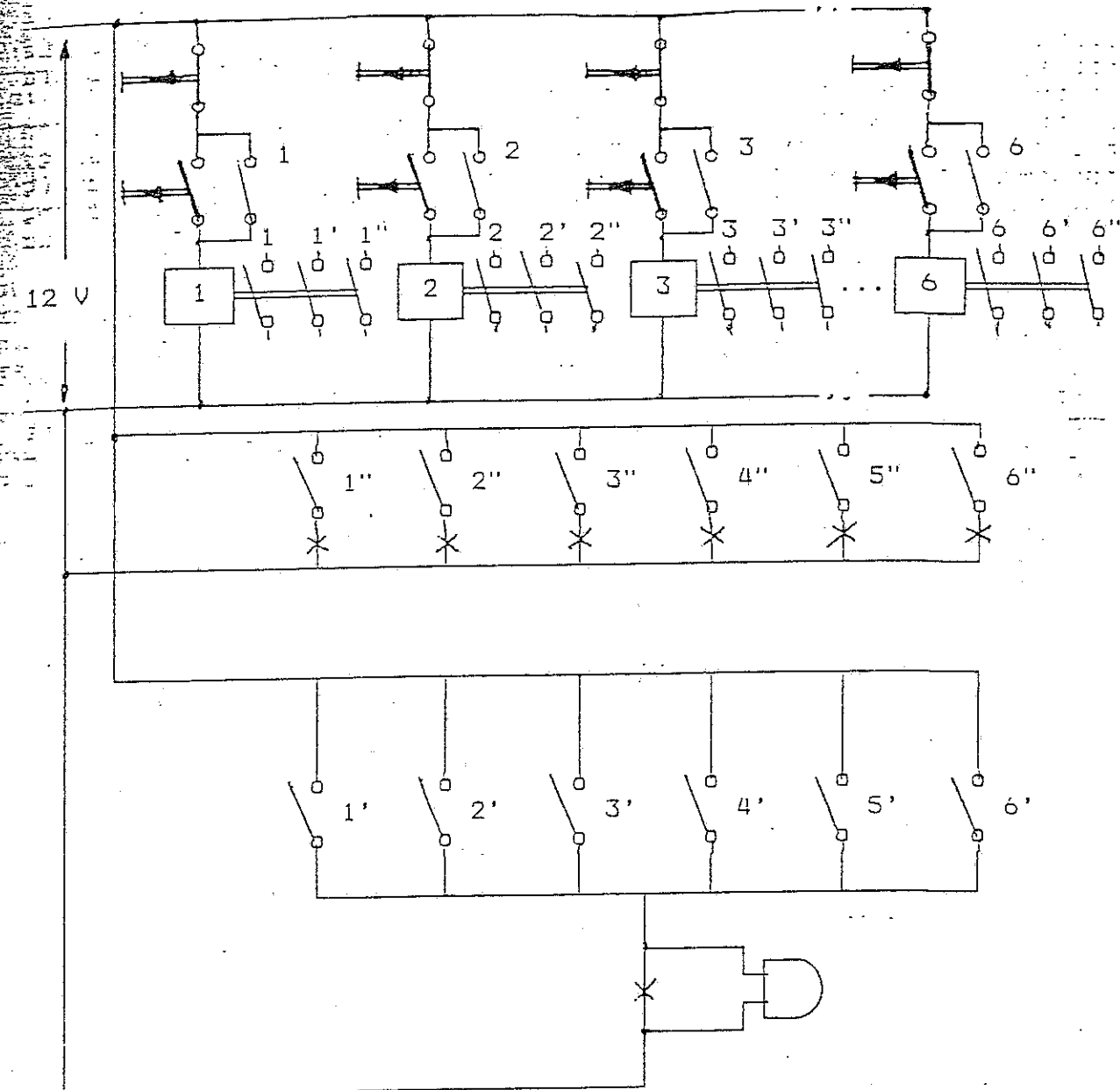


Σχήμα 5.3-1 : α. Αρχή λειτουργίας του κυκλώματος κλήσης της νοσοκόμας (το πλήκτρο ON χειρίζεται από τον ασθενή και το πλήκτρο OFF από τη νοσοκόμα)
β. Απλοποιημένη κάτωφ η ράγη των χώρων

ηλεκτρικό κουδούνι



σύμβολο πλήκτρου (μπουτόν) :

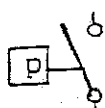


| Υπόληψη | | | | | | |
|------------------------------------|-----|-----|-----|-----|-----|-----|
| αριθμός βαλάμου | 1 | 2 | 3 | 4 | 5 | 6 |
| επαφή κλήσης | 1' | 2' | 3' | 4' | 5' | 6' |
| επαφή αυτοσυγκράτησης του πηνίου | 1 | 2 | 3 | 4 | 5 | 6 |
| φωτεινή ένδειξη πάγω από ήνω πόρτα | 1'' | 2'' | 3'' | 4'' | 5'' | 6'' |

Σχήμα 5.3-2: Ανάπτυγμα σχεδίου του κυκλώματος κλήσης της νοοτοκόμας για τους βαλάμους του σχήματος 5.3-1.

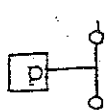
Το παράδειγμα του παρακάτω σχήματος είναι ενδεικτικό του συνδυασμού των πλεκτρονόμων με τους τερματοδιακόπτες και γενικά με επαφές, η κατάσταση λειτουργίας των οποίων εξαρτάται από κάποια μηχανική ή θερμική μεταβολή στο σύστημα των επαφών. Οι τερματοδιακόπτες είναι γενικά επαφές, οι οποίες κλείνουν ή ανοίγουν (ανάλογα με την περίπτωση) υπό την επίδραση μίας δύναμης, που εφαρμόζεται έμμεσα από τον χειριστή. Όταν π.χ. ανοίγει κανείς την πόρτα ένος πίνακα ή διευθύνσεων, τότε ένας τερματοδιακόπτης δεν πιέζεται πλέον, με αποτέλεσμα να κλείνει μέσω αυτού το κύκλωμα μίας λυχνίας πυρακτωμένου νήματος, που έχει ο πίνακας.

Οι τερματοδιακόπτες έχουν μία επαφή ON ή μία επαφή OFF ή και τις δύο περιπτώσεις επαφών (σχήμα 5.3-3, I). Ο τερματοδιακόπτης π.χ. στο παράδειγμα του σχήματος 5.3-3, II είναι μία ανοικτή επαφή, που κλείνει ή ανοίγει όταν η πόρτα του πεδίου δοκιμών υψηλών τάσεων είναι αντίστοιχα κλειστή ή ανοικτή. Ετσι, όταν κατά τη διάρκεια μίας δοκιμής ανοίξει κάποιος την πόρτα του πεδίου δοκιμών, τότε διακόπτεται από τον πλεκτρονόμο (επαφή 1,2) η υψηλή τάση (προστασία εργαζομένων). Μεταπλέον προστασία, που παρέχεται από το κύκλωμα, είναι η επιστροφή της δυνατότητας εισόδου στο πεδίο δοκιμών με δύο ενδεικτικές λυχνίες (π και κ).

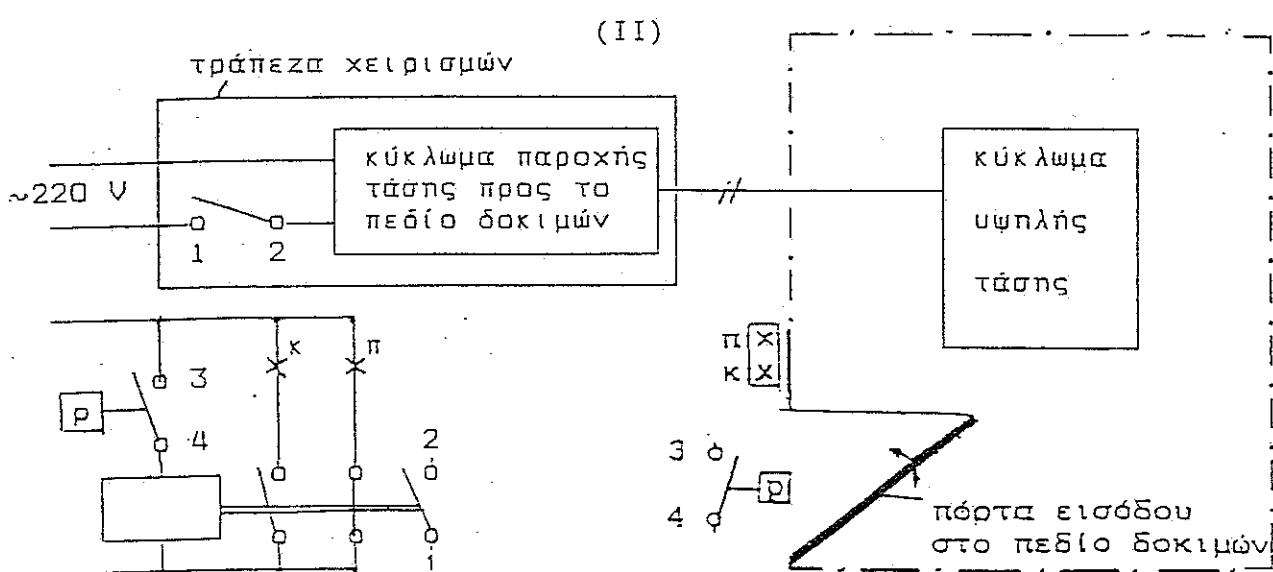


ανοικτή επαφή, που όταν πιέζεται κλείνει

(I)



κλειστή επαφή, που όταν πιέζεται ανοίγει



Σχήμα 5.3-3 : Παράδειγμα συνδυασμού του πλεκτρονόμου με τον τερματοδιακόπτη σε ένα κύκλωμα προστασίας.

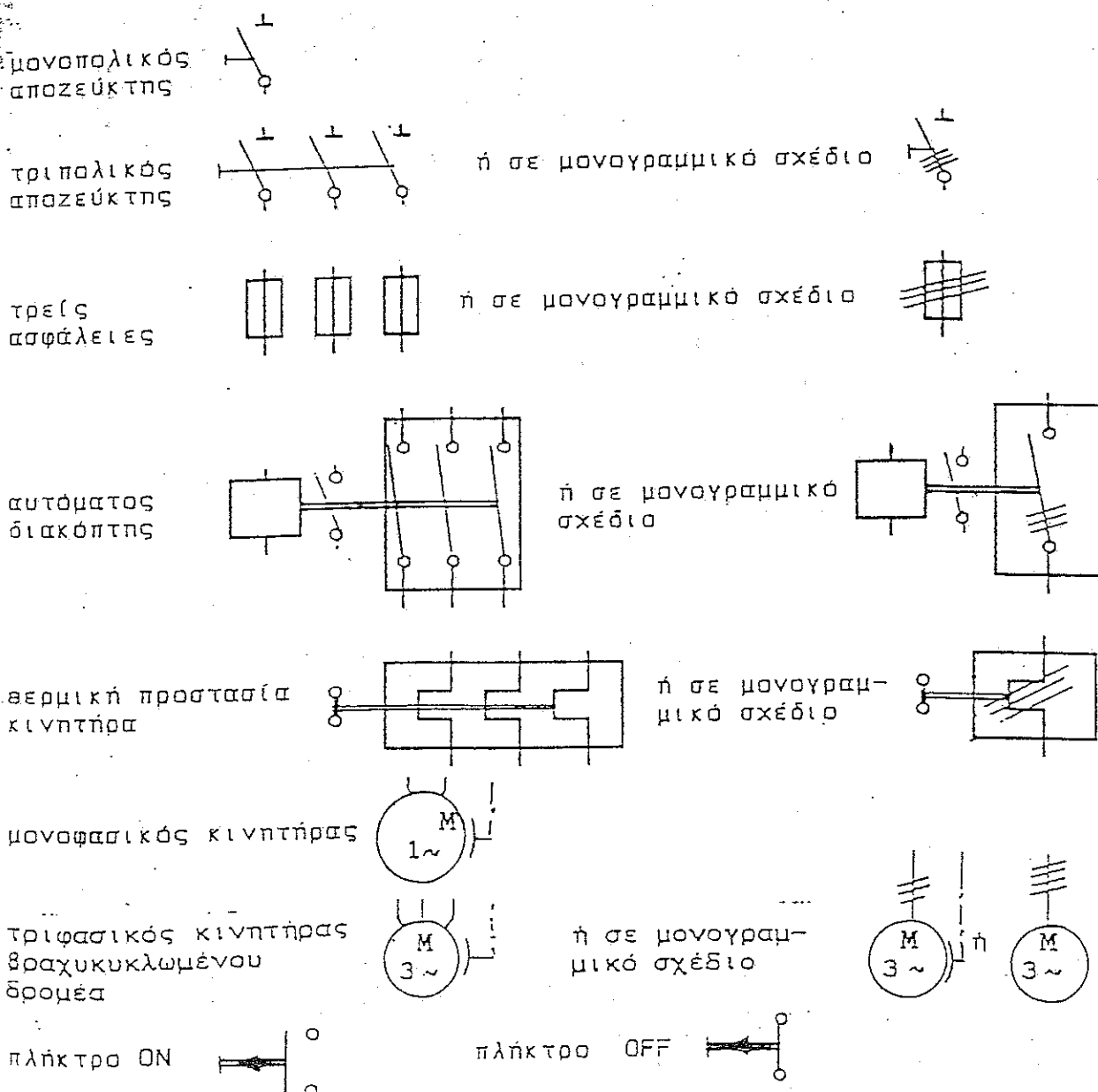
π : λυχνία πράσινου χρώματος (ένδειξη ότι επιτρέπεται η είσοδος στο πεδίο δοκιμών)

κ : λυχνία κόκκινου χρώματος (ένδειξη ότι δεν επιτρέπεται η είσοδος στο πεδίο δοκιμών)

6. Κυκλώματα κίνησης με αυτόματους διακόπτες
και διακόπτες "αστέρα-τριγώνου"

6.1. Βασικά σύμβολα σε κυκλώματα κίνησης με αυτόματους διακόπτες

Στο σχήμα 6.1-1 δίνονται ορισμένα βασικά σύμβολα του εξοπλισμού, που χρησιμοποιείται σε κυκλώματα κίνησης. Αν και αρκετά από αυτά είναι ήδη γνωστά από προηγούμενα κεφάλαια, θεωρήθηκε σκόπιμο (για λόγους ευκολότερης κατανόησης των περιεχομένων) να παρατεθούν συγκεντρωτικά.

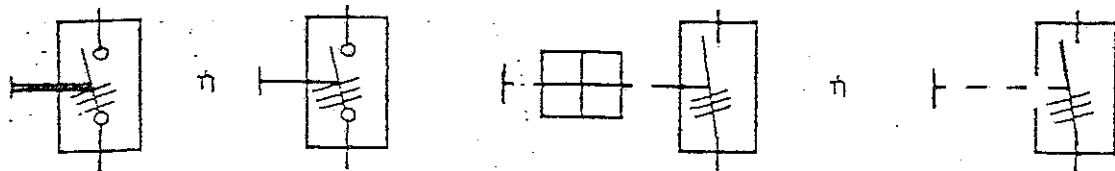


Σχήμα 6.1-1 : Βασικά σύμβολα εξοπλισμού σε κυκλώματα κίνησης με αυτόματους διακόπτες.

Το σύμβολο του αυτόματου διακόπτη κατά το παραπάνω σχήμα σημαίνει ότι ο χειρισμός του γίνεται αυτόματα μέσω πλήκτρων ON-OFF. Όταν ο χειρισμός του αυτόματου διακόπτη γίνεται μόνο χειροκίνητα τότε ισχύει ο συμβολισμός κατά το σχήμα 6.1-2.

συναντάται συχνά
στη βιβλιογραφία

κατά DIN 40713



Σχήμα 6.1-2 : Σύμβολα χειροκίνητων αυτομάτων διακοπτών.

Ορισμένα σύμβολα χειριστηρίων διακοπτών κατά DIN 40713 δίνονται στο παρακάτω σχήμα. Το σχέδιο επομένως κατά DIN του αυτόματου διακόπτη του σχήματος 6.1-1 είναι εκείνο του σχήματος 6.1-4.

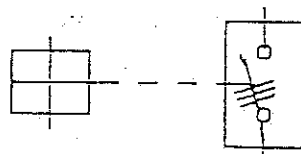
γενικό σύμβολο χειροκίνητου χειριστηρίου : | - -

γενικό σύμβολο μηχανικής μάνδάλωσης : | | | |

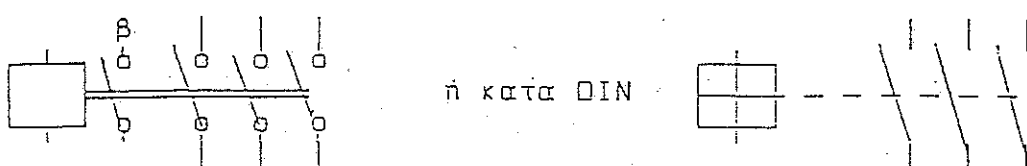
πλεκτρομηχανικό σύστημα (πλεκτρονόμος) : | | | |

Σχήμα 6.1-3 : Σύμβολα χειριστηρίων διακοπτών κατά DIN 40713.

Σχήμα 6.1-4 : Σχέδιο του αυτόματου διακόπτη του σχήματος 6.1-1 κατά DIN 40713.



Ενας άλλος συμβολισμός του αυτόματου διακόπτη δίνεται στο σχήμα 6.1-5. Το σύμβολο αυτό, που ουσιαστικά είναι εκείνο του πλεκτρονόμου, χρησιμοποιείται για διακόπτες, οι επαφές των οποίων βρίσκονται σε περιβάλλον ατμοσφαιρικού αέρα (αυτόματοι αέρος). Τα σύμβολα των αυτομάτων διακοπτών στά σχήματα 6.1-1, 6.1-2 και 6.1-4 χρησιμοποιούνται για αυτόματους διακόπτες, που οι επαφές τους είναι σε περιβάλλον μονωτικού ελαίου (γνωστοί στην πράξη ως ελαιοδιακόπτες ή αυτόματοι ελαίου).



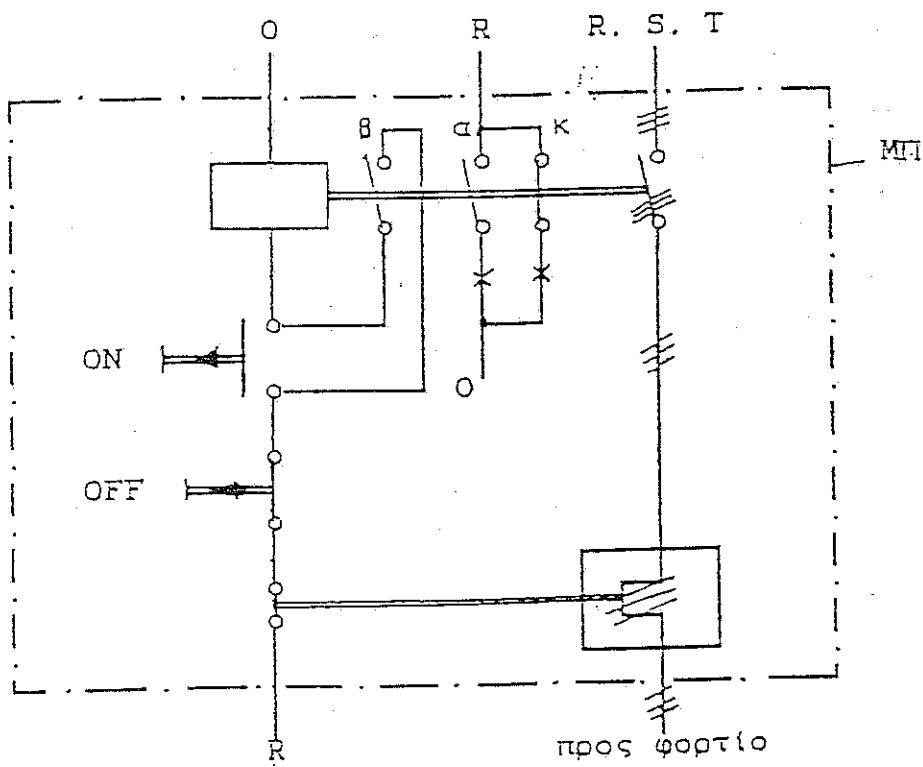
Σχήμα 6.1-5 : Αυτόματος διακόπτης αέρος, που χειρίζεται με πλήκτρα ON-OFF.

6.2. Παραδείγματα κυκλωμάτων κινητήρων με αυτόματους διακόπτες

Στο σχήμα 6.2-1 έχει σχεδιαστεί το κύκλωμα λειτουργίας ενός αυτόματου διακόπτη. Η αρχή λειτουργίας του είναι η ίδια με εκείνη του πλεκτρονόμου. - Ο συγκεκριμένος διακόπτης περιλαμβάνει ουσιαστικά τρία κυκλώματα :

το κύκλωμα του πηνίου, το οποίο περιλαμβάνει τη πλήκτρα χειρίσματος και τη βοηθητική επαφή, και στο οποίο επενεργεί η θερμική προστασία του κινητήρα,
το κύκλωμα των ενδεικτικών λυχνιών, για την κατάσταση λειτουργίας του διακόπτη, και
το κύκλωμα του φορτίου ανάλογα με το ονομαστικό ρεύμα των επαφών

Οι αυτόματοι διακόπτες έχουν εφαρμογή τόσο στα κυκλώματα κίνησης όσο και στα κυκλώματα φωτισμού (π.χ. σε γενικούς πίνακες και υποπίνακες κτιρίων μεγάλων νοσοκομείων ή ξενοδοχείων , κ.λ.π.) . Γιά τις εφαρμογές των αυτομάτων διακοπτών σε κυκλώματα κίνησης ισχύουν γενικά τα αναφερόμενα στην παράγραφο 2.1 , περί του συνδυασμού των διαφόρων ειδών διακοπτών και των ασφαλειών.



Σχήμα 6.2-1 : Κύκλωμα ενός αυτόματου διακόπτη με πλήκτρα ON-OFF και ενδεικτικές λυχνίες των δύο θέσεων λειτουργίας του.

Θ : επαφή αυτοσυγκράτησης (βοηθητική επαφή).

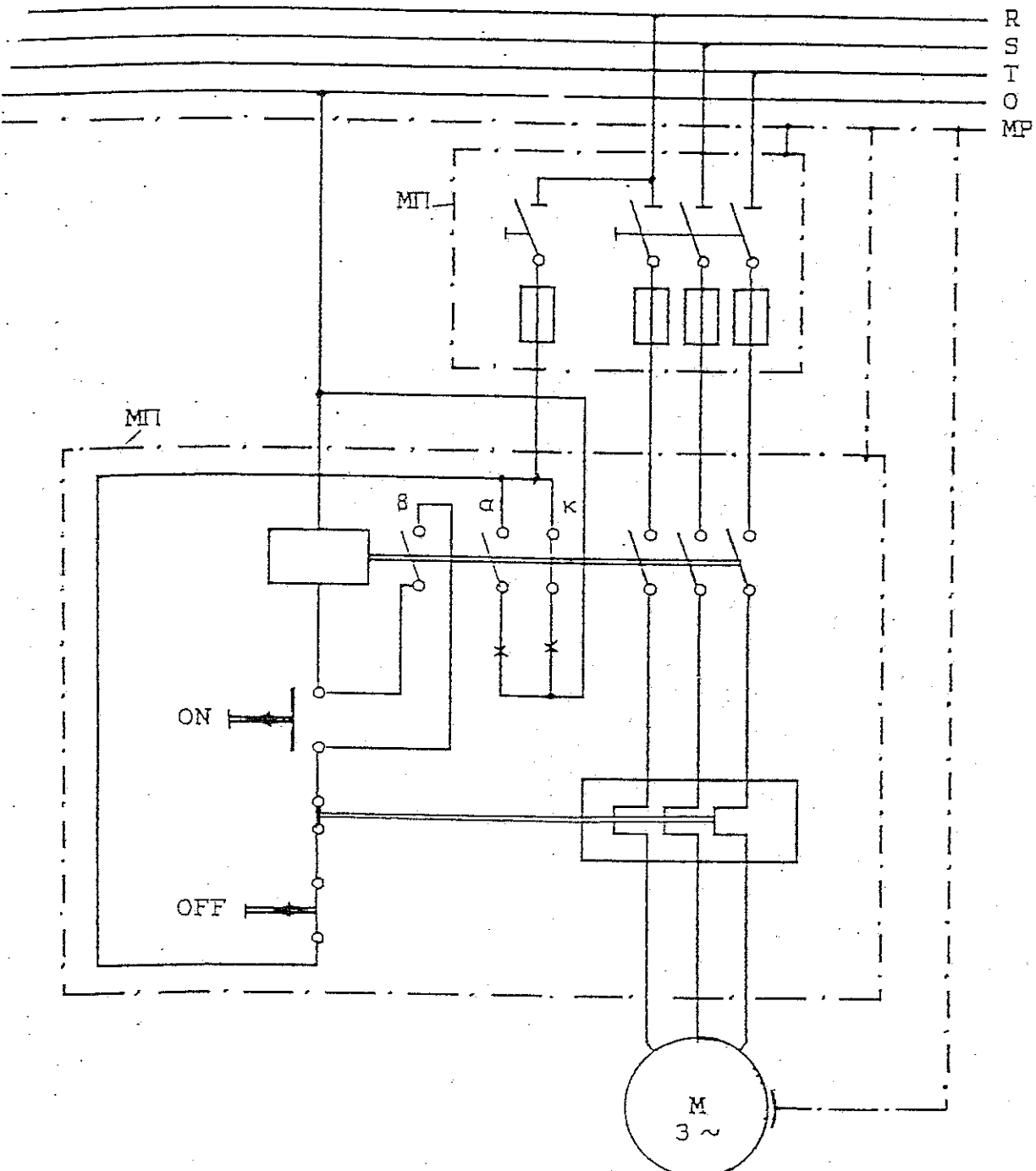
Α : ανοικτή επαφή και Κ : κλειστή επαφή.

Χ : ενδεικτικές λυχνίες (εάσπι ON κόκκινο χρώμα και εάσπι OFF πράσινο χρώμα).

Ρ. Σ. Τ : οι τρεις φάσεις και Ο : ουδέτερος.

ΜΠ : μεταλλικό περιβλημα του διακόπτη (γειώνεται).

Στο σχήμα 6.2-2 δίνεται ένα παράδειγμα χρησιμοποίησης του αυτόματου διακόπτη του προηγούμενου σχήματος, ως μέσου κινητήρα.



Σχήμα 6.2-2 : Κύκλωμα ενός κινητήρα που λειτουργεί μέσω του αυτόματου διακόπτη του σχήματος 6.2-1

β : επαφή αυτοσυγκράτησης (θεορητική επαφή.)

α : ανοικτή επαφή. κ : κλειστή επαφή.

χ : ενδεικτικές λυχνίες (εάστη ON : κόκκινο χρώμα και εάστη OFF : πράσινο χρώμα).

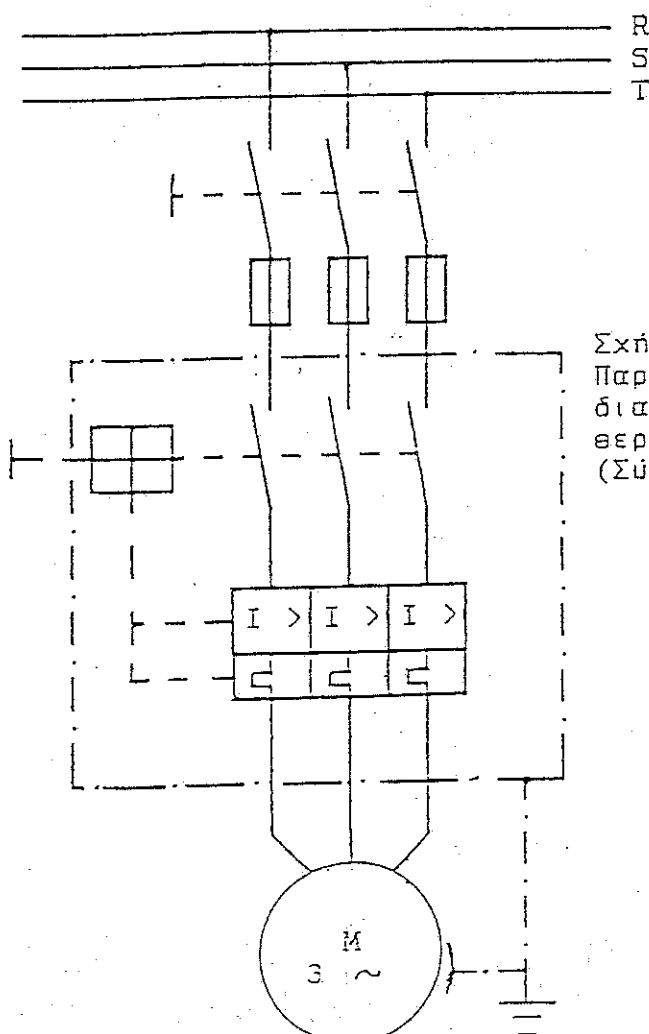
R, S, T : οι τρείς φάσεις και Ο : ο ουδέτερος.

ΜΠ : γείωση και μεταλλικό περίβλημα.

Οπως φαίνεται στο σχήμα αυτό, του αυτόματου διακόπτη προηγούνται οι ασφάλειες και των ασφαλειών ο αποζεύκτης (βλέπετε παρ. 2.1.). Επειδή οι ασφάλειες προστατεύουν (λόγω της χονδρικής διαβάσματος τους) μόνο τις γραμμές, η προστασία του κινητήρα από υπερφορτίσεις επιτυγχάνεται μέσω των θερμικών, τα οποία ρυθμίζονται στο ονομαστικό ρεύμα του κινητήρα.

Το θερμικό είναι ουσιαστικά τρεις θερμικές επαφές (μία επαφή για κάθε φάση), π λειτουργία των οποίων βασίζεται στην αύξηση του μήκους ενός ελάσματος, ή την κάμψη ενός διμέταλλικου ελάσματος ή το λιώσιμο ενός σπυρέου συγκόλλησης. Το θερμικό επενεργεί μετά από κάποιο μικρό χρόνο, έτσι ώστε, ενώ δεν διακόπτεται η λειτουργία του κινητήρα κατά την εκκίνηση (η τιμή του ρεύματος κατά την εκκίνηση είναι μεγαλύτερη από την ονομαστική : βλέπετε παράγραφο 8), προστατεύει τον κινητήρα από μία υπερφόρτιση, που διαρκεί.

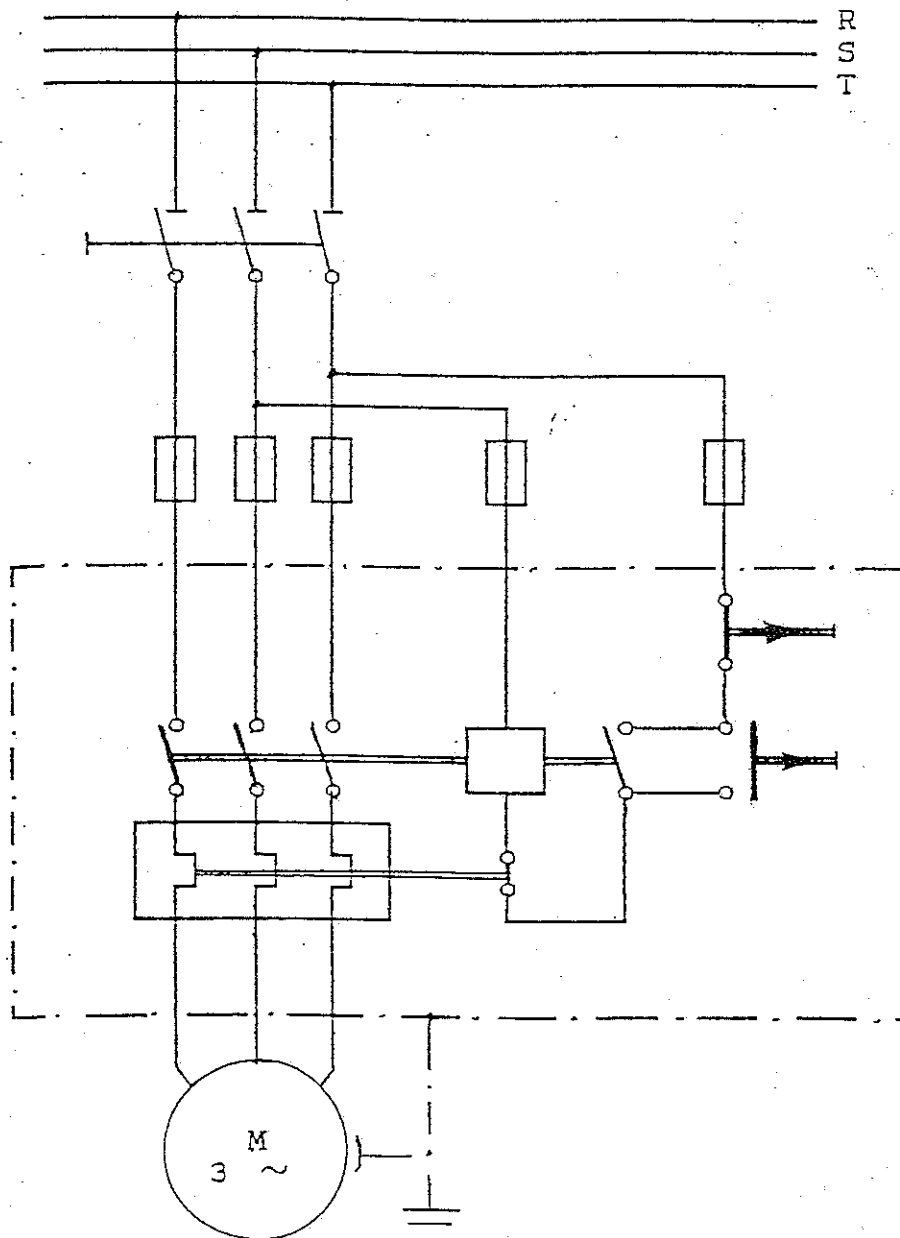
Η προστασία του κινητήρα από βραχυκύλωμα δεν επιτυγχάνεται με το θερμικό, αλλά με πλεκτρομαγνήτες, οι οποίοι διεγείρονται από το ρεύμα βραχυκύλωσης, σε μία τιμή μικρότερη από αυτό, στην οποία έχουν ρυθμιστεί. Πρόκειται για έναν πλεκτρονόμο υπερέντασης, που διακόπτει τη λειτουργία του διακόπτη σε μονοφασικό, ή διφασικό, ή τριφασικό βραχυκύλωμα. Ο πλεκτρονόμος του είδους αυτού ονομάζεται στην πράξη μαγνητική προστασία (ή μαγνητική του αυτόματου διακόπτη). Στο σχήμα 6.2-3 δίνεται ένα παράδειγμα αυτόματου διακόπτη με θερμική και μαγνητική προστασία του κινητήρα.



Σχήμα 6.2-3 :
Παράδειγμα αυτόματου χειροκίνητου διακόπτη με μαγνητική (I >) και θερμική προστασία (G).
(Σύμβολα κατά DIN 40713)

Στα σχήματα 6.2-4 και 6.2-5 δίνονται δύο ακόμα παραδείγματα κυκλωμάτων κινητήρων, όπου οι κινητήρες χειρίζονται με αυτόματους διακόπτες. Η λειτουργία των κυκλωμάτων αυτών συμπεραίνεται εύκολα από τα προσαναφερόμενα για τους αυτόματους διακόπτες.

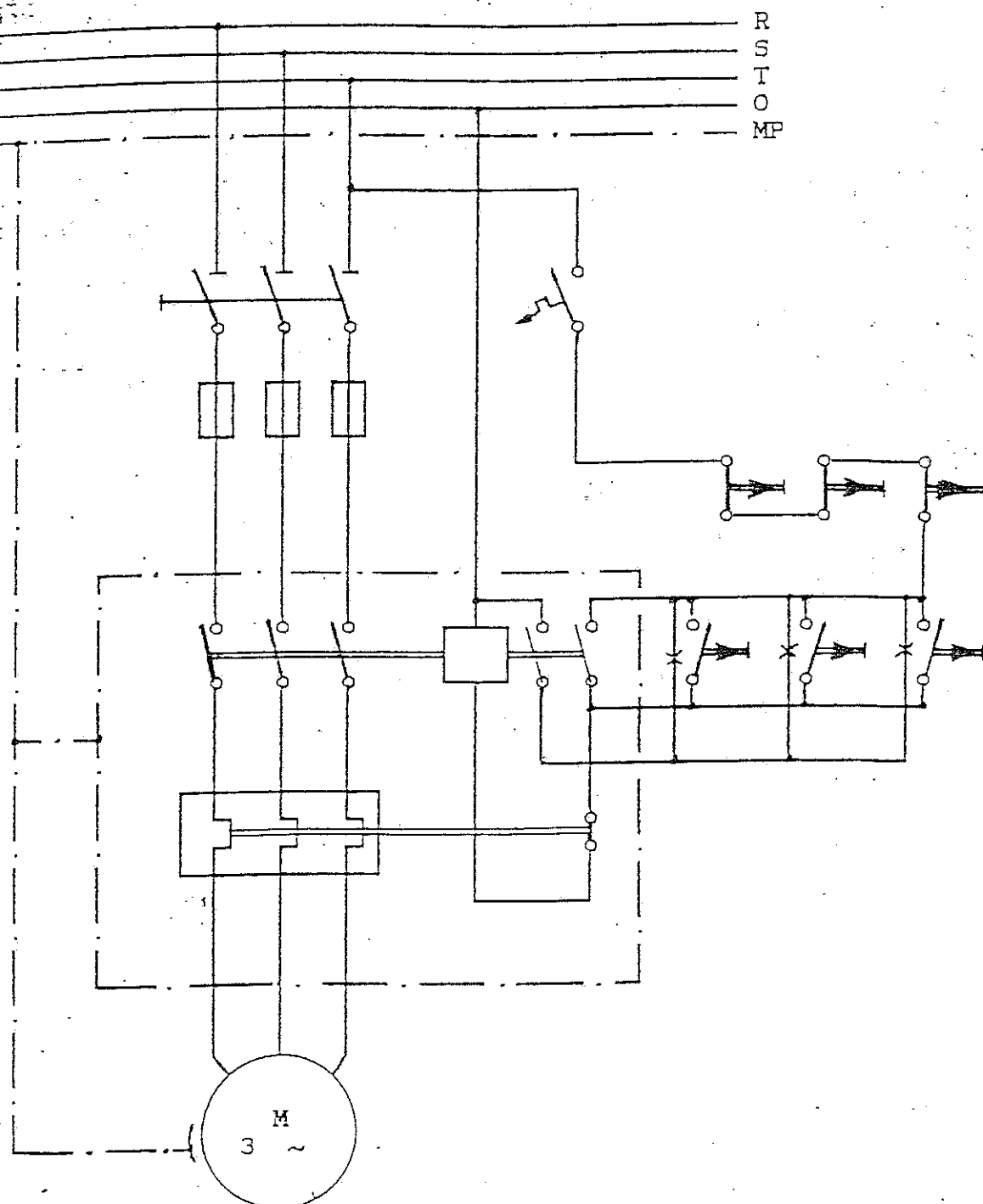
Παρατηρεί κανείς, ότι στο κύκλωμα του σχήματος 6.2-4 το πηνίο του αυτόματου διακόπτη λειτουργεί με τάση 380 V. Γιάτί το λόγο αυτό η παροχή τάσης προς το πηνίο γίνεται μέσω δύο ασφαλειών. Η γείωση του κινητήρα κατά το κύκλωμα αυτό (καθώς και εκείνη κατά το σχήμα 6.2-3) έχει γίνει με ξεχωριστό πλεκτρόδιο. Μετάλλητη είδαι τερόπτητη του κυκλωμάτος, λόγω της τάσης λειτουργίας του πηνίου, είναι ότι ο τριπολικός αποζεύκτης χρησιμεύει ταυτόχρονα ως μέσο απομάνωσης για τη γραμμή του κινητήρα και γιά τη γραμμή του πηνίου.



Σχήμα 6.2-4 : Κύκλωμα ενός κινητήρα, που χειρίζεται με εναν αυτόματο διακόπτη, το πηνίο του οποίου λειτουργεί με 380 V.

-73-

Στο σχήμα 6.2-5 ο χειρισμός του κινητήρα γίνεται από τρείς διαφορετικές βέσεις. Ο αυτόματος διακόπτης έχει εκτός από τη βοηθητική επαφή, που είναι απαραίτητη γιά την αυτοσυγκράτηση του πηγού, και μία άλλη φυσική επαφή, η οποία χρησιμεύει γιά την ρευματοδότηση του κυκλώματος των ενδεικτικών λυχνιών λειτουργίας του κινητήρα.



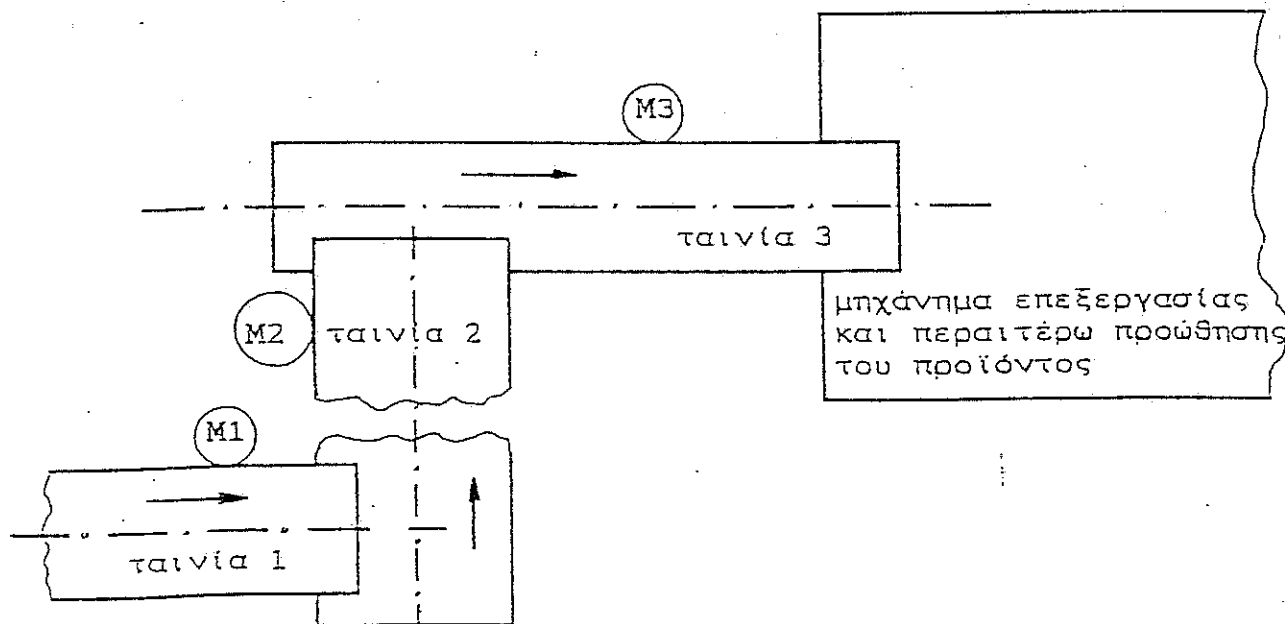
Σχήμα 6.2-5 : Κύκλωμα κινητήρα, που χειρίζεται από τρείς διαφορετικές βέσεις.

: ενδεικτική λυχνία λειτουργίας του κινητήρα σε κάθε θέση χειρισμού

6.3. Αλυσ(δες εκκίνησης κινητήρων (κυκλώματα αυτόματισμού)

Υποθέτουμε ότι η μεταφορά κάποιου προϊόντος, προς το μηχάνημα επεξεργασίας και περαιτέρω προώθησή του στην παραγωγική διαδικασία, γίνεται μέσω του ταϊνιόδρομου του σχήματος 6.3-1. Ο ταϊνιόδρομος αποτελείται από τρείς ταινίες. Κάθε ταινία έχει δικό της κινητήρα (M1, M2 και M3 αντίστοιχα), που λειτουργεί με αυτόματο διακόπτη.

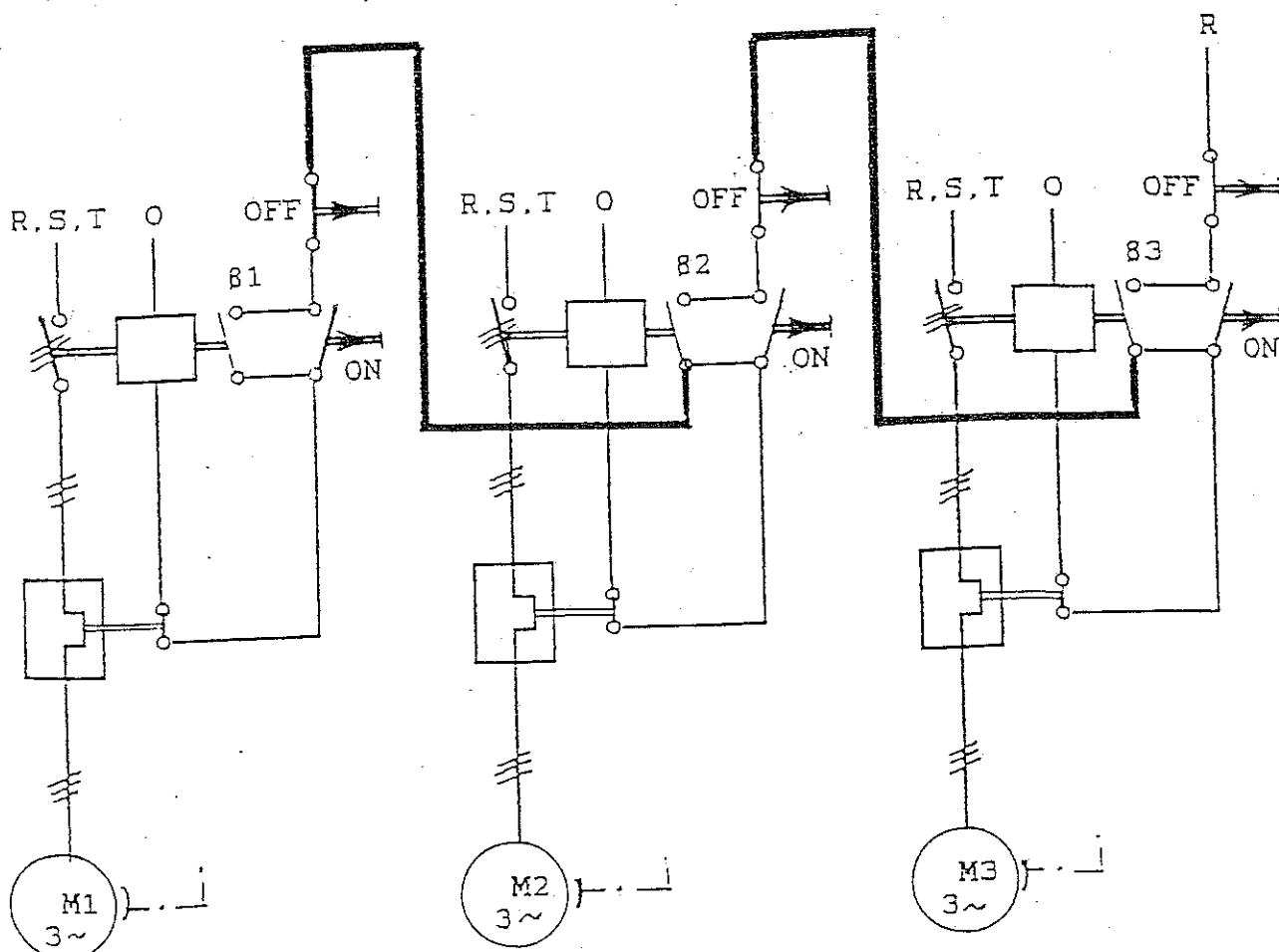
Με τα κυκλώματα, που έχουν πόδη δοθεί στην προηγούμενη παράγραφο, υπάρχει η απαιτούμενη πληροφόρηση, γιά να σχεδιάσει κανείς το κύκλωμα εκκίνησης κάθε κινητήρα. Ωμως, δεν λεμβάνεται υπ' όψη με τα κυκλώματα αυτά η σειρά εκκίνησης των κινητήρων, η οποία φαίνεται εξετάσουμε ενδιαφέρει ιδιαίτερα. Πράγματι, η εκκίνηση π.χ. του κινητήρα M1, χωρίς να έχει προηγηθεί η εκκίνηση των δύο άλλων κινητήρων, θα έχει ως αποτέλεσμα την συσσώρευση του προϊόντος, στην αρχή της ταινίας 2. Το ίδιο θα συμβεί όταν εργάζονται όλοι οι κινητήρες και ο κινητήρας M2 τεθεί εκτός λειτουργίας, από τον χειριστή ή την θερμική προστασία του. Από την εξέταση της σειράς εκκίνησης των τριών κινητήρων (σύμφωνα με το παραπάνω σκεπτικό), καταλήγει κανείς στο συμπέρασμα ότι θα πρέπει αυτή να ελέγχεται αυτόματα. Έτσι ώστε να προηγείται η εκκίνηση του κινητήρα M3 εκείνης των M2 και M1, καθώς και η εκκίνηση του M2 εκείνης του M1. Επίσης, όταν σταματήσει να λειτουργεί (γιά κάποιο λόγο) ο M3 πρέπει να σταματούν αυτόματα οι M2 και M1. Τέλος, η στάση μόνο του M2 (από κάποια αιτία) πρέπει να έχει ως αποτέλεσμα την διεκόπη της λειτουργίας του M1.



Σχήμα 6.3-1 : Απλοποιημένο σχέδιο της κάτοψης του ταϊνιόδρομου μίας παραγωγικής διαδικασίας.

- : διεύθευση παραγωγής
- M1 : κινητήρας της ταινίας 1
- M2 : κινητήρας της ταινίας 2
- M3 : κινητήρας της ταινίας 3

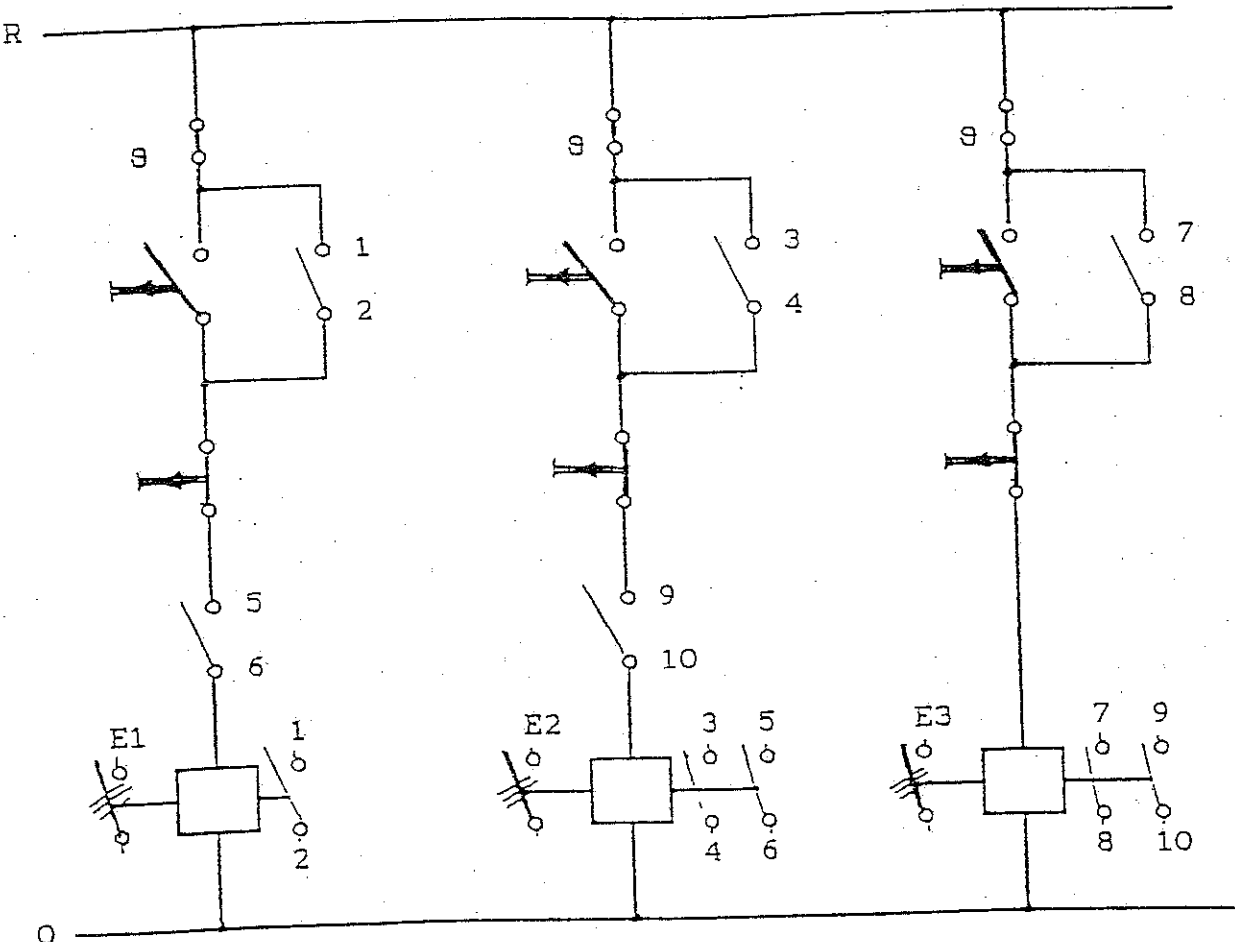
Συνοψίζοντας τα παραπάνω καταλήγει κανείς στο συμπέρασμα ότι η διεύθυνση του αυτοματισμού για την "ΕΚΚΙΝΗΣΗ-ΣΤΑΣΗ" των κινητήρων πρέπει να έχει αυτίθετη φορά. από τη διεύθυνση παραγωγής του προϊόντος. Το βέμα αυτό μπορεί να επιλυθεί με μία αλυσίδα εκκίνησης (ή αυτοματισμό εκκίνησης, όπως λέγεται συνήθεως στην πράξη). Στο σχήμα 6.3-2 δίνεται η αρχή λειτουργίας της αλυσίδας εκκίνησης, με βέβαιο ότι παράδειγμα του προγράμματος. Το κύκλωμα έχει σχεδιαστεί σκόπιμα απλοποιημένο (δεν έχουν σχεδιαστεί οι αποζεύκτες, οι μεταλλικά περιβλήματα των αυτομάτων διακοπών), μεφάλειες και τα μεταλλικά περιβλήματα των αυτομάτων διαποτών, να προέχει σχεδιαστικά η καλωδίωση μεταξύ των αυτομάτων διαποτών, μέσω της οποίας επιτυχάνεται η αλυσίδα εκκίνησης. Ωπως φαίνεται στο σχήμα αυτό, πρέπει πρώτα να ξεκινήσει ο Μ3, ώστε μέσω της κλειστής πλέον βοηθητικής επαφής (β3), να τεθεί υπό τάση το κύκλωμα χειρισμού του αυτόματου διακόπτη του κινητήρα Μ2. Ετσι πιέζοντας το πλήκτρο ON του αυτόματου αυτού διακόπτη τίθεται σε λειτουργία ο κινητήρας Μ2, ενώ ταυτόχρονα παίρνει τάση το κύκλωμα χειρισμού του αυτόματου διακόπτη του κινητήρα Μ1. Ο κινητήρας Μ1 μπορεί πλέον να τεθεί σε λειτουργία μέσω του πλήκτρου ON του αυτόματου διακόπτη του.



Σχήμα 6.3-2 : Αρχή λειτουργίας της αλυσίδας εκκίνησης των κινητήρων Μ1, Μ2 και Μ3 (των τριών ταίνιών του παραδείγματος του σχήματος ό.3-1), μέσω των βοηθητικών επαφών των αυτόματων διακοπών τους (β1 , β2 και β3).

Από το παραπάνω κύκλωμα διεπιφαίνεται επίσης ότι το σταμάτημα ενός κινητήρα (για κάποιο λόγο) θα έχει ως αποτέλεσμα την αυτόματη διακοπή της λειτουργίας κινητήρων, που προηγούνται στην παραγωγική διαδικασία.

Σε περίπτωση, που οι αυτόματοι διακόπτες των κινητήρων M3 και M2 είχαν μία ακόμα ανοικτή επαφή, εκτός από την επαφή αυτόσυγκράτησης, τότε το κύκλωμα της αλυσίδας εκκίνησης θα μπορούσε να γίνει μέσω της επαφής αυτής. Αυτό δείχνεται στο παρόντειγμα του παρακάτω σχήματος, σε ένα αναπτυγμα σχεδίου, που αφορά μόνο το κύκλωμα χειρισμού των αυτομάτων διακοπών.



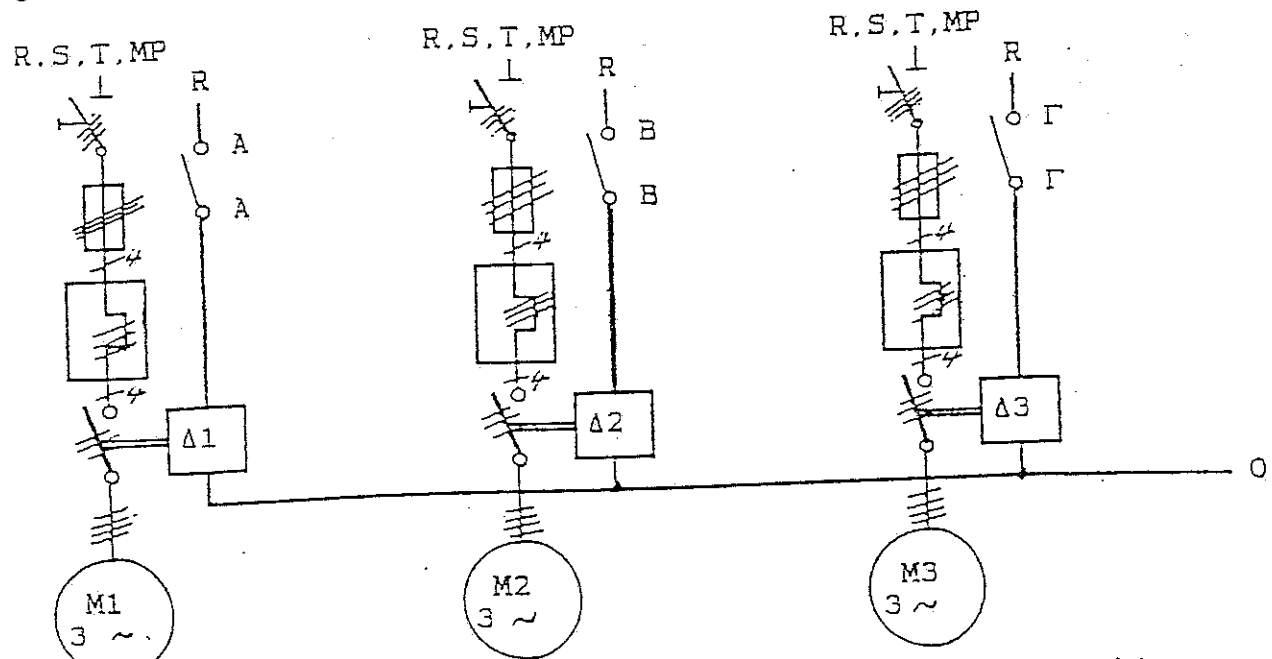
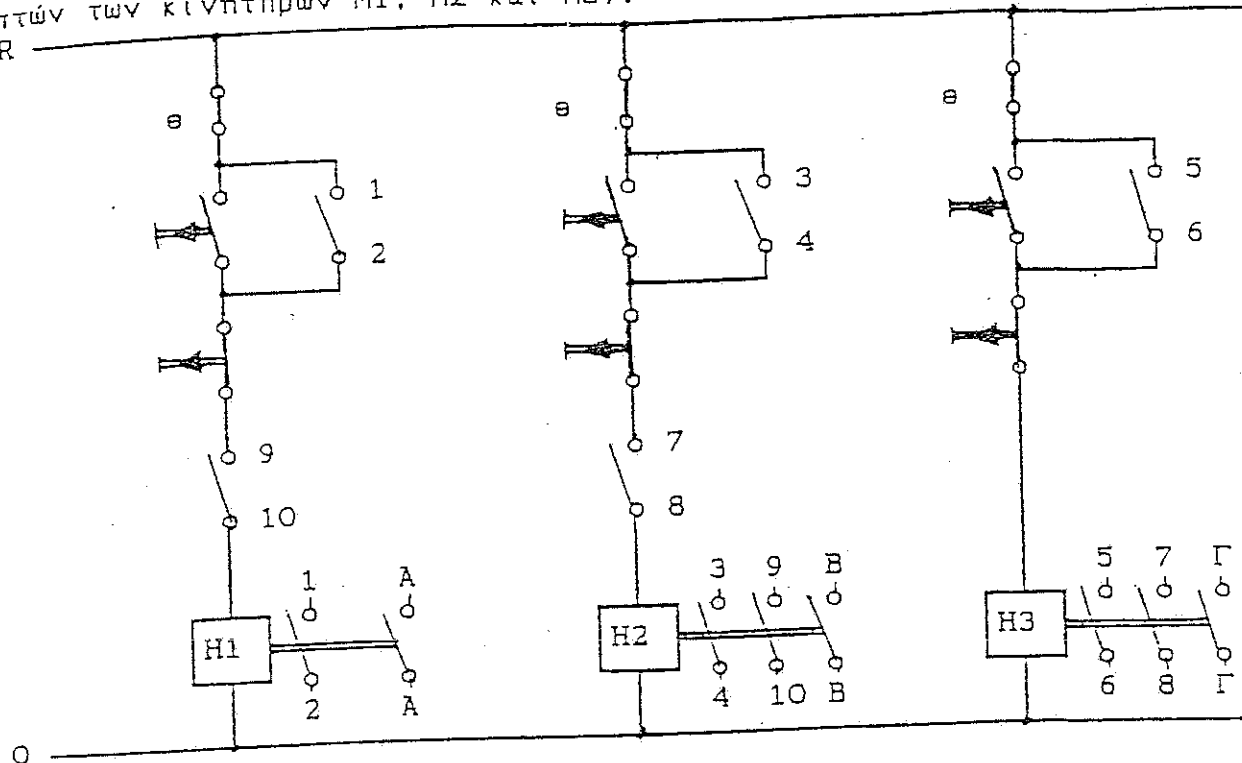
Σχήμα 6.3-3 : Παρόντειγμα αναπτυγματος σχεδίου του κυκλώματος χειρισμού των αυτομάτων διακοπών των κινητήρων M1, M2 και M3 του σχήματος 6.3-1. Όταν οι αυτόματοι διακόπτες των κινητήρων M3 και M2 έχουν μία ανοικτή επαφή (εκτός από την επαφή αυτοσυγκράτησης του πηνίου).

E1, E2 και E3 : Επανέρευνα των αυτόματων διακοπών για τους κινητήρες M1, M2 και M3 αντίστοιχα.

Σημειώνεται τέλος ότι στα κυκλώματα αλυσίδων εκκίνησης έχουν μεγάλη εφαρμογή οι πλεκτρονόμοι. Το κύκλωμα π.χ. της αλυσίδας εκκίνησης των τριών τραίνων του σχήματος 6.3-1, μπορεί να γίνει με πλεκτρονόμους (π.χ. σχήμα 6.3-4 : οι πλεκτρονόμοι H1, H2 και H3)

-77-

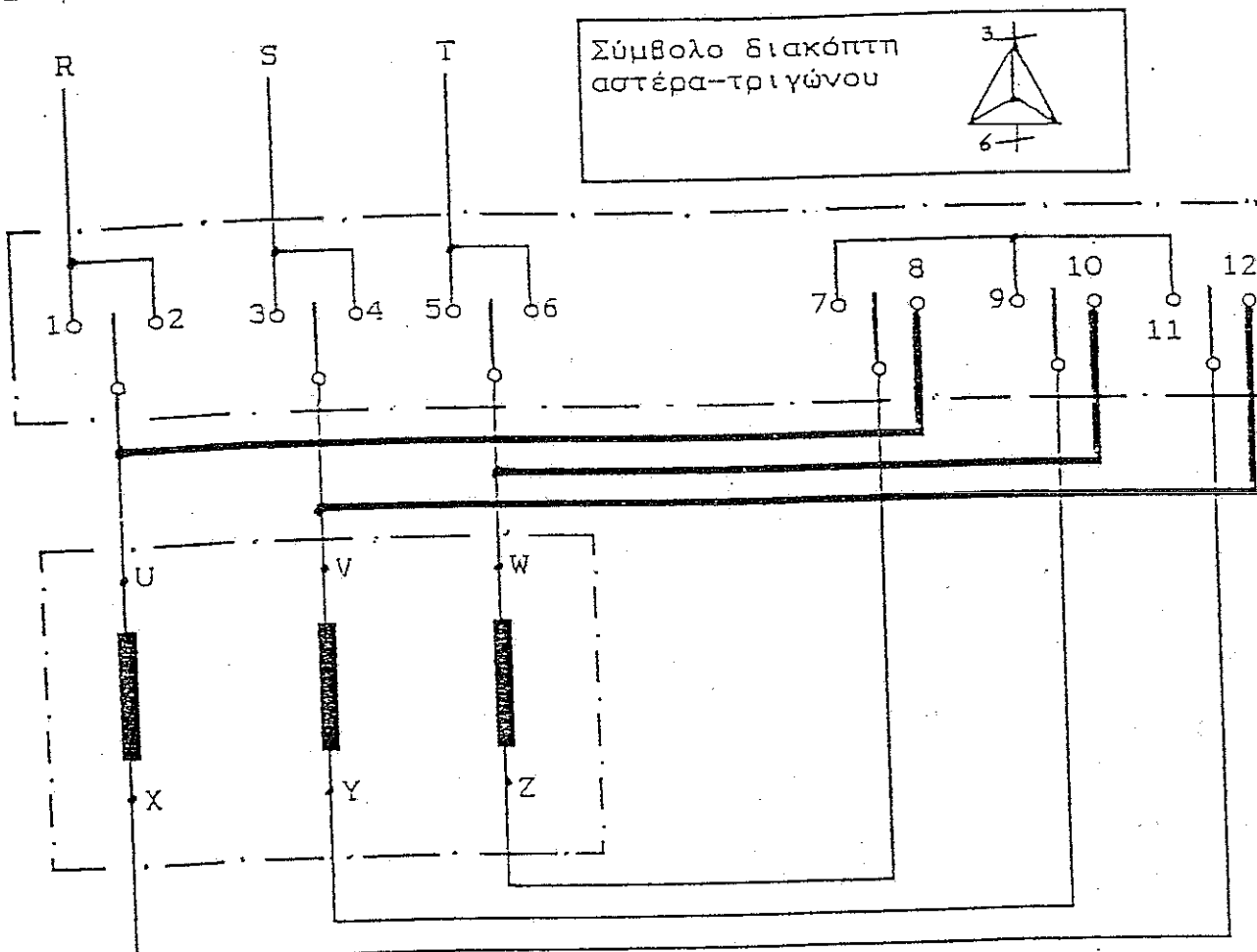
ΕΠΕΝΕΡΓΟΥΝ ΑΝΤΙΣΤΟΙΧΙΑ ΣΤΟ ΚΥΚΛΩΜΑ ΤΟΥ ΠΗΝΟΥ ΟΥ ΤΩΝ ΑΥΤΟΜΑΤΩΝ ΔΙΑΣΚΟ-
ΠΤΩΝ ΤΩΝ ΚΙΝΗΤΗΡΩΝ M1, M2 και M3).



Σχήμα 6.3-4 : Παράδειγμα αναπτύγματος σχεδίου του κυκλώματος
χειρισμού των αυτομάτων διασκοπτών των κινητηρών
M1, M2 και M3 του σχήματος 6.3-1. μέσω των
ηλεκτρονικών H1, H2 και H3.
Α, Β και Γ : Επαφές, μέσω των οποίων τίθενται
εντιστοιχία σε λειτουργία οι αυτόματοι διασκόπτες
των κινητηρών M1, M2 και M3.
Δ1, Δ2 και Δ3 : Αυτόματοι διασκόπτες των
κινητηρών M1, M2 και M3 αντίστοιχα

6.4. Ο διακόπτης "αστέρας-τρίγωνο"

Ο διακόπτης αυτός χρησιμεύει στην εκκίνηση κινητήρων βραχιουκυ-
κλωμένου δρομέα. Αρχικά τίθεται ο διακόπτης στη θέση "αστέρας" (με-
αποτέλεσμα των περιορισμών της τιμής του ρεύματος εκκίνησης) και με-
τά στη θέση "τρίγωνο". Το κύκλωμα του χειροκίνητου διακόπτη αστέ-
ρα-τρίγωνου φαίνεται στο παρακάτω σχήμα.



Σχήμα 6.4-1 : Χειροκίνητος διακόπτης αστέρα-τρίγωνου
Διακόπτης στη θέση αστέρας : 1, 3, 5, 7, 9, 11
Διακόπτης στη θέση τρίγωνο : 2, 4, 6, 8, 10, 12

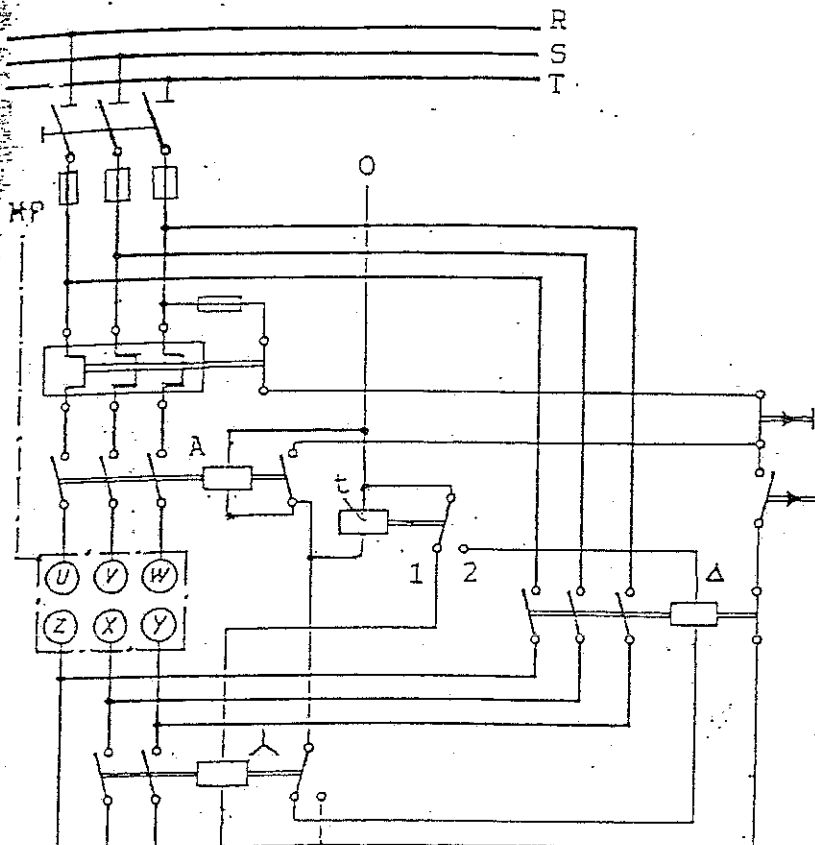
6.5. Συνδυασμός αυτομάτων διακοπών και χρονοδιακοπών σε

κυκλώματα κινητήρων

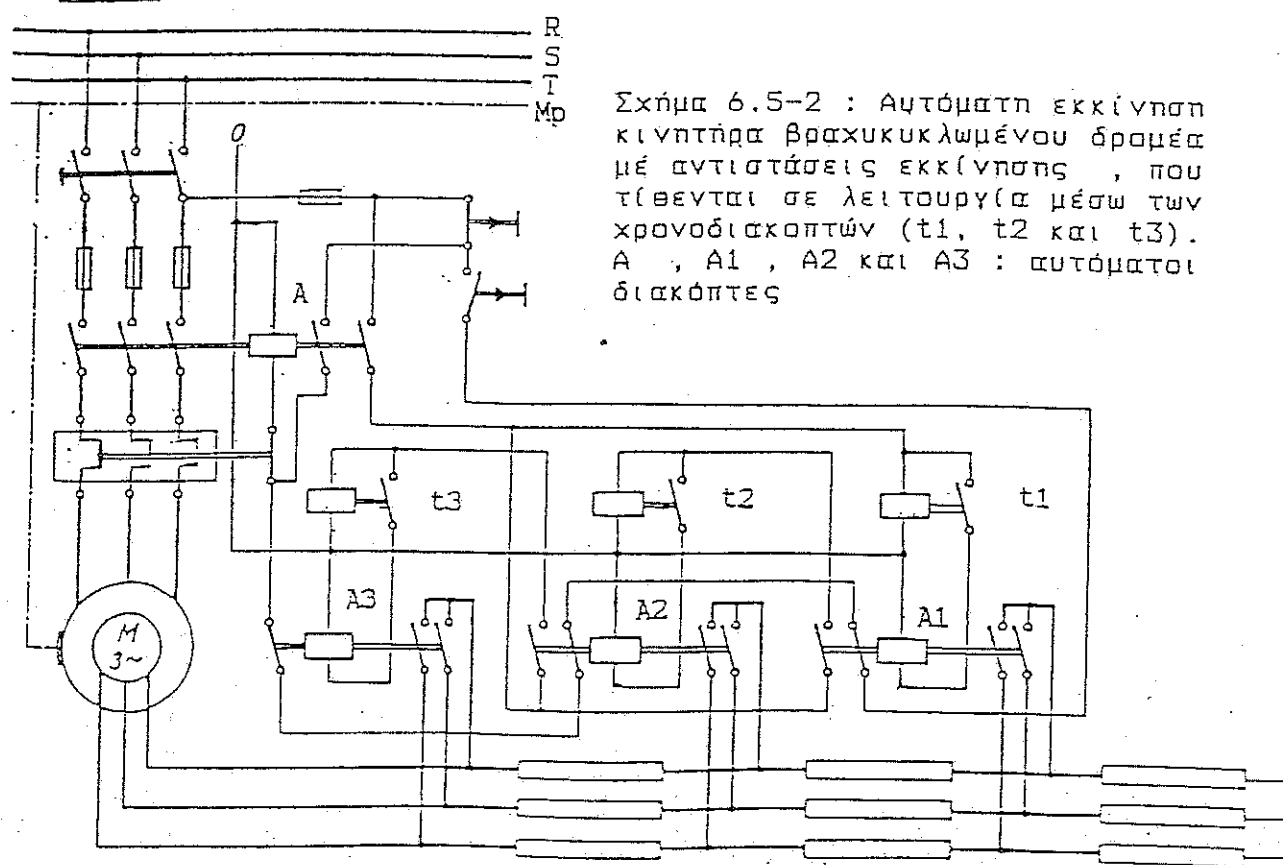
Στα παρακάτω σχήματα δίνονται δύο παραδείγματα συνδυασμού των αυτομάτων διακοπών με τους χρονοδιακόπτες.
Στο σχήμα 6.5-1 δείχνεται μία αυτόματη διάταξη διακοπών σε ένα κύκλωμα αστέρα-τρίγωνου. Σύμφωνα με αυτό, όταν κλείσει ο αυτόματος διακόπτης A, η επιφύλ του χρονοδιακόπτη εξακολουθεί να είναι στη θέση 1 για χρονο τ. Εποι τίθεται αρχικά σε λειτουργία ο διακόπτης στη θέση 1 για χρονο τ. Μετά τον παραπάνω χρόνο η επιφύλ του χρονοδιακόπτη κλείνει στη

-79-

θέση 2 και ανοίγει επομένως ο διακόπτης λ , ενώ τίθεται σε λειτουργία ο διακόπτης Δ . Στο κύκλωμα του σχ. 6.5-2 η εκκίνηση του κινητήρα γίνεται μέσω των αντιστάσεων με τη βοήθεια χρονοδιακοπών



Σχήμα 6.5-1:
Αυτόματο κύκλωμα
διακόπτη απέρα-
τριγώνου



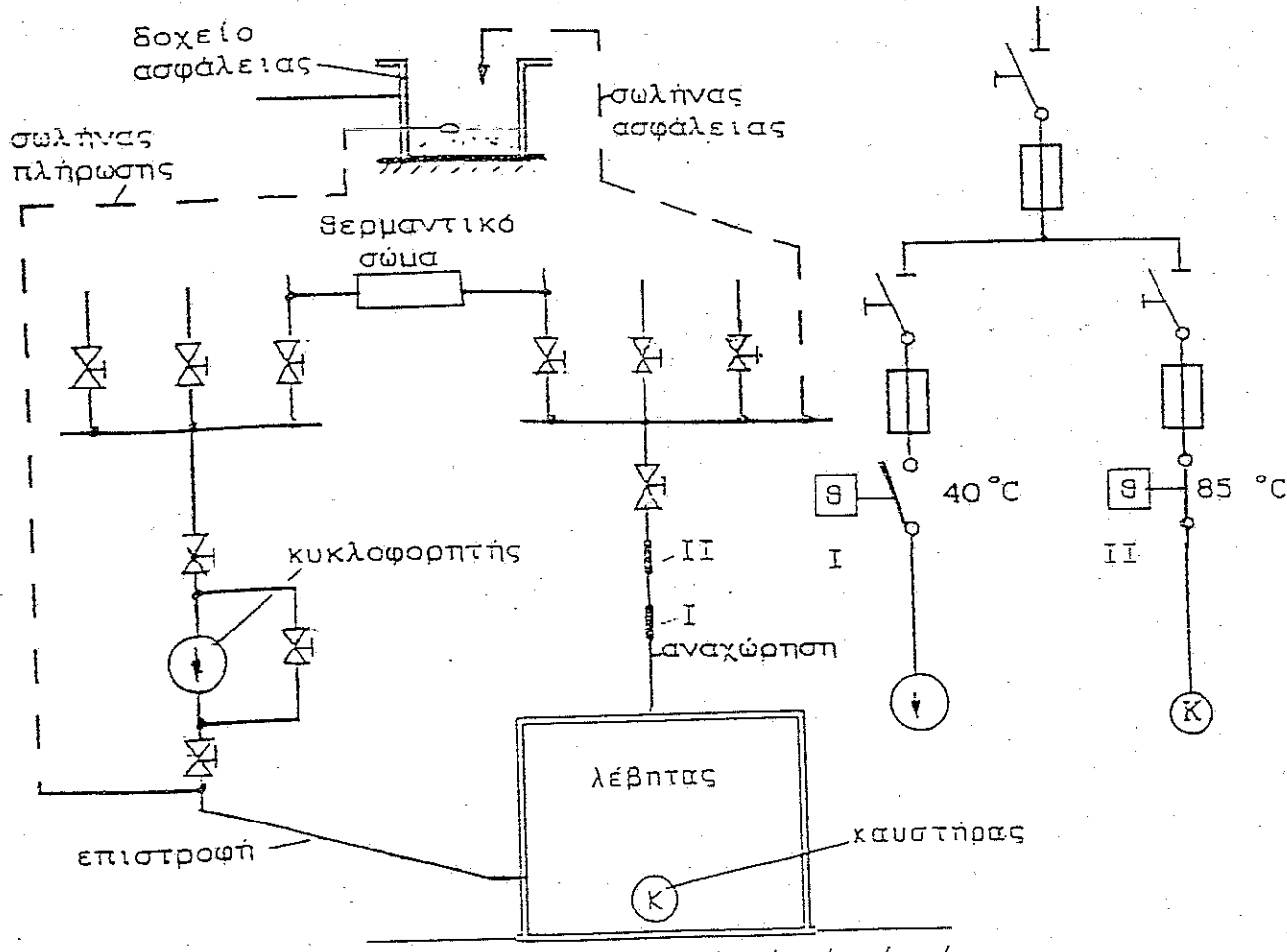
Σχήμα 6.5-2 : Αυτόματη εκκίνηση
κινητήρα βραχυκύκλωμένου δρομέα
με αντιστάσεις εκκίνησης, που
τίθενται σε λειτουργία μέσω των
χρονοδιακοπών (t_1 , t_2 και t_3).
Α , Α₁ , Α₂ και Α₃ : αυτόματοι
διακόπτες

7. Βοηθητικές επαφές (ή βοηθητικοί διακόπτες)

7.1. Οι θερμικές επαφές και θερμοστάτες

Οι θερμικές επαφές (κλειστές ή ανοικτές) είναι ένας έιδος διακόπτη, π Κατάσταση λειτουργίας του οποίου αλλάζει υπό την επίδραση της θερμοκρασίας. Οι θερμοστάτες είναι ρυθμιζόμενες θερμικές επαφές. Ο θερμοστάτης του φούρνου της πλεκτρικής κουζίνας, ή ο θερμοστάτης του θερμοσίφωνα, είναι μία κλειστή ρυθμιζόμενη θερμική επαφή, που ανοίγει το κύκλωμα (διακόπτεται η λειτουργία της συσκευής) μετά από την επιευμπτή θερμοκρασία λειτουργίας. Όταν στη συνέχεια π θερμοκρασία λειτουργίας γίνει μικρότερη από την επιευμπτή, τότε κλείνει η θερμική επαφή και η συσκευή επαναλειτουργεί.

Ενα παράδειγμα ευρύτετης εφαρμογής των θερμοστάτων δίνεται στο σχήμα 7.1-1. Σύμφωνα με αυτό ο θερμοστάτης I θέτει σε λειτουργία τον κυκλοφορητή π.χ. στους 40°C , ενώ ο θερμοστάτης II διακόπτει την λειτουργία του καυστήρα στη θερμοκρασία π.χ. 85°C .



Σχήμα 7.1-1 : Παράδειγμα χρησιμοποίησης θερμοστάτων σε ένα δίκτυο θέρμανσης με ζεστό νερό.

: γενικό σύμβολο κειμένου λόγω θερμοκρασίας

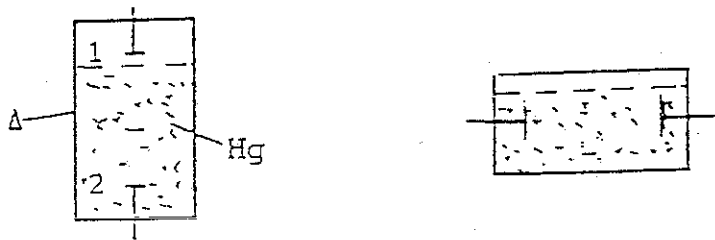
.2. Διακόπτες (ή επαφές) τύπου πλωτήρα ή στάθμης

Πρόκειται για κλειστές ή ανοικτές επαφές, που αλλάζουν την έστη λειτουργίας τους, όταν επιπλέουν σε ένα υγρό. Η αρχή λειτουργίας τους εξετάζεται παρακάτω σε ένα παράδειγμα υδραργυρικού διακόπτη.

Η αρχή λειτουργίας των υδραργυρικών επαφών (ή υδραργυρικών διακοπών) βασίζεται στην αγώγιμη ή μη σύνδεση δύο πλεκτροδίων έσω του υδραργύρου, ανάλογα με την θέση ενός μονωτικού (Δ), που ιεριλαμβάνει τα πλεκτρόδια (1, 2) και τον υδράργυρο (σχήμα 7.2-1). Ιταν π.χ. το μονωτικό δοχείο είναι σε κατακόρυφη θέση, τότε ο

(α)

(β)



Σχήμα 7.2-1 : Αρχή λειτουργίας της υδραργυρικής επαφής

Δ : δοχείο από μονωτικό υλικό

1, 2 : πλεκτρόδια

Hg : υδράργυρος

(α) : κατακόρυφη θέση (κατάσταση λειτουργίας : η επαφή είναι ανοικτή)

(β) : οριζόντια θέση (κατάσταση λειτουργίας : η επαφή είναι κλειστή)

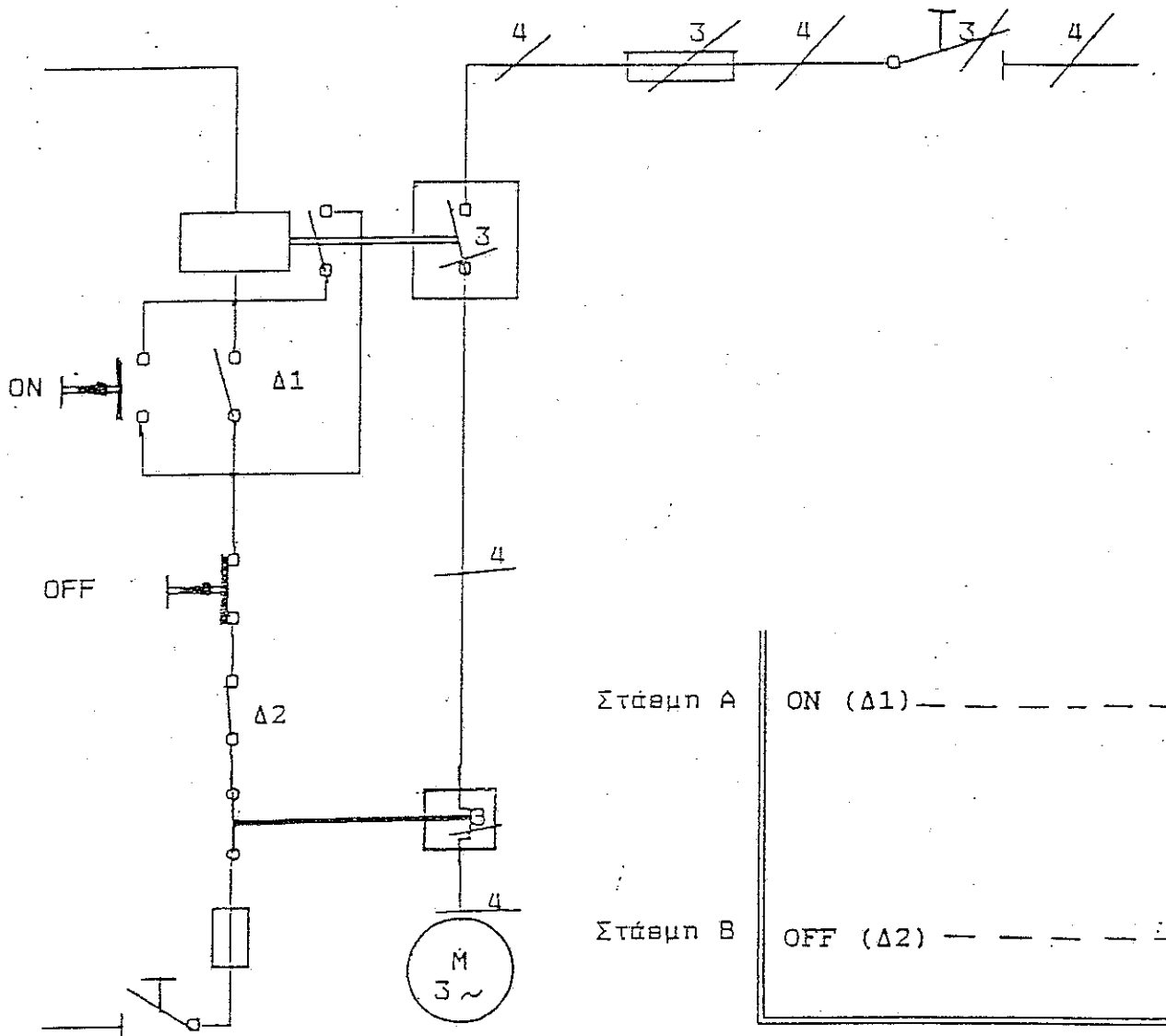
όγκος του υδραργύρου καλύπτει μόνο το πλεκτρόδιο 2 και επομένως το επενεργεί ως μία ανοικτή επαφή. Σε περίπτωση όμως, που το μονωτικό δοχείο έχει την οριζόντια θέση, τότε ο υδράργυρος συνδέει αγώγιμα τα δύο πλεκτρόδια, με αποτέλεσμα να λειτουργεί η διάταξη ως κλειστή επαφή.

Σε άλλου είδους διακόπτες τύπου πλωτήρα, η αγώγιμη ή μη σύνδεση των πλεκτροδίων (ανάλογα με το είδος της επαφής) επιτυγχάνεται μέσω μίας μεταλλικής σφαίρας η οποία μετακινείται κατά την επίπλευση του μονωτικού δοχείου, που περιλαμβάνει το σύστημα της επαφής.

Παρακάτω εξετάζεται ένα παράδειγμα διακοπών στάθμης σε μία διεξαγόμενη (σχήμα 7.2-2). Υποτίθεται ότι ο διακόπτης Δ1 είναι μία επαφή που κλείνει στην στάθμη Α του υγρού και ο Δ2 μία επαφή που ανοίγει στην στάθμη Β του υγρού. Ο συνδυασμός των δύο περαπλήνων διακοπών με έναν ευτόνωτο διακόπτη δίνει τη δυνατότητα της αυτόματης αντλοσης του υγρού. Πράγματι, οταν το υγρό έχει τη στάθμη Α τότε κλείνει η επαφή Δ1, με αποτέλεσμα να οπλίσει το πνυγίο του αυτομάτου διακόπτη και να κλείσει η επαφή ευτοσυγκράτησης του. Η αντλία εστιαματήσει να εργάζεται στη στάθμη Β, οταν η επαφή Δ2 κλείσει την παροχή τάσης στο πνυγίο του αυτομάτου διακόπτη. Ο κύριος διακόπτης την παροχή τάσης στο πνυγίο του αυτομάτου διακόπτη.

κλος αυτός λειτουργίας της αντλίας επαναλαμβάνεται , όταν το υγρό φτάσει πάλι στη στάθμη Α.

Σημειώνεται ότι τα πλήκτρα ON και OFF στο κύκλωμα του πνοίου του αυτόματου διακόπτη χρησιμεύουν για τη χειροκίνητη λειτουργία της αντλίας , όπως π.χ. σε περίπτωση βλάβης στο σύστημα των πλωτήρων στάθμης ή σε εργασίες συντήρησης.



Σχήμα 7.2-2 : Παράδειγμα αυτόματης αντλησης ενός υγρού με τη βοήθεια δύο επαφών τύπου πλωτήρα.

Ο υπολογισμός της ταχύτητας P της παραπόμπων υποθρύκιας αντλίας γίνεται από την σχέση:

$$P = \frac{Q H Y}{102 n} \quad (7.2-1)$$

όπου: Q η παροχή σε m³/h . H το ύψος άντλισης σε m , Y η πυκνότητα του αντλούμενου υγρού σε kg/m³ και n ο βαθμός απόδοσης (n ≈ 0,6).

-83-

8. Υπολογισμοί σε κυκλώματα κίνησης και απλά μηχανικά μέσα
μετάδοσης της κίνησης

8.1. Διατομή αγωγών και ασφάλειες

Οι ασφάλειες προστατεύουν τις γραμμές από υπερφορτίσεις. Στην ονομαστική ένταση των ασφαλειών αντιστοιχούν οι ελάχιστες διατομές αγωγών κατά τον πίνακα 8.1-1. Οι βιδωτές ασφάλειες διακρίνονται σε

| Διατομή αγωγού 2 σε mm | ΟΜΑΔΑ I | | ΟΜΑΔΑ II | | ΟΜΑΔΑ III | |
|---------------------------------|-----------|------------------|-----------|------------------|-----------|------------------|
| | I σε A | ασφάλεια σε A | I σε A | ασφάλεια σε A | I σε A | ασφάλεια σε A |
| 1 | 12 | 10 | 16 | 15 | 20 | 20 |
| 1,5 | 16 | 15 | 20 | 20 | 25 | 25 |
| 2,5 | 21 | 20 | 27 | 25 | 34 | 35 |
| 4 | 27 | 25 | 36 | 35 | 45 | 50 |
| 6 | 35 | 35 | 47 | 50 | 57 | 60 |
| 10 | 48 | 50 | 65 | 60 | 78 | 90 |
| 16 | 65 | 60 | 87 | 80 | 104 | 100 |
| 25 | 88 | 80 | 115 | 100 | 137 | 125 |
| 35 | 110 | 100 | 143 | 125 | 168 | 160 |
| 50 | 140 | 125 | 178 | 160 | 210 | 200 |
| 70 | | | 220 | 225 | 260 | 260 |
| 95 | | | 265 | 260 | 310 | 300 |

θερμοκρασία περιβάλλοντος : 25 °C.

Πίνακας 8.1-1 : Ονομαστικά ρεύματα καλώδιων χαλκού και μέγιστη ασφάλεια στους 25 °C (κατά VDE 0100).

ΟΜΑΔΑ I : μέχρι τρία μονοπολικά καλώδια σε σωλήνα.

ΟΜΑΔΑ II : πολυπολικά καλώδια στον αέρα,
πεπλατισμένα καλώδια και εύκαμπτα καλώδια.

ΟΜΑΔΑ III : μονοπολικά καλώδια στον αέρα

| Γιά θερμοκρασίες μεγαλύτερες από 25 °C | | | | | |
|--|-----|-----|-----|-----|-----|
| θερμοκρασία σε °C | 30 | 35 | 40 | 50 | 55 |
| μείωση του φορτίου στο: | 92% | 85% | 75% | 53% | 38% |

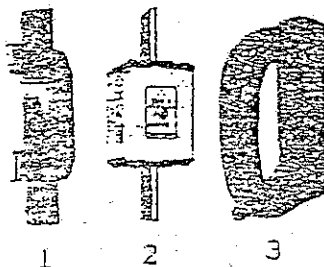
ταχείς και βραδείς τήξης. Οι ασφάλειες βραδείς τήξης είναι λιγότερο εύαλστερες σε απότομες μεταβολές του φορτίου, από ότι οι ασφάλειες ταχείς τήξης. Οι ασφάλειαίς μακαριωτού τύπου (ασφάλειες NH, κατά τους Γερμανικούς καινονισμούς) χρησιμοποιούνται σε τιμές ΝΗ, μεγαλύτερες από 35 A (ασφάλειες υψηλής ισχύος). Οι ασφάλειες NH είναι βραδείς τήξης. Παρουσιάζουν μικρή αντίσταση διάβα-

-84

στης (αντίσταση της επιφάνειας μεταξύ της ασφάλειας και της βάσης της) και καλύετρη συμπεριφορά στους χειρισμούς, από τις βιδωτές ασφάλειες. Η τοποθέτηση των μαχαιρωτών ασφαλειών στην ασφαλειοθήκη τους γίγεται με ειδική λαβή, που έχει μονωτική επένδυση (σχήμα 8.1-2).

Σχήμα 8.1-2 : Μαχαιρωτή ασφάλεια με την ασφαλειοθήκη της.

- 1 : Βάση (ασφαλειοθήκη)
- 2 : ασφάλεια
- 3 : λαβή



Οι ονομαστικές τιμές των βιδωτών ασφαλειών είναι από 6 A έως 200 A και των μαχαιρωτών 25 έως 1000 A.

Για τη προστασία ενός κινητήρα από υπερεντάσεις (υπερφορτισμένης) μέσω ασφαλειών, εστιαζεται σε εκείνη του κινητήρα. Αυτό θυμάς δεν είναι δυνατό να γίνει γιατί η διαβίωση των ασφαλειών είναι τυποποιημένη και το ρεύμα κατά την εκκίνηση έχει μεγαλύτερη τιμή από το ονομαστικό ρεύμα του κινητήρα.

Στους κινητήρες βραχυκυκλωμένου δρομέα, που λειτουργούν χωρίς εκκινητή (χωρίς διακόπτη αστέρα-τρίγωνο, αντιστάσεις εκκίνησης, κ.λ.π.) το ρεύμα εκκίνησης είναι περίπου διστομή αγωγού μεγαλύτερο από το ονομαστικό (I_a). Στην περιπτώση αυτή ισχύει γιας ασφάλειες ταχείας τάξης:

(8.1-1)
I_a = 2,5 I_n

και για ασφάλειες βραδείας τάξης είναι:

(8.1-2)
I_a = 1,5 I_n

όπου I_a το ονομαστικό ρεύμα της ασφάλειας. Οπως φείνεται από τις σχέσεις αυτές, οι ασφάλειες βραδείας τάξης πλεονεκτούν, ως προς εκείνες της ταχείας τάξης, γιατί το ονομαστικό τους ρεύμα είναι μικρότερο (και επομένως πλοσιέστερο προς εκεί νο του κινητήρα), με αποτέλεσμα να χρειάζεται μικρότερη διστομή αγωγού για τη γραμμή υπολογίζονται οι παρακάτω τιμές για τις ασφάλειες και τη διστομή των αγωγών προς τον κινητήρα:

- 1) Ασφάλεια ταχείας τάξης : 2,5.8,7 = 21,7 A, διλασδότης 25 A. Η διατομή του προς αγωγού, κατά τον πίνακα 8.1-1 (ομάδα I) είναι : 4 mm²
- 2) Ασφάλεια βραδείας τάξης : 1,5.8,7 = 13 A, διλασδότης 15 A. Η διατομή του προς αγωγού (πίνακας 8.1-1, ομάδα I) είναι : 1,5 mm².

Στους τριτοβετικούς κινητήρες, που λειτουργούν μέσω διακόπτη αστέρα-τρίγωνο, τους διακτυλωθόρους κινητήρες καθώς και τους κινητούς μενταράδες, ενδέικνυνται (όπως και προηγουμένως) οι τάξεις ασφαλειών βραδείας τάξης. Σις περιπτώσεις αυτές η ονομαστική τιμή των ασφαλειών υπολογίζεται από την σχέση :

I_a = 2 I_n

(8.1-3)

-85-

Στον πίνακα 8.1-2 δίνονται τιμές ασφαλειών βραδείας τήξης, αγάλογα με την ισχύ του κινητήρα, την τάση λειτουργίας του και την διαδικασία εκκίνησης.

| Ονομαστική ισχύς κινητήρα | Ονομαστικό ρεύμα του κινητήρα (περίπου) | | Ασφάλεια βραδείας τήξης σε Α | | Υιά απευθείας εκκίνησης κινητήρων βραχυκυκλωμένου δρομέα | Υιά εκκίνησης με διπλότητη αστέρα-τρίγωνο και διακυλιοφόρους κινητήρες |
|---------------------------------|---|-------|---------------------------------|-------|--|--|
| | σε kW | σε PS | 220 V | 380 V | | |
| 0,125 | 0,17 | | 0,69 | 0,4 | 2 | 2 |
| 0,18 | 0,24 | | 0,95 | 0,55 | 2 | 2 |
| 0,25 | 0,33 | | 1,28 | 0,74 | 2 | 2 |
| 0,37 | 0,50 | | 1,82 | 1,05 | 4 | 2 |
| 0,55 | 0,75 | | 2,6 | 1,48 | 4 | 4 |
| 0,80 | 1,09 | | 3,6 | 2,1 | 6 | 4 |
| 1,1 | 1,5 | | 4,7 | 2,7 | 10 | 6 |
| 1,5 | 2,04 | | 6,2 | 3,6 | 10 | 6 |
| 2,2 | 3 | | 8,7 | 5,0 | 15 | 10 |
| 3 | 4,1 | | 11,6 | 6,7 | 20 | 10 |
| 4,0 | 5,4 | | 15,1 | 8,7 | 25 | 15 |
| 5,5 | 7,5 | | 21 | 12 | 35 | 20 |
| 7,5 | 10,2 | | 28 | 16 | 50 | 25 |
| 11 | 15 | | 40 | 23 | 60 | 35 |
| 15 | 20,4 | | 53 | 31 | 80 | 50 |
| 22 | 30 | | 76 | 44 | 100 | 60 |
| 30 | 41 | | 100 | 59 | 125 | 80 |
| 38 | 52 | | 130 | 74 | 160 | 100 |
| 50 | 68 | | 165 | 95 | 200 | 125 |

το ονομαστικό
ρεύμα της
ασφάλειας
είναι διπλάσιο
από εκείνο του
κινητήρα

Πίνακας 8.1-2 : Ονομαστική τιμή των ασφαλειών βραδείας τήξης για
κινητήρες εναλλασσομένου ρεύματος.

8.2. Μέσα προστασίας των κινητήρων

Τα μειονεκτήματα των ασφαλειών (λόγω των οποίων δεν προστατεύουν τους κινητήρες , παρά μόνο κατά το βραχυκύλωμα) είναι τα παρακάτω :

- έχουν χονδρική διαβάθμιση (τυποποίηση) και γι' αυτό η ονομαστική τιμή τους δεν ανταποκρίνεται προς εκείνη του κινητήρα
- τάκονται σε απότομες υπερφορτίσεις μικρής χρονικής διάρκειας , οι οποίες δεν δημιουργούν προβλήματα στον κινητήρα
- η τάξη της μέσης ασφάλειας στη γραμμή ενός τριφασικού κινητήρα σημαίνει μονοφασική λειτουργία του, με αποτέλεσμα την μείωση της ισχύος του.
- σε περίπτωση αποκατάστασης της τάσης, μετά από απρόβλεπτη διακοπή της, επαναλειτουργούν οι κινητήρες, με ενδεχόμενους κινδύνους, λόγω της εκκίνησης αυτής.

Τα μειονεκτήματα αυτά των ασφαλειών οδήγησαν στην κατασκευή των αυτομάτων διακοπών , μέσω των οποίων παρέχονται οι παρακάτω δυνατότητες προστασίας :

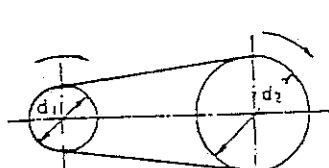
- προστασία έναντι βραχυκύλωμάτος,
- προστασία έναντι μονοφασικής λειτουργίας,
- προστασία έναντι υπερφόρτισης,
- προστασία από λάθο χειρισμών (αλυσίδες εκκίνησης), και
- προστασία έναντι επαναλειτουργίας σε περίπτωση διακοπής της τάσης

Γιά την προστασία έναντι υπερφόρτισεων (υπερεντάσεων), χρησιμοποιούνται τα θερμικά (σχήματα 6-1 έως 6-5), τα οποία ρυθμίζονται στο ονομαστικό ρεύμα του κινητήρα. Τα θερμικά δεν προστατεύουν τον κινητήρα από στιγμιαίες υπερφόρτισεις του. αλλά διακόπτουν τη λειτουργία του σε υπερφόρτισεις, που διαρκούν, οι οποίες θα προκαλούσαν βλάβη του..

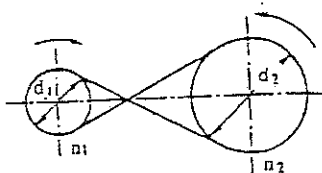
8.3. Συνήθεις μέθοδοι πλεκτροκίνησης με ιμάντες

Στο σχήμα 8.3-1 δείχνονται απλοίτοι μέθοδοι μετάδοσης της κίνησης από τη μικρή τροχαλία στη μεγάλη , μέσω ενός ιμάντα. Η μετάδοση της κίνησης επιτυγχάνεται διά της τριβής . Γι' αυτό

(α)



(β)



Σχήμα 8.3-1 : Μετάδοση της κίνησης με ιμάντα.

α : ανοικτή διάταξη (οι τροχαλίες έχουν την διεσ φορά περιστροφής).

β : διασταυρωμένη διάταξη (οι τροχαλίες έχουν αντίθετη φορά περιστροφής).

-87-

9. Τύποι παροχής μέσης τάσης της Δ.Ε.Η. και υποσταθμοί μέσης τάσης των πελατών της Δ.Ε.Η.

9.1. Διακόπτες και ασφάλειες στη μέση τάση

| Είδος εξοπλισμού | Σύμβολο | Σκοπός χρησιμοποίησης |
|---|---------|---|
| Τριπολικός αποζεύκτης | | Απομονώνει από την παροχή ένα κύκλωμα, που έχει ήδη τεθεί εκτός τάσης (δεν έχει ισχύ διακοπής) |
| Τριπολικός γειωτής | | Γειώνει ένα κύκλωμα μετά την αποζευξη (δεν έχει ισχύ διακοπής) |
| Τριπολικός διακόπτης φορτίου | | Μπορεί να χειρίζεται κανείς ένα φορτίο με ισχύ μέχρι την ονομαστική ισχύ (ή ισχύ διακοπής) του διακοπή αυτού |
| Άσφαλεια μέσης τάσης | | Προστασία από το βραχυκύκλωμα |
| Τριπολικός διακόπτης ισχύος (ή αυτόματος διακόπτης) | | Εκτός απ' τον χειρισμό ενός φορτίου, ανάλογα με το ονομαστικό ρεύμα του διακόπτη, προστατεύει την εγκατάσταση απ' το βραχυκύκλωμα |
| Μονοπολικό ακροκιθώτιο | | Γιά τις συνδέσεις καλωδίων στους πίνακες |
| Μετασχηματιστής έντασης | | Γιά την παροχή τάσης σε κυκλώματα χειρισμών και προστασίας |
| Μετασχηματιστής τάσης | | |
| Φωτεινή ένδειξη ύπαρξης της μέσης τάσης: | | |

Σχήμα 9.1-1: Σύμβολα βασικού εξοπλισμού σε πίνακες μέσης τάσης

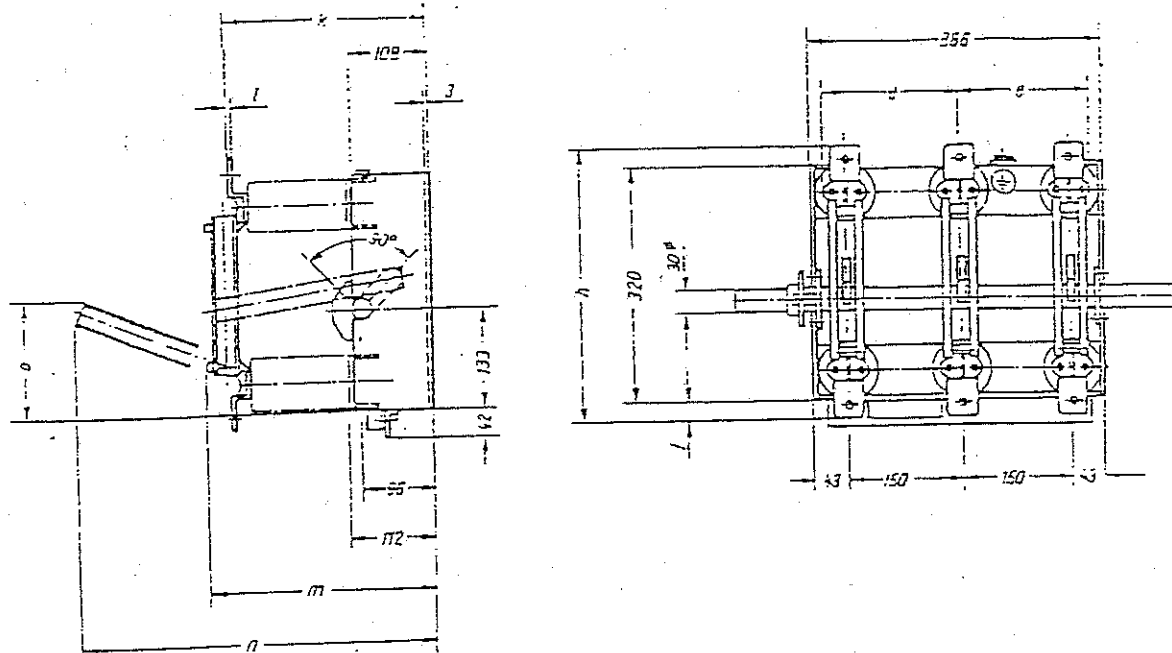
Η ανάγκη για χειρισμούς και ποδοστάσεις των χειριστών και της εγκατάστασης, οδήγησε σε ορισμένες βασικές (ήδη διακοπών (σχήμα 9.1-1), που χρησιμοποιούνται στους πίνακες (ή κυψέλες) μέσης τάσης της Δ.Ε.Η. καθώς και σε εκείνους των κετεγναλωτών μέσης τάσης. Από τον σκοπό, που εξυπηρετεί ένας διακόπτης, ανάλογα με το είδος του

(δίνεται περιληπτικά στο σχήμα 9.1-1) , φαίνεται ότι οι διακόπτες σταθμός και οι διακόπτες φορτίου είναι μέσα χειρισμού μέσας εγκατάστασης υπό φορτίο , ενώ οι αποζεύκτες και οι γειωτές δεν μπορούν να χειρίζονται υπό φορτίο , γιατί δεν διαθέτουν ισχύ διακοπής . Ο αποζεύκτης χρησιμεύει γιά την απομόνωση της εγκατάστασης από την τάση και ο γειωτής (που πρέπει να χειρίζεται μόνο μετά την απόζευξη) γιά την απομάκρυνση των πλεκτροστατικών φορτίων της εγκατάστασης . Οι αποζεύκτες και οι γειωτές στους πίνακες χρησιμεύουν , σε συνδυασμό με διάφορα μηχανικά μέσα (κυρίως διαχωριστικά διαφράγματα , που δεν επιτρέπουν την προσπέλαση προς τους υπό τάση ζυγόύς ή κελώδια) , στην πραγματοποίηση εργασιών συντήρησης και επισκευών υπό συνθήκες ασφάλειας .

Οι ασφάλειες στους πίνακες μέσης τάσης είναι ένα μέσο προστασίας της εγκατάστασης από το βραχυκύλωμα . Χρησιμοποιούνται σε συνδυασμό με τον διακόπτη φορτίου (οι διακόπτες σταθμός προστατεύουν οι διοικητικές αποστάσεις από το βραχυκύλωμα και γι' αυτό δεν συνδυάζονται με ασφάλειες) .

Στο σχήμα 9.1-2 δίνεται το σχέδιο προσφοράς ενός αποζεύκτη μέσης τάσης . Οι διαστάσεις , που δίνονται με γράμματα καθορίζονται από τα ονομαστικά στοιχεία του διακόπτη . Οι αποστάσεις των ρευματοφόρων μερών από το γειωμένο μεταλλικό περίβλημα και εκείνες μεταξύ ρευματοφόρων μερών (και στις δύο λειτουργικές θέσεις του διακόπτη) ονομάζονται αποστάσεις μόνωσης .

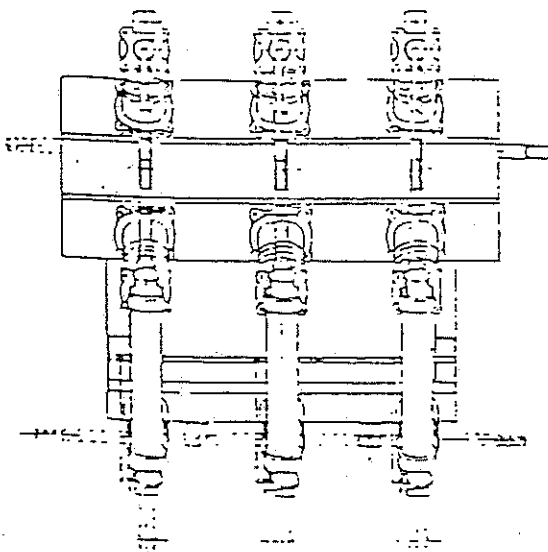
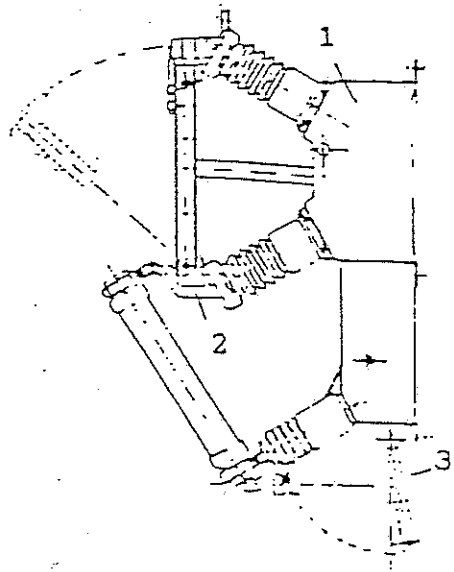
Ο αποζεύκτης και οι γειωτές είναι χειροκίνητοι διακόπτες . Ο χειρισμός γίνεται από ένα χειριστήριο , που παρέχει στον χειριστή την απαιτούμενη απόσταση προστασίας από τη υπό τάση μέρη . Το χειριστήριο αυτό θα πρέπει επίσης να εξασφαλίζει την συγκράτηση (μενδάτη) του διακόπτη στην απόσταση προστασίας .



Σχήμα 9.1-2 : Τριπολικός αποζεύκτης μέσης τάσης

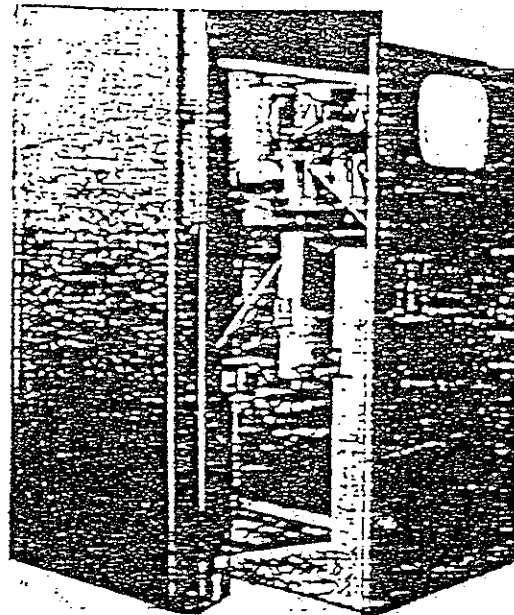
λωση) του διακόπτη στην λειτουργική θέση . που τον οδηγήσει ο χειριστής .

-89-



Σχήμα 9.1-7 : Συνδιασμός ενός διακόπτη φορτίου 20 kV, 400 A (1) με μία ασφαλειοθήκη (2) και έναν γειωτή (3), ως "ένα είδος διακόπτη".

Σχήμα 9.1-8:
Πλυντής μέσπος τάσης με
αποζεύκτη τύπου φορείου.

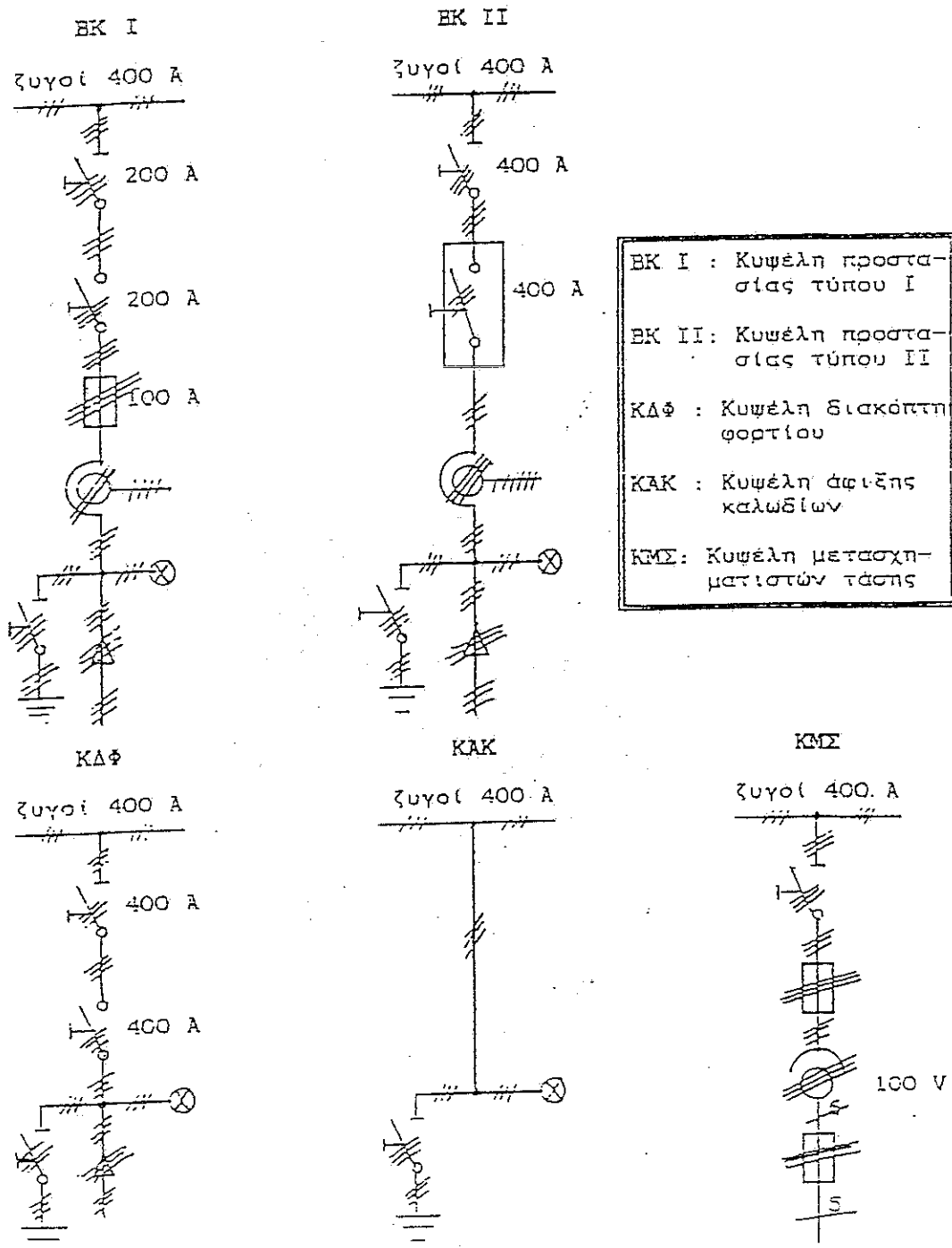


- 90 -

9.2. Πίνακες μέσης τάσης του δικτύου της Δ.Ε.Η. & των κατανιπλωτών

9.2.1 Πίνακες του δικτύου μέσης τάσης της Δ.Ε.Η.

Στο σχήμα 9.2.1-1 δίνονται τα μονογραμμικά σχέδια των πινάκων (πίνακες) του δικτύου της Δ.Ε.Η. Εκτός από τους πίνακες αυτούς,



Σχήμα 9.2.1-1 : Πίνακες (κυψέλες) της Δ.Ε.Η. στη μέση τάσης

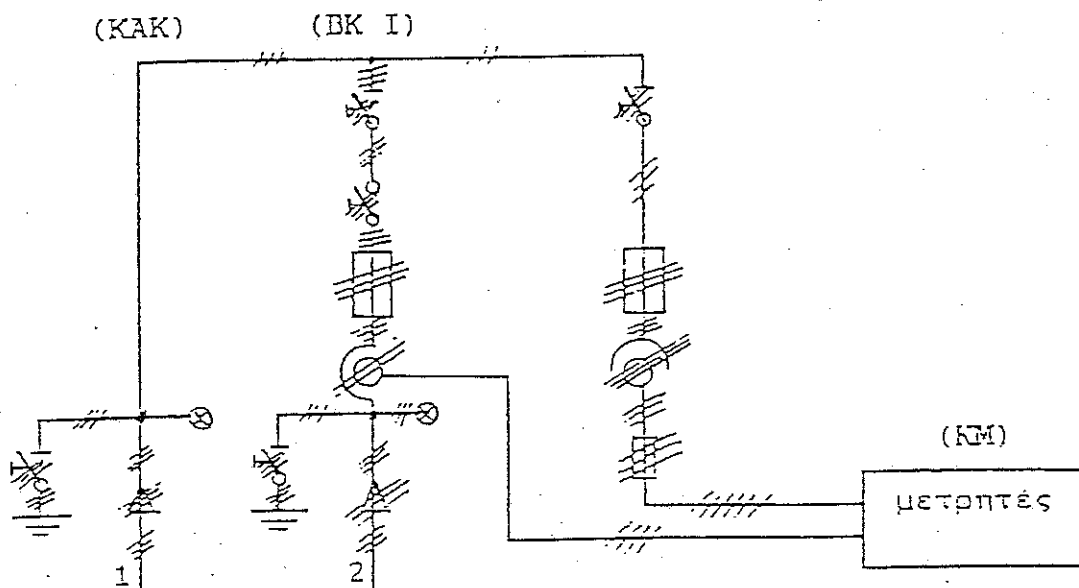
υπάρχει και ένας πίνακας για τη μέτρηση και τη καταγραφή της ισχύος. Στους πίνακες αυτούς συναντά κανείς τα βασικά είδη διακοπών καθώς και τους συγδυασμούς τους, που προσαναφέρονται.

Οι πίνακες του σχήματος 9.2.1-1 & ο πίνακας για τη μέτρηση και καταγραφή της ισχύος (πίνακας KM) συναρμολογούνται (σε χώρο που διεπιτίθεται από τον καταναλωτή) σε ένα συγκρότημα πινάκων, το είδος του οποίου εξαρτάται από τις αγάγκες του δικτύου της Δ.Ε.Η. Από το συγκρότημα αυτό τροφοδοτείται ο καταναλωτής, μέσω ενός πινάκα BK I ή BK II. Στον πίνακα 9.2.1-1 δίνονται τα τέσσερα τυποποιημένα είδη συγκροτημάτων μέσոς τάσης.

| α/α | Σύστημα τροφοδοσίας | Περιλαμβάνει |
|-----|----------------------|-------------------------------|
| 1 | Βροχοειδές σύστημα I | 2 ΚΔΦ + 1 BK I + 1 KM + 1 KM |
| 2 | >> >> II | 2 ΚΔΦ + 1 BK II + 1 KM + 1 KM |
| 3 | Ακτινικό >> I | 1 KAK + 1 BK I + 1 KM + 1 KM |
| 4 | >> >> II | 1 KAK + 1 BK II + 1 KM + 1 KM |

Πίνακας 9.2.1-1 : Συστήματα τροφοδοσίας, μέσω συγκροτημάτων πινάκων, από το δίκτυο μέσος τάσης

Στο σχήμα 9.2.1-2 δίνεται ένα παράδειγμα συστήματος τροφοδοσίας. Πρόκειται για το μονογραμμικό σχέδιο του ακτινικού συστήματος I, από τον πίνακα BK I του οποίου τροφοδοτείται ο καταναλωτής μέσος τάσης.

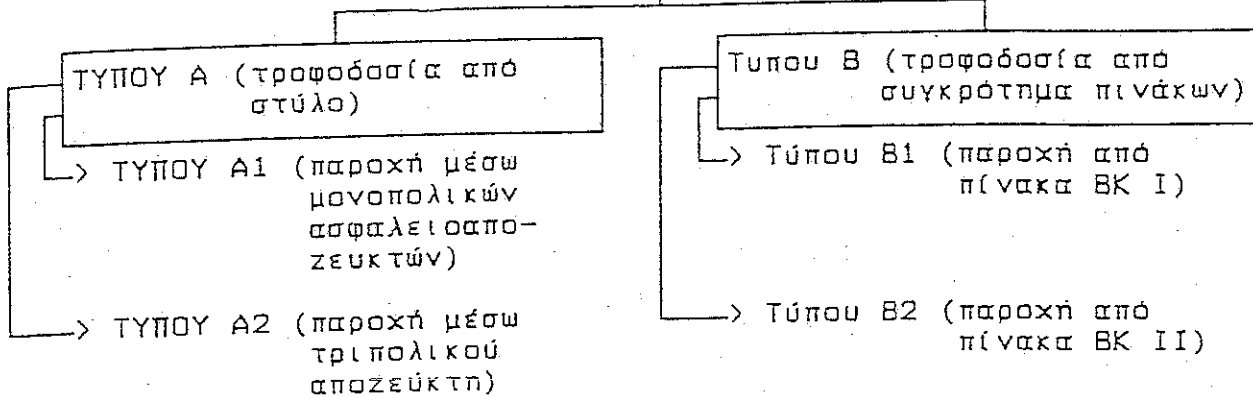


Σχήμα 9.2.1-2 : Ακτινικό σύστημα τροφοδοσίας
1 : από το δίκτυο
2 : προς τον καταναλωτή

9.2.2. Τύποι παροχής μέσης τάσης και υποσταθμοί κατανάλωτών

Η μέθοδος παροχής μέσης τάσης από το δίκτυο της Δ.Ε.Η. πρέπει τους καταναλωτές μέσης τάσης δίνεται στο διάγραμμα του σχηματού 9.2.2-1.

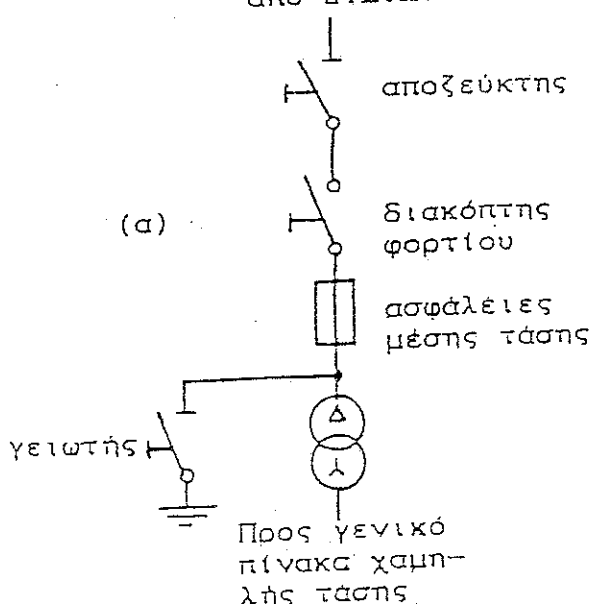
Τύποι παροχής μέσης τάσης



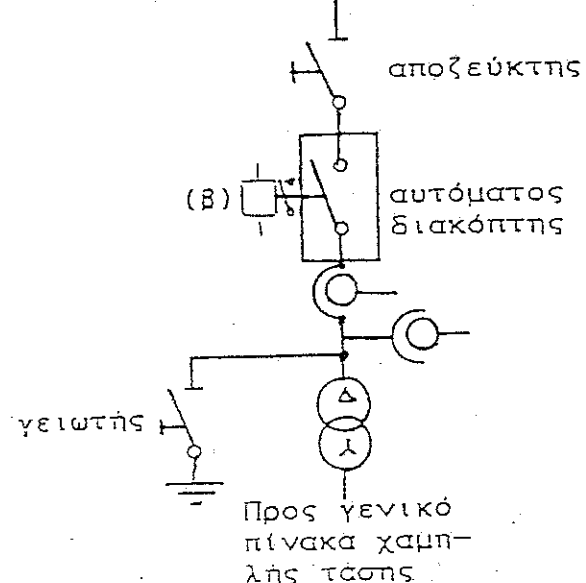
Σχήμα 9.2.2-1 : Τύποι παροχής μέσης τάσης της Δ.Ε.Η.

Οπως αναφέρθηκε στην παραγράφο 9.1. η ανάγκη για χειρισμούς και προστασία των χειριστών και της εγκατάστασης, οδήγησε στη βασικά είδη διακοπών μέσης τάσης, που δίνονται στο σχήμα 9.1-1. Σύμφωνα με το σκεπτικό αυτό, υπάρχουν δύο παραδεκτές περιπτώσεις διεισιδεών υποσταθμών μέσης τάσης, που δίνονται απλοποιημένα στο σχήμα 9.2.2-2. Παρατηρεί κανείς ότι ο πίνακας στους υποσταθμούς σχήμα 9.2.2-2. Παρατηρεί κανείς ότι ο πίνακας στους υποσταθμούς

από Δ.Ε.Η.



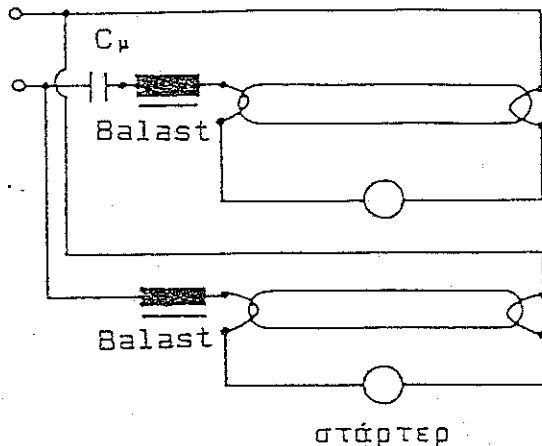
από Δ.Ε.Η.



Σχήμα 9.2.2-2 : Τύποι διεισιδεών υποσταθμών, (α): μέσω διακόπτη φορτίου και ασφαλειών μέσης τάσης, (β): μέσω αυτόματου διακόπτη.

Σχήμα 14.3.5.1-2

Αντιστάθμιση σε σειρά για
κύκλωμα δύο παραλλήλων
λυχνιών (συνδεσμολογία DUO)



14.3.5.2. Ατομική αντιστάθμιση λαμπτήρων NEON,
υδραργύρου και νατρίου

Και στις λυχνίες αυτές οι τιμή του του συντελεστή ισχύος είναι μικρότερη από την επιτρέπόμενη.
Η τάξη μεγέθους του πυκνωτή αντιστάθμισης είναι :
 ■ για λυχνίες νατρίου από 45 ÷ 140 W : 20 μF
 ■ για λυχνίες υδραργύρου από 50 ÷ 900 W σύμφωνα με τον παρακάτω πίνακα.

| Ισχύς σε W | Cμ σε μF |
|---------------|-------------|
| 50 | 7 |
| 80 | 8 |
| 125 | 10 |
| 250 | 18 |
| 400 | 25 |
| 900 | 60 |

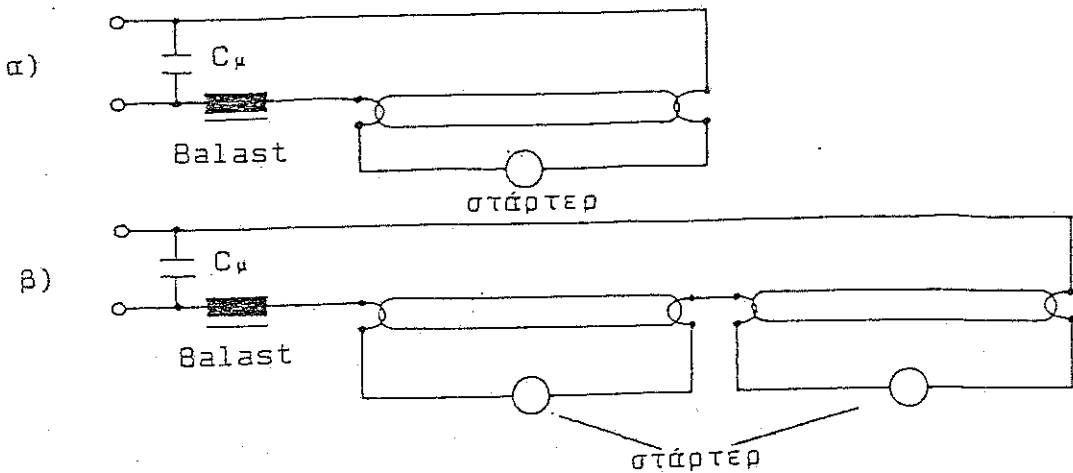
Πίνακας 14.3.5.2-1 : Τάξη μεγέθους πυκνωτών
ατομικής αντιστάθμισης
για λυχνίες υδραργύρου.

* για λυχνίες NEON ισχύει περίπου :

$$C_\mu \approx P_{\text{ΗΤ}}/25 \quad \text{σε } \mu\text{F} \quad (14.3.5.2-1)$$

όπου $P_{\text{ΗΤ}}$ ο φαινόμενη ισχύς του μετασχηματιστή σε VA (100 VA έως 1000 VA ανάλογα με το μετασχηματιστή).

-149-



Σχήμα 14.3.5.1-1 : Ατομική αντιστάθμιση λυχνίτων φθορισμού με παράλληλη σύνδεση πυκνωτή προς την παροχή.

α) κύκλωμα για μία λυχνία φθορισμού

β) κύκλωμα για δύο λυχνίες φθορισμού

Η τιμὴ του ατομικού πυκνωτή αυτιστάθμιστος Ση καθορίζονται από την ισχὺ του λαμπτήρα φθορισμού και τον τύπο του (κατασκευαστή οίκο). Για το λόγο αυτό οι τιμές του παρακάτω πίνακα είναι συδεικτικές.

| ισχύς λαμπτήρα φθορισμού σε W | 4 | 6 | 8 | 10 | 13 | 14 | 15 | 20 | 22 | 25 | 30 | 32 | 40 | 65 | 90 | 100 |
|--|---|---|---|----|----|----|----|-----|-----|-----|----|-----|-----|----|----|-----|
| C _μ σε μF | 2 | 2 | 2 | 2 | 2 | 4 | 4 | 4,5 | 4,5 | 3,5 | 4 | 4,5 | 4,5 | 7 | 20 | 20 |

Πίνακας 13.3.5.1-1: Πυκνωτής αγτιστάθμισης για μία λυχνία ψεοδισμού

Σε περιπτωση παράλληλης σύνδεσης δύο λυχνιών (συνδεσμολογία DUO) ο πυκνωτής αντιστάθμισης συνδέεται σε σειρά με το BALAST μέσω της ηλεκτρικής συνδέσης (σχήμα 13.3.5.1-2). Πρόκειται για μία υπερσυντιστάθμισης λυχνίας (χωρητικός χαρακτήρας), λόγω της οποίας αντιστοιχεί στην μία λυχνία (χωρητικός χαρακτήρας), τελικά το επαγγυικό φωτιστικό στο σύνολο σταθμίζεται, που δημιουργείται, ο πυκνωτής έχει μεγαλύτερη ονομαστική τάση από 220 V. Γιά το κύκλωμα αυτό λειτουργεί :

- για λαπτήρες 40 W/100 : $C_u = 4,6 \mu F$, τάση 420 V.
 - για λαπτήρες 40 W/120 : $C_u = 3,75 \mu F$, τάση 380 V.
 - για λαπτήρες 15 ή 25 W : $C_u = 2,6 \mu F$, τάση 420 V.

Για την αντιστάθμιση μέσας ομάδας λαμπτήρων φθορισμού ισχύει η σχέση :

$$P_c = n \cdot C_\mu \cdot 0,015 \quad \text{σε} \quad \text{kVA} \quad (14.3.4-1)$$

όπου C_μ η χωροτικότητα του πυκνωτή σε μF σε περίπτωση ατομικής αντιστάθμισης (βλέπετε πίνακα 14.3.5.1-1 παρακάτω) και η ο αριθμός των λαμπτήρων.

Παράδειγμα

Παράδειγμα 1

Με εγκατασταση φωτισμού περιλαμβάνει 44 λαμπτήρες φθορισμού. Κάθε λαμπτήρας είναι 40 W και και έχει μήκους $1,2 \text{ m}$. Ζητείται ο πυκνωτής ομάδικής αντιστάθμισης.

Λύση

$$\text{Κατά τον πίνακα 14.3.5.1-1 : } C_\mu = 4,5 \text{ } \mu\text{F}$$

$$P_c = n \cdot C_\mu \cdot 0,015 = 44 \cdot 4,5 \cdot 0,015 \approx 3 \text{ kVAR}$$

Παράδειγμα 2

Δύο κινητήρες 60 kW ο καθένας έχουν $\cos\phi_1 \approx 0,76$. Ζητείται ο πυκνωτής ομάδικής αντιστάθμισης.

Λύση

$$P = P_k / \cos\phi_1 = \frac{2,60}{0,76} \approx 158 \text{ kVA}$$

$$P_b = P_k \operatorname{tg}\phi = 120 \cdot 0,86 \approx 103 \text{ kVAR}$$

Με αντιστάθμιση $P_b \approx 103 \text{ kVAR}$ η γραμμή, που έχει κατασκευασθεί, για λειτουργία χωρίς πυκνωτές αντιστάθμισης είναι κατάλληλη για 158 KVA.

13.3.5. Ατομική αντιστάθμιση

Η μέθοδος αυτή ενδείκνυται σε εγκαταστάσεις φωτισμού με λάμπες φθορισμού, NEON, υδραργύρου και νατρίου.

13.3.5.1. Ατομική αντιστάθμιση σε φωτιστικά με λαμπτήρες φθορισμού

Τα φωτιστικά με λαμπτήρες φθορισμού έχουν, λόγω του γκαλιστικού πονίου (BALAST) $\cos\phi \approx 0,5$ ($\phi \approx 60^\circ$). Με απλή λύση αντιστάθμισης είναι ο περιορισμός της άερηνος ισχύος στο δύο το φωτιστικό (ατομική αντιστάθμιση). Η τόπική αυτή βελτίωση του συντελεστή ισχύος στην τιμή περίπου $0,95$ γίνεται μέσω πυκνωτή που συνδέεται παράλληλα προς την παροχή (σ. 14.3.5.1-1).

-17-

Η σύνδεση του συγκροτήματος των παράλληλων πυκνωτών αντιστάθμισης γίνεται στην πλευρά της χαμηλής τάσης. Ενδείκνυται μάλιστα η αντιστάθμιση μέρους της αέργου ισχύος (περίπου η άφεργος ισχύς του μετασχηματιστή χωρίς φορτίο) να γίνεται στο δευτερεύον του μετασχηματιστή. Όι υπόλοιποι πυκνωτές αντιστάθμισης συνδέονται με αυτόματο σύστημα στους ζυγούς του γενικού πίνακα χαμηλής τάσης. Στον πίνακα 14.3.3.1-1 δίνονται, σύμφωνα με οδηγίες κατασκευαστών, ορισμένες τιμές πυκνωτών αντιστάθμισης σε υποσταθμούς.

| Συγκρότημα παράλληλων πυκνωτών | | |
|--------------------------------|---|--|
| KVA | μόνιμα στη χαμηλή τάση του μετασχηματιστή σε kVAR | στους συλλεκτικούς ζυγούς του γενικού πίνακα χαμηλής τάσης σε kVAR |
| 250 | 1 × 10 | 100 |
| 315 | 1 × 10 | 100 |
| 400 | 1 × 20 | 150 |
| 630 | 1 × 50 | 200 |
| 1000 | 1 × 70 | 300 |

Πίνακας 14.3.3.1-1 : κεντρική αντιστάθμιση σε υποσταθμούς μέσης τάσης.

14.3.3.2. Αυτόματη κεντρική αντιστάθμιση σε τριφασικές παροχές χαμηλής τάσης

Η τάξη μεγέθους του αυτόματου συγκροτήματος των παράλληλων πυκνωτών σε βιομηχανικές εγκαταστάσεις χαμηλής τάσης δίνεται στον πίνακα 14.3.3.2-1. Οι τιμές του πίνακα αυτού είναι εμπειρικές και γι' αυτό πρέπει να υπολογίζεται ο πυκνωτής αντιστάθμισης (παράγραφος 14.3.)

| ανομαστικό ρεύμα περίπου σε A | Αυτόματο σύστημα πυκνωτή αντιστάθμισης σε kVAR |
|-------------------------------|--|
| 100 | 60 |
| 160 | 80 |
| 200 | 100 |

Πίνακας 14.3.3.2-1 :

Κεντρική αντιστάθμιση σε τριφασικά φορτία χαμηλής τάσης

14.3.4. Ομαδική αντιστάθμιση

Η αντιστάθμιση αυτή γίνεται σε μία ομάδα επαγγελμάτων φορτίων, όπου υπάρχει το πρόβλημα αύξησης του cosφ, όπως π.χ. : σε έναν υποπίνακα φωτισμού (λόγω θωτιστικών φθορίσμού, που δεν έχουν τοποθετηθεί αντιστάθμισης), στον υποπίνακα κίνησης κάποιων κινητήρων που έχουν μικρό συντελεστή ισχύος κ.λ.π.

β) Με πλεκτρονικά συστήματα, τα οποία όμως μετονεκτούν έναντι της προηγούμενης μεθόδου ως πρός την ευαισθησία που διαθέτει ο κινητήρας.

Η απαιτούμενη ισχύς των πυκνωτών κεντρικής αντιστάθμισης σε μία βιομηχανική εγκαταστάση καθορίζεται με υπολογισμό του μέσου όρου tgφ_{1m} , μετά από μετρήσεις της ενέργειας (W_h) και της αέργου ενέργειας (W_b) επί πρκετές περιόδου:

$$\text{tgφ}_{1m} = W_b/W_h \quad (14.3.3-1)$$

Εποι, με την επιθυμητή τιμή cosφ υπολογίζεται η απαιτούμενη ισχύς P_c του συγκροτήματος των πυκνωτών από τη σχέση:

$$P_c = P_{h_m} (\text{tgφ}_{1m} - \text{tgφ}) \quad (14.3.3-2)$$

όπου P_{h_m} ο μέσος όρος της ενέργειας ισχύος.

Για μεγάλες εγκαταστάσεις γίνεται μία προσαύξηση της ενέργειας ισχύος κατά 10% έως 25%. Εποι, η ισχύς των πυκνωτών υπολογίζεται από τη σχέση:

$$P_c = 1,1 P_{h_m} (\text{tgφ}_{1m} - \text{tgφ}) \text{ έως } 1,25 P_{h_m} (\text{tgφ}_{1m} - \text{tgφ}) \quad (14.3.3-3)$$

Παραδειγματα

Σύμφωνα με τις ενδείξεις των μετρητών, για 200 ώρες λειτουργίας, είναι: $W_h = 10000 \text{ kWh}$ και $W_b = 1500 \text{ kVARh}$. Ζητείται η ισχύς του απαραίτητου πυκνωτή αντιστάθμισης, για επιθυμητό συντελεστή ισχύος cosφ = 0,85.

Δύση:

$$P_{h_m} = \frac{10000}{200} + 0,17 \frac{10000}{200} = 58,5 \text{ kW}$$

$$\text{tgφ}_{1m} = \frac{15000}{10000} = 1,5 \quad \text{και} \cosφ = 0,86.$$

Για $\cosφ_{1m} = 0,56$ και $\cosφ = 0,85$ είναι: $\text{tgφ}_{1m} - \text{tgφ} = 0,86$.

Από τη σχέση 14.3.3-2 έχουμε: $P_c = 58,5 \cdot 0,86 \approx 50 \text{ kVAR}$.

14.3.3.1. Κεντρική αυτόματη αντιστάθμιση στον υποσταθμό

μέσης τάσης

Η αέργος ισχύς στον υποσταθμό μέσης τάσης (20, 15 και 6,6 KV) είναι της τάξης:

* χωρίς φορτίο : 4% P_h έως 6% P_h

* με πλήρες φορτίο : 8% P_h έως 12% P_h

όπου P_h η ονομαστική ισχύς του μετασχηματιστή.

-145-

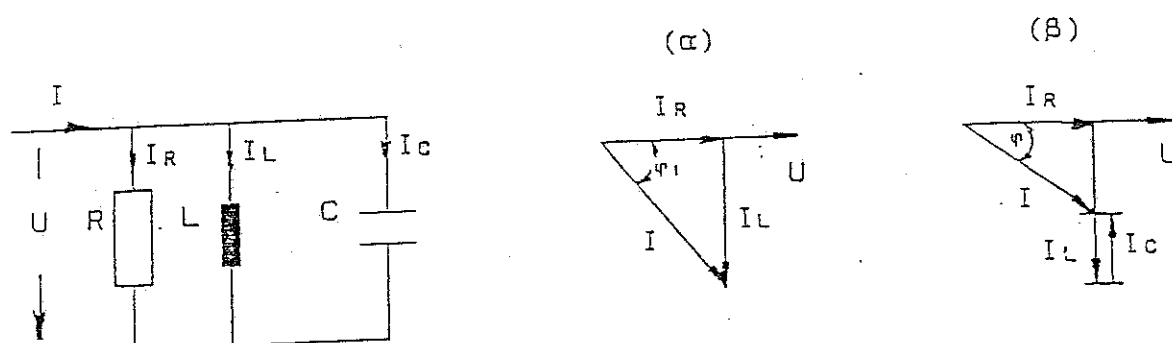
και επομένως η πτώση τάσης ΔU και η γωνία ψ γίνεται μικρότερη (για λόγους ευστάθειας της γραμμής $\psi < 20^\circ$). Κατά τον τρόπο αυτό δηλαδή, μεταφέρεται με ευστάθεια ($\psi < 20^\circ$) μεγαλύτερη ενέργεια (περιορίζεται η πτώση τάσης ΔU στα ανεκτά όρια).

14.3.2. Αντιστάθμιση με πυκνωτή παράλληλα συνδεδεμένο

προς το φορτίο

Η μέθοδος αυτή χρησιμεύει για τη βελτίωση του $\cos\phi$, στον καταναλωτή, ως κεντρική ή ομαδική αντιστάθμιση. Στο παρακάτω σχήμα παρατηρούμε, ότι ο επιευμπότος συντελεστής ισχύος ($\cos\phi$) επιτυχάνεται με αντιστάθμιση του επαγγελματος I_c από το χωροτικό I_c .

Η αντιστάθμιση του είδους αυτού σε βιομηχανικές εγκαταστάσεις επιτυχάνεται με ομάδα παράλληλων πυκνωτών (παράγρ. 14.3.3). Για το είδος της αντιστάθμισης αυτής ισχύουν (όπως φαίνεται από το παρακάτω σχήμα) οι σχέσεις 14.1-2, 14.2-2.



Σχήμα 14.3.2-1 : Προς επεξήγηση της αντιστάθμισης με παράλληλο πυκνωτή.

- R, L : επαγγελματικό φορτίο
- C : πυκνωτής αντιστάθμισης
- α) χωρίς αντιστάθμιση
- β) με αντιστάθμιση

14.3.3. Κεντρική αντιστάθμιση

Η κεντρική αντιστάθμιση γίνεται με αυτόματο σύστημα παράλληλων πυκνωτών, μέσω του οποίου επιτυχάνεται :

- 1) ζεύξη ανάλογου αριθμού πυκνωτών.
- 2) απόζευξη σε περίπτωση χωροτικής συμπεριφοράς του καταναλωτή κατά την αντιστάθμιση.

Η ζεύξη και η απόζευξη πυκνωτών, ανάλογα με την εκάστοτε απαιτούμενη αντιστάθμιση, γίνεται :

- a) Με ένα μικρό κινητήρας κατά τη μέθοδο FERRARI. Ανάλογα δηλαδή με την προπορεία της καθευδήσης του ρεύματος ως προς την τάση, στρέψεται ο κινητήρας δεξιά ή αριστερά (αλλάζει η θίξη).

ο συντελεστής :

$$K_a = \operatorname{tg} \varphi_1 - \operatorname{tg} \varphi \quad (14.2-3)$$

ονομάζεται συντελεστής αναπροσαρμογής.

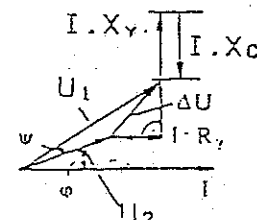
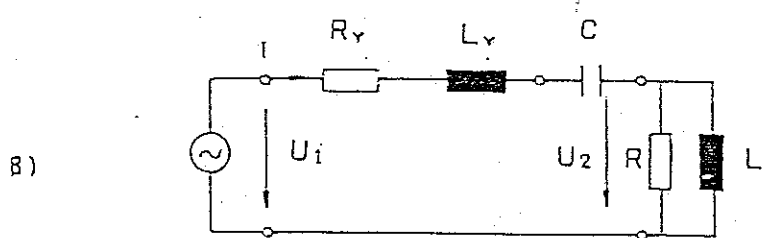
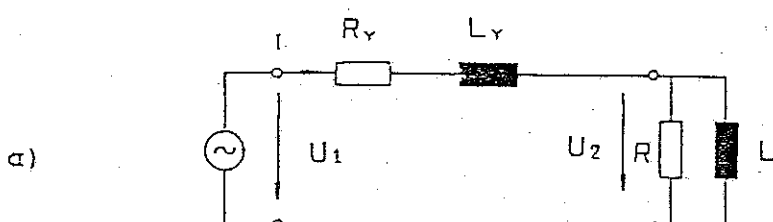
14.3. Είδη χωροτικής αντιστάθμισης

Η μείωση της αέργου ισχύος P_b με πυκνωτή αντιστάθμισης διακρίνεται :

1. ως πρός τον τρόπο σύνδεσης του πυκνωτή με το επιστραγικό φορτίο:
 - σύνδεση σε σειρά, και
 - σύνδεση παράλληλα
2. ως πρός την περιοχή σύνδεσης του πυκνωτή στο δίκτυο :
 - κεντρική αντιστάθμιση (στήν κεντρική πάροχη),
 - υμεδική αντιστάθμιση (σε επιμέρους παροχή, π.χ. στον υποπίνακα και φωτισμού, λόγω φωτιστικών φθορισμού), και
 - ατομική αντιστάθμιση (αντιστάθμιση για κάθε φορτίο ξεχωριστά, π.χ. στα φωτιστικά φθορισμού)

14.3.1. Αντιστάθμιση με πυκνωτή σε σειρά συνδεδεμένο με το φορτίο

Στην περίπτωση αυτή ο πυκνωτής διαρρέεται από το ίσχυρό ρεύμα της εγκατάστασης. Το είδος αυτό της αντιστάθμισης χρησιμεύει κυρίως στη σταθεροποίηση δικτύων μεταφοράς της ενέργειας (βλέπετε σχήμα 14.3.1-1), στη ρύθμιση μεταβολών της τάσης στο δίκτυο και τη διατήρηση της συμμετρίας σε φορτία με μεγάλες μεταβολές.



Σχήμα 14.3.1-1 : Προς επεξήγηση της χωροτικής αντιστάθμισης της γραμμής μεταφοράς (R_y, L_y).

- α) γραμμή μεταφοράς (R_y, L_y) χωρίς αντιστάθμιση.
- β) γραμμή μεταφοράς (R_y, L_y) με αντιστάθμιση.

Από τα διαγράμματα των τάσεων και εντάσεων παρατηθούμε ότι με τη σειρά σύνδεση του πυκνωτή C , μειώνεται η αέργος ισχύς της γραμμής

-143-

για αυτό και έχει καθιερώσει την ταρίφα :

(14.1-6)

$$\cos\varphi \geq 0,85$$

Για τιμές $\cos\varphi < 0,85$, ο καταναλωτής πληρώνει δηλαδή την μέργο ισχύ (κάτι που δεν τον συμφέρει) και για το λόγο αυτό είναι αναγκασμένος να βελτιώσει το $\cos\varphi$ της εγκατάστασής του. Το πολύκο:

(14.1-7)

$$K = \cos\varphi / \cos\varphi_1$$

(όπου $\cos\varphi_1$ ο μετρούμενος συντελεστής ισχύος σε έναν καταναλωτή) ανομάζεται συντελεστής προσαρμογής. Με το συντελεστή αυτό και το μέγιστο της ενεργού ισχύος του καταναλωτή (από την καταγραφή της ενεργού ισχύος για ένα μήνα) βρίσκεται η επιπλέον ισχύς, που πληρώνεται επιπρόσθετα στη Δ.Ε.Η..

Παραδειγματα

Από τη καταγραφική όργανη της Δ.Ε.Η. για την κατανάλωση ενός μήνα διαπιστώνεται: μέγιστο κατανάλωσης $1,20 \text{ kW}$ και $\cos\varphi_1 = 0,75$. Σητεί-ται η επιπλέον ισχύς που πληρώνεται στη Δ.Ε.Η..

Λύση:

* από την της Δ.Ε.Η.: $\cos\varphi \geq 0,85$

* συντελεστής προσαρμογής: $K = \cos\varphi / \cos\varphi_1 = 0,85 / 0,75 = 1,13$

$$* 120 \text{ kW} \cdot 1,13 = 135,6 \text{ kW}$$

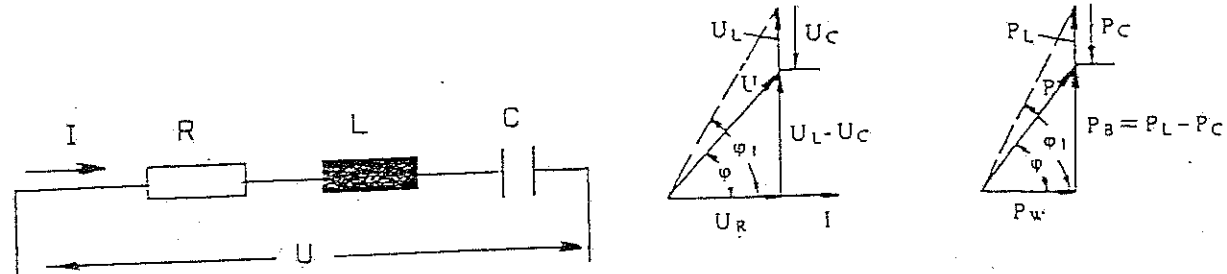
Ενώ καταγράφηκαν 120 kW , ο λογαριασμός της Δ.Ε.Η. γίνεται για $135,6 \text{ kW}$. Πληρώνεται δηλαδή λόγω κακού συντελεστή ισχύος η επιπλέον ισχύς των $15,6 \text{ kW}$.

14.2. Η βελτίωση του συντελεστή ισχύος

Η μέργος ισχύς P_B , που προέρχεται από τον επαγγελματικό χερακτήρα (R & L) του δικτύου του καταναλωτή, μπορεί να μειωθεί με τη σύνδεση πυκνωτών. Πράγματι, λόγω του πυκνωτή C (σχήμα 14.2-1) η τάση U_C στην πυκνωτή C επομένως της μέργος ισχύος παίρνει τη μικρότερη τιμή (σχήμα 14.2-1):

(14.2-1)

$$P_B = P_L - P_C$$



Σχήμα 14.2-1 : Επεξήγηση της χωρητικής αντιστάσεων

Με τη σε σειρά σύνδεση δηλαδή του πυκνωτή C ξύλινε καλύτερη εκμετάλλευση του δικτύου (αύξηση της ενεργού ισχύος). Η απαιτούμενη ισχύς του πυκνωτή C , για τη μείωση της μέργος ισχύος στην τιμή P_B , έιναι:

$$P_C = P_L - P_B = P_M (\cos\varphi_1 - \cos\varphi)$$

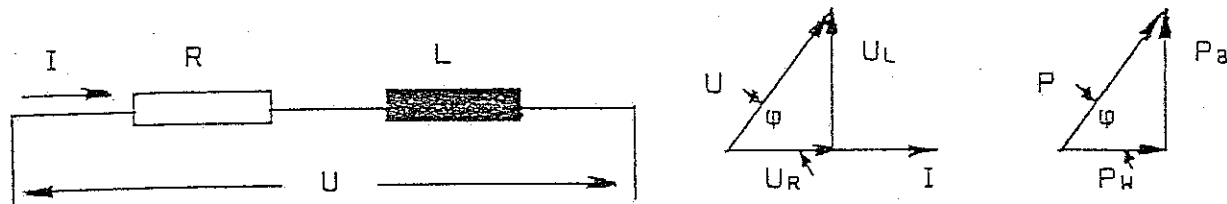
(14.2-2)

14. Χωροτική αντίσταμετη

14.1. Η σημασία του συντελεστή ισχύος

Με αυτούς βιομηχανική πλεκτρική εγκατάσταση είναι (λόγω του υποσταθμού μέσոς τάσης των κινητήρων, των φωτιστικών φεορίσμού κ.λ.π.), ένα επαγγελματικό φορτίο.

Αν θεωρήσουμε ότι το ισοδύναμο κύκλωμα ανά φάση του παραπάνω δικτύου είναι η αμική αντίσταση R και η αυτεπαγγή L (σχήμα 14.1-1), τότε η συνολική ισχύς P δίνεται από την ενεργό P_W και την άνεργη ισχύ P_B (σχέση 14.1-1).



Σχήμα 14.1-1 : Συντελεστή ισχύος (cosφ) μέσας εγκατάστασης.

$$P = \sqrt{P_W^2 + P_B^2} \quad (14.1-1)$$

Από το διάγραμμα των ισχύων του παραπάνω σχήματος έχουμε :

$$P_W = P \cos\phi \quad \text{σε kW} \quad (14.1-2)$$

$$P_B = P \sin\phi \quad \text{σε kVAR} \quad (14.1-3)$$

και

$$\tan\phi = P_B/P_W \quad (14.1-4)$$

Από τη σχέση 14.1-2 παρατηρούμε ότι η τιμή του συντημετόνου της φασικής γωνίας φέρει σημασία για το μέγεθος της απορροφημένης ισχύος P_W . Οσο επαγγελματικό δηλαδή είναι το φορτίο τόσο μειώνεται το cosφ και η ενεργός ισχύς P_W γίνεται μικρότερη. Η μείωση αυτή θέμας της ενεργού ισχύος έχει σαν αποτέλεσμα, λόγω των σταθερών τιμών τάσης και cosφ, της αύξησης της τιμής του ρεύματος προς κάλυψη των αναγκών, που έχει σαν επακόλουθο την υπερθέρμανση της γραμμής μεταφοράς. Στη Δ.Ε.Η. πληρώνεται θέμας η ενέργεια :

$$W = \int_{t_1}^{t_2} P_W(t) dt \quad (14.1-5)$$

Αυτό σημαίνει ότι η Δ.Ε.Η. ζημιούται, λόγω του κεκού συντελεστή ισχύος cosφ, αφού παράγει ενέργεια P (σχέση 14.1-1) και πληρώνεται για τη μικρότερη P_W (σχέση 14.1-2). Εποι είναι υποχρεωμένη να επιβάλλει στους καταναλωτές την βελτίωση του cosφ.

-141-

$$X_{ht} = \frac{u_b^2}{100 P_N} \quad \text{σε } \Omega/\text{φάση} \quad (13.3.4-4)$$

όπου : u_b η σχετική αμική τάση βραχυκύλωσης σε % ,
 u_b η σχετική επιφαγματική τάση βραχυκύλωσης σε % ,
 $U_{0.4}$ σε V (400 V) , και
 P_N η ονομαστική ισχύς του μετασχηματιστή σε kVA.

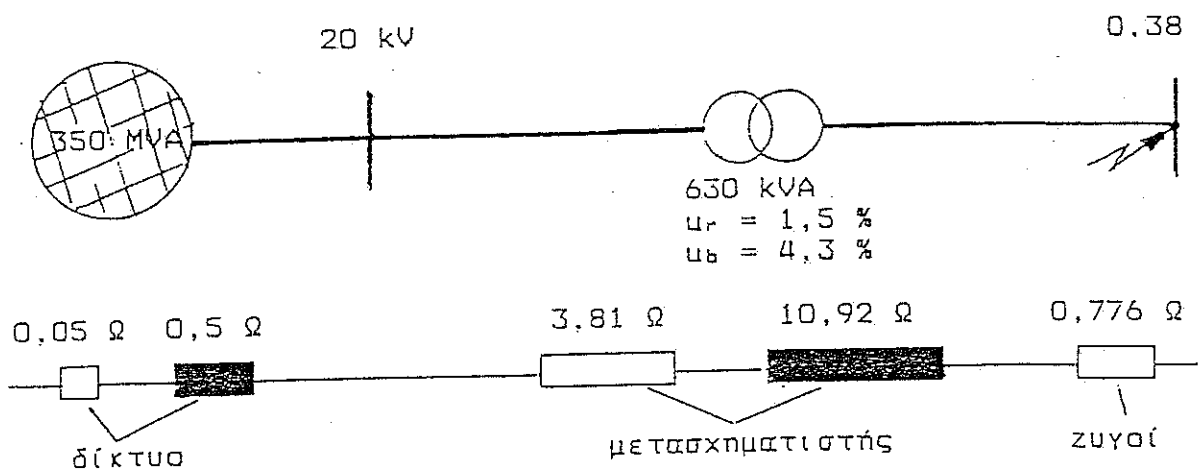
3. Αντίσταση των ζυγών ανά φάση

$$R = \frac{L}{\sigma A} 10^3 \quad \text{σε } \Omega/\text{φάση} \quad (13.3.4-5)$$

όπου : L το μήκος σε m ,
 A η διετομή σε mm^2 και
ση ειδική σγαγιμότητα σε $\Omega/\text{m} \text{ mm}^2$
(για χαλκό $56 \Omega/\text{m} \text{ mm}^2$ και για αλουμίνιο $34,8 \Omega/\text{m} \text{ mm}^2$)

Παράδειγμα

Γιά αντίσταση των ζυγών $0,776 \Omega$ (στη μέση και χαμηλή τάση) υπόλοι-
γίζεται από τις παραπάνω σχέσεις το ισοδύναμο κύκλωμα των αντί-
στάσεων.



Η συνολική αντίσταση είναι :

$$Z_{eq} = \sqrt{4,64^2 + 11,42^2} = 12,33 \quad \Omega/\text{φάση}$$

Γιά εναλλασσόμενο τμήμα του ρεύματος βραχυκύλωσης έχουμε επόμενα:

$$I_{sw} = \frac{1,1 U_{0.38}}{\sqrt{3} Z_{eq}} = \frac{1,1 \cdot 380}{\sqrt{3} \cdot 0.01233} = 19600 \text{ A} = 19,6 \text{ kA}$$

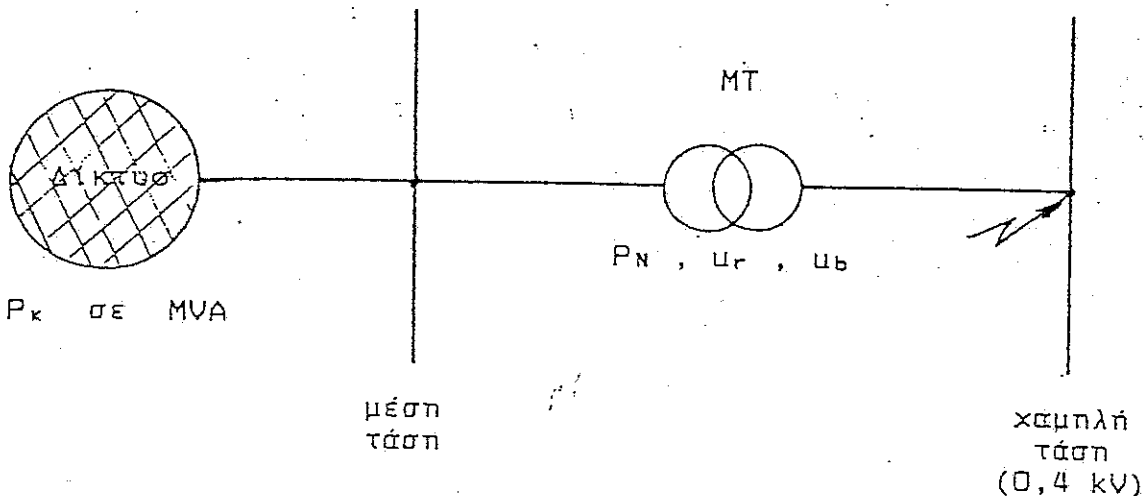
Περιστοποση:

Με τον προσεγγιστικό υπολογισμό κατά τη σχέση 10.6-1 έχουμε:

$$I_N = \frac{630}{700} \approx 0.96 \text{ kA} \quad \text{και} \quad I_{sw} < \frac{100 \cdot 0.96}{4.3} \approx 22,3 \text{ kA.}$$

φοδοτούνται ακολούθως οι κάταναλωτές χαμπλής τάσης. Οι πίνακες αυτοί της Δ.Ε.Η. και ο γενικός πίνακας χαμπλής τάσης του ιδιωτικού υποσταθμού υπολογίζονται με βάση την πιθανή εκδήλωση τριφασικού βραχυκυκλώματος. Ο υπολογισμός γίνεται με τις σύνθετες αντιστάσεις. Οι υπολογιζόμενες τιμές είναι μεγαλύτερες από τις μετρούμενες, γιατί δεν λαμβάνονται υπ' όψη οι αντιστάσεις διάβασης στις επιφέσεις των διακοπών και των ασφαλειοθηκών.

Ενας απλοποιημένος υπολογισμός μπορεί να γίνει ως ακολούθως (σχήμα 13.3.4-2) :



Σχήμα 13.3.4-2 : Απλοποιημένη παράσταση της διαδρομής του ρεύματος βραχυκύκλωσης στο γενικό πίνακα χαμπλής τάσης ενός υποσταθμού.

1. Αντιστάσεις του δικτύου

α) Επαγγεική αντίδραση του δικτύου ανά φάση (X_d) :

$$X_d = \frac{2}{1,1 U_{0,4} 10} = \frac{176}{P_k} \text{ σε } \Omega/\text{φάση} \quad (13.3.4-1)$$

όπου P_k η ταχύς βραχυκύκλωσης του δικτύου σε MVA και $U_{0,4} = 0,4$ kV.

β) Ωμική αντίσταση ανά φάση :

$$R_d \approx 0,1 X_d \text{ σε } \Omega/\text{φάση} \quad (13.3.4-2)$$

2. Αντιστάσεις του μεταχυποτιστή

Από τον ορισμό της σχετικής τάσης βραχυκύκλωσης έχουμε :

$$R_{MT} = \frac{2}{100 P_N} \text{ σε } \Omega/\text{φάση} \quad (13.3.4-3)$$

-139-

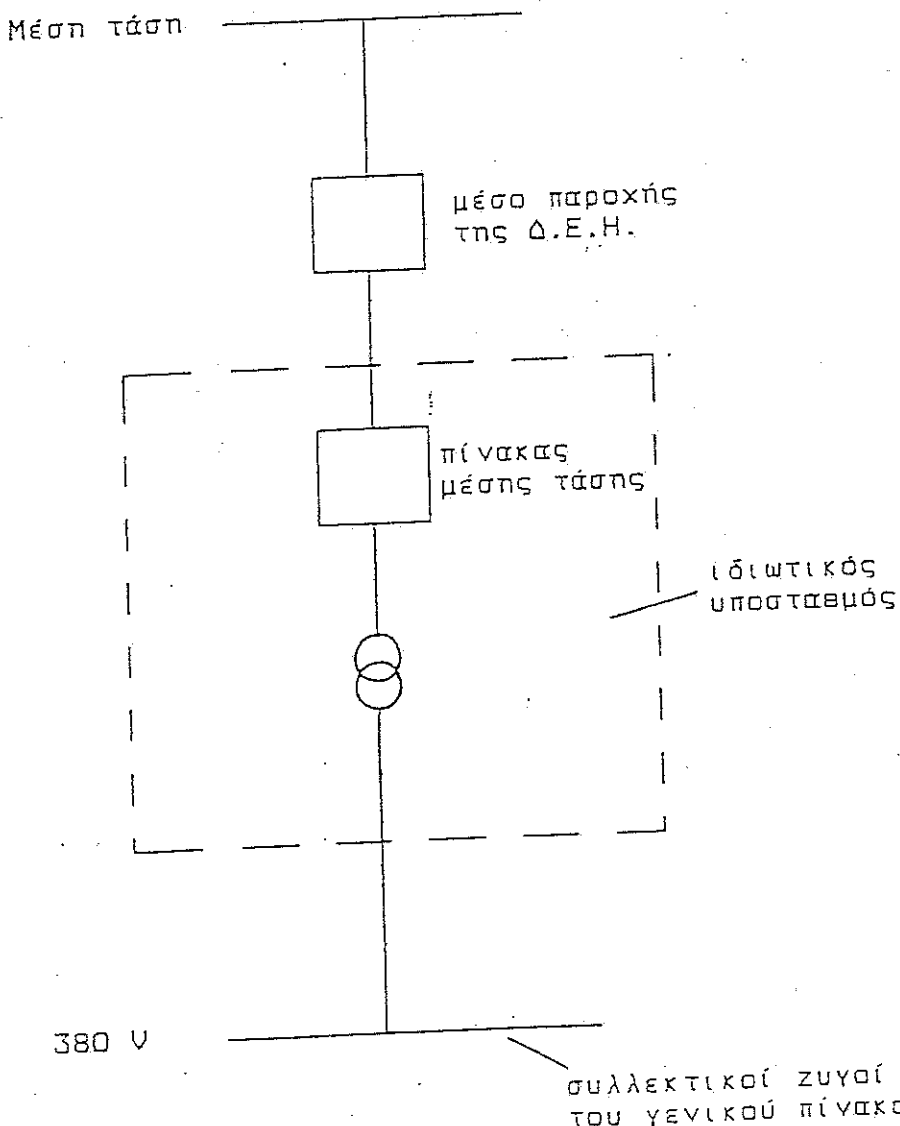
Για $C_p = 0,24 \text{ kcal/kg}^{\circ}\text{C} = 10^3 \text{ Ws/kg}^{\circ}\text{C}$ και $\rho = 1,1 \text{ kg/m}^3$ έχουμε :

$$V = 0,9 \frac{P_{Fe} + P_{Cu}}{\Delta \theta} \quad \text{σε } m^3 / s \quad (13.3.3-4)$$

όπου $P_{Fe} + P_{Cu}$ σε kW και $\Delta \theta$ σε $^{\circ}\text{C}$.

13.3.4. Υπολογισμός του γενικού πίνακα χαμηλής τάσης

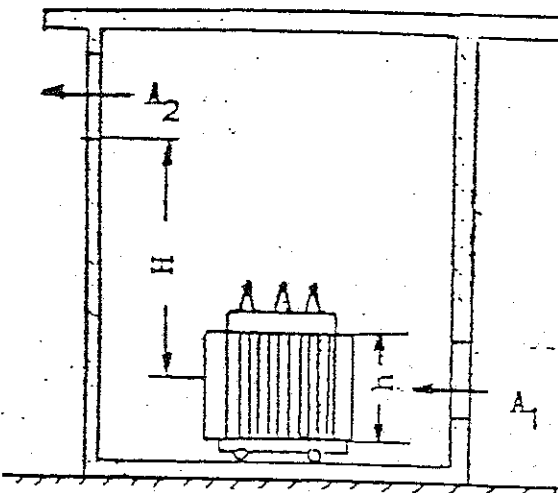
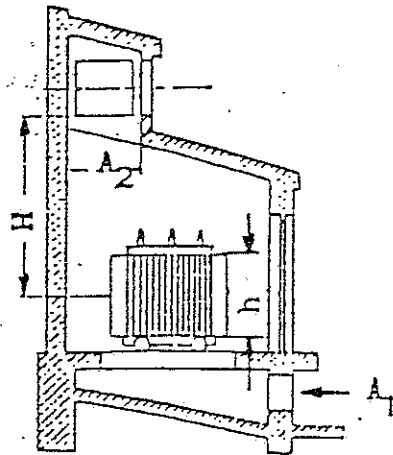
Ο μετασχηματιστής του ιδιωτικού υποσταθμού τροφοδοτεί κατά κανόνα τον γενικό πίνακα χαμηλής τάσης (σχήμα 13.3.4-1) . Οταν ο μετασχηματιστής ανήκει στο δίκτυο της Δ.Ε.Η τότε η παροχή γίνεται προς τον πίνακα χαμηλής τάσης της Δ.Ε.Η (πίνακες 8 ή 6 , κ.λ.π προς την ισχύ του μετασχηματιστή) από όπου τρόπος ανάχωρήσεων , ανάλογα με την ισχύ του μετασχηματιστή)



Σχήμα 13.3.4-1 : Απλοποιημένο σχέδιο της παροχής τάσης ενός ιδιωτικού υποσταθμού μέσης τάσης

-130-

Τα ανοίγματα αερισμού A_1 και A_2 (σχήμα 13.3.3-2) υπολογίζονται από τις απώλειες χαλκού (P_{Cu}) και τις απώλειες σιδήρου (P_{Fe}) του μετασχηματιστή (πίνακας 13.3.1-1). Ο υπολογισμός αυτός



Σχήμα 13.3.3-2 : Παραδείγματα αερισμού του χώρου του μετασχηματιστή.
($h \approx 1,2 \text{ m}$).

μπορεί να γίνει προσεγγιστικά με τις σχέσεις :

$$A_2 = 0,19 (P_{Fe} + P_{Cu}) / H \quad \text{σε } \text{m}^2 \quad (13.3.3-1)$$

και

$$A_1 = 0,92 A_2 \quad \text{σε } \text{m}^2 \quad (13.3.3-2)$$

όπου H η απόσταση σε π από το μέσο περίπου του διαχείου του μετασχηματιστή μέχρι το άνοιγμα αερισμού A_2 .

Παραδείγμα

Για ένα μετασχηματιστή 400 kVA και $H = 2 \text{ m}$ έχουμε :

$$P_{Fe} + P_{Cu} = 7300 \text{ W}$$

$$A_2 = 0,19 \cdot 7,3 / 2 \approx 0,7 \text{ m}^2$$

$$A_1 = 0,92 \cdot 0,7 \approx 0,65 \text{ m}^2$$

Σε πεοπτώση τεχνητού αερισμού του χώρου του μετασχηματιστή ο υπολογισμός του ανεμιστήρα γίνεται με βάση τον όγκο του αέρα V :

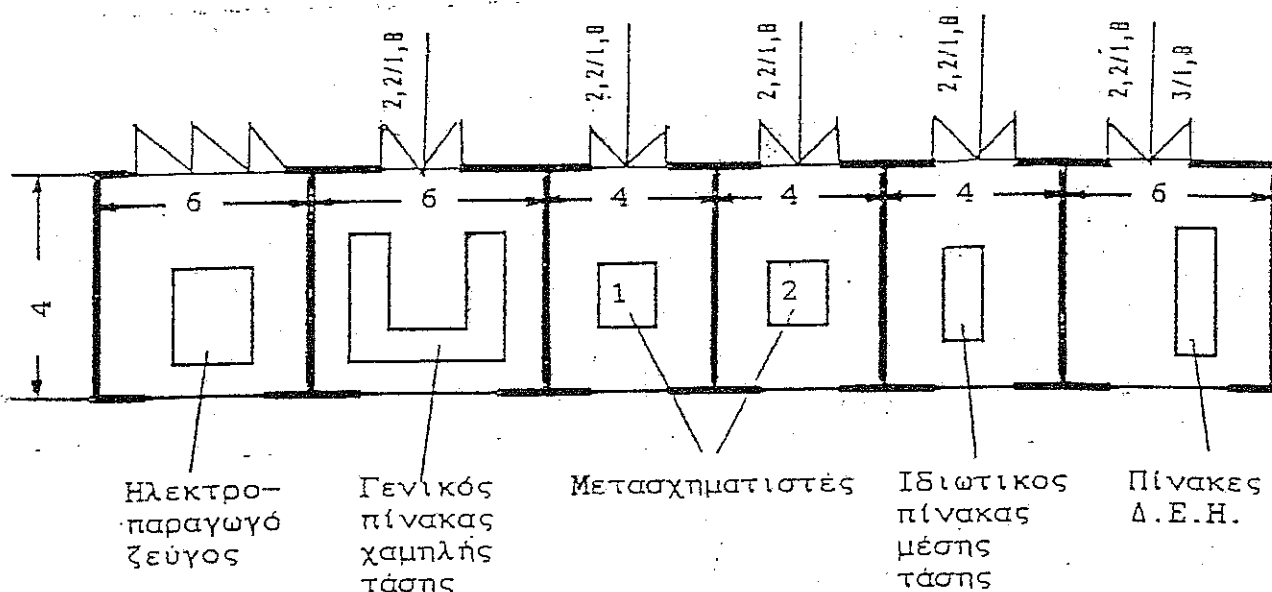
$$V = \frac{P_{Fe} + P_{Cu}}{\rho C_p \Delta \theta} \quad (13.3.3-3)$$

όπου ρ η ειδική μάζα του αέρα . Σο η ειδική θερμότητα του αέρα υπό σταθερό όγκο και $\Delta \theta$ η διαφορά θερμοκρασίας.

13.3.3. Διαστάσεις χώρων σε υποσταθμούς

Οι χώροι, που θα απαιτηθούν σε έναν υποσταθμό εξαρτώνται από το είδος παροχής (βλέπετε παράγραφο 9.2). Σε περίπτωση παροχής από συγκρότημα -πίνακες της Δ.Ε.Η απαιτείται η διάθεση χώρου για τους πίνακες αυτούς, που πρέπει να αυτοποκρίνεται στις υποδείξεις της (υπάρχει ειδικό σχέδιο που δίνεται από τη Δ.Ε.Η.). Στο παρακάτω σχήμα δίνεται μία ενδεικτική κάτοψη των χώρων πλεκτροδότησης ενός καταναλωτή μέσης τάσης. Πρόκειται για ένα παράδειγμα πλεκτροστάσιου, το οποίο περιλαμβάνεται :

- 1) τον υποσταθμό μέσης τάσης (πίνακες της Δ.Ε.Η, πίνακας μέσης τάσης του ιδιωτικού υποσταθμού και δύο μετασχηματιστές μέσης τάσης του ιδιωτικού υποσταθμού).
- 2) τον γενικό πίνακα χαμηλής τάσης (σε ειδικό χώρο).
- 3) το πλεκτροπαραγγό ζεύγος (σε ειδικό χώρο)



Σχήμα 13.3.3-1 : Ενδεικτική κάτοψη των χώρων του πλεκτροστάσιου σε ένα καταναλωτή μέσης τάσης

Περιποτήσεις :

- 1) Οι διαστάσεις στο σχέδιο είναι σε m.
- 2) Όλες οι πόρτες είναι μεταλλικές και ανοίγουν προς τα έξω.
- 3) Διαστάσεις πόρτας στους χώρους της Δ.Ε.Η. κατόπιν συνεννόησης ($2,2/1,8$ m ή $3/1,8$ m).
- 4) Διαστάσεις πόρτας του χώρου του πλεκτροπαραγγόυ ζεύγους ανάλογα με την ισχύ του (συνήθως $2,2/1,8$ m).
- 5) Επιευνητό ύψος των χώρων : 5 m. Το ύψος μπορεί να είναι μικρότερο από 5 m όταν δεν μπορείται από αυτό προβλήματα αποστάσεων προστασίας και αερισμού.

$$Z_{k1} = \frac{U_{k1}}{I_{N1}} \quad (13.3.2-1)$$

όπου U_{k1} π ο τάση βραχυκύλωσης και I_{N1} το ονομαστικό ρεύμα του MT₁. Γιά την αντίσταση βραχυκύλωσης Z_{k2} του μετασχηματιστή MT₂ ισχύει αντίστοιχα:

$$Z_{k2} = \frac{U_{k2}}{I_{N2}} \quad (13.3.2-2)$$

όπου U_{k2} η τάση βραχυκύλωσης και I_{N2} το ονομαστικό ρεύμα του MT₂. Η πτώση τάσης ΔU είναι επομένως:

$$\Delta U = \frac{U_{k1}}{I_{N1}} I_1 = \frac{U_{k2}}{I_{N2}} I_2 \quad (13.3.2-3)$$

Διειρούμε και τη δύο μέλη της παραπάνω σχέσης με την ονομαστική τάση U_k , οπότε έχουμε:

$$U_{k1} \frac{I_1}{I_{N1}} = U_{k2} \frac{I_2}{I_{N2}} \quad (13.3.2-4)$$

Γιά την ολική ισχύ P των δύο μετασχηματιστών και την ολική σχετική τάση βραχυκύλωσης u_k έχουμε:

$$\frac{P}{u_k} = \frac{P_1}{U_{k1}} + \frac{P_2}{U_{k2}} \quad (13.3.2-5)$$

Από την παραπάνω σχέση έπειτα θτι:

$$\frac{1260}{u_k} = \frac{630}{5,2} + \frac{630}{4,5} \quad (13.3.2-6)$$

$$\hat{u}_k = 4,825 \% \quad (13.3.2-7)$$

Επομένως, η ισχύς του μετασχηματιστή MT₁ είναι στην πραγματικότητα:

$$P_1' = \frac{P_1 u_k}{U_{k1}} = \frac{630 \cdot 4,825}{5,2} = 584,6 \text{ kVA} \quad (13.3.2-8)$$

και η ισχύς του μετασχηματιστή MT₂ αντίστοιχα:

$$P_2' = \frac{P_2 u_k}{U_{k2}} = \frac{630 \cdot 4,825}{4,5} = 675,5 \text{ kVA} \quad (13.3.2-9)$$

Παρατηθούμε, στις ο μετασχηματιστής με την μικρότερη σχετική τάση βραχυκύλωσης καταπονείται περισσότερο.

σης, που είναι ρευματοδότες. Με βάση την ισχύ αυτή επιλέγεται το κατάλληλο τυποποιημένο μέγεθος μετασχηματιστή (πληκτρ. 13.3.1-1).

13.3.2. Παραλληλισμός μετασχηματιστών

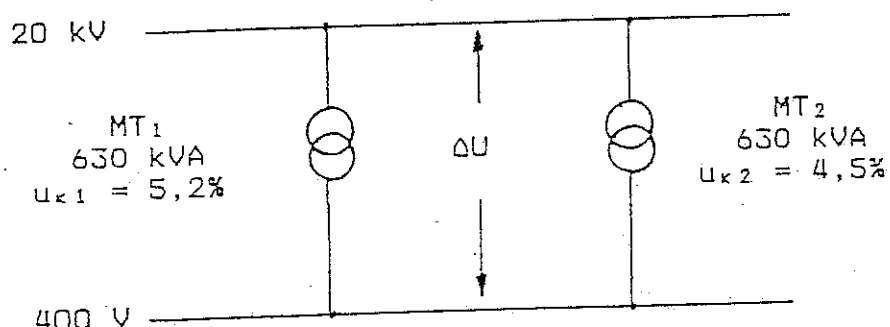
Ο παραλληλισμός των μετασχηματιστών εφαρμόζεται για την αύξηση της ισχύος σε υπάρχοντες υποσταθμούς, ή ως εφεδρική λύση ρευματοδότησης (κυρίως σε νησοκομεία).

Στόν παραλληλισμό των μετασχηματιστών πρέπει να λαμβάνονται οπωσδήποτε υπ' όψη οι " συνθήκες παραλληλισμού ", δηλαδή οι μετα- μεταποντικές για έχουν :

- μετασχηματίσεις να έχουν πρωτεύοντος και δευτερεύοντος (δια σχέση
 1) Την (δια τάση πρωτεύοντος και δευτερεύοντος (δια σχέση
 μετασχηματισμού).
 2) Την (δια ομάδα ζεύξης.
 3) Την (δια ακολουθία φάσεων.
 4) Την (δια σχετική τάση βραχυκύκλωσης (με ανοχή τα πολύ ± 10 %
 κατά VDE 0532).

5) Ανοχή στην (σχύ (κατά VDE 0532) 1:3.

Σ) Ανοχή στην τροχιασμό των παραπάνω συνθηκών. Είναι αποτέλεσμα, στο παραπάνω σχήμα εξετάζεται ένα παράδειγμα για το αποτέλεσμα, που έχει η διαφορετική τιμή της σχετικής τάσης βραχυκύλωσης, κατά την παραπλλοισμό δύο μετασχηματιστών.



Σχήμα 13.3.2-1 : Παράδειγμα παραλληλισμού μετασχηματιστών
με διαφωρετική σχετική τάση βραχυκύκλωσης

Η αντίσταση βραχυκλωσης ζει του μετασχηματιστή ΜΤ: οί γετει σάρτην σχέσην:

13.2.3. Οι αποστάσεις μόνωσης και προστασίας

Οταν γίνει η επιλογή του κατάλληλου πλεκτρολογικού εξοπλισμού μέσης τάσης (διακόπτες, μονωτήρες κ.λ.π.), καθώς και του υπόλοιπου βιοηπτικού εξοπλισμού χαμηλής τάσης (πλεκτρονόμοι, όργανα μέτρησης κ.λ.π), τότε σχεδιάζεται (με βαση τις διαστάσεις του παραπάνω εξοπλισμού και την ελάχιστη απόσταση μόνωσης και προστασίας κατά τον πίνακα 12-2), η μεταλλική κατασκευή του πίνακα.
Η ελάχιστη απόσταση μόνωσης για ονομαστική τάση 20 kV είναι 18 cm.
Για ονομαστική τάση 15 kV η ελάχιστη απόσταση μόνωσης είναι περίπου 16,5 cm και για ονομαστική τάση 6,6 kV περίπου 11,5 cm.

Γιά τη μείωση του κόστους σε μία παραγωγική διαδικασία πινάκων κατασκευάζεται αρχικά ένα δείγμα. Εποι, από τη διεξαγωγή των διπλεκτρικών δοκιμών στο δείγμα αυτό, μπορούν να καθοριστούν οι τελικές διαστάσεις του πίνακα.
Σε μεμονωμένες κατασκευές κρίνεται σκόπιμο να επιλέγονται αποστάσεις προστασίας και μόνωσης μεγαλύτερες από τις τιμές που δίνονται στον πίνακα 12-2, ώστε να εξασφαλίζεται με τον τρόπο αυτό η απαιτούμενη διπλεκτρική αντοχή του πίνακα.

13.3. Υπολογισμός του υποσταθμού μέσης τάσης

13.3.1. Η επιλογή του μετασχηματιστή

Η ονομαστική ισχύς του μετασχηματιστή υπολογίζεται από το σύροισμα των πλεκτρικών φορτίων φωτισμού και κίνησης της εγκατάστα-

| Ονομαστική ισχύς μετασχηματιστή σε kVA | Απώλειεις χαλκού σε W | Απώλειεις σιδήρου σε W | Σχετική τάση βραχυκύκλωσης |
|--|-----------------------|------------------------|----------------------------|
| 250 | 4450 | 610 | |
| 315 | 5400 | 720 | |
| 400 | 6450 | 850 | |
| 500 | 7800 | 1000 | |
| 630 | 9300 | 1200 | περίπου 4 έως 6 % |
| 800 | 11000 | 1450 | |
| 1000 | 13500 | 1750 | |

Πίνακας 13.3.1-1 : Τέξη μεγέθους των απώλειών χαλκού και σιδήρου καθώς και της σχετικής τάσης βραχυκύκλωσης σε τυποποιημένους μετασχηματιστές μέσης τάσης.

-133-

(13.2.2-2)

$I_d = 4 \text{ A}$

Παράδειγμα

Μετασχηματιστής υποσταθμού 20 kV / 630 kVA :
Ονομαστικό ρεύμα $I_N = P_N / \sqrt{3} \cdot U_N = 18,2 \text{ A}$. Επομένως:

- ασφάλειες υποσταθμού 25 A.
- ασφάλειες δικτύου : 40 A.

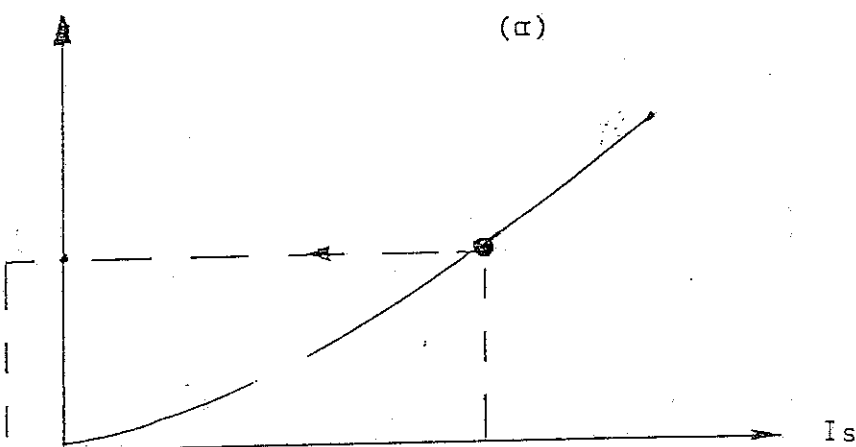
Εκτός από τη παραπάνω προβλόθεση, η επιλογή των ασφαλειών γίνεται με βάση δύο διαγράμματα :

a) το διάγραμμα $I_a = f(I_s)$ κατά το σχήμα 13.2.2-1,α , έτσι ώστε να προστατεύουν οι ασφάλειες από το κρουστικό ρεύμα βραχυκύλωσης,

b) το διάγραμμα $I_a = f(\Delta t)$ της Δ.Ε.Η. , σύμφωνα με το οποίο ο χρόνος τίξης Δt των ασφαλειών του ιδιωτικού υποσταθμού πρέπει να βρίσκεται στην περιοχή κάτω της χαρακτηριστικής αυτής, όπως και εορίζεται στο σχήμα 13.2.2-1,β ως " περιοχή ιδιωτικού υποσταθμού ".

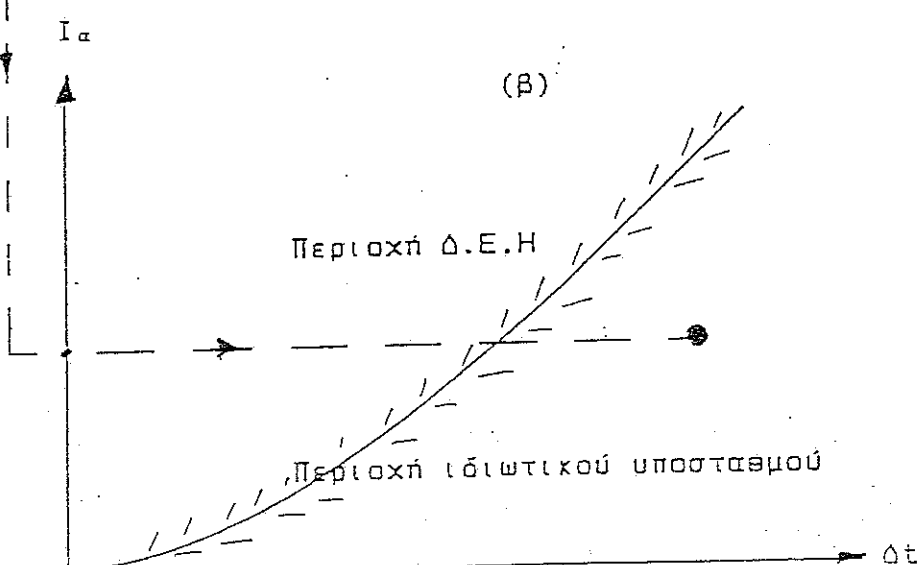
α) I_a

(α)



β) I_a

(β)



Σχήμα 13.2.2-1 : Χαρακτηριστικές επιλογής των ασφαλειών μέσης τάσης

| Διαμέτρος mm | Βάρος | | Ονομαστικό ρεύμα | |
|-----------------|--------|-----------|------------------|-----------|
| | χαλκός | αλουμίνιο | A | αλουμίνιο |
| 6 | 0,254 | 0,076 | 125 | 65 |
| 8 | 0,447 | 0,136 | 160 | - |
| 10 | 0,699 | 0,212 | 250 | 200 |
| 16 | 1,789 | 0,543 | 480 | 380 |
| 20 | 2,796 | 0,860 | 640 | 500 |
| 30 | 6,291 | 1,910 | 1100 | 870 |

Πίνακας 13.1-5 : Ζυγοί κυκλικής διατομής κατά DIN για εναλλασσόμενη τάση 40 έως 50 Hz και θερμοκρασία χώρου 30 °C.
Γιά μεγαλύτερες θερμοκρασίες και συχνότητες ισχύουν τα αναφερόμενα στους προηγούμενους πίνακες (13.1-1 έως 13.1-4)

13.2. Επιλογή του εξοπλισμού μέσης τάσης και αποστάσεις μόνωσης σε πίνακες υποσταθμών μέσης τάσης

13.2.1. Η επιλογή των διακοπών

Η επιλογή των διακοπών γίνεται κυρίως με βάση τα ονομαστικά στοιχεία τους (ονομαστική τάση και ονομαστικό ρεύμα) και την αυτοχή τους κατά το βραχυκύκλωμα. Στην περίπτωση των διακοπών ισχύει ενδιαφέρουν ίδιαίτερα το ρεύμα διακοπής (σχέση 10.4-1) και η ισχύς διακοπής (σχέση 10.4-2). Η αξιοπιστία της κατασκευής πρέπει να εναρμονίζεται με τα αναφερόμενα στις παραγράφους 12 και 12.2.

13.2.2. Η επιλογή των ασφαλειών

Είναι ασφαλειες περιορισμού της έντασης, τύπου εκτόνωσης, που αποσκοπούν στην προστασία από το ρεύμα βραχυκύκλωσης. Το ρεύμα διακοπής και η ισχύς διακοπής δίνονται αντίστοιχα από τις σχέσεις 10.4-1 και 10.4-2.
Οι ονομαστικές τιμές των ασφαλειών είναι τυποποιημένες (6, 10, 15, 22, 25, 35, 40, 63 και 100 A).

Γιά την επιλογή του ονομαστικού ρεύματος Ινα των ασφαλειών σε διεωθικούς υποσταθμούς ισχύει :

$$I_{In} = (1.6 \text{ έως } 2) I_n \quad (13.2.2-1)$$

όπου I_n το ονομαστικό ρεύμα στη μέση τάση.
Οι ασφαλειες του δικτύου της πόλης επιλέγονται σε μεγαλύτερη ονομαστική τιμή I_n :

| πλάτος x πάχος mmxmm | Βάρος kp/m | Ονομαστικό ρεύμα | | | | Ροπή αντίστασης (W) και ροπή αδράνειας (J) | | | |
|-----------------------------------|-------------------|---------------------------------|------|----------------------------|------|---|--------|--------|--------|
| | | ζυγοί (*) κατεργα- σμένοι | | ζυγοί ακατέργα- στοι | | W | J | W | J |
| | | αριθμός ζυγών | | | | | | | |
| 40x10 | 1,08 | 1650 | 2250 | 1350 | 1800 | 2,666 | 5,333 | 0,666 | 0,333 |
| 50x5 | 0,675 | 1400 | 1850 | 1120 | 1500 | 2,080 | 5,200 | 0,208 | 0,052 |
| 50x10 | 1,35 | 1960 | 2660 | 1600 | 2160 | 4,160 | 10,400 | 0,833 | 0,416 |
| 60x5 | 0,810 | 1580 | 2120 | 1300 | 1730 | 3,000 | 9,000 | 0,250 | 0,063 |
| 60x10 | 1,62 | 2230 | 3040 | 1850 | 2500 | 6,000 | 18,000 | 1,000 | 0,500 |
| 80x5 | 1,08 | 1950 | 2600 | 1650 | 2130 | 5,333 | 21,330 | 0,333 | 0,0833 |
| 80x10 | 2,16 | 2760 | 3680 | 2300 | 3100 | 10,660 | 42,600 | 1,333 | 0,666 |
| 100x5 | 1,35 | 2350 | 3000 | 2000 | 2500 | 8,333 | 41,660 | 0,4166 | 0,104 |
| 100x10 | 2,7 | 3200 | 4300 | 2700 | 3700 | 16,660 | 83,300 | 1,666 | 0,833 |

Πίνακας 13.1-4 : Ζυγοί ορθογωνικής διατομής κατά DIN από πλουμίνιο
για εναλλασσόμενη τάση 40 έως 60 Hz.

Θερμοκρασία χώρου 30 °C.

(*) : επιμετάλλωση που διευκολύνει την απαγωγή
της θερμότητας.

Για θερμοκρασία θ > 30 °C λαμβάνεται η σχέση :

$$I_\theta = I \sqrt{\theta / 30} \quad (\text{όπου } I \text{ οι τιμές του πίνακα})$$

Για μεγαλύτερες συχνότητες λαμβάνεται η σχέση :

$$I_f = I \sqrt{50 / f} \quad (\text{όπου } I \text{ οι τιμές του πίνακα
και } f \text{ η συχνότητα})$$

| πλάτος x πέχος mmxmm | βά- ρος kp/m | Ονομαστικό ρεύμα | | | | Ροπή αυτ(στασης (W) και ροπή αδράνειας (J) | | | |
|-----------------------------------|------------------------|---------------------------------|-------------|----------------------------|------|---|----------------------|----------------------|----------------------|
| | | ζυγοί (*) κατεργα- σμένοι | | ζυγοί ακατέργα- στοι | | W cm ³ | J cm ⁴ | W cm ³ | J cm ⁴ |
| | | αριθμ.ζυγών | αριθμ.ζυγών | 3 | 4 | | | | |
| 40x10 | 3,56 | 2060 | 2800 | 1850 | 2500 | 2,666 | 5,333 | 0,666 | 0,333 |
| 50x5 | 2,23 | 1750 | 2310 | 1550 | 2100 | 2,080 | 5,200 | 0,208 | 0,052 |
| 50x10 | 4,45 | 2450 | 3330 | 2200 | 3000 | 4,160 | 10,400 | 0,833 | 0,416 |
| 60x5 | 2,67 | 1980 | 2650 | 1800 | 2400 | 3,000 | 9,000 | 0,250 | 0,063 |
| 60x10 | 5,34 | 2800 | 3800 | 2500 | 3400 | 6,000 | 18,000 | 1,000 | 0,500 |
| 80x5 | 3,56 | 2450 | 3300 | 2200 | 2900 | 5,333 | 21,330 | 0,333 | 0,0833 |
| 80x10 | 7,12 | 3450 | 4600 | 3100 | 4200 | 10,660 | 42,600 | 1,333 | 0,666 |
| 100x5 | 4,45 | 2950 | 3800 | 2600 | 3400 | 8,333 | 41,660 | 0,4166 | 0,104 |
| 100x10 | 8,90 | 4000 | 5400 | 3600 | 4800 | 16,660 | 83,300 | 1,666 | 0,833 |

Πίνακας 13.1-3 : Ζυγοί ορθογωνικής διατομής κατά DIN από χαλκό για εναλλασσόμενη τάση 40 έως 60 Hz.
Θερμοκρασία χώρου 30 °C.

(*) : επιμετάλλωση που διευκολύνει την απαγωγή της θερμότητας.

Γιατί θερμοκρασία $\theta > 30^{\circ}\text{C}$ λαμβάνεται η σχέση :

$$I_{\theta} = I \sqrt{\theta / 30} \quad (\text{όπου } I \text{ οι τιμές του πίνακα})$$

Γιατί μεγαλύτερες συχνότητες λαμβάνεται η σχέση :

$$I_f = I \sqrt{50 / f} \quad (\text{όπου } I \text{ οι τιμές του πίνακα και } f \text{ η συχνότητα})$$

-129-

| πλάτος x πάχος mmmm | Βά- ρος kg/m | Ονομαστικό ρεύμα | | | | Ροπή αντίστασης (W) και ροπή αδράνειας (J) | | | |
|----------------------------------|------------------------|---------------------------------|------|----------------------------|------|---|----------------------|----------------------|----------------------|
| | | ζυγοί (*) κατεργα- σμένοι | | ζυγοί ακατέργα- στοι | | W cm ³ | J cm ⁴ | W cm ³ | J cm ⁴ |
| | | αριθμός ζυγών | 1 | 2 | 1 | | | | |
| 12x2 | 0,065 | 100 | 180 | 80 | 140 | 0,048 | 0,0288 | 0,008 | 0,0008 |
| 15x2 | 0,081 | 125 | 215 | 95 | 170 | 0,075 | 0,0562 | 0,010 | 0,0010 |
| 15x3 | 0,122 | 150 | 265 | 115 | 210 | 0,112 | 0,084 | 0,022 | 0,0030 |
| 20x2 | 0,108 | 165 | 280 | 120 | 220 | 0,133 | 0,133 | 0,0133 | 0,0013 |
| 20x3 | 0,162 | 195 | 340 | 145 | 270 | 0,200 | 0,200 | 0,030 | 0,0045 |
| 20x5 | 0,270 | 200 | 400 | 195 | 350 | 0,333 | 0,333 | 0,083 | 0,0208 |
| 25x3 | 0,202 | 240 | 410 | 180 | 330 | 0,312 | 0,390 | 0,037 | 0,005 |
| 25x5 | 0,338 | 310 | 535 | 230 | 430 | 0,521 | 0,651 | 0,104 | 0,026 |
| 30x3 | 0,243 | 280 | 480 | 205 | 385 | 0,450 | 0,675 | 0,045 | 0,007 |
| 30x5 | 0,405 | 360 | 625 | 270 | 500 | 0,750 | 1,125 | 0,125 | 0,031 |
| 40x3 | 0,324 | 370 | 630 | 280 | 500 | 0,800 | 1,600 | 0,060 | 0,009 |
| 40x5 | 0,540 | 460 | 800 | 350 | 650 | 1,333 | 2,666 | 0,166 | 0,042 |
| 40x10 | 1,08 | 670 | 1220 | 515 | 975 | 2,666 | 5,333 | 0,666 | 0,333 |
| 50x5 | 0,675 | 560 | 970 | 425 | 780 | 2,080 | 5,200 | 0,208 | 0,052 |
| 50x10 | 1,35 | 820 | 1440 | 625 | 1150 | 4,160 | 10,400 | 0,833 | 0,416 |
| 60x5 | 0,810 | 660 | 1130 | 500 | 900 | 3,000 | 9,000 | 0,250 | 0,063 |
| 60x10 | 1,62 | 960 | 1650 | 730 | 1300 | 6,000 | 18,000 | 1,000 | 0,500 |
| 80x5 | 1,08 | 850 | 1450 | 650 | 1170 | 5,333 | 21,330 | 0,333 | 0,0833 |
| 80x10 | 2,16 | 1230 | 2100 | 930 | 1650 | 10,660 | 42,600 | 1,333 | 0,666 |
| 100x5 | 1,35 | 1050 | 1750 | 775 | 1400 | 8,333 | 41,660 | 0,4166 | 0,104 |
| 100x10 | 2,70 | 1500 | 2450 | 1100 | 1950 | 16,660 | 83,300 | 1,666 | 0,833 |

Πίνακας 13.1-2 : Ζυγοί αρεογωνικής διατομής κατά DIN από αλουμίνιο
για διαστάσεις σύμφωνα με τάξη 40 έως 60 Hz.

Θερμοκρασία χώρου 30 °C.

(*) : επιμετάλλωση που διευκολύνει την απαγωγή
της θερμότητας.

Γιά θερμοκρασία θ > 30 °C λαμβάνεται η σχέση :

$$I_{\theta} = I \sqrt{\theta / 30} \quad (\text{όπου } I \text{ οι τιμές του πίνακα})$$

Γιά μεγαλύτερες συχνότητες λαμβάνεται η σχέση :

$$I_f = I \sqrt{50 / f} \quad (\text{όπου } I \text{ οι τιμές του πίνακα
και } f \text{ η συχνότητα})$$

-128-

| πλάτος x πάχος mmxmm | βά- ρος kp/m | Ονομαστικό ρεύμα | | | | Ροπή αντίστασης (W) και ροπή αδράνειας (J) | | | |
|-------------------------------|--------------------|---------------------------------|-----------------------|----------------------------|-----------------------|---|----------|----------|----------|
| | | ζυγοί (*) κατεργα- σμένοι | | ζυγοί ακατέργα- στοι | | W cm³ | J cm⁴ | W cm³ | J cm⁴ |
| | | αριθμ. ζυγών 1 A | αριθμ. ζυγών 2 | αριθμ. ζυγών 1 A | αριθμ. ζυγών 2 | | | | |
| 12x2 | 0,21 | 125 | 225 | 110 | 200 | 0,048 | 0,0288 | 0,008 | 0,0008 |
| 15x2 | 0,27 | 155 | 270 | 140 | 240 | 0,075 | 0,0562 | 0,010 | 0,0010 |
| 15x3 | 0,40 | 185 | 330 | 170 | 300 | 0,112 | 0,084 | 0,022 | 0,0030 |
| 20x2 | 0,36 | 205 | 350 | 185 | 315 | 0,133 | 0,133 | 0,0133 | 0,0013 |
| 20x3 | 0,53 | 245 | 425 | 220 | 380 | 0,200 | 0,200 | 0,030 | 0,0045 |
| 20x5 | 0,89 | 325 | 550 | 290 | 495 | 0,333 | 0,333 | 0,083 | 0,0208 |
| 25x3 | 0,67 | 300 | 510 | 270 | 400 | 0,312 | 0,390 | 0,037 | 0,005 |
| 25x5 | 1,11 | 385 | 670 | 350 | 600 | 0,521 | 0,651 | 0,104 | 0,026 |
| 30x3 | 0,80 | 350 | 600 | 315 | 540 | 0,450 | 0,675 | 0,045 | 0,007 |
| 30x5 | 1,34 | 450 | 780 | 400 | 700 | 0,750 | 1,125 | 0,125 | 0,031 |
| 40x3 | 1,07 | 460 | 780 | 420 | 710 | 0,800 | 1,600 | 0,060 | 0,009 |
| 40x5 | 1,78 | 600 | 1000 | 520 | 900 | 1,333 | 2,666 | 0,166 | 0,042 |
| 40x10 | 3,56 | 835 | 1500 | 750 | 1350 | 2,666 | 5,333 | 0,666 | 0,333 |
| 50x5 | 2,23 | 700 | 1200 | 630 | 1100 | 2,080 | 5,200 | 0,208 | 0,052 |
| 50x10 | 4,45 | 1025 | 1800 | 920 | 1620 | 4,160 | 10,400 | 0,833 | 0,416 |
| 60x5 | 2,67 | 825 | 1400 | 750 | 1300 | 3,000 | 9,000 | 0,250 | 0,063 |
| 60x10 | 5,34 | 1200 | 2100 | 1100 | 1860 | 6,000 | 18,000 | 1,000 | 0,500 |
| 80x5 | 3,56 | 1060 | 1800 | 950 | 1650 | 5,333 | 21,330 | 0,333 | 0,0833 |
| 80x10 | 7,12 | 1540 | 2600 | 1400 | 2300 | 10,660 | 42,600 | 1,333 | 0,666 |
| 100x5 | 4,45 | 1310 | 2200 | 1200 | 2000 | 8,333 | 41,660 | 0,4166 | 0,104 |
| 100x10 | 8,90 | 1880 | 3100 | 1700 | 2700 | 16,660 | 83,300 | 1,666 | 0,833 |

Πίνακας 13.1-1 : Ζυγοί ορεογωνικής διατομής κατά DIN από χιλκό
γιάδ εναλλασσόμενη τάση 40 έως 60 Hz.

Θερμοκρασία χώρου 30 °C.

(*) : επιμετάλλωση που έτευκολύνει την απαγωγή
της θερμότητας.

Γιάδ θερμοκρασία $\theta > 30^{\circ}\text{C}$ λαμβάνεται η σχέση :

$$I_{\theta} = I \sqrt{\theta / 30} \quad (\text{όπου } I \text{ οι τιμές του πίνακα})$$

Γιάδ μεγαλύτερες συχνότητα λαμβάνεται η σχέση :

$$I_f = I \sqrt{50 / f} \quad (\text{όπου } I \text{ οι τιμές του πίνακα
και } f \text{ η συχνότητα})$$

-127-

Δύση

$$F = 2,04 \cdot 10^{-2} \cdot I_{s^2} \frac{L}{d} \quad \text{σε kp}$$

Κατά τον πίνακα 12-3 : $I_{sw} = 7,2 \text{ kA}$.

$$I_s = 1,8 \cdot \sqrt{2} \cdot I_{sw} = 1,8 \cdot \sqrt{2} \cdot 7,2 = 18,33 \text{ kA}$$

a) για μήκος 1,2 m :

$$F = 2,04 \cdot 10^{-2} \cdot 18,33_2 \cdot \frac{1,2}{0,2} = 41,13 \text{ kp}$$

$$M_b = \frac{F \cdot L}{16} = \frac{41,13 \cdot 120}{16} = 308,45 \text{ kp cm}$$

Κατά τον πίνακα 13.1-1 είναι :

$$W = 0,166 \text{ cm}^3, \quad J = 0,042 \text{ cm}^4 \quad \text{και } g = 1,78 \text{ kp/m}$$

$$\sigma = \frac{M_b}{W} = \frac{308,45}{0,166} \leq 1000 \text{ kp/cm}^2 : \text{δεν αντέχουν στο βραχυκύλωμα}$$

b) για μήκος 0,8 m :

$$F = 2,04 \cdot 10^{-2} \cdot 18,33_2 \cdot \frac{0,8}{0,2} = 27,41 \text{ kp}$$

$$M_b = \frac{F \cdot L}{16} = \frac{27,41 \cdot 80}{16} = 137,05 \text{ kp cm}$$

$$\sigma = \frac{M_b}{W} = \frac{137,05}{0,166} = 825,6 \leq 1000 \text{ kp/cm}^2 : \text{αντέχουν στο βραχυκύλωμα}$$

$$f = 112 \sqrt{\frac{E \cdot J}{g \cdot L^4}} = 112 \sqrt{\frac{1,25 \cdot 10^6 \cdot 0,042}{0,0178 \cdot 0,8^4 \cdot 10^8}} = 112,24 \text{ Hz}$$

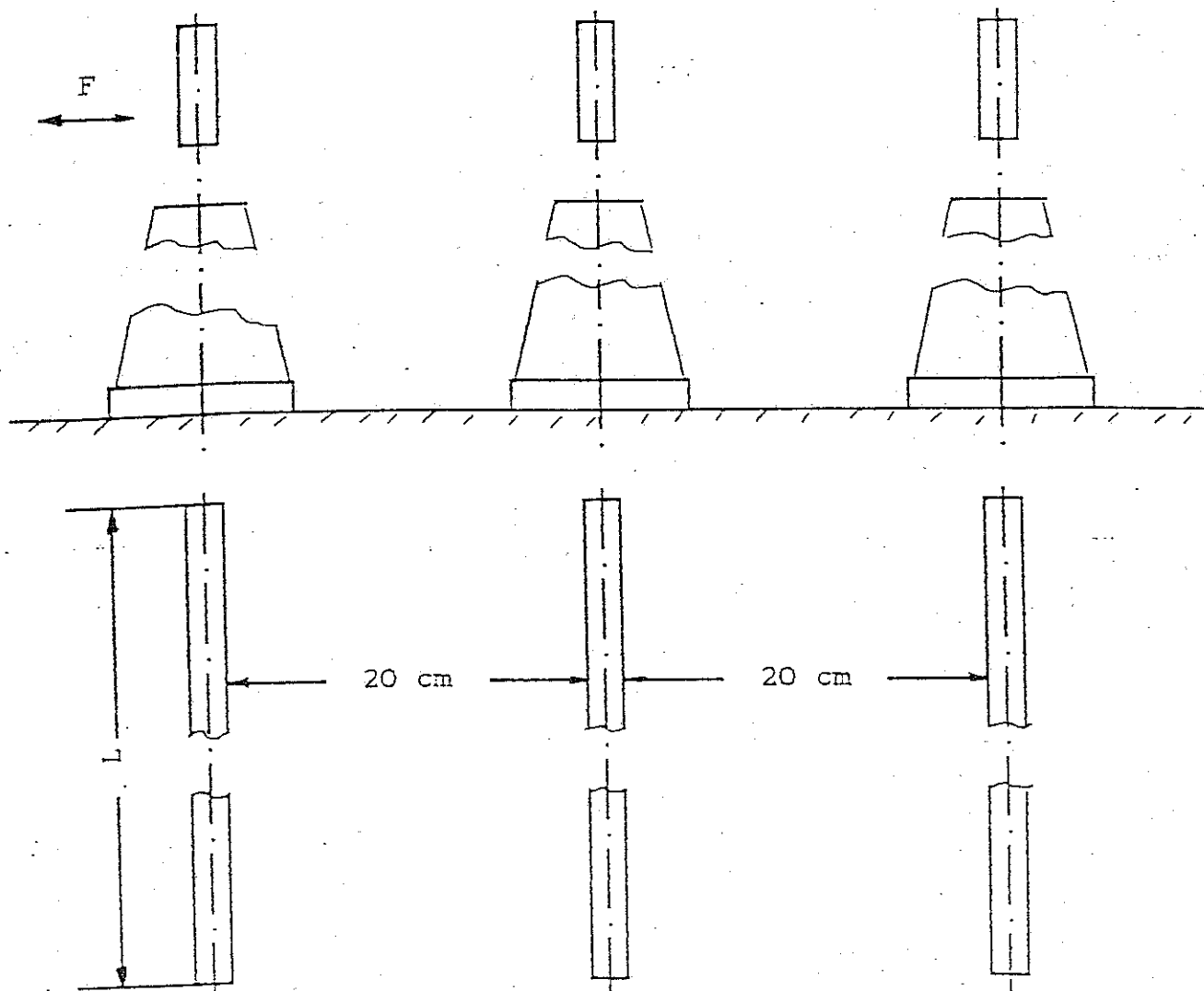
13. Υπολογισμοί σε πίνακες και υποσταθμούς

13.1. Υπολογισμός των ζυγών

Ο υπολογισμός των ζυγών βάσιζεται στη μηχανική καταπόνηση τους κατά το τριφασικό βραχυκύλωμα. Αρχικά επιλέγεται η διατομή από τους παρακάτω πίνακες και ακολούθως με τη βοήθεια των σχέσεων 10.8-8 έως 10.8-13 υπολογίζεται η δυναμική αντοχή τους. Με την σχέση 10.8-14 ελέγχεται ο μηχανικός συντονισμός. Σε περιπτώσεις, που παρά την σωστή διατομή, οι υπολογισμοί έδειξαν ακατάλληλότητα των ζυγών, το πρόβλημα αντιμετωπίζεται με αλλαγή της διατομής ή του μήκους τους ή και τα δύο.

Παραδειγματα

Τρεις ζυγοί από χαλκό με διατομή 40×5 (σχήμα 13.1-1) θα αποτελούν την είσοδο ενός πίνακα μέσης τάσης (20 kV). Να υπολογιστεί η αντοχή των ζυγών για μήκος (L) 1,2 m και 0,8 m.



Σχήμα 13.1-1 : Παραδειγματα υπολογισμού ζυγών

-125-

- τόσο μεξύ φάσεων όσο και μεταξύ κάθε φάσης πρός γή.
- 8) με εναλλασσόμενη τάση βιομηχανικής συχνότητας επί 1 min. Η δοκιμή γίνεται και για τις δύο λειτουργικές καταστάσεις του διακόπτη, τόσο μεταξύ των φάσεων, όσο και μεταξύ κάθε φάσης προς γή. Η τιμή της τάσης δοκιμής δίνεται στον πίνακα 12-1.
3. Δοκιμή μηχανικής αντοχής (1000 κύκλοι χειρισμού και κατόπιν δοκιμή υπερθέρμανσης).
4. Δοκιμή βραχυκύλωσης.

II. Δοκιμές σεισμών

1. Διπλεκτρική δοκιμή υπό εναλλασσόμενη τάση βιομηχανικής συχνότητας επί 1 min (όπως κατά τη δοκιμή τύπου προηγουμένως).
2. Δοκιμή μηχανικής αντοχής (10 κύκλοι χειρισμού και κατόπιν οπτικός έλεγχος της κατάστασης των επαφών και της στιβαρότητας της κατασκευής.)

12.2.3. Πίνακες μέσης τάσης

Οι βασικότερες δοκιμές κατα την πρόδιαγραφή IEC 298 και την προδιαγραφή GR 240 της Δ.Ε.Η. είναι :

I. Δοκιμές τύπου

1. Δοκιμή υπερθέρμανσης
2. Διπλεκτρικές δοκιμές (υπό κρουαστική τάση και υπό εναλλασσόμενη τάση βιομηχανικής συχνότητας επί 1 min : πίνακας 12-1). Οι δοκιμές πραγματοποιούνται όπως στον αποζεύκτη προηγουμένως.
3. Δοκιμή μηχανικής αντοχής των διακοπών, καθώς και δοκιμή μηχανικής αντοχής της στιβαρότητας των χειριστηρίων και των αλληλασφαλίσεων.
4. Δοκιμή μηχανικής αντοχής του περιβλήματος κατά GR 240
5. Προστασία ένσυτη επικίνδυνης επαφής με στοιχεία υπό τάση ή κινούμενα στοιχεία (IPH2 κατά IEC 298)
6. Δοκιμή υπό τριφασικό βραχυκύλωμα.

II. Δοκιμές σεισμών

1. Διπλεκτρική δοκιμή υπό εναλλασσόμενη τάση βιομηχανικής συχνότητας επί 1 min (όπως η δοκιμή τύπου προηγουμένως).
2. Ελεγχος βοηθητικών κυκλωμάτων.
3. Δοκιμή μηχανικής λειτουργίας των διακοπών (όπως η αντίστοιχη δοκιμή στον αποζεύκτη προηγουμένως).

λασσόμενη τάση 800 V , 100 Hz επί 1 min (όπως η δοκιμή τύπου προπγουμένως)

3. Μέτρηση των απωλειών και της σχετικής τάσης βραχυκύλωσης του μετασχηματιστή :

α) απώλειες σιδήρου (πίνακας 13.3.1-1).

β) απώλειες χπλκού (πίνακας 13.3.1-1).

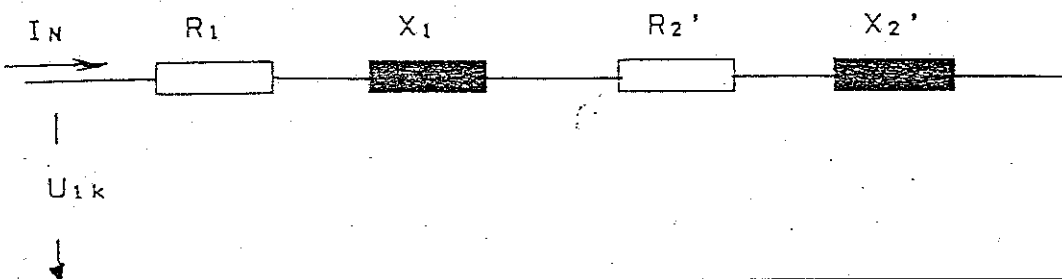
γ) σχετική τάση βραχυκύλωσης : (η ΔΕΗ προμηθεύεται μετασχηματιστές μέσης τάσης με σχετική τάση βραχυκύλωσης περίπου 4,5%)

Σημείωση :

Ως σχετική τάση βραχυκύλωσης έχει οριστεί το πολύκον :

$$u = \frac{U_{ik}}{U_N} \quad (12.2.1-3)$$

όπου U_{ik} η τάση βραχυκύλωσης (τάση στη χαμηλή με βραχυκύλωση την υψηλή, κατά την οποία βέει το ονομαστικό ρεύμα I_N : σχήμα 12.2.1-1).



Σχήμα 12.2.1-1 : Ισοδύναμο κύκλωμα του μετασχηματιστή κατά τη δοκιμή βραχυκύλωσης.

R_1 , X_1 : αντιστάσεις των περιελεγχεων χαμηλή τάσης

R_2' , X_2' : αντιστάσεις των περιελεγχεων υψηλής τάσης

4. Ελεγχος της μόνωσης με Meger (παράγραφος 12.1).
 5. Οπτικός έλεγχος (ποιότητα βαφής, κατάσταση μονωτήρων, αφυγραντήρων, κ.λ.π.)

12.2.2. Αποζεύκτης μέσης τάσης (εσωτερικού χώρου)

Οι βασικότερες δοκιμές π.χ. κατά IEC 129 ή VDE 0670/τμήμα 2 :

I. Δοκιμές τύπου

1. Δοκιμή υπερβέρμανσης.

2. Διπλεκτρικές δοκιμές

α) κρουστική τάση 1,2/50 μs : 5 κρούσσεις θετικής και 5 αρνητικής πολικότητας (πίνακας 12-1). Η δοκιμή γίνεται και για τις δύο λειτουργικές κατεστάσεις του διακόπτη (εξην ΟΝ & εξην ΟΦΕ).

-193-

12.2. Παραδείγματα δοκιμών ποιότητας ελέγχου σε ηλεκτρολογικό εξοπλισμό μέσոς τάσης

12.2.1. Μετασχηματιστές υποσταθμών μέσος τάσης

(20 kV, 15 kV και 6,6 kV)

Προδιαγραφές δοκιμών : IEC 76, ASA C 57.2, προδιαγραφή GR 46 της ΔΕΗ.

Οι βασικότερες δοκιμές είναι :

I. Δοκιμές τύπου

1. Δοκιμή υπερθέρμανσης.
2. Διπλεκτρικές δοκιμές.
 - α) δοκιμή με κρουστική τάση 1,2/50 μs (πίνακας 12-1 : 5 κρούσεις θετικής πολικότητας και 5 κρούσεις αρνητικής πολικότητας)
 - β) δοκιμή με εναλλασσόμενη τάση βιομηχανικής συχνότητας επί 1 min (πίνακας 12-1).
3. Διπλεκτρική αντοχή μεταξύ των πληνίων χαμηλής τάσης, υπό εναλλασσόμενη τάση 800 V, 100 Hz επί 1 min.

Σημείωση :

Από την κατασκευαστική σχέση του μετασχηματιστή είναι :

$$U = 4,44 N f B_{max} A \quad (12.2.1-1)$$

όπου N ο αριθμός σπειρών, f η συχνότητα B_{max} η μαγνητική επιφάνεια (μέγιστη τιμή) και A η διετομή του πυρήνα. Για ένα δεδομένο μετασχηματιστή ισχύει επομένως :

$$B_{max} = \frac{U}{N f} \quad (11.2.1-2)$$

Ο διπλασιασμός δηλαδή της συχνότητας, σε συνδυασμό με τον διπλασιασμό της τάσης, έχει ως αποτέλεσμα την σταθερή τιμή της μαγνητικής επιφάνειας (περίπου 1,5 G), με αποτέλεσμα να μην αυξηθούν οι απώλειες σιδήρου, οι οποίες θα προκαλούσαν υπερθέρμανση στον μετασχηματιστή.

4. Δοκιμή βραχυκύλωσης.
5. Μέτρηση της ομάδας ζεύξης και της σχέσης μετασχηματισμού.
6. Μέτρηση των ρεόμετρων παρεμβολών (πρόκειται για μέτρηση της στάθμης βορύθου λόγω μερικών εκκενώσεων)

II. Δοκιμές σειράς

1. Διπλεκτρική δοκιμή υπό εναλλασσόμενη τάση βιομηχανικής συχνότητας επί 1 min (όπως η δοκιμή τύπου προηγουμένως: πίνακας 12-1).
2. Διπλεκτρική αντοχή μεταξύ των πληνίων χαμηλής τάσης, υπό εναλ-

-122-

λασσόμενου τμήματος του ρεύματος βραχυκύλωσης για το δίκτυο μέσης τάσης της Δ.Ε.Η.

| Όνομαστική τάση σε KV | Μέγιστη τάση λειτουργίας σε KV | Εναλλασσόμενο τμήμα του ρεύματος βραχυκύλωσης σε KA |
|--------------------------|-----------------------------------|--|
| 6,6 | 7,2 | 10 |
| 15 | 17,5 | 10 |
| 20 | 24 | 7,2 |

Πίνακας 12-3 : Τιμές του εναλλασσόμενου ρεύματος βραχυκύλωσης για το δίκτυο μέσης τάσης της Δ.Ε.Η.

12.1. Μετρήσεις μόνωσης σε εγκαταστάσεις μέχρι 1000 V

Ως αντίσταση μόνωσης των βιομηχανικών και κτιριακών πλεκτρικών εγκαταστάσεων θεωρείται η αντίσταση, που παρουσιάζει η μόνωση της εγκατάστασης προς γή.

Για την αντίσταση μόνωσης (R) σε συνήθεις εγκαταστάσεις στεγανών και υγρών χώρων πρέπει να ισχύει :

$$R \geq 1000 \frac{\Omega}{V} \quad (12.1-1)$$

Εποι, η τιμή R και το ρεύμα διαρροής I για τάση λειτουργίας 220 V, 380 V και 1000 V πρέπει να είναι :

- για τάση λειτουργίας 220 V : $R \geq 220 \text{ k}\Omega$, $I \leq 1 \text{ mA}$
- για τάση λειτουργίας 380 V : $R \geq 380 \text{ k}\Omega$, $I \leq 1 \text{ mA}$
- για τάση λειτουργίας 1000 V : $R \geq 1000 \text{ k}\Omega$, $I \leq 1 \text{ mA}$

Σε ειδικές νοσοκομειακές εγκαταστάσεις (π.χ. χειρουργεία, μονάδες εντατικής θεραπείας, κ.λ.π.) οι απαιτήσεις προστασίας του ασθενούς είναι πολύ μεγαλύτερες από προηγουμένως ($I \leq 100 \mu\text{A}$).

Ο έλεγχος της πασαπάνω αντίστασης γίνεται στην πράξη με το Megger και την εγκαταστάση εκτός τάσης. Μετρά κανείς την αντίσταση μεταξύ αγωγών καθώς και εκείνη μεταξύ αγωγών και γής.

στική τάση πάνω από 1000 V, ενδιαφέρει ιδιαίτερα η τήρηση ορισμένων αποστάσεων μεταξύ αγωγών και αγωγών προς γή. Ενδιαφέρουν επίσης οι αποστάσεις προστασίας από τοιχεία, μεταλλικά πλέγματα και γενικά μεταλλικές επιφάνειες (π.χ. αποστάσεις προστασίας των ρευματοφόρων μερών ενός υποσταθμού, αποστάσεις προστασίας για την τοποθέτηση του πλέγματος σε ένα πεδίο δοκιμών...). Στον πίνακα 12-2 δίνονται ορισμένες τιμές αποστάσεων, οι οποίες διεύκολύνουν στις διάφορες επιλογές.

| Ονομαστική τάση σε KV | Ελάχιστη απόσταση μόνωσης σε mm | Απόσταση μεταξύ αγωγών και επιφάνειας προστασίας σε mm | | | | | |
|--------------------------|------------------------------------|--|------|--------|-----|----------|-----|
| | | Κιγκλίδωμα | | εσχάρα | | λαμπτήρα | |
| | | Εσ. | Εξ. | Εσ. | Εξ. | Εσ. | Εξ. |
| 1 | 40 | — | — | 140 | — | 70 | |
| 3 | 75 | — | — | 175 | — | 105 | |
| 6 | 100 | — | — | 200 | — | 130 | |
| 10 | 125 | 180 | 500 | 225 | 280 | 155 | |
| 20 | 180 | 260 | 500 | 280 | 360 | 210 | |
| 30 | 260 | 360 | 560 | 360 | 460 | 290 | |
| 45 | 360 | 470 | 560 | 460 | 570 | 390 | |
| 60 | 470 | 580 | 670 | 780 | 570 | 680 | 500 |
| 110 | 800 | 1000 | 1000 | 1200 | 900 | 1100 | 830 |
| 150 | — | 1450 | — | 1650 | — | 1550 | — |
| 220 | — | 2200 | — | 2400 | — | 2300 | — |

Πίνακας 12-2 : Αποστάσεις στον αέρα για εγκαταστάσεις πάνω από 1000 V.

Εσ. : εγκατάσταση εσωτερικού χώρου.

Εξ. : εγκατάσταση εξωτερικού χώρου.

Η δοκιμή μηχανικής αντοχής πφορά τη στιβαρότητα της κατασκευής, π οποία στην περίπτωση των επαφών των διακοπτών σχετίζεται με την ικανότητα σε ονομαστικό ρεύμα, μετά από ένα αριθμό χειρισμών. Ένας διακόπτης, π.χ. με ονομαστικό ρεύμα 400 A, πρέπει να έχει μετά από 1000 πλήρεις κύκλους λειτουργίας την ίδια ικανότητα σε ονομαστικό ρεύμα (όπλαδη 400 A). Πρόκειται για μία δοκιμή τύπου, κατά την οποία ελέγχονται τυχόν παραμορφώσεις και αποσυναρμολογήσεις (ακατάλληλα ελαστήρια σύσφιξης κ.λ.π.) στις επαφές του διακόπτη. Η ικανότητα σε ονομαστικό ρεύμα, μετά την δοκιμή αυτή, διαπιστώνεται με την πραγματοποίηση στη συνέχεια της δοκιμής υπερθέρμανσης. Η δοκιμή μηχανικής αντοχής στους διακόπτες προβλέπεται στις προδιαγραφές και ως δοκιμής σειράς, αλλά με πολύ μικρό αριθμό χειρισμών (10 κυκλοί χειρισμού), μετά από τους οποίους γίνεται οπτικός έλεγχος της στιβαρότητας των επαφών.

Η δοκιμή βραχυκύκλωσης δίνει πληροφορίες για τη δυναμική και τη βερμική καταπόνηση της κατασκευής από το ρεύμα βραχυκύκλωσης (παράγραφος 10.10). Στον παρακάτω πίνακα δίνονται τιμές του εναλ-

-120-

Οι διπλεκτρικές δοκιμές αποσκοπούν στη διαπίστωση της διπλεκτρικής αντοχής της κατασκευής, ανάλογα με την ονομαστική της τάση. Οι τιμές της ονομαστικής τάσης των διαφόρων κατασκευών είναι τυποποιημένες. (π.χ. στο τριφασικό δίκτυο των 50 Hz : 500 V , 6,6 kV , 15 kV , 20 kV , κ.λ.π.). Οι μετρήσεις, που γίνονται, αφορούν κυρίως των έλεγχο της μονωτικής ικανότητας έναντι υπερτάσεων, που εκδηλώνονται κατά τη λειτουργία της κατασκευής στο δίκτυο. Στον παρακάτω πίνακα δίνονται οι τιμές των τάσεων δοκιμής, ανάλογα με την ονομαστική τάση.

| Un | Τάση μόνωσης (μέγιστη επιτρεπόμενη τάση λειτουργίας) | Τ Α Σ Η Δ Ο Κ Ι Μ Η Σ | | | | | |
|-----|---|--------------------------|-----|--------------------------|-----|-----|---|
| | | Εναλλασσόμενη τάση 50 Hz | | Κρουστική τάση 1,2/50 μs | | | |
| | | kV | kV | kV | kV | - | + |
| 3 | 3,6 | 21 | 25 | 45 | 48 | 52 | |
| 6 | 7,2 | 27 | 35 | 60 | 57 | 70 | |
| 10 | 12 | 35 | 45 | 75 | 71 | 85 | |
| 15 | 17,5 | 45 | 60 | 95 | 90 | 110 | |
| 20 | 24 | 55 | 75 | 125 | 120 | 145 | |
| 25 | 27,5 | 65 | 90 | 145 | 130 | 170 | |
| 30 | 36 | 75 | 100 | 170 | 150 | 195 | |
| 45 | 52 | 105 | 145 | 235 | 220 | 290 | |
| 60 | 72,5 | 140 | 190 | 300 | 280 | 300 | |
| 110 | 123 | 230 | 310 | 450 | 430 | 650 | |

Πίνακας 12-1: Τιμές για τη δοκιμή με έναλλασσόμενης τάση 50 Hz επί 1 min και τη δοκιμή με κρουστική τάση 1,2/50 μs (αρνητικής πολικότητας "-" και θετικής πολικότητας "+")

Οι διπλεκτρικές δοκιμές αποσκοπούν δηλαδή στην επιβεβαίωση της ονομαστικής τάσης, ανάλογα με την οποία μπορεί να καταπονείται η κατασκευή σε κεραυνικές υπερτάσεις και τάσεις χειρισμών, χωρίς να προκαλείται από αυτές μείωση της διπλεκτρικής αντοχής της. Η δοκιμή υπό κρουστικές τάσης είναι δοκιμή τύπου , ενώ η δοκιμή με έναλλασσόμενο τάση βιομηχανικής συχνότητας (50 Hz) δοκιμή τύπου και σειράς . Στην κατεσκευή εγκαταστάσεων στον αέρα , που έχουν ονομα-

δικτυο (π.χ. γιά αποζεύκτες εξωτερικού χώρου προβλέπεται στις προδιαγραφές, ως δοκιμή τύπου, η εξακρίβωση της ικανότητας μόνωσης υπό βροχή ο έλεγχος αυτός δεν έχει νόημα σε αποζεύκτες εσωτερικού χώρου).

Το σκεπτικό γιά την αναζήτηση των δοκιμών, που χρειάζεται να πραγματοποιηθούν σε μία ηλεκτροτεχνική κατασκευή, πηγάζει βασικά από την σημαντική να δοθεί μία απάντηση στη παρακάτω ερωτήματα, όταν βέβαια αυτά έχουν νόημα γιά την προσ έλεγχο κατασκευής (σε ένα μοντέρνα δεν έχει π.χ. νόημα η δοκιμή βραχυκύκλωσης, η οποία άμφως εγδιαφέρει ιδιαίτερα σε έναν μετασχηματιστή μέσης τάσης, κ.λ.π.):

- 1) Πώς θα επιβεβαιωθεί το ονομαστικό ρεύμα;
- 2) Πώς θα επιβεβαιωθεί η διπλεκτρική αντοχή της κατασκευής;
- 3) Ποιές είναι οι απαιτήσεις σε μοχανική αντοχή;
- 4) Αντέχει τη κατασκευή το βραχυκύκλωμα μέχρι να γίνει διακοπή του από το μέσο προστασίας του δικτύου;
- 5) Ποιές είναι οι ειδικές απαιτήσεις, που πρέπει να χαρακτηρίζουν την κατασκευή;

Η απάντηση στη παραπάνω ερωτήματα δίνεται από τις διάφορες προδιαγραφές με συγκεκριμένες δοκιμές. Οι δοκιμές αυτές γιά τα τέσσερα πρώτα ερωτήματα είναι αντίστοιχα:

- 1) Η δοκιμή υπερθέρμανσης (ή δοκιμή ανύψωσης της θερμοκρασίας)
- 2) Οι διπλεκτρικές δοκιμές
- 3) Η δοκιμή μοχανικής αντοχής
- 4) Η δοκιμή βραχυκύκλωσης (βλέπετε παράγραφο 10.10)

Σε ότι αφορά την τελευταία ερώτηση, οι δοκιμές που χαρακτηρίζονται ως "ειδικές", περιλαμβάνονται επίσης στις προδιαγραφές, ανάλογα με την περίπτωση. Εποιητικές δοκιμές, ανάλογα με την κατασκευή (π.χ. γιά διακόπτες πινάκων μέσης τάσης 200 A, 400 A, 600 A, 1000 A, κ.λ.π.). Η δοκιμή υπερθέρμανσης διαφέρει συνήθως αρκετές ώρες (στους μετασχηματιστές είναι της τάξης των 24 ωρών και στους διακόπτες των 4-περιπολών) και θεωρείται ότι είναι επιτυχής όταν η θερμοκρασία δεν υπερβεί ένα συγκεκριμένο κατά τις προδιαγραφές όριο. Η θερμοκρασία αυτή είναι κατά VDE 0670 γιά π.χ. χάλκινες επαφές μέσα σε μονωτικό λάθος 80 °C (με μέγιστη διεθερότητα θερμοκρασίας ως προς τη περιβάλλον 40 °C). Η δοκιμή υπερθέρμανσης είναι δοκιμή τύπου.

Η δοκιμή υπερθέρμανσης αφορά την εξακρίβωση του ονομαστικού ρεύματος (μέγιστο ρεύμα συνεχούς λειτουργίας) μίας κατασκευής. Η προδιαγραφή συνεχούς λειτουργίας μέσα στην προδιαγραφή, ανάλογα με την προδιαγραφή της κατασκευής, ανάλογα με την κατασκευή (π.χ. γιά διακόπτες πινάκων μέσης τάσης 200 A, 400 A, 600 A, 1000 A, κ.λ.π.). Η δοκιμή υπερθέρμανσης διαφέρει συνήθως αρκετές ώρες (στους μετασχηματιστές είναι της τάξης των 24 ωρών και στους διακόπτες των 4-περιπολών) και θεωρείται ότι είναι επιτυχής όταν η θερμοκρασία δεν υπερβεί ένα συγκεκριμένο κατά τις προδιαγραφές όριο. Η θερμοκρασία αυτή είναι κατά VDE 0670 γιά π.χ. χάλκινες επαφές μέσα σε μονωτικό λάθος 80 °C (με μέγιστη διεθερότητα θερμοκρασίας ως προς τη περιβάλλον 40 °C). Η δοκιμή υπερθέρμανσης είναι δοκιμή τύπου.

12. Ο έλεγχος της αξιοπιστίας του πλεκτρολογικού εξοπλισμού

Προκειμένου να εξασφαλιστεί η αξιοπιστία μίας πλεκτροτεχνικής κατασκευής, θα πρέπει να εναρμονιζούνται τα επιμέρους στοιχεία της (διακόπτες, πίνακες, μετασχηματιστές, καλώδια, κ.λ.π.), καθώς και η κατασκευή στο συγκότο της, με τις απαιτήσεις των κατά περίπτωση κανονισμών κατασκευής και προδιαγραφών δοκιμής (DIN, VDE, IEC, ASM, προδιαγραφές της ΔΕΗ, κ.λ.π.). Στο κεφάλαιο αυτό παρατίθεται ένα σκεπτικό, το οποίο πιστεύεται ότι διευκολύνει στην κατεύναση ορισμένων γενικών κανόνων αξιολόγησης του πλεκτροτεχνικού εξοπλισμού, οι οποίοι προβλέπονται συγκεκριμένα στους κανονισμούς και στις προδιαγραφές.

Η αξιοπιστία μίας πλεκτροτεχνικής κατασκευής διασφαλίζεται στην αγοραστήλογο με επιτυχία, πρίν διατεθεί σε χρήση, δοκιμές υπό λειτουργικές συνθήκες, που αντιστοιχούν στις μελλοντικές μέγιστες καταπονήσεις της στο δίκτυο. Οι δοκιμές αυτές, που συνήθως αποτελούν την τελευταία φάση της παραγωγικής διαδικασίας, προβλέπονται στις προδιαγραφές (IEC, VDE, κ.λ.π.) και διακρίνονται σε δοκιμές τύπου και δοκιμές σειράς.

Οι δοκιμές τύπου γίνονται σε διεθνώς ανεγγυωτούσμένα εργαστήρια ή σε εργαστήριο του κατασκευαστή (όσες είναι δυνατό να πραγματοποιηθούν σε αυτό) και αφορούν συνήθως (εκτός αν ορίζεται διαφορετικά με σύμβαση) ένα τυχαίο δείγμα, ακριβώς (διο με τη έτοιμα προς διάθεση προϊόντα (π.χ. γιά παραγωγή μετασχηματιστών 20 KV /400 kVA σε ένα μετασχηματιστή). Οι δοκιμές τύπου χαρακτηρίζονται ως καταστρεπτικές, γιατί, παρά την επιτυχή διεξαγωγή τους, μπορεί να γίνουν αιτία πρόκλησης μελλοντικών βλαβών. Γιά το λόγο αυτό προμήθεια εξοπλισμού, με την προϋπόθεση της πραγματοποίησης των δοκιμών αυτών από τον προμηθευτή, έχει νόημα μόνο σε περιπτώσεις μεγάλου αριθμού τεμαχίων (π.χ. 100 τεμαχίων από τους παραπάνω μετασχηματιστές), όπως συμβαίνει με την προμήθεια εξοπλισμού από τη ΔΕΗ. Σε διαφορετική περίπτωση, θα πρέπει να αρκεί ται κανείς στην επιβεβαίωση της ποιότητας μέσω πιστοποιητικών εργαστηριακών δοκιμών, τα οποία βεβαίως δεν μπορούν να υποκατασταθούν από διαφοριστικά φυλλάδια ή άλλα έντυπα.

Οι δοκιμές σειράς πραγματοποιούνται σε όλα ανεξαιρέτως τα τεμάχια (π.χ. σε όλους τους παραπάνω μετασχηματιστές). Οι δοκιμές αυτές δεν είναι κατεστρεπτικές και γι' αυτό θα πρέπει να πραγματοποιούνται παρουσία του αγοραστή. Η ΔΕΗ πραγματοποιεί όλες τις δοκιμές σειράς στον πλεκτρολογικό εξοπλισμό, που προμηθεύεται. Σε κιμές σειράς στον πλεκτρολογικό εξοπλισμό (όπως συμβαίνει συνήθως σε ιδιωτικούς μικρές προμήθειες εξοπλισμού μέσπις τάσης) και σε περιπτώσεις, που δεν είναι δυνατό υποσταθμούς μέσπις τάσης) και σε περιπτώσεις, που δεν είναι δυνατό γίνονται παραπάνω δοκιμές παρουσία του αγοραστή (π.χ. προμήνυμα για την οι παραπάνω δοκιμές παρουσία του αγοραστή 20 KV/400 kVA προέλευσης εσωτερικού), θα πρέπει να επιβεβαιώνεται η ποιότητα με πιστοποιητικά διεθνώς ανεγγυωτούσμένου εργαστηρίου.

Οι δοκιμές τύπου και σειράς δεν είναι (γιά κάθε πλεκτροτεχνική κατασκευή, αλλά εξαρτώνται από το είδος της (μετασχηματιστής, καλώδιο, αποζεύκτης, διακόπτης ισχύος, κ.λ.π.), τη ονομαστική στοιχεία της (ονομαστική τάση, ονομαστικό ρεύμα, κ.λ.π.) και στικές στοιχεία της (ονομαστική τάση, ονομαστικό ρεύμα, κ.λ.π.) και στις συνθήκες λειτουργίας, που πρόκειται να αντιμετωπίσει αυτή στο

-17-

Με μέθοδος διάγνωσης της ποιότητας του πλεκτρομονωτικού ελαίου, που εφαρμόζεται από τις εταιρείες παραγωγής της πλεκτρικής ενέργειας, βασίζεται στα είδη των παραγόμενων αερίων (κυρίως : υδρογόνο, μεθάνιο, αιθανίο αιθυλένιο και ακετυλένιο): και στις σχετικές ποσότητές τους, οι οποίες εντοπίζονται μέσω χρωματογράφου αερίων. Με μικρή αποσύνθεση γίνεται φαγερή σε κανονικές συνθήκες αερίων. Με μικρή αποσύνθεση γίνεται φαγερή σε κανονικές συνθήκες λειτουργίας, όπου παράγονται κυρίως υδρογόνο και μεθάνιο. Η παραγωγή του αιθανίου και του αιθυλένιου βεωρείται ότι σχετίζεται με θέσεις αυξημένης θερμοκρασίας του μετασχηματιστή. Το ακετυλένιο γίνεται σημαντικό ως ποσότητα σε πολύ μεγάλες θερμοκρασίες, που οφείλονται κυρίως στην έκδηλωση πλεκτρικού τόξου και ισχυρών μερικών εκκενώσεων.

Στον παρακάτω πίνακα δίνονται βασικές οδηγίες για τη συντήρηση των μετασχηματιστών ελαίου, που πρέπει να εφαρμόζονται για να εξασφαλίζεται η σωστή λειτουργία τους.

| Χρονικό διάστημα | Είδος συντήρησης |
|----------------------------|--|
| Σε 3 μήνες (Μηνιαίως *) | 1) Ελεγχος στάθμης λαδιού 2) Ελεγχος θερμοκρασίας 2) Ελεγχος υγρασίας από τον αφυγραντήρα 3) Εξωτερικά μέρη και ειδικότερα οι μονωτήρες για καθαρίζωνται από σκόνες κ.λ.π. 4) καθαριότητα δαπέδου του χώρου 5) Ελεγχος για τυχόν εξωτερικές σκουριές. |
| Ετησίως (Σε 6 μήνες *) | 1) Ελεγχος διπλεκτρικής αντοχής λαδιού (**) 2) Ελεγχος της προστασίας του μετασχηματιστή 3) Ελεγχος και σύσφιξη λυσιμένων συνδέσμων 4) Λιπαγση κινητήρων αερισμού (αν υπάρχουν) 5) Ελεγχος πυροσβεστήρων |
| Σε 2 έτη | Άλλαγή ρουλμάν κινητήρων αερισμού (αν υπάρχουν) |
| Σε 5 έτη | Πλήρης έλεγχος του λαδιού & σε περίπτωση μη ικανοποιητικών αποτελεσμάτων αλλαγή (ή αναγέννηση) |

Πίνακας 11.5-1 : Οδηγίες συντήρησης μετασχηματιστών ελαίου.

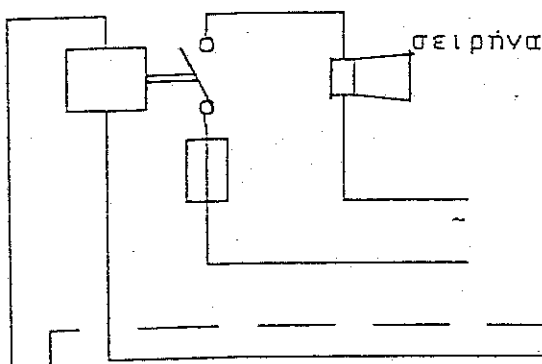
* : Σε τσιμεντοβιομηχανίες, λατομεία και γενικά σε περιβάλλον που προκαλεί δραστική μείωση της διπλεκτρικής αντοχής.

** : 1 λίτρο σε τελείως στεγνό και καθαρό δοχείο.

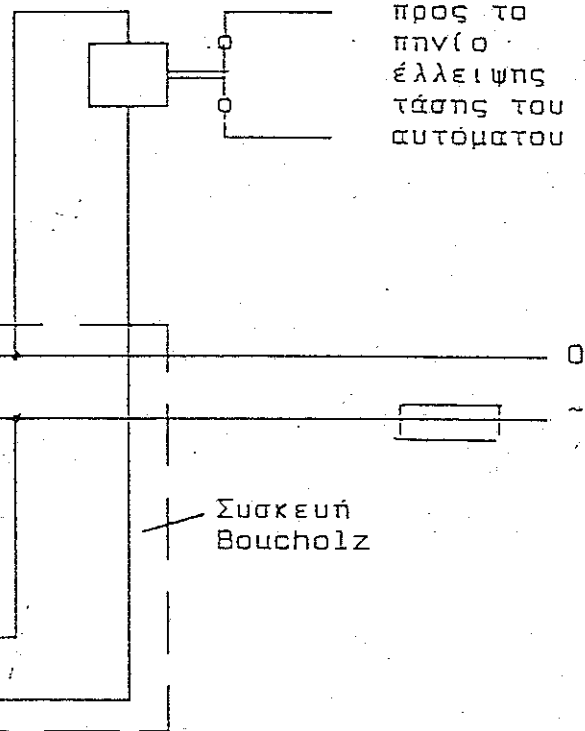
συσκευή Boucholz, που πρέπει να περιλαμβάνει ο μετασχηματιστής. Ο αφυγραντήρας τοποθετείται επί του δοχείου διαστολής του μετασχηματιστή. Περιέχει υλικό (το siticagel), που απορροφά την υγρασία. Από το ύγια λινό μέρος του δοχείου του αφυγραντήρα παρακολουθεί κανείς το χρώμα του siticagel. Όταν το χρώμα είναι γιλάζιο, τότε έχει το υλικό αυτό τη δυνατότητα απορρόφησης υγρασίας. Όταν το χρώμα γίνεται κόκκινο, τότε το παραπάνω υλικό είναι κορεσμένο από υγρασία και πρέπει να υποβληθεί σε ξήρανση (3 έως 6 ώρες σε θερμοκρασία 140 °C το πολύ).

Η αρχή λειτουργίας της συσκευής Boucholz (σχήμα 11.5.1-1) βασίζεται στα αέρια, που παράγονται κατά τη μείωση της διπλεκτρικής αντοχής του λαδιού. Τα αέρια διέρχονται από τη συσκευή Boucholz, η

Ηλεκτρονόμος
για τη σειρήνα



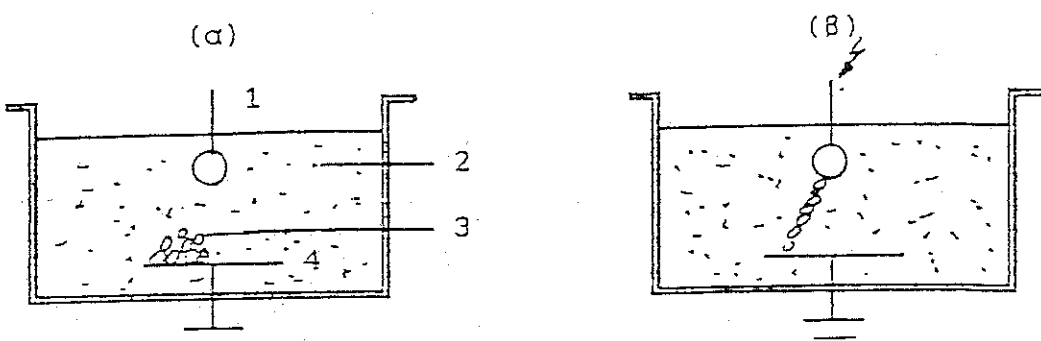
Ηλεκτρονόμος για τη
διακοπή της λειτουργίας
του αυτόματου διακόπτη



Σχήμα 11.5.1-1 : Κύκλωμα της προστασίας Boucholz

οποία έχει δύο πλωτήρες (I και II). Όταν ο χώρος του Boucholz καταλαμβάνεται μόνο από λάδι, τότε οι πλωτήρες αυτοί είναι δύο ανοικτές επιφένες. Κατά την μείωση της διπλεκτρικής αντοχής του λαδιού εισχωρούν τα παραγόμενα αέρια στο χώρο του Boucholz. Όταν το ποσοστό τους είναι μικρό κλείνει ο πλωτήρας I και ενεργοποιείται έτσι ο κύκλωμα της σειρήνας. Για μεγαλύτερο ποσοστό αερίων κλείνει και ο πλωτήρας II, με αποτέλεσμα να τεθεί εκτός λειτουργίας ο αυτόματος διακόπτης. Η συσκευή Boucholz διαθέτει χειροκίνητη βαλβίδα εξαερισμού, η οποία είναι απαραίτητη κατά την πρώτη εγκατάσταση (ή μετά την αλλαγή λαδιών). Εχει επίσης ύγια λινό παραθυράκι για τον έλεγχο της θέσης των πλωτήρων.

γενικότερα των υγρών μονωτικών) απόδειχονται στους παράγοντες, που συμφέρονται στη στερεά μονωτικά (παράγραφος 11.4) αλλά και στα πι-
θαύμενα σε αυτά ξένα σωματίδια, τα οποία σχηματίζουν αγώγιμες γέ-
φυρες. Η δημιουργία των παραπάνω αγώγιμων γεφυρών μπορεί εύκολα να
διεπιστωθεί πειραματικά (σχήμα 11.5-1: τα μικρά τεμάχια από χαρτί
διατάσσονται, κατά την εφαρμογή της τάσης, μεταξύ των πλεκτροδί-
ων). Η διπλεκτρική αντοχή του μονωτικού λαδιού μειώνεται σημαντι-
κώς.



Σχήμα 11.5-1 : Δημιουργία "γέφυρας από μικρά τεμάχια χαρτιού"
μεταξύ των πλεκτροδών.

1,4 : πλεκτρόδια, 2 : μονωτικό λάδι

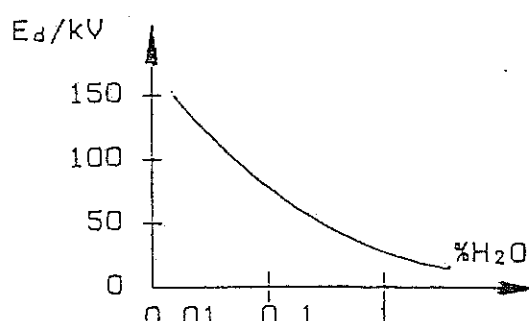
3 : μικρά τεμάχια από χαρτί

α) : Μικρά τεμάχια χαρτιού πάνω στο πλεκτρόδιο
"πλάκα" προ της έφαρμογής της τάσης

β) : Διέταξη των μικρών τεμαχίων χαρτιού κατά
την εφαρμογή της τάσης

κά όταν έρχεται σε επαφή με τον αέρα. Η υγρασία προκαλεί επίσης
δραστική μείωση της διπλεκτρικής αντοχής του μονωτικού λαδιού
(σχήμα 11.5-2).

Σχήμα 11.5-2 : Μείωση της διπλεκτρι-
κης αντοχής του μο-
νωτικού λαδιού ανά-
λογα με το ποσοστό
γερού



11.5.1. Μέσα ελέγχου της μονωτικής ικανότητας του λαδιού κατά τη λειτουργία των μετασχηματιστών

Η υγρασία και τα αέρια, που δημιουργούνται κατά τη γήρανση
του μονωτικού λαδιού, μειώνουν δραστικά τη διπλεκτρική αντο-
χή του. Γιά το λόγο αυτό προβλέπονται (κατά τη λειτουργία των με-
τασχηματιστών) μέσα ελέγχου, που προειδοποιούν για τη μείωση της
διπλεκτρικής αντοχής του μονωτικού λαδιού. Προβλέπεται επίσης προ-
στασία του μετασχηματιστή, όταν η μείωση της διπλεκτρικής αντοχής
του λαδιού είναι σημαντική. Πρόκειται για τον αψυγραντήρα και την

-14-

| | | | | | | | | | | | |
|------------------------|---------------|-----|-----|-----|-----|----|-----|------|----|------|----|
| U _N σε KV | 1 | 3,3 | 6 | 6,6 | 10 | 11 | 15 | 20 | 22 | 30 | 33 |
| U _o σε KV | 0,6 | | 3,5 | | 5,8 | | 8,7 | 11,6 | | 17,3 | |
| U _{max} σε KV | κατά VDE 0111 | 1,2 | - | 7,2 | - | 12 | - | 17,5 | 24 | - | 36 |
| | κατά BS 77 | 1,1 | 3,6 | - | 7,2 | - | 12 | - | - | 24 | - |

Πίνακας 4.1-1 : Μέγιστη τάση λειτουργίας (U_{max}) των καλώδιων, κατά VDE και BS, ανάλογα με την ονομαστική τάση (U_N).

αγωγών του σε δεδομένο δίκτυο. Σύμφωνα με την προδιαγραφή VDE 0250 η τάση λειτουργίας ενός καλώδιου δεν μπορεί να υπερβεί το 15 % της ονομαστικής τάσης συγχρονίσ λειτουργίας.

Τα καλώδια με μόνωση από θερμοπλαστική ύλη έχουν σχεδόν καθιερωθεί στην περιοχή των χαμηλών τάσεων. Τα καλώδια αυτά τελούν να αντικαταστήσουν στη μέση τάση εκείνα με μόνωση χαρτί ποτισμένο με λάδι. Αυτό οφείλεται στούς παρακάτω βασικούς λόγους :

- 1) Είναι εύχρηστα κατά την τοποθέτηση, σύνδεση και τον τερματισμό τους.
- 2) Έχουν μικρότερο βάρος και κόστος από τα καλώδια με μόνωση "χαρτί-λάδι".
- 3) Οι χρησιμοποιούμενες μονώσεις έχουν πολύ καλές πλεκτρικές (διότπες (μεγάλη διηλεκτρική αντοχή , μικρή τροχιδια με μικρή θερμική αντίσταση)

Στην Ελλάδα, κατά μεγάλο ποσοστό, τα καλώδια των υπογείων και υπόβρυχων δικτύων χαμηλής , μέσης και υψηλής τάσης έχουν μόνωση από χαρτί-λάδι . Καλώδια από ελαστικό και θερμοπλαστικές μονώσεις χρησιμοποιούνται κυρίως για εσωτερικές συνδέσεις στους υποσταθμούς και στις παροχές καταναλωτών.

Μονωτήρες

Οι περισσότεροι μονωτήρες των πλεκτρικών εγκαταστάσεων και των δικτύων μεταφοράς και διανομής κατασκευάζονται από πορσελάνη γυαλί . Σε εσωτερικούς χώρους έχουν μεγάλη εφαρμογή οι εποξειδικές ροτίνες. Η επιφάνεια των μονωτήρων είναι λεία, ώστε να παρεμποδίζεται η συγκράτηση ξένων επικαθίσεων . Οι μονωτήρες διακρίνονται , ανάλογα με τον σκοπό που εξυπορετούν, σε : κανονικού τύπου (χρησιμοποιούνται σε συντονισμένο περιβάλλον) , εσωτερικού χώρου, ομίχλης (έχουν μεγάλο μήκος ερπυσμού και χρησιμοποιούνται σε περιοχές με υψηλή υγρασία και ρύπανση) , ανάρτησης (στις γραμμές μεταφοράς), στάσης (σε γραμμές μεταφοράς και ζυγούς υποσταθμών) και διέλευσης (ως εσοδος και έξοδος των ζυγών , όπου παρεμβάλλονται διαχωριστικές επιφάνειες).

11.5. Το μονωτικό λάδι των μετασχηματιστών

Τα φαινόμενα γήρανσης και διάσπασης του μονωτικού λεδιού (και

-13-

Ταράδειγμα 3 : Σε μία ρυπασμένη ατμόσφαιρα το μήκος ερπυσμού των μονωτήρων είναι , λόγω του αυξημένου ρόλου των εξωτερικών μερικών εκκενώσεων, μεγαλύτερο από ότι συνήθως.

11.4.1. Παραδειγματικές εφαρμογών των στερεών μονωτικών

Τα στερεά μονωτικά χρησιμοποιούνται στις μονώσεις των πλεκτρικών μηχανών, όπου οι αποστάσεις μόνωσης είναι , για λόγους μείωσης του όγκου των μηχανών, περιορισμένες . Χρησιμοποιούνται επίσης σε καλώδια (μόνωση μεταξύ αγωγών και αγωγών προς γή) καθώς και την κατασκευή μονωτήρων, κάθε είδους σε συνδυασμό με τον αέρα. Συχνά συνδυάζονται τα στερεά μονωτικά με τα υγρά μονωτικά , όπως : το χαρτί , το pectinax , ο βισκελίτης και άλλα μονωτικά με το λάδι. Χαρακτηριστικά παραδειγματικά του συνδυασμού "στερεό-υγρό" μονωτικό είναι οι μετασχηματιστές μεταφοράς και διανομής πλεκτρικής ενέργειας , καθώς και τα καλώδια με μόνωση "χαρτί-λάδι" . Ο συνδυασμός "στερεό-υγρό" μονωτικό αποσκοπεί κυρίως στον εμποτισμό του στερεού μονωτικού με το υγρό, ώστε να αποφεύγονται οι εύλακες αέρα.

Μονώσεις καλωδίων

Τα βασικά μονωτικά υλικά που χρησιμοποιούνται στα καλώδια είναι θερμοπλαστικές ύλες, ελαστικές ύλες, χαρτί και χαρτί ποτισμένο με μονωτικό λάδι.

Η μονωτική ικανότητα ενός καλωδίου δίνεται , κατα VDE 0271 , από τις ονομαστικές τάσεις του U_o και U_n. Συγκεκριμένα :

- Η ονομαστική τάση U_o είναι η τάση μεταξύ αγωγού και γής (ή μεταξύ αγωγού και μεταλλικής επέγδυσης του καλωδίου)
- Η ονομαστική τάση U_n είναι η τάση μεταξύ αγωγών φάσης

Μεταξύ U_n και U_o λαμβάνεται :

a) για τα καλώδια του τριφασικού συστήματος :

$$U_n = \sqrt{3} U_o$$

(11.4.1-1)

b) για τα καλώδια σε μονοφασικό σύστημα και σε συνεχές ρεύμα με δύο αγωγούς :

$$U_n = 2 U_o$$

(11.4.1-2)

και

c) για καλώδια σε μονοφασικό σύστημα και σε συνεχές ρεύμα με ένα αγωγό μονωμένο :

$$U_n = U_o$$

(11.4.1-3)

Στον παρακάτω πίνακα δίνεται , κατα VDE και BS , ο μέγιστη τάση λειτουργίας των καλωδίων Umax , ανάλογα με την ονομαστική συνεχούσα λειτουργίας των καλωδίων Umach , ανάλογα με την ονομαστική τάση. Η τάση λειτουργίας ενός καλωδίου είναι η τάση μεταξύ των

úση

$\mu_0 = 0.71$. Επομένως $\mu_d = 0.87$ (πίνακας 10-2)

$$\frac{I_{SW}}{I_G} = 0,87 \cdot 20,3 = 17,6 \text{ KA}$$

$$T_d = \frac{\mu_d}{\mu_a} T_{SW} = 0,67 \cdot 28,5 = 18,5 \text{ °C}$$

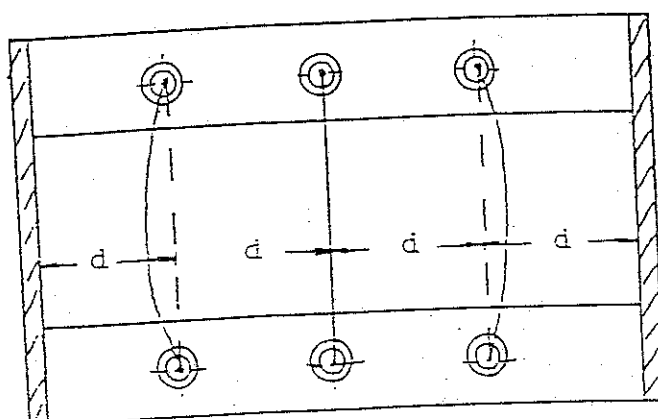
κατά τον πίνακα 10.9-1 θ_{max}=150 °C. Επομένως το καλώδιο είναι ακατάλληλο. Γιά την καταλληλότητα του καλωδίου θα πρέπει να μειωθεί, γενικότερα πλεκτρονόμου προστασίας, η χρονική διάρκεια του βραχυκύκλωματος. Οταν π.χ. γίνεται $t < 0,5$ s, τότε η τιμή Δθ είναι μικρότερη των 150 °C, που σημαίνει, ότι το καλώδιο με διατομή 95 mm² έχει πλέον την απαιτούμενη θερμική αντοχή κατά το βραχυκύκλωμα.

(Σημείωση: Η επιλογή ενός καλωδίου μεγαλύτερης διατομής, όπως π.χ. 150 mm², που θα έλυνε το πρόβλημα, δεν ενδείκνυται όταν, λόγω του μάκους του καλωδίου, δεν συμφέρει οικονομικά, ως προς την προηγούμενη λύση).

10. Η δοκιμή υπό τριφασικό βραχυκύκλωμα

Επειδή η δυναμική και η θερμική καταπόνηση κάθε πλεκτροτεχνί-
κής κατασκευής κατά το βραχυκύκλωμα είναι δυνατό να προκαλέσει τη
μείωση ονομαστικών στοιχείων της, ή ακόμα και την κατεστροφή της,
έχει προβλεφθεί στις προδιαγραφές τη δοκιμή υπό τριφασικό βραχυκύ-
κλωμα (Isw επί 1 s), όπου βέβαια μπορεί να εφαρμοστεί η δοκιμή αυ-
τή (όπως π.χ.: σε διακόπτες, πίνακες, μετασχηματιστές, κ.λ.π.).
Πρόκειται για μία δοκιμή τύπου, μέντην οποία επιβεβαιώνεται η ο-
αντοχή της κατασκευής σε χρόνο, που βεωρείται αρκετός γιατί η δια-
κοπή το βραχυκύκλωμα από το μέσο προστασίας. Μετά τη δοκιμή βρα-
χυκύκλωσης θα πρέπει να πραγματοποιούνται (ανάλογα με το είδος της
κατασκευής) δοκιμές τύπου (βλέπετε κεφάλαιο 11), των οποίων τα
αποτελέσματα σχετίζονται άμεσα με την εκδόλωση τυχόν ατελειών κατά-
τη δοκιμή βραχυκύκλωσης (π.χ.: διπλεκτρικές δοκιμές σε έναν πίνα-
κη δοκιμή υπερθέρμανσης σε ένα μετασχηματιστή, κ.λ.π.).

Στο σχήμα 10.10-1 δείχνεται ενα παράδειγμα, σύμφωνα με το οποίο η μόνιμη παραμόρφωση των ζυγών σε έναν πίνακα. κατά τη δοκιμή, φαίνεται ότι έχει ως αποτέλεσμα τη μείωση των



Σχήμα 10.10-1 : Παράδειγμα παραμόρφωσης των συγών ενός πίνακα κατά τη δοκιμή υπό τριψικό βραχυκύκλωμα :

δ : απόσταση μόνωσης

— : *zυγοί μετά το βραχυ-
κύκλωμα*

— : *ζυγοί πρό του θεού* —
κακ λώματος

 : ມອນພາກກ່ອນຊາດ

εποστάσεων μόνωσης σε βάθος της διπλεκτρικής αντοχής. Μπορούμε να υποεστινούμε, ότι στη μελέτη του παραπάνω πίνακα δεν έγινεν οι σχετικοί υπολογισμοί μπορευτικής αντοχής της παραγράφου 10.3.

10.9. Η θερμική καταπόνηση των πλεκτροτεχνικών κατασκευών και
εγκαταστάσεων κατά το τριπολικό βραχυκύλωμα

Το βραχυκύλωμα προκαλεί στους αγάγούς, στις επαφές (λυόμενες ή μόνιμες) και στον εξοπλισμό γενικά, που είναι στη διαδρομή βραχυκύλωμας, μία επιπλέον θερμική καταπόνηση. Γιά τη θερμική αυτή καταπόνηση έχουν ιδιαίτερη σημασία η τιμή του διαρκούς ρεύματος βραχυκύλωμας (Ιδ: σχήμα 10-1) και ο χρόνος μέχρι τη διακοπή του βραχυκύλωματος. Η αύξηση της θερμοκρασίας σε αγάγούς υπόλογιζεται από εμπειρικές σχέσεις, όπως π.χ. από τη σχέση :

$$\Delta\theta = \frac{-k}{A^2} I_d^2 [t + T (I_{sw}/I_d)^2] \quad \text{σε } ^\circ\text{C} \quad (10.9-1)$$

- όπου : 1) I_d και I_{sw} σε A
 2) $\Delta\theta$ η αύξηση της θερμοκρασίας σε $^\circ\text{C}$
 3) k : σταθερά του υλικού :
 ▪ γιά χαλκό : $k = 0,0058$
 ▪ γιά αλουμίνιο : $k = 0,0135$
 4) A : η διατομή του αγάγου σε mm^2
 5) t : ο χρόνος σε sec από την εμφάνιση μέχρι τη διακοπή του βραχυκύλωματος
 6) T : Ενας συντελεστής χρόνου π τιμή του οποίου είναι :
 ▪ γιά τριφασικό βραχυκύλωμα : $T = 0,3$ έως $0,15$
 ▪ γιά διφασικό βραχυκύλωμα : $T = 0,6$ έως $0,25$
 Η τιμή T μειώνεται με την απόσταση από την βέση βραχυκύλωμας.

Ως οριακές θερμοκρασίες αεωρούνται :

- 1) γιά γυμνούς αγάγούς:
 ▪ από χαλκό : 200 $^\circ\text{C}$
 ▪ από αλουμίνιο : 180 $^\circ\text{C}$
- 2) γιά τα καλώδια ταχύουν οι τιμές του παρακάτω πίνακα.

| U σε kV | θερμοκρασία λειτουργίας σε $^\circ\text{C}$ | θ _{max} σε $^\circ\text{C}$ |
|---------------------------|--|---|
| 1....6 | 45 | 120 |
| 10...20 | 35 | 115 |
| 30...60 | 25 | 100 |
| γιά καλώδια χαμηλής τάσης | | 150 |

Πίνακας 10.9-1 :

θερμοκρασία λειτουργίας
και οριακή θερμοκρασία
θ_{max} γιά καλώδια.

Παραδειγματα:

Από την ανάλυση του τριφασικού βραχυκύλωματος σε μία εγκατάσταση π τιμή I_{sw} γιά ένα καλώδιο από χαλκό (τάση λειτουργίας 380 V και διατομή 95 mm^2) είναι $20,3$ kA . Το ρεύμα της πηγής είναι $28,8$ kA . Να υπολογιστεί η αύξηση της θερμοκρασίας στο καλώδιο , όταν ο χρονική διάρκεια του βραχυκύλωματος είναι $1,5$ sec . Να προταθεί λύση του προβλήματος σε περίπτωση μη ικανοποιητικής θερμικής συμπέριφοράς του καλωδίου .

-10-

μέγιστη επιτρεπόμενη τάση σ_{max} είναι :

γιά ζυγούς από χαλκό : σ_{max} = 1000 έως 1200 kp/cm²

γιά ζυγούς από αλουμίνιο : σ_{max} = 400 έως 600 kp/cm²

Η ροπή αντιστασης ισούται με το λόγο της ροπής αδράνειας (J) προς τη μέγιστη διάσταση της διατομής. Αποδεικνύεται ότι ισχύει :

α) γιά ορθογωνική διατομή (σχήμα 10.8-3) :

$$W = \frac{h b^2}{6} \quad \text{σε } \text{cm}^3 \quad (10.8-12)$$

β) γιά κυκλική διατομή διαμέτρου D :

$$W = \frac{\pi D^3}{32} \quad \text{σε } \text{cm}^3 \quad (10.8-13)$$

Από τη μηχανική καταπόνηση των ζυγών κατά το βραχικύ λαμας μπορεί να συμβεί μηχανικός συντονισμός, όταν η μηχανική ιδιοσυχνότητα κυμαίνεται μεταξύ των ορίων ± 10% των 50 Hz και ± 10% των 100 Hz, με αποτέλεσμα την επιπλέον καταπόνηση των ζυγών και των μονωτήρων. Το πρόβλημα μπορεί να αποφευχθεί με αλλαγή του μήκους ή της διατομής των ζυγών. Η ιδιοσυχνότητα των ζυγών υπολογίζεται από εμπειρικές εξισώσεις, όπως π.χ. από τη σχέση :

$$f = 112 \sqrt{\frac{E.J}{g.L^4}} \quad \text{σε } \text{Hz} \quad (10.8-14)$$

όπου : 1) E : το μέτρο ελαστικότητας (ελαστική σταθερά) του υλικού του ζυγού :

• γιά χαλκό : E_{cu} = 1,25.10⁶ kp/cm²

• γιά αλουμίνιο : E_{ai} = 0,72.10⁶ kp/cm²

2) J : Η ροπή αδράνειας σε cm⁴.

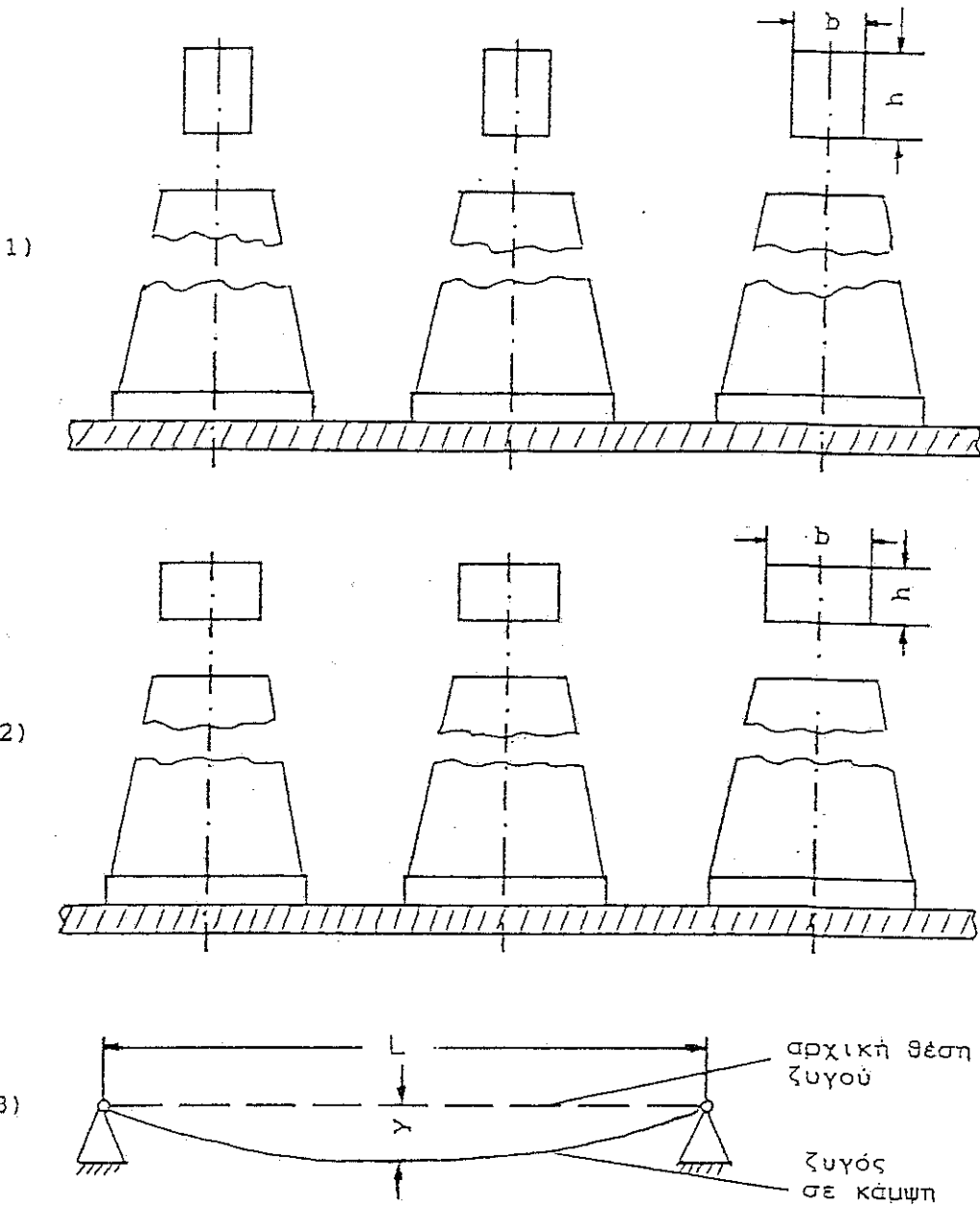
Γιά ζυγούς ορθογωνικής διατομής (βλέπετε σχήμα 10.8-3) είναι :

$$J = h.b^3/12 \quad \text{σε } \text{cm}^4 \quad (h \text{ και } b \text{ σε } \text{cm}) \quad (10.8-15)$$

3) g : το βάρος του ζυγού σε kp/cm

4) L : το μήκος του ζυγού (μεταξύ των πακτωμένων άκρων του).

-109-



Σχήμα 10.8-3 : Παράδειγμα για την επεξήγηση της μηχανικής καταπόνησης των ζυγών κατά το βραχυκύ λαμαρίνα 1 και 2 : ο καθορισμός των h & b σε ζυγούς ορθογωνικής διατομής καθορίζεται σε σχέση με τη συναρμολόγησή τους στους μονωτήρες .
3 : Ο ζυγός θεωρείται ως πακτωμένη δοκός .

2) Η μηχανική αντοχή των ζυγών εξαρτάται από την μέγιστη ορθή τάση (σ_{max}) και την ροπή συτελεστής (W) :

$$\sigma = \frac{M_b}{W} \leq \sigma_{max}$$

(10.8-11)

-108-

μη, κάθεται προς το ρεύμα Ι₂ και την μαγνητική επαγγώνη Β₁, η φόρα
σημαίνει προς τον αγώνα 2:

$$E = B_1 \cdot I_2 \cdot L \quad (10.8-5)$$

(όπου L το μήκος του μήματος του αγωγού που εξετάζεται), ή σε συνδυασμό με τη σχέση 10.8-4 :

$$F = \frac{\mu_0}{2\pi} \frac{I_1 I_2 L}{d} \quad (10.8-6)$$

Η δύναμη αυτή είναι η (δια με εκείνη, που υφίσταται ο αγωγός 1 από το μαγνητικό πεδίο του αγωγού 2. Στην προκειμένη περίπτωση, όπου τα ρεύματα είναι αμόρροπα, οι αγωγοί έλκονται μεταξύ τους. Οταν τα ρεύματα είναι αντίρροπα οι αγωγοί απωθούνται μεταξύ τους.

Η απότομη αύξηση του ρεύματος κατά την εκδήλωση βραχυκυκλώματος έχει ως απότελεσμα την εξάσκηση σημαντικών μηχανικών δυνάμεων μεταξύ των αγωγών. Η μεγαλύτερη τιμή της δύναμης αντιστοιχεί στο κρουστικό τμήμα του ρεύματος βραχυκύκλωσης (σχήμα 10-2). Σε περίπτωση συμμετρικού φορτίου έχουμε :

$$F = \frac{\mu_0}{2\pi} \frac{Is^2 L}{d} \quad (10.8-7)$$

Εγώ | και ποτίστησέ μονάδες και Ισ σε KA είναι :

$$F = 0,2 \text{ Is}^2 \frac{L}{d} \quad \sigma \varepsilon \quad N \quad (10.8-8)$$

1

$$F = 2,04 \cdot 10^{-2} \cdot I \cdot s^2 \cdot \frac{L}{d} \quad \sigma \epsilon \quad kp \quad (10.8-9)$$

Η μηχανική καταπόνηση από τις δυνάμεις, που εξασκούνται μεταξύ των ρευματοφόρων μερών κατά το βραχικύ λαμπτ., είναι ένα σημαντικότατο θέμα για τη μελέτη, την κατασκευή και την δοκιμή των πλεκτροτεχνικών κατασκευών και των εγκαταστάσεων γενικότερα. Στο σχήμα 10.8-3 εξετάζεται ένα παράδειγμα μηχανικής αντοχής συγών κατά το βραχικύ λαμπτ.. Σύμφωνα με αυτό, τρείς συγοί αρθρογνωνικής διατομής (h.b) και μήκους L ο καθενας έχουν συναρμολογηθεί στους μονωτήρες στηρίζοντας τους. Κάθε συγός μπορεί να βεωρηθεί ότι είναι μία δοκός πακτωμένη και στις δύο πλευρές της. Κατά τους κανόνες επουμένως της μηχανικής αντοχής των υλικών έχουμε :

1) Υιούτε τη ροπή κάμψης Με ενός ζυγού λόγω της ούναμης, που εξασκείται σε αυτόν κατά το βραχυκύκλωμα :

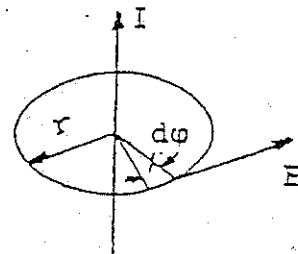
$$M_b = \frac{\pi \cdot L}{16} \quad \sigma \in kp \text{ cm} \quad (10.8-10)$$

-107-

10.8. Η μπορείται (ή δυναμική) καταπόνηση πλεκτροτεχνικών κατασκευών και εγκαταστάσεων κατά το βραχυκύλωμα

Γιατί έναν αγωγό, που έχει εναλλασσόμενο ρεύμα ενεργού τιμής I συσχέτει (σχήμα 10.8-1) :

Σχήμα 10.8-1 : Το μαγνητικό πεδίο ευθύγραμμου αγωγού, που διαρρέεται από ρεύμα



$$\oint \bar{B} \cdot d\bar{s} = \mu_0 I \quad (10.8-1)$$

όπου B ο μαγνητικός επαγγελής και $\mu_0 = 4\pi \cdot 10^{-7} \text{ Vs/Am}$ ο μαγνητικός διαπερατότητα του αέρα. Γιάτί το ολοκλήρωμα της μαγνητικής επαγγελής, κατά το παραπάνω σχήμα, έχουμε :

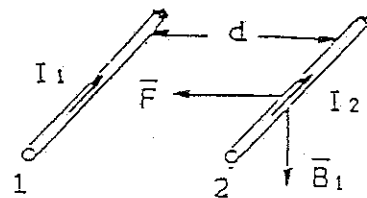
$$\oint \bar{B} \cdot d\bar{s} = \int_0^{2\pi} B r d\phi = B 2 \pi r \quad (10.8-2)$$

Από τις σχέσεις 10.8-1 και 10.8-2 έπεται ότι :

$$B = \frac{\mu_0}{2\pi} \frac{I}{r} \quad (10.8-3)$$

Αν υποθέσουμε ότι δύο παράλληλοι αγωγοί έπειρου μήκους, που απέχουν μεταξύ τους κατά d, άγουν αντίστοιχα τα ρεύματα I_1 και I_2

Σχήμα 10.8-2 : Δύναμη μεταξύ παραλλήλων αγωγών



(σχήμα 10.8-2), τότε η μαγνητική επαγγελής B_1 (του αγωγού 1) στη θέση του άλλου αγωγού είναι :

$$B_1 = \frac{\mu_0}{2\pi} \frac{I_1}{d} \quad (10.8-4)$$

Ο αγωγός 2 υφίσταται από το μαγνητικό πεδίο του αγωγού 1 μέσα δύνα-

-106-

ην του δικτύου του σχήματος 10.7-1 δίνεται από την σχέση :

$$= (P_{G1} + P_{G2}) / \sqrt{3} U_N \quad \text{σε } kA \quad (10.7-1)$$

τον λόγο I_{sw}/I_g και τον πίνακα 10.4-1 βρίσκεται η τιμή μο.1s .
από τη σχέση 10.4-1 υπολογίζεται η τιμή I_a (πίνακας 10.7-4
αλούθως) και από τη σχέση 10.4-2 η τιμή P_a (πίνακας 10.7-5 ακο-
ιεως).

| θέση | U_N | I_{sw} | $I_g = \frac{P_{G1}+P_{G2}}{\sqrt{3} U_N}$ σε kA | $\frac{I_{sw}}{I_g}$ | $\mu_{0,1s}$ | $I_a = \mu_{0,1s} I_{sw}$ σε kA |
|------|-------|----------|---|---------------------------|--------------|--------------------------------------|
| A | 60 | 1,89 | $\frac{15+20}{\sqrt{3} 60} = 0,34$ | $\frac{1,89}{0,34} = 5,6$ | 0,79 | $0,79 \cdot 1,89 = 1,49$ |
| B | 60 | 1,58 | $\frac{15+20}{\sqrt{3} 60} = 0,34$ | $\frac{1,58}{0,34} = 4,6$ | 0,82 | $0,82 \cdot 1,58 = 1,29$ |
| Γ | 20 | 3,20 | $\frac{15+20}{\sqrt{3} 20} = 1,01$ | $\frac{3,20}{1,01} = 3,2$ | 0,90 | $0,90 \cdot 3,20 = 2,88$ |

Πίνακας 10.7-4 : I_a στις θέσεις A, B και Γ.

| θέση | I_a σε kA | $P_a = \sqrt{3} U_N I_a$ σε MVA |
|------|------------------|--------------------------------------|
| A | 1,49 | $\sqrt{3} \cdot 60 \cdot 1,49 = 155$ |
| B | 1,29 | $\sqrt{3} \cdot 60 \cdot 1,29 = 134$ |
| Γ | 2,88 | $\sqrt{3} \cdot 20 \cdot 2,88 = 100$ |

Πίνακας 10.7-5 :
 P_a στις θέσεις A, B και Γ.

5) Υπολογισμός του I_d

Από τον λόγο I_{sw}/I_g , τον πίνακα 10-2 και την σχέση 10-4
υπολογίζεται το I_d :

| θέση | I_{sw} σε kA | I_{sw}/I_g | μ_d | $I_d = \mu_d I_{sw}$ σε kA |
|------|---------------------|--------------|---------|---------------------------------|
| A | 1,89 | 5,6 | 0,46 | $0,46 \cdot 1,89 = 0,87$ |
| B | 1,58 | 4,6 | 0,50 | $0,50 \cdot 1,58 = 0,79$ |
| Γ | 3,20 | 3,2 | 0,57 | $0,57 \cdot 3,20 = 1,82$ |

Πίνακας 10.7-6 :
 I_d στις θέσεις A, B
και Γ.

-105-

- Αντίσταση μετασχηματιστή ΜΤ₃: $X_{\text{ΜΤ}3} = u_3 / P_{\text{Ν}3} = 7 / 10 = 0,70 \Omega/\text{φάση}$.
- Αντίσταση μετασχηματιστή ΜΤ₄: $X_{\text{ΜΤ}4} = u_4 / P_{\text{Ν}4} = 7,2 / 12 = 0,60 \Omega/\text{φάση}$.

Το (σοδύναμο κύκλωμα του δικτύου με τις παραπάνω αντίστασεις δίνεται στο σχήμα 10.7-1,β. Από το κύκλωμα αυτό υπολογίζεται η ολική αντίσταση Χ_{αλιο} ανάλογα με τη θέση βραχυκύκλωσης (πίνακας 10.7-1).

| Θέση | Χ _{αλιο} σε $\Omega/\text{φάση}$ |
|------|---|
| A | 0,56 |
| B | $0,56 + 0,11 = 0,67$ |
| Γ | $0,56 + 0,11 + 0,32 = 0,99$ |

Πίνακας 10.7-1 :
Ολική αντίσταση Χ_{αλιο} στις θέσεις A, B και Γ.

2) Υπολογισμός του I_{sw}

Από την τιμή της ολικής αντίστασης ανά θέση (κατά τον παραπάνω πίνακα) υπολογίζεται η τιμή I_{sw10} και ακολούθως η I_{sw}:

| Θέση | $I_{\text{sw10}} = \frac{6,35}{X_{\text{αλιο}}} \text{ σε kA}$ | $I_{\text{sw}} = I_{\text{sw10}} \frac{10}{U_N} \text{ σε kA}$ |
|------|--|--|
| A | $6,35 / 0,56 = 11,33$ | $11,33 \cdot 10 / 60 = 1,89$ |
| B | $6,35 / 0,67 = 9,48$ | $9,48 \cdot 10 / 60 = 1,58$ |
| Γ | $6,35 / 0,99 = 6,41$ | $6,41 \cdot 10 / 20 = 3,20$ |

Πίνακας 10.7-2 : I_{sw} στις θέσεις A, B και Γ

3) Υπολογισμός του I_s

Από την τιμή I_{sw} ανά θέση (κατά τον παραπάνω πίνακα) υπολογίζεται η τιμή I_s:

| Θέση | $I_s = 1,8 \sqrt{2} I_{\text{sw}} \text{ σε kA}$ |
|------|--|
| A | $1,8 \cdot \sqrt{2} \cdot 1,89 = 4,82$ |
| B | $1,8 \cdot \sqrt{2} \cdot 1,58 = 4,02$ |
| Γ | $1,8 \cdot \sqrt{2} \cdot 3,20 = 8,16$ |

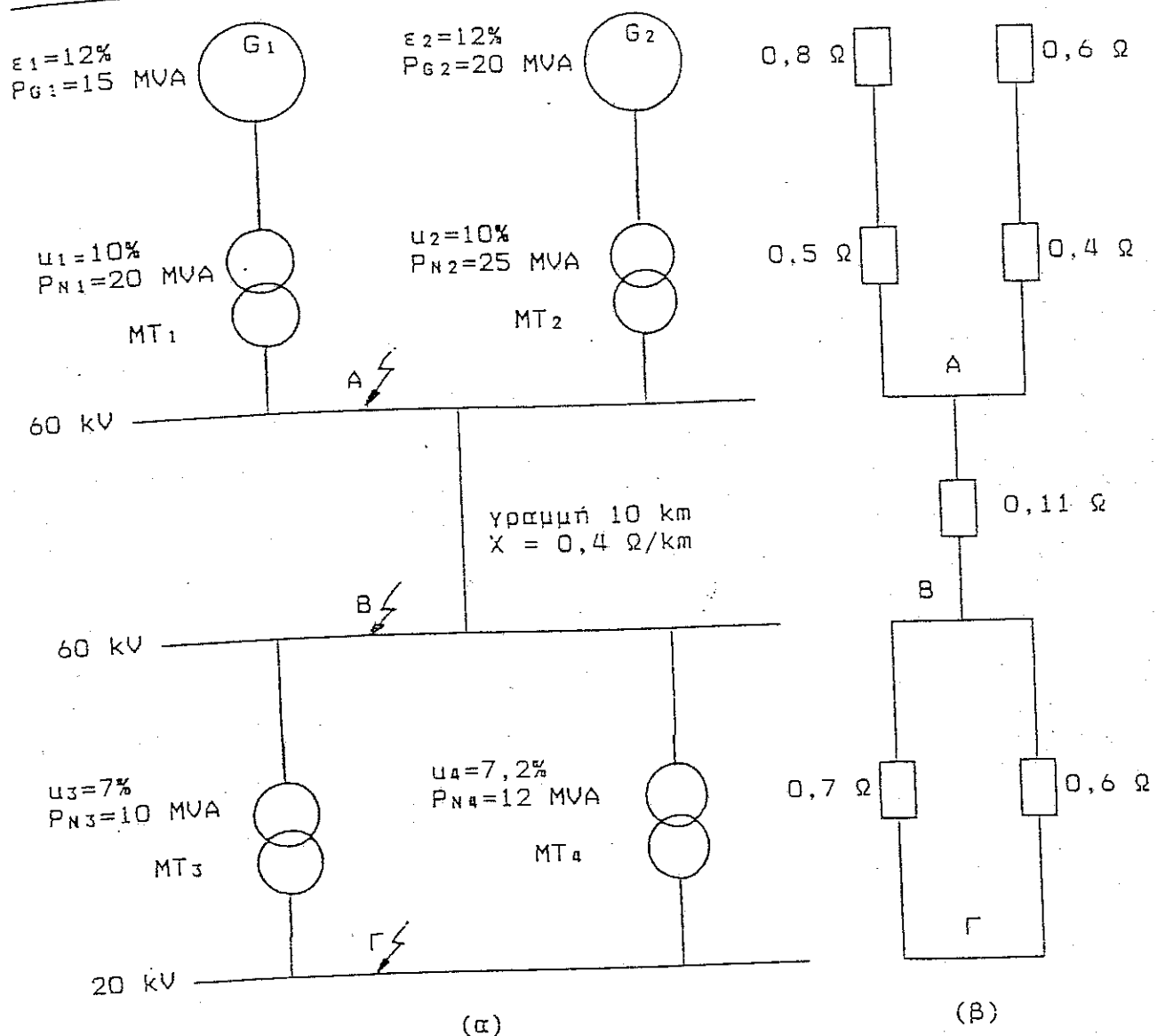
Πίνακας 10.7-3 :
I_s στις θέσεις A, B και Γ.

4) Υπολογισμός του ρεύματος διακοπής I_a και της τσχύος διεκόπης P_a

Αρχικά υπολογίζεται το ρεύμα της πηγής, το οποίο στην περί-

-104-

) Υπολογισμός των αντίστασεων



Σχήμα 10.7-1 : Παράδειγμα ανάλυσης τριφασικού βραχυκυκλώματος
 α : δίκτυο
 β : ισοδύναμο κύκλωμα δικτύου

Ο υπολογισμός γίνεται για τάση αναγωγής 10 kV:

- Αντίσταση γενήτριας G₁: $X_{10G1} = \epsilon_1 / P_{G1} = 12 / 15 = 0,8 \Omega/\text{φάση}$.
- Αντίσταση γενήτριας G₂: $X_{10G2} = \epsilon_2 / P_{G2} = 12 / 20 = 0,6 \Omega/\text{φάση}$.
- Αντίσταση μετασχηματιστή MT₁: $X_{10MT1} = u_1 / P_{N1} = 10 / 20 = 0,5 \Omega/\text{φάση}$.
- Αντίσταση μετασχηματιστή MT₂: $X_{10MT2} = u_2 / P_{N2} = 10 / 25 = 0,4 \Omega/\text{φάση}$.
- Αντίσταση γραμμής: $X_Y = L X = 10 \cdot 0,4 = 4 \Omega$.
- Εποι., από τον πίνακα 10.1-1 έχουμε: $\epsilon / P = 0,11 \Omega/\text{φάση}$.

-103-

από το μέσο προστασίας. Ο υπολογισμός των τιμών I_a και P_a μπορεί να γίνει από τις σχέσεις :

$$I_a = \mu I_{sw} \quad \text{σε } KA \quad (10.4-1)$$

και

$$P_a = \sqrt{3} U_h I_a \quad \text{σε } MVA \quad (10.4-2)$$

Οι τιμές I_a και P_a ενδιαφέρουν ιδιαίτερα στην επιλογή διακοπών ισχύος ή των ασφαλειών, ανάλογα με το μέσο προστασίας της εγκατάστασης (παράγραφος 9.1).

10.5. Υπολογισμός του διαρκούς ρεύματος βραχυκύκλωσης (I_d)

Ο υπολογισμός γίνεται από την σχέση 10-3 και τον πίνακα 10-2. Η τιμή του διαρκούς ρεύματος βραχυκύκλωσης ενδιαφέρει ιδιαίτερα στη θερμική καταπόνηση των κατασκευών (π.χ. υπερθέρμανση : ζυγών, επαφών διακοπών, πονώνων μετασχηματιστών, κ.λ.π.).

10.6. Υπολογισμός της τάξης μεγέθους του εναλλασσόμενου ρεύματος

βραχυκύκλωσης (I_{sw}) και της ισχύος διακοπής (P_a)

Η τάξη μεγέθους των τιμών I_{sw} και P_a υπολογίζεται από τα στοιχεία του μετασχηματιστή προ της θέσης βραχυκύκλωσης :

$$I_{sw} \leq 100 I_h/u \quad \text{σε } KA \quad (10.6-1)$$

και

$$P_a \leq 100 P_h/u \quad \text{σε } MVA \quad (10.6-2)$$

όπου : I_h : το ονομαστικό ρεύμα του μετασχηματιστή σε KA

P_h : η ονομαστική ισχύς του μετασχηματιστή σε MVA

u : η σχετική τάση βραχυκύκλωσης του μετασχηματιστή σε %

Οι τιμές, που υπολογίζονται από τις παραπάνω σχέσεις, είναι μεγαλύτερες από τη ακριβή αποτελέσματα και μάλιστα αυξάνουν με την απόσταση από τη θέση της πηγής της ενέργειας.

10.7. Παράδειγμα ανάλυσης του τριφασικού βραχυκύκλωματος σε μία

εγκατάσταση υψηλής τάσης

Στο σχήμα 10.7-1 δίνεται ένα δίκτυο υψηλής τάσης, στο οποίο είναι γίνεται ανάλυση του τριφασικού βραχυκύκλωματος στους σύλλεκτικούς ζυγούς Α, Β και Γ.

-102-

0.2. Υπολογισμός του εναλλασσόμενου ρεύματος βραχυκύλωσης (I_{sw})

Από την σχέση 10-2 έχουμε, για τάση αναγωγής 10 kV και $X_{sh} \approx X_{sh}$:

$$I_{sw10} = \frac{1,1 \cdot 10}{\sqrt{3} \cdot X_{sh10}} = \frac{6,35}{X_{sh10}} \quad \text{σε } kA \quad (10.2-1)$$

και

$$I_{sw} = I_{sw10} \frac{10}{U_N} \quad \text{σε } kA \quad (10.2-2)$$

10.3. Υπολογισμός του κρουστικού ρεύματος βραχυκύλωσης (I_s)

Οταν η τιμή R_{sh} είναι αμελητέα ως προς εκείνη της X_{sh} , τότε είναι $k=1,8$ (πίνακας 10-1) και επομένως από την σχέση 10-1 έχουμε:

$$I_s = 1,8 \sqrt{2} I_{sw} \quad \text{σε } kA \quad (10.3-1)$$

Η τιμή αυτή ενδιαφέρει (διατέρα στους υπολογισμούς μηχανικών καταπονήσεων, οι οποίες εκόπλωνται στο αρχικό στάδιο του βραχυκύλωματος (π.χ.: εξάσκηση δυνάμεων μεταξύ των ζυγών εγός πίνακα μέσης τάσης, εξάσκηση δυνάμεων στους κόκκλες σύνδεσης επί των μονωτήρων, κ.λ.π.).

10.4. Υπολογισμός του ρεύματος διακοπής (I_g) και

της ίσχυος διακοπής (P_g)

Το ρεύμα διακοπής (I_g) είναι το εναλλασσόμενο τμήμα του ρεύματος βραχυκύλωσης τη χρονική στιγμή της διακοπής του ρεύματος

| | για $\cos\phi = 0,8$ | |
|-----------------|----------------------|--------|
| I_{sw}/I_g | μο.1s | μο.25s |
| από 0,1 έως 1,6 | 1,0 | 1,0 |
| 2 | 0,97 | 0,95 |
| 3 | 0,90 | 0,85 |
| 4 | 0,85 | 0,77 |
| 5 | 0,80 | 0,72 |
| 6 | 0,79 | 0,70 |
| 7 | 0,70 | 0,67 |
| 8 | 0,75 | 0,65 |
| 9 | 0,74 | 0,63 |
| 10 | 0,74 | 0,62 |

Πίνακας 10.4-1 : $\mu = f(I_{sw}/I_g)$
για $\cos\phi=0,8$.

| | |
|---|----------------------------------|
| μο.1s | : τιμή για χρόνο διακοπής 0,1 s |
| μο.25s | : τιμή για χρόνο διακοπής 0,25 s |
| I _g : ανουσσατικό ρεύμα της πηγής. | |

-101-

Πολική τάση λειτουργίας της γραμμής

$U_t \approx 1$ kV

| Πολική τάση λειτουργίας της γραμμής | | | | | | | | | | | | | |
|-------------------------------------|----------------------|-------|-------|-------|-------|-------|------|------|------|------|------|------|-----|
| | U _r σε KV | | | | | | | | | | | | |
| X _r | 3 | 5 | 6 | 10 | 15 | 20 | 30 | 40 | 50 | 60 | 100 | 150 | 200 |
| σε Ω | ε/P σε Ω/φάση | | | | | | | | | | | | |
| 0,10 | 1,2 | 0,40 | 0,27 | 0,10 | 0,05 | | | | | | | | |
| 0,20 | 2,3 | 0,80 | 0,55 | 0,20 | 0,09 | 0,05 | | | | | | | |
| 0,30 | 3,5 | 1,25 | 0,80 | 0,30 | 0,14 | 0,08 | | | | | | | |
| 0,40 | 3,3 | 1,60 | 1,10 | 0,40 | 0,18 | 0,10 | 0,05 | | | | | | |
| 0,50 | 5,8 | 2,00 | 1,40 | 0,50 | 0,25 | 0,15 | 0,08 | | | | | | |
| 0,60 | 6,9 | 2,50 | 1,55 | 0,60 | 0,27 | 0,15 | 0,07 | | | | | | |
| 0,70 | 8,0 | 2,90 | 1,90 | 0,70 | 0,30 | 0,17 | 0,08 | | | | | | |
| 0,80 | 9,0 | 3,10 | 2,00 | 0,80 | 0,33 | 0,20 | 0,09 | 0,05 | | | | | |
| 0,90 | 10,0 | 3,50 | 2,50 | 0,90 | 0,40 | 0,22 | 0,10 | 0,06 | | | | | |
| 1,00 | 4,00 | 3,55 | 1,00 | 0,45 | 0,25 | 0,12 | 0,07 | | | | | | |
| 2,00 | 9,00 | 5,00 | 2,00 | 0,90 | 0,50 | 0,22 | 0,13 | 0,08 | 0,06 | | | | |
| 3,00 | | 8,00 | 3,00 | 1,45 | 0,70 | 0,32 | 0,19 | 0,12 | 0,09 | | | | |
| 4,00 | | 10,00 | 4,00 | 1,55 | 1,00 | 0,42 | 0,25 | 0,15 | 0,11 | | | | |
| 5,00 | | | 5,00 | 2,10 | 1,25 | 0,50 | 0,30 | 0,20 | 0,14 | 0,05 | | | |
| 6,00 | | | 6,00 | 2,60 | 1,50 | 0,65 | 0,38 | 0,25 | 0,17 | 0,06 | | | |
| 7,00 | | | 7,00 | 3,00 | 1,75 | 0,80 | 0,41 | 0,27 | 0,20 | 0,07 | | | |
| 8,00 | | | 8,00 | 3,50 | 2,00 | 0,90 | 0,50 | 0,30 | 0,22 | 0,08 | | | |
| 9,00 | | | 9,00 | 4,00 | 2,25 | 1,00 | 0,55 | 0,35 | 0,25 | 0,09 | | | |
| 10,00 | | | 10,00 | 4,20 | 2,50 | 1,05 | 0,60 | 0,40 | 0,27 | 0,10 | | | |
| 15,00 | | | | 6,50 | 3,30 | 1,50 | 0,90 | 0,60 | 0,40 | 0,15 | 0,07 | | |
| 20,00 | | | | 9,50 | 5,00 | 2,00 | 1,25 | 0,75 | 0,55 | 0,20 | 0,09 | 0,05 | |
| 25,00 | | | | 10,00 | 6,00 | 2,50 | 1,50 | 0,95 | 0,69 | 0,25 | 0,11 | 0,06 | |
| 30,00 | | | | | 7,00 | 3,05 | 1,70 | 1,20 | 0,80 | 0,30 | 0,14 | 0,08 | |
| 40,00 | | | | | 10,00 | 4,00 | 2,50 | 1,50 | 1,10 | 0,40 | 0,19 | 0,10 | |
| 50,00 | | | | | | 5,00 | 3,00 | 2,00 | 1,40 | 0,50 | 0,24 | 0,12 | |
| 60,00 | | | | | | 6,00 | 3,50 | 2,40 | 1,60 | 0,60 | 0,27 | 0,15 | |
| 70,00 | | | | | | 7,00 | 4,00 | 2,70 | 1,90 | 0,70 | 0,30 | 0,17 | |
| 80,00 | | | | | | 8,00 | 4,90 | 3,00 | 2,10 | 0,80 | 0,37 | 0,20 | |
| 90,00 | | | | | | 9,00 | 5,10 | 3,20 | 2,50 | 0,90 | 0,40 | 0,22 | |
| 100,00 | | | | | | 10,00 | 5,00 | 3,40 | 2,60 | 1,00 | 0,45 | 0,25 | |

Π(γαρας 9.4.1-11): Τι μή ε/Ρ γιά τηρεμμέτε; ανάλογε με την επαγγελκή αντίστοιχη (ΧΥ) και την τέσσα λειτουργίας Υπ. (ταυτη μεταξύ των διάσεων)

-100-

στην τάση των 10 kV. Η αναγωγή γενικά μίας αντίστασης X υπό τάση U_1 σε μία άλλη τάση U_2 γίνεται με τη σχέση :

$$(10.1-2)$$

$$X_2 = X_1 \left(\frac{U_2}{U_1}\right)^2$$

Από τη σχέση 10.1-1 για $X_Y = 0$ και τη σχέση 10.1-2 για τάση αναγωγής 10 kV, έπεται ότι :

$$X_{10} = \frac{\epsilon \alpha \lambda \cdot 10^2}{P_G} \cdot 10^{-2} = \frac{\epsilon \alpha \lambda}{P_G} \quad \text{σε } \Omega/\text{φάση} \quad (10.1-3)$$

Με βάση την παραπάνω σχέση ισχύει :

1) για γεννήτριες :

$$X_{10} = \frac{\epsilon}{P_G} \quad \text{σε } \Omega/\text{φάση} \quad (10.1-4)$$

2) για μετασχηματιστές και στραγγαλιστικά πινία :

$$X_{10} = \frac{u}{P_N} \quad \text{σε } \Omega/\text{φάση} \quad (10.1-5)$$

Σύμφωνα με τις παραπάνω σχέσεις, για τον υπολογισμό των αντίστασεων των γεννήτριων, των μετασχηματιστών και των στραγγαλιστικών πινίων πρέπει να γνωρίζει κανείς :

1) για τις γεννήτριες : την ονομαστική ισχύ (P_G) σε MVA και την σχετική τάση διεσπαράσ (ϵ) σε %.

2) για τους μετασχηματιστές : την ονομαστική ισχύ (P_N) σε MVA και την σχετική τάση βραχυκύκλωσης (u) σε %.

3) για στραγγαλιστικά πινία : την διερχόμενη ισχύ (P_h) σε MVA και την σχετική τάση βραχυκύκλωσης (u) σε %.

Σε ότι αφορά τις γραμμές, είναι απαραίτητη η γνώση της επιγραφής αντίδρασης X_Y σε Ω . Με βάση την τιμή αυτή και την τάση λειτουργίας της γραμμής βρίσκεται από τον πίνακα 10.1-1 η τιμή ϵ/P της γραμμής παραδειγματικά : Για μία γραμμή μήκους $L = 20$ km και $X = 0,4 \Omega/km$, που λειτουργεί στα 60 kV, η τιμή ϵ/P υπολογίζεται ως ακολούθως :

$$X_Y = L \cdot X = 20 \cdot 0,4 = 8 \quad \Omega$$

Η τιμή ϵ/P κατά τον πίνακα 10.1-1 (για $X_Y = 8 \Omega$ και τάση λειτουργίας $U_Y = 60$ kV) είναι :

$$\frac{\epsilon}{P} = 0,22 \quad \Omega/\text{φάση}$$

-99-

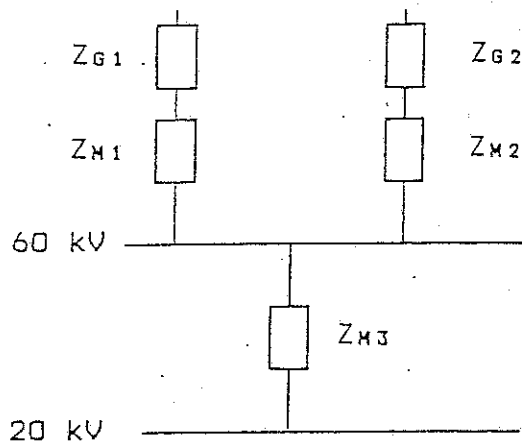
$$Z_{\alpha\lambda} = \sqrt{\frac{2}{R_{\alpha\lambda} + X_{\alpha\lambda}}} \quad (10-3)$$

Μεταξύ του διαρκούς ρεύματος βραχυκύλωσης (I_d) και του εναλλασσόμενου ρεύματος βραχυκύλωσης (I_{sw}) ισχύει η σχέση :

$$I_d = \mu_r I_{sw} \quad (10-4)$$

όπου μ_r ένας συντελεστής ο οποίου εξαρτάται από το πολλό I_{sw}/I_0 , όπου I_0 είναι το ονομαστικό ρεύμα της πηγής (των γεννητριών). (Πίνακας 10-2).

Στο σχήμα 10-3 δίνεται το ισοδύναμο κύκλωμα όλων των αντιστάσεων της διεδρομής βραχυκύλωσης κατά το σχήμα 10-1.



Σχήμα 10-3 : Ισοδύναμο κύκλωμα των αντιστάσεων του διεκτύου κατά το σχήμα 10-1.
 Z_{G1} και Z_{G2} : αντιστάσεις των γεννητριών G_1 και G_2 αντίστοιχα.
 Z_{H1} , Z_{H2} και Z_{H3} : αντιστάσεις των μετασχηματιστών MT_1 , MT_2 και MT_3 αντίστοιχα.

Η μελέτη αντοχής σε τριφασικά βραχυκύλωμα περιλαμβάνει :

- 1) Τον υπολογισμό της συνολικής σύνθετης αντίστασης ανά φάση, από τις επιμέρους αντιστάσεις των στοιχείων της εγκατάστασης μέχρι το σημείο βραχυκύλωσης.
- 2) Τον υπολογισμό των : I_{sw} , I_s και I_d .
- 3) Τον υπολογισμό του συμμετρικού ρεύματος διακοπής (I_a) και της ισχύος διακοπής (P_a).

10.1. Υπολογισμός της ολικής σύνθετης αντίστασης ανά φάση

Στις εγκαταστάσεις μέσոς και υψηλής η τιμή $R_{\alpha\lambda}$ θεωρείται συνήθεως αμελητέα συγκριτικά προς την τιμή $X_{\alpha\lambda}$. Στην περίπτωση αυτή η ολική σύνθετη αντίσταση $Z_{\alpha\lambda}$ ισούται περίπου με $X_{\alpha\lambda}$ και δίνεται από την σχέση :

$$Z_{\alpha\lambda} \approx X_{\alpha\lambda} = \epsilon_{\alpha\lambda} \frac{U_N^2}{P_G} 10^{-2} + X_Y \quad \text{σε } \Omega/\text{φάση} \quad (10.1-1)$$

όπου U_N η ονομαστική τάση (μεταξύ των φάσεων) σε KV, P_G η ονομαστική ισχύς σε MVA, $\epsilon_{\alpha\lambda}$ το άθροισμα των επιμέρους ε και η σε ή και X_Y η επιφαγική αντίσταση της γραμμής.

Ο υπολογισμός των επιμέρους αντιστάσεων γίνεται με αναγγυόν

-98-

μήμα περιλαμβάνει το εναλλασσόμενο ρεύμα βραχυκύλωσης (I_{sw}) και ο συνεχές ρεύμα βραχυκύλωσης (I_a). Το συμμετρικό τμήμα βραχυκύλωσης αποτελείται από το διαρκές ρεύμα βραχυκύλωσης (I_a). Η μέτρηση της τιμής του ρεύματος βραχυκύλωσης (I_s) ονομάζεται κρουστικό ρεύμα βραχυκύλωσης. Μεταξύ του κρουστικού ρεύματος βραχυκύλωσης (I_s) και του εναλλασσόμενου ρεύματος βραχυκύλωσης (I_{sw}) συγκύεται η σχέση :

(10-1)

$$I_s = \kappa \sqrt{2} \cdot I_{sw}$$

όπου κ ένας συντελεστής π τιμής του οποίου δίνεται στον πίνακα 10-1, ανάλογα με την τιμή της ολικής αμικής αντίστασης $R_{o\lambda}$ μέχρι το σημείο βραχυκύλωσης και την τιμή της ολικής επαγγικής αντίστασης $X_{o\lambda}$ μέχρι το σημείο βραχυκύλωσης.

Η τιμή του εναλλασσόμενου ρεύματος βραχυκύλωσης (I_{sw}) υπολογίζεται από την σχέση:

1.1 U_N

(10-2)

$$I_{sw} = \frac{2}{\sqrt{3} \sqrt{\frac{2}{R_{o\lambda}} + \frac{2}{X_{o\lambda}}}}$$

Η συνισταμένη τιμή $R_{o\lambda}$ και $X_{o\lambda}$ στη σχέση 10-2 είναι η ολική σύνθετη αντίσταση ($Z_{o\lambda}$) της διαδρομής βραχυκύλωσης :

| $R_{o\lambda}/X_{o\lambda}$ | κ |
|-----------------------------|----------|
| 0,00 | 1.800 |
| 0,05 | 1.680 |
| 0,10 | 1.590 |
| 0,15 | 1.500 |
| 0,20 | 1.440 |
| 0,25 | 1.380 |
| 0,30 | 1.330 |
| 0,35 | 1.290 |
| 0,40 | 1.250 |
| 0,45 | 1.220 |
| 0,50 | 1.190 |
| 0,55 | 1.170 |
| 0,60 | 1.140 |
| 0,65 | 1.120 |
| 0,70 | 1.110 |
| 0,75 | 1.100 |
| 0,80 | 1.095 |
| 0,85 | 1.090 |
| 0,90 | 1.080 |
| 0,95 | 1.075 |
| 1,00 | 1.070 |
| 1,05 | 1.065 |
| 1,10 | 1.060 |
| 1,15 | 1.055 |
| 1,20 | 1.050 |

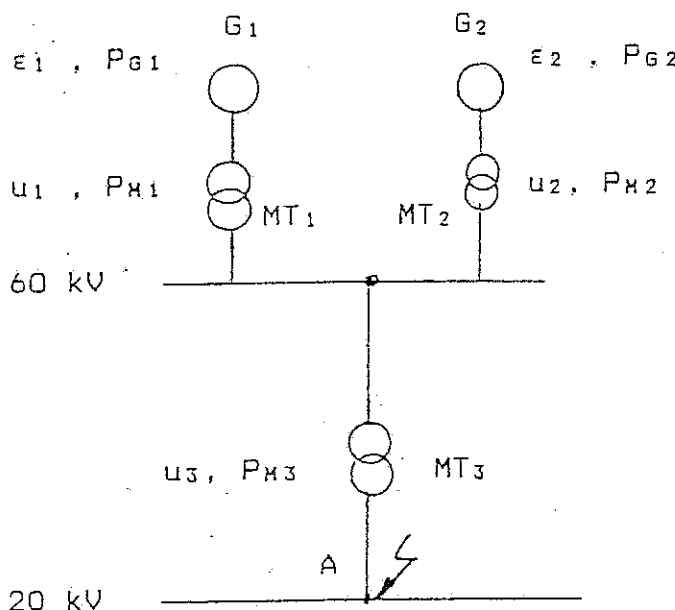
| I_{sw}/I_a | μ_d για $\cos\phi=0,8$ |
|--------------|----------------------------|
| 0,1 | 1,0 |
| 0,2 | 0,97 |
| 0,3 | 0,96 |
| 0,4 | 0,93 |
| 0,5 | 0,90 |
| 0,6 | 0,89 |
| 0,7 | 0,87 |
| 0,8 | 0,85 |
| 0,9 | 0,82 |
| 1,0 | 0,80 |
| 1,6 | 0,70 |
| 2,0 | 0,67 |
| 3,0 | 0,58 |
| 4,0 | 0,52 |
| 5,0 | 0,49 |
| 6,0 | 0,44 |
| 7,0 | 0,41 |
| 8,0 | 0,40 |
| 9,0 | 0,39 |
| 10,0 | 0,35 |

Πίνακας 9.4-1 : $\kappa = f(R_{o\lambda}/X_{o\lambda})$

Πίνακας 9.4-2 : $\mu_d = f(I_{sw}/I_a)$

10. Η καταπόνηση των εγκαταστάσεων μέσης και υψηλής τάσης
σε τριφασικό βραχυκύκλωμα

Ο υπολογισμός των πλέκτρικών εγκαταστάσεων μεταφοράς και διανομής βασίζεται στη διαμενέστερη κατάσταση λειτουργίας, η οποία θεωρείται ότι είναι το τριφασικό βραχυκύκλωμα. Αν υποθέσουμε ότι το τριφασικό βραχυκύκλωμα εκδηλώνεται στο σημείο A της εγκατάστα-



Σχήμα 9.4-1 :

Παράδειγμα τριφασικού βραχυκύκλωματος.

ϵ_1 και ϵ_2 : οι κρονοστικές τάσεις διασποράς των γεννητριών G_1 και G_2 αντίστοιχα.

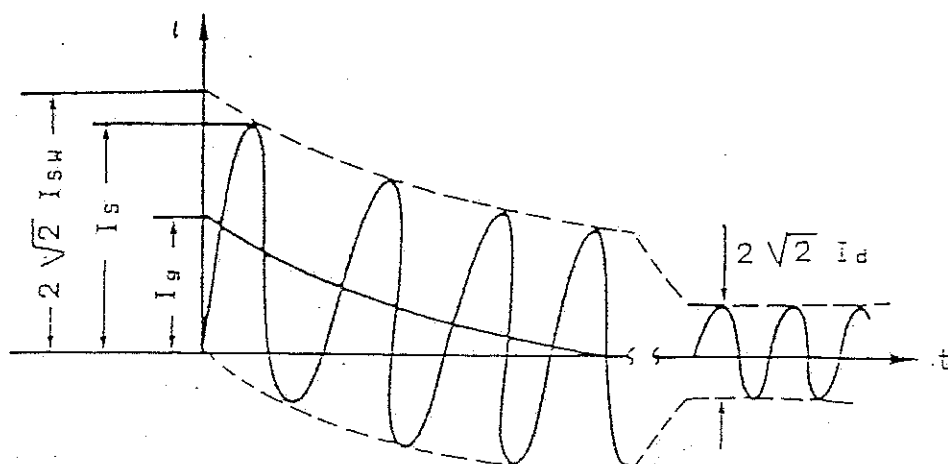
$P\theta_1$ & $P\theta_2$ ονομαστική ισχύς των γεννητριών G_1 & G_2 αντίστοιχα.

u_1 , u_2 και u_3 : σχετική τάση βραχυκύκλωσης των μετασχηματιστών MT_1 , MT_2 και MT_3 αντίστοιχα.

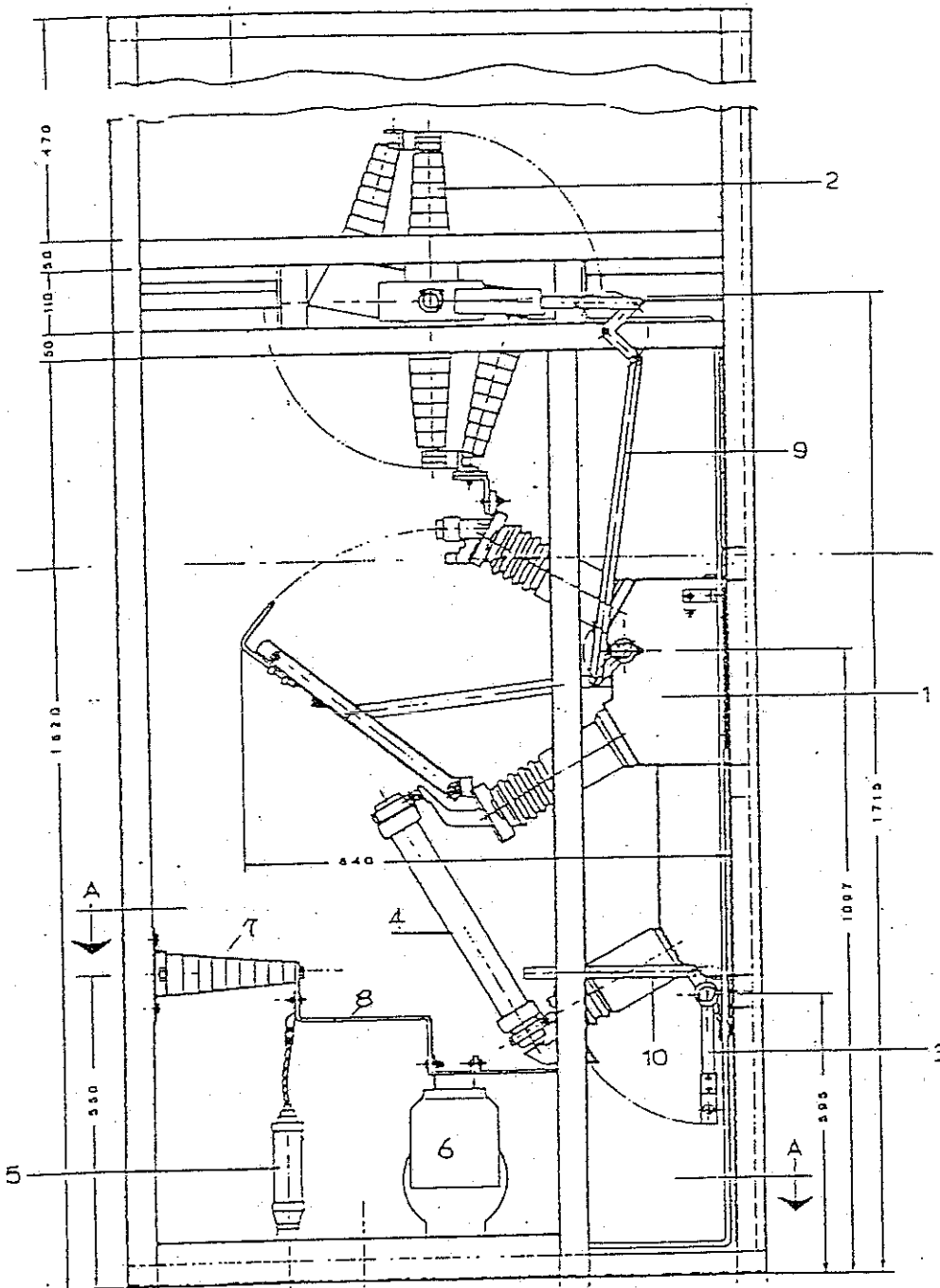
$P\theta_1$, $P\theta_2$ και $P\theta_3$: ονομαστική ισχύς των μετασχηματιστών MT_1 , MT_2 και MT_3 αντίστοιχα.

σης του σχήματος 10-1, τότε η συνολική ισχύς του δικτύου θα οδεύεται προς το σημείο αυτό. Το ρεύμα βραχυκύκλωσης είναι η τιμή του ρεύματος στο σημείο A. Η τιμή αυτή εξαρτάται από την ισχύ του δικτύου μέχρι το σημείο βραχυκύκλωσης.

Όπως φαίνεται στο σχήμα 10-2, το ρεύμα βραχυκύκλωσης εμφανίζεται αρχικά ως ασύμμετρο και κατόπιν ως συμμετρικό. Το ασύμμετρο



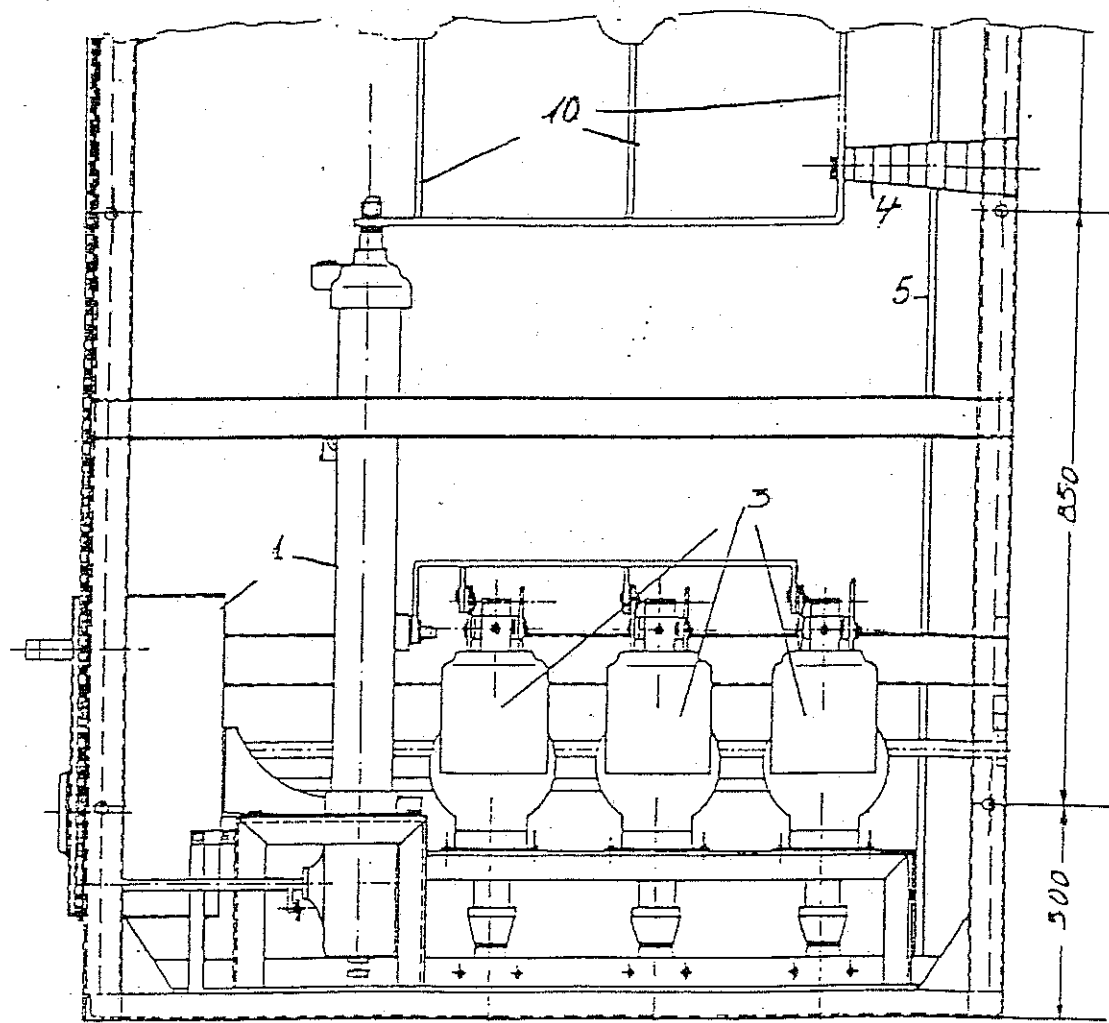
Σχήμα 10-2 : Μορφή του ρεύματος κατά το τριφασικό βραχυκύκλωμα



Σχήμα 9.2.2-5 : Πρόσωπη (χωρίς τα εξωτερικά καλύματα) ενός πίνακα με διαφόρη φορτίου.

- διακόπτης φορτίου (1),
 - αποζεύκτης (2),
 - γειωτής (3)
 - ασφάλειες μέσης τάσης (4).
 - ακροκιβώτιο (5) : τρία τεμάχια.
 - μετασχηματιστές έντασης (6) : τρία τεμάχια.
 - μονωτήρες στήριξης (7) : τρία τεμάχια.
 - zυγός (8) : τρία τεμάχια.
 - μηχανισμός μενδάλωσης (ή αλλοιασθεάλισης) από ταν
διακόπτη φορτίου προς τον αποζεύκτη (9).

Στα σχήματα 9.2.2-4 και 9.2.2-5 διενεται δύο ενδεικτικά μπανολογικά σχέδια, που αφορούν τις δύο περιπτώσεις των ιδιωτικών υποσταθμών κατά το σχήμα 9.2.2-2 (ή τους πίνακες BK II και BK I μντίστοιχα). Στα σχήμα 9.2.2-4 δεν φαίνεται ο αποζεύκτης γιατί δεν περιλαμβάνονται στην τομή. Στο σχέδιο αυτό δεν υπάρχει επίσης ο γειωτής γιατί δεν φαίνεται από την άψο αυτή.



Σχήμα 9.2.2-4 : Μέρος της πλάγιας άωσης (χωρίς τη εξωτερικά καλύμπτη) ενός πίνακα μεσής τάσης με αυτόματα διακόπτη. Στο σχέδιο αυτό φαίνονται :

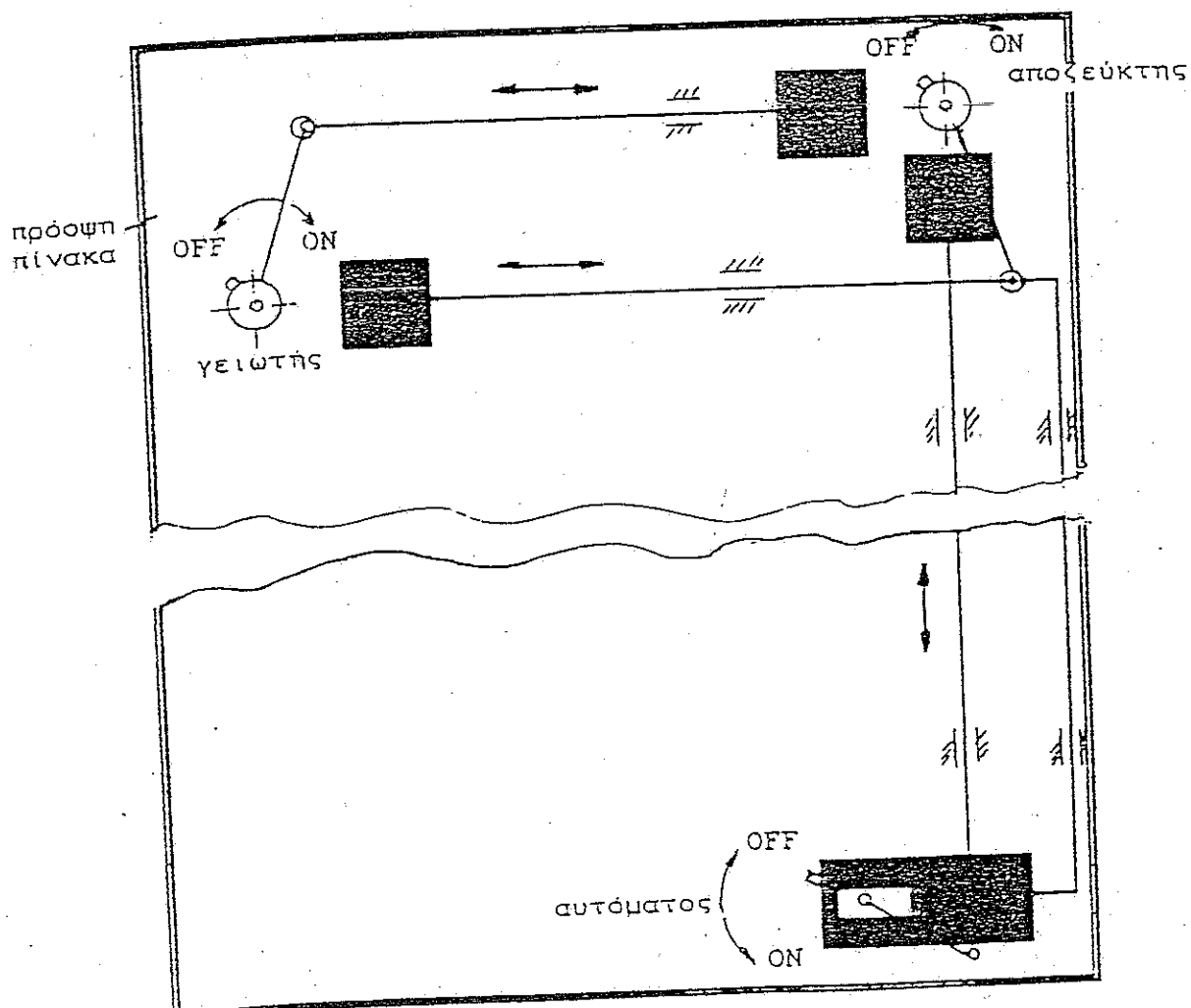
- ο αυτόματος διακόπτης (1),
- οι μετεσχηματιστές έντασης (3).
- οι μονωτήρες στήριξης (4) των ζυγών,
- ένας ζυγός γείωσης (5).
- οι ζυγοί (10) προς τον αποζεύκτη, και

- 94 -

Εκτός από τους δύο παραπάνω τύπους ιδιωτικών υποσταθμών, συνά-
έ κανείς στην πράξη πίνακες, που δεν περιλαμβάνουν π.χ. αποζεύ-
γό, ή διακόπτη φορτίου, κ.λ.π., ή πίνακες με ανεπαρκείς αλληλασφα-
σεις. Κατασκευές του είδους αυτού θα πρέπει να αποφεύγονται.

ματήριον:

Γιά τον εξοπλισμό μέσπις τάσης των ιδιωτικών υποσταθμών, από
ιροχές του δικτύου με ονομαστική τάση οιαφορετική από 20 KV, θα
γέπει να έχει κανείς υπ' όψη ότι η Δ.Ε.Η στοχεύει στη μετατροπή
λαν των δικτύων μέσπις τάσης στα 20 KV. Γιά το λόγο αυτό ο εξοπλι-
μός μέσπις τάσης του υποσταθμού θα πρέπει να είναι κατάλληλος και
ιά ονομαστική τάση 20 KV. Αυτό σημαίνει π.χ. γιά έναν υποσταθμό,
ού θα λειτουργήσει στα 6,6 KV, ότι ο εξοπλισμός μέσπις τάσης (με-
ασχηματιστής, πίνακες και γενικά οι αποστάσεις μόνωσης & προστα-
τισμού χώρο του υποσταθμού) θα πρέπει να είναι κατάλληλος τόσο
ιά τη 6,6 KV, όσο και τη 20 KV.



Σχήμα 9.2.2-3 : Παράδειγμα αρχής λειτουργίας των αλληλασφαστικών
σε έναν πίνακα μέσπις τάσης

αυτούς είναι ουσιαστικά ο BKI, ή ο BKII, που χρησιμοποιείται η Δ.Ε.Η (συγκρίνατε με τους πίνακες BKI και BKII του σχήματος 9.2.1-1). Από το σχήμα 9.2.2-2 διαπιστώνεται ότι:

- Στην περίπτωση (α) ο χειρισμός της εγκατάστασης γίνεται μέσω ενός διακόπτη φορτίου, ενώ στην περίπτωση (β) μέσω ενός αυτόματου διακόπτη.
- Η προστασία από βραχυκύκλωμα γίνεται: στην περίπτωση (α) μέσω των ασφαλειών μέσης τάσης, ενώ στην περίπτωση (β) με πλεκτρονόμους προστασίας, που επενεργούν στο χειριστήριο του αυτόματου διακόπτη.
- Και στις δύο περιπτώσεις η απομόνωση της εγκατάστασης από το δίκτυο γίνεται μέσω αποζεύκτη και η γείωση της μέσω γειωτής.

Από τον σκοπό χρησιμοποίησης των διαφόρων τύπων διακοπτών (σχήμα 9.1-1), τα σχέδια των πινάκων της ΔΕΗ (σχήμα 9.2.1-1) και τις δύο περιπτώσεις των ιδιωτικών υποσταθμών (σχήμα 9.2.2-2) αντιλαμβάνεται κανείς την ανάγκη της προστασίας του χειριστή και της εγκατάστασης από λανθασμένους χειρισμούς (αναλογιστείτε ως παράδειγμα να κλείσει ο χειριστής των γειωτής στον πίνακα μέσης τάσης ενός ιδιωτικού υποσταθμού, όταν ο πίνακας αυτός ρευματοδοτεί τον μετασχηματιστή μέσης τάσης του εργοστασίου υπό πλήρες φορτίο). Γι' αυτό, προς αποφυγή λανθασμένων χειρισμών, πρέπει να προβλέπονται στους πίνακες αλληλασφαλίσεις (μανδαλώσεις) μεταξύ των χειριστηρών. Πρόκειται για απλούς μηχανισμούς, μέσω των οποίων εξασφαλίζεται κυρίως ότι:

- 1) Δεν μπορεί να χειριστεί κανείς τον αποζεύκτη, όταν ο διακόπτης φορτίου, ή ο διακόπτης ισχύος (ανάλογα με το είδος του πίνακα) είναι κλειστός.
- 2) Αποκλείεται να γίνουν χειρισμοί στον διακόπτη φορτίου, ή τον διακόπτη ισχύος (ανάλογα με το είδος του πίνακα), οταν ο αποζεύκτης δεν είναι τελείως κλειστός ή τελείως ανοικτός.
- 3) Δεν μπορεί να χειριστεί κανείς τον γειωτή, όταν ο αποζεύκτης είναι κλειστός.
- 4) Δεν μπορεί να χειριστεί κανείς τον αποζεύκτη, όταν ο γειωτής είναι κλειστός.

Οι μηχανισμοί αλληλασφαλίσεων με τους οποίους ικανοποιούνται οι παραπάνω προϋποθέσεις εξαρτώνται γενικά από είδος του πίνακα. Οταν π.χ. ένας πίνακας έχει πόρτα εισόδου στον χώρο των διακοπτών τότε χρειάζεται μηχανισμός αλληλασφαλίσης και για την πόρτα. Στο σχήμα 9.2.2-3 δείχνεται απλοποιημένα η αρχή λειτουργίας των αλληλασφαλίσεων σε έναν πίνακα που περιλαμβάνει αποζεύκτη, γειωτή και αυτόματο διακόπτη. Η αλληλασφάλιση βασίζεται σε απλούς μηχανισμούς μοχλών, που συνδέονται μόνιμα στους αντίστοιχους άξονες των διακοπτών. Ετσι, ανάλογα με το είδος και τη θέση λειτουργίας ενός διακόπτη επιτυγχάνεται η απαιτούμενη αλληλασφαλίση με κάλυψη συνήθως των χειριστηρών των υπολογίων διακοπτών.